



الجمهورية العربية السورية
جامعة حلب
كلية الزراعة
قسم وقاية النبات

"تحديد المجموعات التشابكية لمجتمع الفطر *Rhizoctonia solani* Kühn. على البطاطا في سورية
والتدابير الممكنة لإدارة المرض الذي يحدثه"

"Identification of Anastomosis Groups within Population of *Rhizoctonia solani*
Kühn affecting potatoes in Syria and Potential Measures for Management of the
Disease it Causes"

رسالة أعدت لنيل درجة الماجستير في الهندسة الزراعية
(وقاية النبات)

إعداد
المهندسة الزراعية رانيا حاج عبدو

بإشراف

الدكتور عباس عباس
المؤسسة العامة لإكثار البذار

الأستاذ الدكتور بسام بياعة
كلية الزراعة - جامعة حلب

العام الدراسي 2010-2011

كلمة شكر ACKNOWLEDGEMENT

لا يسعني في نهاية هذه المشوار العلمي إلا أن أتوجه بأخلص معاني الشكر والعرفان لكل من مدّ لي يد العون في إكمال هذا العمل وإنجازه كي يرى النور. وأخص بالشكر:

رئاسة جامعة حلب ممثلة بالأستاذ الدكتور **نضال شحادة**، وعمادة كلية الزراعة ممثلة بالأستاذ الدكتور **محمد نبيل شلبي** لبذلهما كل الجهود الممكنة في سبيل دعم البحث العلمي وتطوره، وكذلك قسم وقاية النبات ممثلاً بالأستاذ الدكتور **أمين حاج قاسم** رئيس القسم لكل ما وفره من تسهيلات ساعدت في تمهيد الطريق أمام نجاح هذا العمل.

لجنة الحكم الممثلة بالأستاذ الدكتور **بسام بياعة** والأستاذ الدكتور **محمد ابو شعر** والأستاذ الدكتور **محمود حسن** لمراجعة الأطروحة وتكبده عناء السفر وملاحظاتهم القيمة التي أغنت الأطروحة.

المشرفين على هذا البحث الأستاذ الدكتور **بسام بياعة** الذي له الدور الأكبر في توجيه خطوات البحث وتقديم الدعم والنصائح العلمية والمعنوية. ومهما كتبت فلن أحيط بما قدم لي من خبرات وكان بمثابة قدوة أحتذي بها في كافة مجالات الحياة والدكتور **عباس طالب عباس** الذي زودني بوافر خبرته وجزيل عونه.

المركز الدولي للبحوث الزراعية في المناطق الجافة (ICARDA) ممثلاً بالدكتور **محمود الصلح** المدير العام ونائبه الدكتور **مجد جمال** لرعاية قسم الدراسة الجزيئية لهذا البحث الدكاترة مايكل باوم والأخين سامر لبابيدي وعلاء حموية الذين قدموا لي الدعم لإكمال هذا العمل وإتمامه ولم يخلوا في أي مساعدة علمية ومعنوية؛ وفريق العمل في مخابر التقانة الحيوية في المركز الدولي للبحوث الزراعية في المناطق الجافة.

السيد عامر جنيدان، مهندس في مختبر تقانة الأحياء في كلية الزراعة كل من قدم لي الدعم لإكمال وإتمام هذا العمل ولم يخل في أي مساعدة علمية ومعنوية وأخص بالذكر الدكتور عبد الرحمن كلحوت، الدكتور موفق بيرق، الدكتور خالد قاسم والمهندس حجازي مندو من البحوث العلمية، حلب؛ الدكتور عبد المحسن السيد عمر، الدكتور بسام سليمان، المهندس محمد عبد الهادي، المهندس شادي سنكري وكادر مختبرات الأنسجة من المؤسسة العامة لإكثار البذار؛ والمهندس عمار بياعة من كلية الزراعة

وفي نهاية هذا الطريق أتقدم بأخلص معاني العرفان بالجميل **لأسرتي** التي أحاطتني بوافر المحبة والحنان ومدتني بجزيل العون والدعم والمعنوي مما ساعدني في تحقيق الهدف من هذا البحث كخطوة أولى في مجال التحصيل للدرجات العلمية العليا.

رانيا

الإهداء

إلى صاحب القلب الكبير...والدي

إلى الصدر الحنون.....فيرو

من شاطرنبي طو الحياة محمد

من درجت قبلي وكونت أسرة

توانا ومائنا

رانينا

تصريح

أصرح بأن هذا البحث بعنوان:

"تحديد المجموعات التشابكية لمجتمع الفطر *Rhizoctonia solani* Kühn. على البطاطا في سورية والتدابير الممكنة لإدارة المرض الذي يحدثه"

"Identification of Anastomosis Groups within Population of *Rhizoctonia solani* Kühn affecting potatoes in Syria and Potential Measures for Management of the Disease it Causes"

لم يسبق أن قبل للحصول على أية شهادة، ولا هو مقدم حالياً للحصول على شهادة أخرى

المرشحة

رانيا حاج عبدو

DECLARATION

I hereby certify that this work:

"Identification of Anastomosis Groups within Populations of *Rhizoctonia solani* Kühn affecting potatoes in Syria and Potential Measures for Management of the Disease it Causes"

Has not been accepted for any degree or it is not submitted to any other degree.

Candidate

Rania Haj Abdo

شهادة

نشهد بأن العمل المقدم في هذه الرسالة هو نتيجة بحث علمي قامت به المرشحة رانيا حاج عبدو بإشراف الأستاذ الدكتور بسام بياعة الأستاذ في قسم وقاية النبات من كلية الزراعة بجامعة حلب والدكتور عباس طالب عباس رئيس مختبر جودة البذور من المؤسسة العامة لإكثار البذار إن أية مراجع أخرى ذكرت في هذا العمل موثقة في نص هذه الرسالة.

رانيا حاج عبدو أ.د. بسام بياعة د. عباس طالب عباس

CERTIFICATE

We herein certify that the work described in this thesis is the result of scientific search conducted by the candidate Rania Haj Abdo under the supervision of Doctor Bassam Bayaa, Professor of Phytopathology at the Department of Plant Protection, Faculty of Agriculture, University of Aleppo, and Dr Abbas T. Abbas Head of Seed Quality Lab at the General Organization for Seed Multiplication, Aleppo

Rania Haj Abdo

Dr. Abbas T. Abbas

Dr. Bassam Bayaa

"تحديد المجموعات التشابكية لمجتمع الفطر *Rhizoctonia solani* Kühn. على البطاطا في سورية والتدابير الممكنة لإدارة المرض الذي يحدثه"

"Identification of Anastomosis Groups within Population of *Rhizoctonia solani* Kühn Affecting Potatoes in Syria and Potential Measures for Management of the Disease it Causes"

نوقشت هذه الرسالة وأجيزت بتاريخ 26 / 06 / 2011 م.

أعضاء لجنة الحكم

الأستاذ الدكتور بسام بياعة

الأستاذ الدكتور محمود حسن

الأستاذ الدكتور محمد أبو شعر

فهرس المحتويات

i	كلمة شكر
ii	الإهداء
iii	تصريح
iv	شهادة
v	فهرس المحتويات
xii	فهرس الجداول
xv	فهرس الأشكال

الفصل الأول

(مقدمة، أهداف البحث، دراسة مرجعية عامة)

2	1. مقدمة
3	2. أهداف البحث
3	3. الدراسة المرجعية العامة
5	4. أهم الأمراض الفطرية التي تصيب البطاطا في سورية
6	1.4 مرض القشرة السوداء Black Scurf والفطر/الفطور التي تحدثه
8	1.1.4 أعراض المرض Disease symptoms
12	2.1.4 دورة حياة الفطر ووبائيته Life Cycle and Epidemiology
14	3.1.4 الأضرار والخسائر الإقتصادية
15	4.1.4 المدى العوائلي للفطر
18	5.1.4 آلية حدوث المرض

الفصل الثاني

حصر انتشار مرض القشرة السوداء الذي يحدثه الفطر *R. solani* وتوزيعه في المناطق الرئيسية لزراعة البطاطا في سورية

20	1. مواد البحث وطرائقه: Materials and Methods	
20	1.1 عملية المسح الحقلية Field Survey	
21	2.1 عزل الممرض Pathogen isolation	
23	3.1 حفظ عزلات الفطر <i>Rhizoctonia</i> spp.	
23	4.1 اختبار القدرة الإمراضية للعزلات المجموعة مخبرياً Pathogenicity test	
24	2. النتائج	
24	1.2 المسح الحقلية	
31	2.2 عزل الممرض	
35	3.2 إختبار القدرة الإمراضية للعزلات المجموعة أثناء المسح الحقلية مخبرياً	
37	3. المناقشة	
37	1.3 المسح الحقلية	
38	2.3 عزل الممرض	
38	3.3 إختبار القدرة الإمراضية للعزلات المجموعة أثناء المسح الحقلية مخبرياً	

الفصل الثالث

تحديد المجموعات التشابكية AGs للفطر *R. solani* في المناطق المدروسة بطريقة تشابك الهيف وبالطرائق الجزيئية

39	1. الدراسة المرجعية	
39	1.1 تقنية تشابك الهيف	
42	2.1 الطرائق الجزيئية باستخدام المؤشرات الجزيئية للـ DNA	
42	1.2.1 الدراسة المرجعية	
42	1.1.2.1 المبادئ الأساسية لـ PCR	

42	دورات PCR	2.1.2.1
43	تقانات تعتمد على PCR	3.1.2.1
45	2. مواد العمل وطرائقه	
45	1.2 تحديد فئات المجموعات التشابكية للفطر <i>R. solani</i>	
45	1.1.2 تقنية تشابك الهيف	
46	2.1.2 اختبار القدرة الإراضية للمجموعات التشابكية مخبرياً	
46	2.2 الطرائق الجزيئية	
46	1.2.2 تحضير الفطر	
46	2.2.2 استخلاص DNA (DNA Extraction)	
48	3.2.2 تقدير كمية ونوعية الـDNA المستخلص من خلال ترحيل العينات ضمن هلامة آغاروز	
	4.2.2 تضخيم الـDNA بواسطة التفاعل التسلسلي البوليميرازي (PCR)	
50	وباستخدام بادئات SSR متخصصة	
	5.2.2 استخدام تقانة مكاثرة القطع المتباينة الناتجة عن التجزئ الأنزيمي	
52	Amplified Fragment Length Polymorphism (AFLP)	
56	6.2.2 تحضير هلامة البولي أكريلاميد Polyacrylamid Gel	
	7.2.2 فصل جزيئات DNA المكاثرة على هلام الأكريلاميد بواسطة جهاز الرحلان الكهربائي	
57	تبعاً لـ (Promega Co, 1994)	
	8.2.2 تلوين DNA على هلامة البولي أكريلاميد بواسطة نترات الفضة	
57	DNA Silver Staining System	
58	9.2.2 جمع البيانات والتحليل الاحصائي	
58	3 النتائج	
58	1.3 تحديد فئات المجموعات التشابكية لعزلات الفطر المجموعة أثناء المسح الحقلي في سورية	
58	1.1.3 تقنية تشابك الهيف	
62	2.1.3 اختبار القدرة الإراضية للمجموعات التشابكية AGs مخبرياً	
64	2.3 نتائج الطرائق الجزيئية	
	1.2.3 تضخيم الـDNA بواسطة التفاعل التسلسلي البوليميرازي (PCR)	
64	وباستخدام بادئات SSR متخصصة	
	2.2.3 استخدام تقانة مكاثرة القطع المتباينة الناتجة عن التجزئ الأنزيمي	
65	Amplified Fragment Length Polymorphism (AFLP)	

69	4	المناقشة
69	1.4	تحديد فئات المجموعات التشابكية Identification of AGs
69	1.1.4	تشابك الهيف
71	2.1.4	اختبار القدرة الإراضية للمجموعات التشابكية AGs مخبرياً
72	2.4	الطرائق الجزيئية

الفصل الرابع

عزل الكائنات الدقيقة، البكتيرية والفطرية، التي تتسم بتأثير تضادي إزاء الفطر *R. solani*
المحدث لمرض القشرة السوداء على البطاطا

75	1	الدراسة المرجعية
75	2	مواد العمل وطرائقه
	1.2	عزل الكائنات البكتيرية التي تتسم بتأثير تضادي إزاء الفطر
75		<i>Rhizoctonia solani</i> المحدث لمرض القشرة السوداء على البطاطا
77	2.2	حفظ العزلات البكتيرية
77	3.2	جهاز تحديد هوية البكتيريا (جهاز BIOLOG)
	4.2	عزل الكائنات الفطرية التي تتسم بتأثير تضادي إزاء الفطر
80		<i>Rhizoctonia solani</i> المحدث لمرض القشرة السوداء على البطاطا
81	3.	النتائج
	1.3	الكائنات البكتيرية التي تتسم بتأثير تضادي إزاء الفطر <i>R. solani</i> المحدث
81		لمرض القشرة السوداء على البطاطا
	2.3	الكائنات الفطرية التي تتسم بتأثير تضادي إزاء الفطر <i>R. solani</i>
83		المحدث لمرض القشرة السوداء في البطاطا
85	4	المناقشة

الفصل الخامس المكافحة الكيميائية

86	1	الدراسة المرجعية
86	1.1	معاملة الدرنات
87	2.1	المكافحة في الحقل
87	2	مواد العمل وطرائقه
88	3.	النتائج
91	4.	المناقشة

الفصل السادس

الإسهام في وضع خطة متكاملة لمكافحة المرض باستخدام الكائنات المضادة (مكافحة أحيائية)
والمبيدات الكيميائية للفطور (مكافحة كيميائية)

93	1	الدراسة المرجعية
95	2	مواد العمل وطرائقه
95	1.2	تحضير اللقاح: Inoculum preparation
95	2.2	إعداد التربة باللقاح
99	3	النتائج
120	4	المناقشة

الفصل السابع الاستنتاجات والتوصيات

126	الاستنتاجات
127	التوصيات

127	المراجع
148	الملخص العربي
150	الملخص الإنكليزي
152	الملحقات
152	ملحق رقم 1. الأوساط الغذائية
154	ملحق رقم 2. المحاليل المستخدمة في الدراسة الجزيئية
156	ملحق رقم 3. تحضير المحاليل الخاصة بزراعة نسج البطاطا
157	ملحق رقم 4. ملحق جدول 3
161	ملحق رقم 5. جدول المصطلحات
162	ملحق رقم 6. العزلات البكتيرية المعزولة من العينات الترابية

فهرس الجداول

رقم الجدول	عنوان الجدول	رقم الصفحة
1	بعض الإحصائيات عن محصول البطاطا في سورية في الفترة الممتدة من 2005-2009	4
2	بعض المجموعات التشابكية العائدة للفطر <i>R. solani</i> والعوائل التي تصيبها	16
3	متوسط نسبة الإصابة (%) والأعراض التي سببتها الفطور المعزولة على أصناف البطاطا خلال عملية المسح الحقلّي لموسمي 2007/ 2008 في محافظة حلب	26
4	متوسط سرعة النمو (مم /يوم) لعزلات الفطر <i>Rhizoctonia spp.</i> المجموعة خلال المسح الحقلّي	32
5	لون وجهي الطبّق العلوي والسفلي لمستعمرات عزلات الفطر <i>Rhizoctonia spp.</i> المجموعة خلال عملية المسح الحقلّي	33
6	نتائج اختبار القدرة الإمراضية وتطبيق فرضيات كوخ على عزلات المسح الحقلّي (على الصنف بينيلا). التأثير بين العزلات والصنف القابل للإصابة	36
7	تصنيف تشابك الهيفّا لدى الفطر <i>Rhizoctonia solani</i> (Carling et al., 1990 بتصرف)	40
8	المواد المستخدمة في المزيج الخاص وحجم المواد المستخدمة وتركيزها	51
9	التتابع النيكلوتيدي للبادئات المستخدمة في تفاعل الـ PCR للكشف عن عزلات المجموعة AG3 للفطر <i>R. solani</i>	51
10	معلومات عن بادئات SSR الخاصة بالفطر <i>R. solani</i>	52
11	المواد المستخدمة في مرحلة الهضم وحجم المواد المستخدمة وتركيزها	53
12	المواد المستخدمة في مرحلة الربط وحجم المواد المستخدمة وتركيزها	53
13	المواد المستخدمة في مرحلة التضخيم الأولي وحجم المواد المستخدمة وتركيزها	54
14	المواد المستخدمة في مرحلة التضخيم الانتقائي وحجم المواد المستخدمة وتركيزها	55
15	التتابع النيكلوتيدي للبادئات المستخدمة في مرحلة التضخيم الانتقائي	55
16	تعريف العزلات السورية الممرضة والمجموعات التشابكية التي انتمت إليها اعتماداً على تقنية تشابك الهيفّا	59
17	تفاعل المجموعات التشابكية للفطر <i>R. solani</i> مع الصنف القابل للإصابة (بينيلا) ولون الأجسام الحجرية لهذه المجموعات وكثافتها	62
18	متوسط سرعة النمو (مم/اليوم) للمجموعات التشابكية للفطر <i>R. solani</i> على وسط PDA	63
19	يوضح متوسط معامل التشابه الوراثي بين عزلات كل محافظة على حده، وبين عزلات كل محافظة والمحافظات الأخرى، وبين كل العزلات بغض النظر عن المحافظة، ومتوسط معامل التشابه الوراثي بين المجموعة التشابكية AG3 وعزلات كل محافظة، وبين المجموعة التشابكية AG3 والعزلات السورية بغض النظر عن المحافظة	68
20	الأنزيمات الموجودة داخل حفر الطبّق الخاص بالبكتيريا الموجبة الغرام والتي سيقروها الجهاز	79
21	متوسط نسبة المنع للعزلات البكتيرية التي اتسمت بتأثير تضادي للفطر <i>R. solani</i> للمجموعة AG3 ومناطق أخذ العينة ونسب التضاد لكل منها	82

رقم الصفحة	عنوان الجدول	رقم الجدول
83	نتائج التأثير التضادي للفطر <i>Trichoderma sp.</i> في المجموعة AG3 لـ <i>R. solani</i> وقياس قطر المستعمرة لكلا الفطرين وكلاهما على طبق واحد	22
84	نتائج التأثير التضادي للفطر <i>Trichoderma sp.</i> في المجموعة AG3 لـ <i>R. solani</i> وقياس قطر المستعمرة لكلا الفطرين من خلال تطابق الأطباق	23
89	نتائج تأثير التراكيز الثلاثة للمبيد في نمو ميسيليوم المجموعات التشابكية للفطر <i>R. solani</i> (م/يوم) بالإضافة لوجود الشاهد	24
90	نتائج تأثير المبيد <i>tolclofos methyl</i> في قطر نمو ميسيليوم الفطر التضادي <i>Trichoderma sp.</i> بالمليمتري	25
101	نتائج القدرة الإراضية للمجموعات التشابكية تحت ظروف الدفينة الزجاجية على الصنف بينيلا	26
103	متوسط وزن الدرنات (غ) وعدد الدرنات (درة). للنباتات المعدة بالمجموعات التشابكية ضمن ظروف الدفينة الزجاجية	27
104	مقارنة الأعراض التي سببتها المجموعات التشابكية للفطر <i>R. solani</i> ضمن ظروف المختبر وظروف الدفينة الزجاجية	28
105	وزن الدرنات (غ) وعدد الدرنات (درة). لمعاملة الشاهد ضمن ظروف الدفينة الزجاجية	29
106	نتائج تأثير التراكيز الثلاثة للمبيد <i>tolclofos methyl</i> في عزلات المجموعة التشابكية AG3 ضمن ظروف الدفينة الزجاجية	30
107	متوسط وزن الدرنات بالغرام لمعاملات تراكيز المبيد بغض النظر عن عزلات المجموعة التشابكية	31
107	متوسط وزن الدرنات بالغرام لمعاملات تراكيز المبيد مع الأخذ بعين الاعتبار عزلات المجموعة التشابكية	32
108	متوسط عدد الدرنات إزاء تراكيز المبيد <i>Rizolex</i> وبغض النظر عن عزلات المجموعة التشابكية	33
108	متوسط عدد الدرنات بالغرام لمعاملات تراكيز المبيد مع الأخذ بعين الاعتبار لعزلات المجموعة التشابكية	34
109	نتائج تأثير المكافحة الأحيائية باستخدام <i>Trichoderma sp.</i> في عزلات المجموعة التشابكية AG3 ضمن ظروف الدفينة الزجاجية	35
110	متوسط وزن الدرنات بالغرام عند الإعداء بالعزلات التشابكية AG3 و AG3 P. و AG3 R. دون إضافة الفطر التضادي <i>Trichoderma sp.</i>	36
110	متوسط وزن الدرنات بالغرام. نتيجة استخدام المكافحة الأحيائية بغض النظر عن العزلة التشابكية	37
110	متوسط وزن الدرنات بالغرام للعزلات التشابكية عقب استخدام المكافحة الأحيائية باستخدام الفطر <i>Trichoderma</i>	38
111	متوسط عدد الدرنات. نتيجة استخدام المكافحة الأحيائية بغض النظر عن العزلة التشابكية	39
111	متوسط عدد الدرنات بالغرام للنباتات المعدة بالعزلات التشابكية عقب استخدام المكافحة الأحيائية باستخدام الفطر <i>Trichoderma sp.</i>	40
112	نتائج التأثير المزدوج للمكافحة الكيميائية والأحيائية في عزلات المجموعة التشابكية AG3 ضمن ظروف الدفينة الزجاجية	41
113	متوسط وزن الدرنات للنباتات المعدة بعزلات المجموعة التشابكية AG3 دون استخدام المكافحة	42

رقم الجدول	عنوان الجدول	رقم الصفحة
43	متوسط وزن الدرنات بالغرام نتيجة استخدام المكافحة الكيميائية والأحيائية معاً بغض النظر عن العزلة التشابكية	113
44	متوسط وزن الدرنات بالغرام من النباتات المعاملة باستخدام المكافحة الكيميائية والأحيائية مع الأخذ بعين الاعتبار العزلة التشابكية	113
45	متوسط عدد الدرنات بالغرام من النباتات المعاملة باستخدام المكافحة الكيميائية والأحيائية مع الأخذ بعين الاعتبار العزلة التشابكية المستخدمة في الإعداد	114
46	نتائج تأثير المكافحة الأحيائية باستخدام البكتيريا <i>Bacillus subtilis</i> في عزلات المجموعة التشابكية AG3 وضمن ظروف الدفيئة الزجاجية	114
47	متوسط وزن الدرنات بالغرام نتيجة استخدام المكافحة الأحيائية باستخدام البكتيريا <i>Bacillus subtilis</i> بغض النظر عن العزلة التشابكية	115
48	متوسط وزن الدرنات بالغرام نتيجة استخدام المكافحة الأحيائية مع الأخذ بعين الاعتبار العزلات التشابكية	115
49	متوسط عدد الدرنات جراء استخدام المكافحة الأحيائية باستخدام البكتيريا <i>Bacillus subtilis</i> بغض النظر عن العزلة التشابكية	116
50	متوسط عدد الدرنات نتيجة استخدام المكافحة الأحيائية مع الأخذ بعين الاعتبار العزلة التشابكية المستخدمة في الإعداد	116
51	نتائج تأثير المكافحة الأحيائية باستخدام البكتيريا <i>Bacillus subtilis</i> والفطر <i>Trichoderma sp.</i> في المجموعة التشابكية AG3 ضمن ظروف الدفيئة الزجاجية	117
52	متوسط وزن الدرنات بالغرام نتيجة استخدام المكافحة الأحيائية باستخدام البكتيريا <i>Bacillus subtilis</i> والفطر <i>Trichoderma sp</i> بغض النظر عن عزلة المجموعة التشابكية المستخدمة في الإعداد	118
53	متوسط وزن الدرنات بالغرام نتيجة استخدام المكافحة الأحيائية باستخدام البكتيريا <i>Bacillus subtilis</i> والفطر <i>Trichoderma sp</i> مع الأخذ بعين الاعتبار عزلات المجموعة التشابكية	118
54	متوسط عدد الدرنات. نتيجة استخدام المكافحة الأحيائية باستخدام البكتيريا <i>Bacillus subtilis</i> والفطر <i>Trichoderma sp</i> في عزلي المجموعة التشابكية AG3 المستخدمة في الإعداد	118
55	نتائج حساسية الأصناف الثلاث (بينلا-سيونتا-دراجا) للمجموعة التشابكية AG3 ضمن ظروف الدفيئة الزجاجية	119
56	متوسط وزن الدرنات بالغرام لأصناف البطاطا (بينلا، سيونتا، دراجا) المعدة بالمجموعة التشابكية AG3	119
57	متوسط عدد الدرنات لأصناف البطاطا (بينلا، سيونتا، دراجا) المعدة بالمجموعة التشابكية AG3	120

فهرس الأشكال

رقم الشكل	عنوان الشكل	رقم الصفحة
1	أعراض الذبول التي يسببها الفطر <i>Rhizoctonia solani</i>	9
2	أعراض الساق السلوكية والتقرحات التي يسببها <i>R. solani</i>	10
3	التباين بين الأعراض التي يسببها الفطر <i>R. solani</i> وأعراض الساق الأسود الذي تسببه البكتيريا <i>Erwinia carotovora subsp. carotovora</i> (اليسار).	10
4	غياب بعض النباتات في الحقل وتفاوت في الإنبات ناجم عن الإصابة بالفطر <i>Rhizoctonia spp.</i> وأخذ العينات الترابية	20
5	الأعراض المختلفة التي يحدثها الفطر <i>R. solani</i>	21.
6	عزل الفطر المسبب للإصابة من أجزاء النبات المختلفة	21
7	طريقة طرف الهيفا للحصول على عزلات نقية من الفطر <i>Rhizoctonia spp.</i>	22
8	تباين الأعراض التي أحدثتها عزلات المسح الحقل	23
9	عزل مكان الإصابة للتأكد من كون <i>Rhizoctonia spp.</i> هو المسبب لهذه الأعراض	31
10	يوضح مدى التشابه بين العزلات من حيث لون المستعمرة	35
11	صفحة سكب الآغاروز مع المشط	49
12	جهاز الرحلان الكهربائي الأفقي المستخدم	49
13	التشابه بين هيفا المجموعة التفريقية والعزلة المجموعة باستخدام صبغات مختلفة	61
14	تركيز الـ DNA للعزلات والمجموعات التشابكية على هلام الآغاروز 1%	64
15	صورة الهلام باستخدام زوج البادئات لـ AG3P وفقاً لتقنية SSR	65
16	الشجرة الوراثية ومدى التقارب بين العزلات والمجموعات التشابكية	67
17	مدى التشابه بين عزلات المحافظة التي جرت عليها عملية المسح الحقل	69
18	استخدام التراكيز المختلفة للبكتيريا، والحصول على عزلات نقية لإجراء التخطيط الأولي لمعرفة العزلات البكتيرية المضادة إزاء المجموعة AG3 التابعة للفطر <i>R. solani</i>	76
19	طبق خاص بالبكتيريا الموجبة لغرام، وتوزع المصدر الكربوني ضمن حفر الطبق	79
20	التضاد البكتيري للمجموعة AG3 للفطر <i>R. solani</i>	83
21	تنشيط نمو المجموعة AG3 من قبل الفطر <i>Trichoderma sp.</i> مع التبوغ الكثيف	85
22	مجانسة الوسط، وزراعة أقراص من المجموعات التشابكية AGs في وسط الطبق المسمم	88
23	تأثير المبيد tolclofos methyl في المجموعة AG2-2 وتحول شكل الميسيليوم إلى قطني	88
24	تأثير المبيد tolclofos methyl في الفطر <i>Trichoderma sp.</i>	91
25	تحضير البيئة الحبية الحاملة للفطر <i>R. solani</i> (أو تحضير لقاح العدوى)	95
26	عملية الإعداء والزراعة ووضع كل معاملة في صواني خاصة بها	96
27	إعداء البتموس بالفطر <i>Trichoderma sp.</i> وبالتركيز المطلوب مع الحفاظ على مجانسة التركيز	98
28	الأعراض التي أحدثتها المجموعة AG4GHI على التاج والمجموعة AG2-2 على الدرنات الناتجة مقارنة مع الشاهد، تحت ظروف الدفينة الزجاجية	100
29	الأعراض التي أحدثتها المجموعة AG3 من تقرحات ومرض القشرة السوداء على الدرنات الناتجة تحت ظروف الدفينة الزجاجية	101

الفصل الأول

(مقدمة، أهداف البحث، دراسة مرجعية عامة)

1. مقدمة

تعدّ البطاطا/ البطاطس *Solanum tuberosum* L. من المحاصيل الرئيسية المهمة، وتزرع أصنافها المتنوعة في مناطق وظروف مناخية مختلفة من العالم (Potato news, 2004; Van der (Zaag, 1991). وهي تنتمي إلى العائلة الباذنجانية *Solanaceae* (الورع، 1977). ويضم الجنس *Solanum* حوالي 2000 نوع، تنمو في ظروف بيئية متنوعة من درجات الحرارة، والرطوبة، والإضاءة، وفي ترب مختلفة (Van der Zaag, 1991). الموطن الأصلي للبطاطا هو أمريكا الجنوبية (البيرو وتشيلي وبوليفيا)، حيث ازدهرت زراعتها هناك منذ أكثر من 400 سنة، وكان المستكشفون الإسبان أول الأوروبيين الذين أكلوا البطاطا. (من الموقع على الشبكة الإلكترونية: <Http://42explore.com/potato.htm>)

تأتي أهمية البطاطا من كونها محصولاً غذائياً رئيساً لا يتفوق عليها، من حيث الإنتاج العالمي للاستهلاك البشري، سوى محاصيل القمح والذرة والأرز. وهي تستخدم بشكل كبير في تغذية الإنسان وعلف الحيوانات، والاستعمالات الصناعية. وللبطاطا قيمة غذائية عالية حيث تحتوي درناتها على 78% ماء، وحوالي 18% نشاء (كربوهيدرات)، والباقي بروتينات ومواد معدنية و0.1% مواد دهنية. كما تحتوي درناتها على عديد من الفيتامينات المهمة مثل فيتامين C والريبوفلافين والثيامين، وتعدّ البطاطا غنية بالعناصر المعدنية وبخاصة الكالسيوم والبوتاسيوم والفوسفور والمغنيزيوم (The NSF Potato Genome Project). (من الموقع على الشبكة الإلكترونية: www.potatogenome.org/nsf5/home)

تصاب البطاطا في سورية بعديد من الأمراض الفطرية، ويأتي مرض القشرة السوداء Black scurf الذي يحدثه الفطر *Rhizoctonia solani* في مقدمة تلك الأمراض (خوري وآخرون، 1974)، كونه يحدث خسائر كبيرة كمية ونوعية؛ كما يصيب الفطر عالمياً أهم المحاصيل الغذائية التابعة للعائلة الباذنجانية ومنها الباذنجان، والفليفلة، والبطاطا، وكذلك القطن ومحاصيل أخرى (Ceresini et al., 2007)

2. أهداف البحث Objectives:

تتبع أهمية هذا البحث من أن معرفة حدوث مجموعات تشابكية Anastomosis Groups (AGs) نوعية في منطقة ما قد يكون مفيداً لتقويم استعمال مبيدات الفطور الاختيارية لمجموعات تشابكية معينة؛ وفي التنبؤ بتطور المرض؛ وتصميم أدوات تشخيص مناسبة؛ وتحديد التعاقب المحصولي في الدورة الزراعية. لذا هدف هذا البحث إلى:

- حصر انتشار مرض القشرة السوداء الذي يحدثه الفطر *R. solani* وتوزيعه في المناطق الرئيسية لزراعة البطاطا في سورية،
- تحديد المجموعات التشابكية AGs للفطر *R. solani* في المناطق المدروسة بطريقة تشابك الهيفا وبالطرائق الجزيئية،
- عزل الكائنات الدقيقة، البكتيرية والفطرية، التي تتسم بتأثير تضادي إزاء الفطر *R. solani* المحدث لمرض القشرة السوداء على البطاطا،
- تأثير المبيد تولكلوفوس ميثيل في مكافحة المرض،
- الإسهام في وضع خطة متكاملة لمكافحة المرض باستخدام الكائنات المضادة (مكافحة أحيائية) والمبيدات الكيميائية للفطور (مكافحة كيميائية).

3. الدراسة المرجعية العامة

يتزايد الاهتمام في سورية بمحصول البطاطا لأهميته في تحقيق الأمن الغذائي. وتركز الحكومة على استراتيجية الإكتفاء الغذائي، وتحسين إنتاجية المحصول وتنوعه. وفي سورية، هناك ثلاث مناطق رئيسية تناسب زراعة البطاطا هي:

المناطق المرتفعة حول دمشق (700-1400 متر فوق سطح البحر) وتمثل حوالي 30% من الإنتاج الوطني السنوي.

المناطق الداخلية قليلة الارتفاع (200-500 متر عن سطح البحر)، وتتسم بظروف مناخية زراعية متماثلة رغم عدم تجاورها، وتسهم بأكثر من 60% من الإنتاج الوطني السنوي. وتقع هذه المناطق في محافظات إدلب، حمص، حماة (الغاب)، حلب.

الزراعات البعلية على طول الساحل (قرب اللاذقية وطرطوس)، وتسهم بحوالي 10% من الإنتاج الوطني السنوي.

وفيما يخص الأصناف المزروعة، تقوم الهيئة العامة للبحوث العلمية الزراعية بإجراء الاختبارات اللازمة على الأصناف المراد استيرادها، وتحدد الأصناف المسموح بإدخالها. وقد حددت في عام 2010 قائمة شملت 61 صنفاً، وأوصت بأن يتم الاستيراد من ضمن تلك القائمة وفقاً للمواصفات الفنية. ومن الأصناف الموصى بها: أصناف بينيلا، دراجا، سيونتا، أريندا، مارفونا، أجريا، أورلا، أطلس، آحيبا، آرمادا، ليسيتا، بورين، دايامنت، أرنوبا، مارابيل (دائرة البطاطا في الهيئة العامة للبحوث العلمية الزراعية - اتصال شخصي).

وحسب إحصائيات منظمة الأغذية والزراعة للأمم المتحدة (FAO) لعام 2009 (<http://faostat.fao.org>)، نجد أن إنتاجية البطاطا في سورية كانت شبه مستقرة في الأعوام الخمسة الأخيرة. وحقق الإنتاج قفزات نوعية وبخاصة في عام 2008، ويعزى ذلك أساساً إلى إقبال المزارعين على التوسع في المساحات المزروعة بهذا المحصول المهم (جدول 1).

جدول 1: بعض الإحصائيات عن محصول البطاطا في سورية في الفترة الممتدة من 2005-2009.

السنة	2005	2006	2007	2008	2009
الإنتاجية/كغ/هـ	20623	21767	18342	19918	19848
الإنتاج/طن	608400	603400	570128	720492	709601
المساحة المزروعة/هـ	29.500	27.270	31.082	36.172	35.751
كمية البذار/طن	34,800	37,298	43,406	42.901	-

وبغية تأمين مواد الإكثار المناسبة ذات النوعية الجيدة، والإقلال من الاعتماد على البذار المستورد، وتوفير القطع الأجنبي، ومنع الاحتكار الخارجي، بدأت المؤسسة العامة لإكثار البذار مشروعاً وطنياً لتأمين حاجة الزراع من البذار الجيد. وهي تتبع في ذلك سياسة متعددة المراحل تبدأ بزراعة النسج، ثم زراعة شتول البطاطا في الدفيئة الزجاجية، ثم في البيوت الشبكية وانتهاءً بالزراعة في الحقول المفتوحة.

تتم الزراعة ضمن الدفيئة الزجاجية لإنتاج المراحل المتقدمة من بذار البطاطا - بذار أمهات - وبالنسبة للأمراض النباتية التي تواجه الزراعة في هذه المرحلة فهي قليلة، وذلك بسبب تطبيق برنامج وقائي صارم، فقد تظهر اللفحات (المبكرة والمتأخرة)، وقد ظهرت الإصابة بفطر *R. solani* على كلون من الصنف بينيلا (بسام بياعة، 2007 - اتصال شخصي).

تتم الزراعة ضمن البيوت الشبكية لمنع وصول الحشرات وبخاصة حشرات المنّ الناقلة للأمراض الفيروسية، وذلك للحصول على بذار سليم خال من الفيروسات وبمرتبة سوبر إيليت (SE).

يلي ذلك الزراعة في الحقل المكشوف لتأمين بذار البطاطا والناتج يكون مرتبة إيليت. يزرع ناتج الحقول المكشوفة في الحقل ويصنف الناتج في مرتبة class A.

4. أهم الأمراض الفطرية التي تصيب البطاطا في سورية:

- تصاب البطاطا المزروعة في سورية بعدد من الأمراض الفطرية، نذكر فيما يلي أهمها وفق المسح الذي أجراه خوري ورفاقه (1974):
- اللفحة المتأخرة المتسبب عن (*Phytophthora infestans* (Mont.) de Bary) والتي تعدّ مشكلة رئيسية في المناطق المرتفعة.



- اللفحة المبكرة المتسبب عن (*Alternaria solani* Ellis & G.Martin) وهي من الأمراض الشائعة في كافة المناطق.
- القشرة السوداء المتسبب عن (*Rhizoctonia solani* Kühn)، وبخاصة في العروة الخريفية في محافظة إدلب.

- ذبول فيوزاريوم المتسبب عن (*Fusarium spp.*)، وذبول فيرتيسليوم المتسبب عن (*Verticillium* *dahlia* Kleb) والذي كان انتشاره كبيراً في (خريف 2007) في عدة هكتارات بمنطقة أعزاز مزروعة بدرنات مجهولة المصدر (بياعة - اتصال شخصي).
- الأنتراكنوز المتسبب عن (*Colletotrichum coccodes* (Wallr.) Hughes) والذي عزل مرافقاً للإصابة بذبول فيرتيسليوم من المنطقة آنفة الذكر.

1.4 مرض القشرة السوداء Black Scurf والفطر/الفطور التي تحدثه

سنتناول مرض القشرة السوداء بشيء من التفصيل كونه سيكون المحور الرئيس لدراستنا، وللأضرار الكبيرة التي يلحقها بالإنتاج من الناحيتين الكمية والنوعية.

الطور اللاجنسي للفطر المسبب لمرض القشرة السوداء هو (*Rhizoctonia solani* Kühn). وكان Candolle عام 1815 م قد أنشأ الجنس *Rhizoctonia* (من اللاتينية "قاتل الجذور") ليضع فيه ممرضاً للجذور، غير متبوغ هو الفطر *Rhizoctonia crocorum*. ومن الصفات الأساسية للجنس التي راعاها ذلك الباحث: تشكيل الفطر لأجسام حجرية (sclerotia) ذات بنية متجانسة، تخرج منها خيوط هيفية، وارتباط الميسيليوم مع جذور النباتات الحية (Parmeter and Whitney, 1970). ويعدّ النوع *Rhizoctonia solani* من أكثر أنواع الجنس *Rhizoctonia* شيوعاً، وقد سُجل على البطاطا من قبل Julius kühn عام 1858م، وتم تسجيله فيما بعد في جميع مناطق زراعة البطاطا في العالم (Tsrer, 1980; Doornik, 1996; Banville et al., 1999; Ceresini, 2010). وللفطر *R. solani* عدة مرادفات منها: *Moniliopsis solani* (Moore, 1987) و *Moniliopsis anderholdii* (Wharton et al., 2007; Ceresini, 1999).

يتبع الفطر، في هذا الطور، صف الفطور الناقصة Deuteromycetes، ورتبة الميسيليوم العقيم Mycelia sterilia. وهو يتكاثر في الطبيعة لاجنسياً ويوجد بشكل أساسي على هيئة ميسيليوم خضري و/أو أجسام حجرية. يكون الميسيليوم الخضري للنوع *R. solani* وأنواع الجنس *Rhizoctonia* الأخرى عديم اللون عندما يكون فتياً، ويصبح بني اللون عندما ينمو ويتقدم بالعمر. يتألف الميسيليوم من هيفات مقسمة إلى خلايا فردية بحواجز عرضية (septa مفرداً septum)، تحوي هذه الحواجز ثقوباً على شكل كعكة dough-nut، تسمح بحركة السيتوبلازم والمصورات الحيوية والنوى من خلية لأخرى. تتفرع الهيفا وفق زوايا قائمة، مشكلةً تخلصراً عند نقطة التفرع وحاجزاً عرضياً بالقرب منه، وتمتلك خلاياها أكثر من ثلاث نوى عادةً. وقد استخدم شكل ثقوب الحواجز العرضية septal pore

وعدد النوى في الخلية (cellular nuclear number CNN) على نطاق واسع من قبل الباحثين لتمييز النوع *R. solani* عن الأنواع الأخرى التابعة للجنس ذاته. تتميز خلايا النوع *R. solani* القريبة من القمم النامية للهيئات الفتية بعدد نوى CNN أكثر من 2 (4-11 نواة/الخلية) (Berggren, 1985)، ويبلغ عرض الهيفات النامية الرئيسة أكثر من 7µm، ولون الميسليوم أصفر برتقالي إلى بني فاتم، والأجسام الحجرية، إن وجدت، تكون غير منتظمة الشكل ولونها بني فاتح إلى بني داكن، وغير متميزة إلى قشرة ولب (Ceresini, 1999).

وهناك تعريف أكثر حداثة وقبولاً (Ogoshi, 1984) يعرف الفطر بأنه فطر ناقص (ذو ارتباط مع الفطور البازيدية) يتسم بالصفات التالية:

- تفرّع قرب الحاجز الظهري لخلايا الهيفات الخضرية الفتية وتشكيل حاجز في الفرع الهيفي قرب نقطة الأصل،
- تخفض الفرع الهيفي عند نقطة التفرّع،
- وجود حاجز من نوع dolipore،
- عدم وجود وصلات مقبضية Clamp connection بين خيوط الهيفات،
- الجسم الحجري، عند وجوده، غير متميز إلى منطقتي القشرة والمخ،
- عدم وجود جدائل هيفية Rhizomorphs،
- عدم وجود أبواغ كونيدية.

وتشير تقارير أخرى إلى إمكانية وضع أنواع الفطر التابع لجنس *Rhizoctonia*، تبعاً لعدد النوى في الخلية الواحدة في ثلاث مجموعات:

1. **ثنائية النوى Binucleate** (نواتان في الخلية الواحدة) وطورها الجنسي يتبع الجنس *Ceratobasidium* Rogers. وتتسم أفراد هذه المجموعة بامتلاكها هيفاً أقل ثخانة (4-7 ميكرونات)، وتشكلها مستعمرات بلون نشوي إلى بني باهت. ونادراً ما تشكل أجساماً حجرية. ومن الأنواع الممثلة لهذه المجموعة *R. cerealis* van der Hoeren (الطور الجنسي *C. cereale* Murray & Burpee) و *R. fragaria* Hussain & Mc keen.
2. **متعددة النوى Multinucleate** (أكثر من ثلاث نوى في الخلية)، مع طور جنسي يتبع *Thanatephorus* Donk. وتتسم أفراد هذه المجموعة بامتلاكها هيفاً عريضة (بقطر من 6-14 ميكروناً)، وتكون مستعمراتها ملونة بأصبغة تتراوح من البني الخفيف إلى البني الغامق. تشكل أنواع هذه المجموعة عادة أجساماً حجرية ذات لون بني. ومن أهم أنواع هذه المجموعة *Rhizoctonia solani* Kühn (طوره الجنسي *Thanatephorus cucumeris* (Frank) Donk) ومن الأنواع الأخرى التي تنضوي تحت هذه المجموعة مع أطوار جنسية نذكر *T.*

sterigmaticus ذي التوزع المحدود و *T. orchidicola* و *T. corchorus* (Domsch et al., 1980).

3. **متعددة النوى Multinucleate** (أكثر من ثلاث نوى في الخلية) وطور جنسي يتبع الجنس *Waitea* (Warcup & Talbot). وتتسم أفراد هذه المجموعة بتشكيل هيفا ذات أقطار متوسطة (بقطر 5-10 ميكرونات). يتنوع لون المستعمرات والأجسام الحجرية المنتشكلة من الأصفر إلى القرمزي إلى البرتقالي. تضم هذه المجموعة أنواع *R. oryzae* و *R. zaeae*.

لم يقتصر التشويش التصنيفي للفطر *Rhizoctonia* على الطور اللاجنسي فقط، ولكنه امتد ليشمل الطور الجنسي أيضاً. وقد سجل الطور الجنسي للفطر *R. solani* لأول مرة من قبل B. Frank الذي وصف فطراً متبوغاً على نبات الخيار اسماء *Hypochnus cucumeris*. على أن العلاقة ما بين هذا الطور الجنسي و *R. solani* لم تعرف حتى أوضحها Rolfs عام 1904 (Talbot, 1970). وكان Kotilla (1929) الأول الذي حفّز الفطر على تشكيل دعامات (basidia) على وسط الآجار، واصفاً نوعاً جديداً من *Rhizoctonia* منتجاً للأبواغ أسماه *Corticum praticola*. ومنذ ذلك الحين، تم وضع *R. solani* في أجناس *Botryobasidium*، *Pellicularia*، *Ceratobasidium*، وحالياً *Thanatephorus*. ونشر Tu & Kimbrough (1978) مراجعة دقيقة لتصنيف الطور الجنسي للفطور المنضوية تحت الجنس *Rhizoctonia* ووضعها في عائلة *Ceratobasidiaceae*. وعرفاً 5 أجناس في العائلة هي: *Aquathanatephorus*، *Waitea*، *Thanatephorus*، *Ceratobasidium*، و *Utholobasidium*. وتميّز هذه الأجناس عن بعضها بشكل الدعامة التي تشكلها.

1.1.4 أعراض المرض Disease symptoms:

يصيب الفطر معظم أجزاء نبات البطاطا في الظروف البيئية المناسبة لتطور المرض (Jeger 2005; Grosch et al., 1996; et al.). ويحدث الفطر على نباتات البطاطا الأعراض التالية:

تأخر الانبثاق، وإضعاف النبات (Baker, 1970)، تشققاً للدرنات وتشوهاً لشكلها (Grosch et al., 2005; Jeger et al., 1996; Powelson et al., 1993)، تقرحات على السوق تحت الأرضية والسوق المدادة، وتشكّل الأجسام الحجرية (القشرة السوداء) (Hooker, 1981)، انخفاض الجودة والغلة (Powelson et al., 1993; Jeger et al., 1996)، موت ما قبل الانبثاق للبراعم، اختزال المجموع الجذري، تشكّل الأجسام الحجرية على الدرنات الناتجة، تخفيض القيمة التسويقية، كما تؤثر الإصابة في الحجم المستهدف للدرنات وفي أعدادها.

يهاجم الفطر *R. solani* أجزاء النبات تحت الأرضية أولاً كالدرنات والسويقات الجذبية تحت الفلقية hypocotyls والجذور، وهو أيضاً قادر على مهاجمة الأجزاء العلوية كالبزاعم والثمار والأوراق والسوق (Wharton *et al.*, 2007; Ceresini, 1999) القريبة من سطح التربة أو المتوضعة مباشرةً عليها أحياناً، ويحدث المرض بسبب قرب الميسيليوم و/أو الأجسام الحجرية للفطر من أنسجة النبات أو توضعها عليها مباشرة (Ceresini, 1999).

ورغم أن القشرة السوداء هي العرض الأوضح للإصابة بالفطر *Rhizoctonia* إلا أن تقرح الساق هو العرض الأكثر إحداثاً للأضرار، حيث يحدث تحت سطح التربة، ويكون عادةً غير ملحوظ. (Wharton *et al.*, 2007)، ويعدّ الذبول المفاجئ damping-off العرض الأكثر شيوعاً لمرض *Rhizoctonia* (Ceresini, 1999). حيث يبدأ الفطر بمهاجمة البزاعم بشكل مبكر في بداية موسم النمو قبل انبثاقها من التربة، وقد تموت هذه البزاعم نهائياً إذا كانت الإصابة قرب القمة النامية (Wharton *et al.*, 2007).



الشكل 1: أعراض الذبول التي يسببها الفطر *Rhizoctonia solani*

تظهر الإصابة على البزاعم على شكل مناطق محمرة-بنية، وتموت القمة النامية للبزاعم المصابة بشدة غالباً. وكلما ماتت البزاعم المتشكلة، يشكل النبات بزاعم أخرى جديدة حتى ينبثق إحداها من التربة (Cubeta *et al.*, 1998). تستنفذ عملية إعادة تشكيل البزاعم لتعويض البزاعم الميتة مدخرات الدرنات الغذائية الضرورية للنمو المستقبلي. ويؤخر إخفاق إعطاء البزاعم الانبثاق ونضج النبات، ويسبب ضعف النبات وتفاوت انتصابه (Cubeta *et al.*, 1998; Wharton *et al.*, 2007). وفي المراحل المبكرة من تطور المرض، يصبح لون مكان الإصابة على المدادات والسوق والجذور بنياً محمراً إلى بني (Wharton *et al.*, 2007)، وكلما تقدمت الإصابة، تصبح مناطق الإصابة محمرة إلى بنية

متقرحة، وتكون هذه التقرحات خشنة بنية وقد تكون غائرة أو متشققة أو كليهما معاً (Cubeta *et al.*, 1998; Wharton *et al.*, 2007).



الشكل 2: أعراض الساق السلكية والتقرحات التي يسببها *R. solani*

سجلت أعراض التفاف الأوراق في حالة الإصابة الشديدة بالفطر *R. solani*، الأمر الذي قد يختلط مع أعراض الإصابة بفيروس التفاف أوراق البطاطا (Wharton *et al.*, 2007). وقد لا تكون النباتات ضعيفة الانتصاب بالضرورة مصابة بالفطر *Rhizoctonia*، فهذا العرض ينتج أيضاً من تحلل الدرنات عندما تصاب بالفطر *Fusarium* أو بالتعفن البكتيري الطري. ولتمييز الممرض في هذه الحالة، يجب سحب النباتات من التربة وفحصها. فالفطر *Rhizoctonia* لا يسبب تحللاً للدنة، بل يحدث ضرراً للبراعم والمدادات فقط (Wharton *et al.*, 2007). وقد يسبب مرض الساق الأسود البكتيري المتسبب عن *Erwinia carotovora* subsp. *carotovora* أعراضاً مشابهة أيضاً، من حيث ضعف انتصاب النباتات وتقزمها، حيث تبدأ الإصابة من الدرنات وتمتد إلى السوق التي تصبح مسودة وطرية وأحياناً متعفنة بشكل قليل، على خلاف الإصابة بالفطر *Rhizoctonia* التي تسبب تقرحات غائرة على الساق عادةً، ولكن تبقى هذه الساق جافة دائماً، ويمكن أن تصاب المدادات والجذور به أيضاً (Wharton *et al.*, 2007).



الشكل 3: التباين بين الأعراض التي يسببها الفطر *R. solani* (اليمين)، وأعراض الساق الأسود الذي تسببه البكتيريا *Erwinia carotovora* subsp. *carotovora* (اليسار).

2.1.4 دورة حياة الفطر ووبائيته Life Cycle and Epidemiology:

تبدأ الإصابة بالأمراض التي يسببها الفطر *Rhizoctonia* على البطاطا من اللقاح المحمول على الدرنه أو من التربة الملوثة. حيث يشتي الممرض على سطح الدرنات وبقايا النبات أو في الترب الملوثة على شكل أجسام حجرية أو ميسيليوم (Bharadwaj et al., 2000; Cubeta & Vilgalys, 2007). وعند زراعة الدرنات الملوثة في الربيع، ينمو الفطر من سطح الدرنه ليصل إلى البراعم، ويصيب الجذر الأساسي، والمدادات الأساسية، ويمكن أن يصيب الورقة الأولى أيضاً. تكون الدرنه الحاملة لللقاح مهمة نوعاً ما في إحداث المرض بسبب قربها من البراعم والمدادات المتشكلة (Wharton et al., 2007). تُهاجم الجذور والمدادات في أي وقت خلال موسم النمو، رغم أن احتمالية حدوث معظم حالات الإصابة تكون في الطور المبكر لنمو النبات، وتزداد مقاومة النبات لإصابة المدادات بالمرض بعد الانبثاق فوق سطح التربة، محددةً بذلك زيادة الأضرار في النهاية (Wharton et al., 2007).

ينمو الميسيليوم وتتطور الأجسام الحجرية للفطر على البقايا النباتية على نحو مماثل لنموها وتطورها على الدرنات، وتسمح ببقاء اللقاح في التربة كما على الدرنات من موسم لآخر (Dijst, 1988). وقد أشارت أبحاث سابقة إلى أن درجة حرارة التربة هي العامل الحاسم في بدء حدوث هذا المرض على البطاطا. وترتبط شدة المرض مع درجة الحرارة المثلى لنمو الفطر بشكل إيجابي، والمجال الأمثل لنمو *R. solani* AG3 هو 5-25°س (Wharton et al., 2007). لذا فإن النبات يكون سريع التأثر بالعدوى عندما تكون درجة حرارة التربة ضمن المجال السابق. وتناسب أيضاً درجات الحرارة الباردة والتربة الخصبة وعالية الرطوبة والمتعادلة إلى الحامضية (pH=7 أو أقل) تطور المرض على البطاطا. تزداد شدة الضرر عند درجات الحرارة الباردة بسبب انخفاض نسب الانبثاق وبطء نمو السوق والمدادات قياساً بنمو الفطر. كما أن نمو البطاطا في الترب الرطبة أبطأ منه في الترب الجافة. وهكذا تتفاقم خطورة الضرر لأن الترب ذات الرطوبة العالية تثبط تطور النبات وتُحَفِّز نمو الفطر. كما أشارت بعض الدراسات إلى أن درجات الحرارة المرتفعة للترب وبخاصة خلال المراحل المبكرة من نمو النبات تخفض من تأثير الفطر *R. solani* إلى الحد الأقصى حتى في حال توافر اللقاح بكميات كبيرة (Wharton et al., 2007).

تتشكل الأجسام الحجرية في نهاية الموسم، بعد موت النبات بشكل أساسي (Wharton *et al.*, 2007). فكلما اقترب النبات من النضج وبدأ المجموع الخضري بالموت الطبيعي أو نتيجة رشه بالمجففات الكيميائية (chemical desiccants)، يمكن للفطر أن يصيب الدرنات الناتجة ليشكل عليها الأجسام الحجرية. ويشار إلى هذه المرحلة من مرض *Rhizoctonia* بمرحلة القشرة السوداء (Cubeta *et al.*, 1998). تتشكل الخلايا الحجرية في نهاية تفرعات الهيفاء، وتنمو هذه الخلايا عادةً في عناقيد قرب بعضها البعض لتشكل الأجسام الحجرية، والتي يتفاوت حجمها من 1 مم إلى عدة سنتيمترات (Berggren, 1985). وتكون على شكل كتل قاسية، سطحية، بنية داكنة إلى سوداء على سطح الدرنه، غير منتظمة الشكل، وتتفاوت في الحجم من بقع مرئية صغيرة مسطحة إلى كتل مرتفعة كبيرة. وتكون هذه التراكيب مثبتة بإحكام على سطح قشرة الدرنه ولا تخترق الدرنه أو تحدث ضرراً لها أثناء التخزين (Wharton *et al.*, 2007). وتشكل هذه الأجسام الحجرية على الدرنات في الترب قليلة الصرف (Bharadwaj *et al.*, 2007). وتمتلك بعض ممرضات الأرز التي تنتمي للفطر *R. solani* القدرة على إعطاء أجسام حجرية ذات طبقة خارجية ثخينة، تمكنها من الطفو على الماء والمثابرة (Ceresini, 1999).

تختلف الآليات المستخدمة في تشكل الأجسام الحجرية على الدرنات الناتجة (daughter tubers) عنها في تشكل تلك التي تحدث العدوى على النبات الأم. هذا ولم تفهم آلية البدء في تشكل الأجسام الحجرية بشكل جيد حتى الآن، ومن المحتمل أن تحفز بعض المواد التي يفرزها النبات في نهاية حياته هذه الآليات. والدرنات الناتجة من درنات أم معداة لا تكون بالضرورة معدية بالأجسام الحجرية (Wharton *et al.*, 2007)، وتختلف القدرة الإمراضية للدرنات الحاملة للقاح (تقاوي مصابة) خلال نمو النبات عن الدرنات المعداة بالأجسام الحجرية، أي تختلف القدرة الإمراضية للفطر المدروس إذا كان اللقاح محمولاً على الدرنه أو موجوداً في التربة (Zakria *et al.*, 2002). تعدّ الأجسام الحجرية مسؤولة عن بقاء الفطر وتكرار دورة حياته عدة سنوات في التربة أو على أنسجة النبات (Cubeta *et al.*, 1998; Ceresini, 1999; Wharton *et al.*, 2007).

يثابر الفطر *R. solani* كذلك على شكل ميسليوم يغزو المادة العضوية للتربة ويعيش مترمماً، كنتيجة جزئية لنشاطه كممرض للنبات. تنبت الأجسام الحجرية و/أو الميسليوم الموجود في التربة و/أو على أنسجة النبات لتشكل هيفات الفطر التي تهاجم مدى واسعاً من المحاصيل الغذائية ومحاصيل الألياف (Ceresini, 1999).

3.1.4 الأضرار والخسائر الاقتصادية

يعتبر مرض القشرة السوداء والتقرح التاجي من الأمراض الاقتصادية المهمة على البطاطا في أنحاء مختلفة من العالم (Bains *et al.*, 2002) نظراً للأضرار التي يحدثها على أجزاء النبات المختلفة، فهو من الممرضات المهمة خلال كافة مراحل نمو النبات، والخطر الكامن الذي يهدد مناطق إنتاج البطاطا (Read *et al.*, 1989; Yao *et al.* 2002).

تتفاوت الأضرار التي يسببها المرض ويمكن أن تنحصر الإصابة بالمنطقة البنية السطحية، والتي تكون محدودة التأثير في نمو النبات، إلى أضرار شديدة عندما تكون المناطق المصابة كبيرة وغائرة وميتة. وفي حال وجود تقرحات شديدة وعديدة على الساق، قد يطوق التقرح الساق، معيقاً الحركة الطبيعية للماء والكرbohydrates عبر ساق النبات (Wharton *et al.*, 2007).

يمكن أن تؤثر التقرحات سلباً في إنتاجية النبات وكمية الدرناات حديثة التشكل التي ينتجها ونوعيتها (Cubeta *et al.*, 1998; Wharton *et al.*, 2007)، نظراً لإعاقتها لحركة الماء والمواد الغذائية داخل النبات. وفي حالات عديدة يمكن أن تكون النباتات المصابة سليمة المظهر (Cubeta *et al.*, 1998). تعتبر الإصابة المتأخرة النتيجة المباشرة لتقرحات المدادات والسوق، الأمر الذي يؤثر سلباً في حركة نقل النشاء (Wharton *et al.*, 2007). وإذا أصيبت المدادات والسوق تحت الأرضية بشدة، فإن ذلك سيعيق تدفق النشاء من الأوراق إلى الدرناات المتشكلة أو يوقفه، وينجم عن ذلك تشكل درناات خضراء صغيرة على السوق فوق سطح التربة تدعى بالدرناات الهوائية (aerial tubers). ويشير تشكل الدرناات الهوائية إلى أن النبات قد لا يمتلك درناات تحت سطح التربة ذات جودة تسويقية. وقد ينجم عن وقف تدفق الكربوهيدرات، تقزم (stunting) أو تورّد (rosetting) النبات (Wharton *et al.*, 2007). يمكن أن تنخفض الغلة بإعطاء درناات متشققة غير منتظمة الشكل ذات قيمة تسويقية منخفضة (Cubeta *et al.*, 1998). وإذا استخدمت هذه الدرناات كبدار، فإن الأجسام الحجرية تثبط تشكيل نباتات البطاطا (Wharton *et al.*, 2007)، وقد لا تثبت الدرناات شديدة الإصابة (Ceresini, 1999)، وقد تكون الدرناات المصابة بشكل كبير والمستخدم كتنقاوي غير قادرة على إعطاء السوق نهائياً، وتعطي عوضاً عن ذلك مدادات مع عدة درناات صغيرة. ويشار إلى هذا العرض بظاهرة انعدام القمة (no top)، والذي قد يختلط مع العرض نفسه المتسبب عن ظاهرة فيزيولوجية هي الدرناات القديمة غير النبوتة (desprouted) (Wharton *et al.*, 2007).

تؤدي إصابة السوق والمدادات والجذور إلى خسائر كمية تؤثر بدورها في حجم الدرنات وعددها. في حين تحدث خسائر نوعية بشكل أساس من خلال إنتاج درنات مشوهة وتطور الأجسام الحجرية على سطح الدرنه (Woodhall et al., 2007).

يسبب الفطر *R. solani* أضراراً اقتصاديةً معنوية في الترب الرطبة والباردة فقط. ففي المناطق الجنوبية من ولاية ميشيغان الأمريكية (الأكثر دفئاً)، يسبب الفطر مرض القشرة السوداء على الدرنات، وتقرح الساق والمدادات على أجزاء النبات تحت الأرضية؛ ويحدث خسائر اقتصاديةً غير مترددة، وذلك عندما يكون الطقس بارداً ورطباً في الأسابيع الأولى بعد الزراعة. في حين أنه يعتبر مشكلةً دائمةً في المناطق الشمالية منها حيث تزرع البطاطا في الترب الباردة والرطبة (Wharton et al., 2007). وفي ولاية كارولينا الشمالية، يحدث مرض *Rhizoctonia* على البطاطا سنوياً، ولا يلاحظه المزارعون عادةً لأن أعراضه تتطور على الأجزاء تحت الأرضية للنبات، كما أن تقدير الفاقد في الغلة الناتج عن *Rhizoctonia* لا يكون واضحاً حتى بعد الحصاد. ورغم أن هذا الفقد غير موثق في ولاية كارولينا الشمالية، فإن التقديرات له خارج هذه الولاية كانت 10-15% من الإنتاج (Cubeta et al., 1998). وأشارت تقارير أخرى إلى أن هذا المرض يحدث فقداً في الغلة يتراوح ما بين 5-35% (Hodgson et al., 1974; Banville, 1989; Carling et al., 1989; Hide et al., 1989; Tsror, 1996).

4.1.4 المدى العوائلي للفطر

للفطر *R. solani* مدى عوائلي واسع (Otrysko & Banville, 1992; Carling et al., 1989; Banville, 1989). ونظراً لهذا المدى الواسع من التنوع في مظهرية العزلات المختلفة وبيئتها وإمراضيتها التي تتفق مع التعريف الواسع للفطر *R. solani*، فقد حاول عديد من الباحثين تقسيم الأنواع إلى مجموعات أصغر.

ويبين الجدول (2) بعض المجموعات التشابكية العائدة للفطر والعوائل التي تصيبها.

جدول 2: يبين بعض المجموعات التشابكية العائدة للفطر *R. solani* والعوائل التي تصيبها.

المجموعات التشابكية Anastomosis group	الأمراض Diseases	العائل Host
AG 1-IA	لفحة الغمد، تبقع الغمد	الأرز
	، الجسم الحجري مرض لفحة الأوراق	الذرة الصفراء
	لفحة الأوراق الورقة المخططة،	الذرة البيضاء
	لفحة الأوراق	الفول
	لفحة الأوراق	فول الصويا
	لفحة صيفية	البرسيم القرمزي
	لفحة شمالية	بادرات الكافور
	التلطح البني	نباتات المروج
AG 1-IB	اللفحة الشبكية	الفول
		الأرز
		فول الصويا
		التين
		البقوليات الشجرية
		القرطاس
		الملفوف
		الخس
		الحنطة السمراء Buckwheat
		الجزر
AG 1-IC	تفغن القاعدة	فول الصويا
	الذبول	الكتان
	ذبول وتفنن تاج الجزر	الصنوبر
	الذبول	الصلبيبات
		الفريز
		توليب
		الفجل الياباني
		البرسيم تحت الأرضي
AG 2-1	الذبول	الأرز
	تفنن البراعم	<i>Lomandra</i> الأسل/السمار الياباني mat rush
	لفحة الأوراق	<i>longifolia</i>
	تفنن الجذور	الزنجبيل
		الغلايول
		الأرقيطيون المأكول
		المرج
		الذرة الصفراء
		الشوندر السكري
		بادرات الأنجار
AG 2-2 IIIB	لفحة الغمد الكاذبة	القטיפفة
	لفحة الغمد	كونجاك Konjak
		البطاطا الحلوة
AG 2-2 IV	القشرة السوداء	الشوندر السكري
	التلطح البني	
	تفنن التاج	
	الذبول	
AG 2-2 IV	تفنن الجذور	
AG 2-2 IV	تفنن الجذور ولفحة الأوراق	

المرج	التلطح الكبير	
البطاطا	القشرة السوداء وتقرح الساق والمدادات	AG 3
التنغ	target spot	
البندورة	لفحة الأوراق	
البانجان	التبقع البني	
البندورة	تعفن الثمار	AG 4 (HG I, HGII and HGIII)
بازلاء	تعفن الساق	
البطاطا	الذبول وتقرح الساق	
فول الصويا	الذبول وتعفن الجذور	
بادرات صنوبر شمالي كارولينا		
بصل		
ستيفيا		
بازلاء		
الفاصولياء		
القطن		
الفول السوداني		
بقايا		
الخضراء الفاصولياء	تعفن القرون	
بطاطا	القشرة السوداء	AG 5
نباتات المرج	التلطح البني	
الفول	تعفن الجذور	
فول الصويا		
فاصولياء adzuki		
-	مجموعة غير ممرضة	AG 6
-	غير ممرضة	AG 7
النجيليات	البقع العارية	AG 8
الصلبيات	ممرض ضعيف	AG 9
البطاطا		
-	غير ممرضة	AG 10
القمح		AG 11
-	غير ممرضة	AG BI

.(Sneh *et al.*, 1991)

ورغم ذكر AG11 على أنها ممرضة على القمح، إلا أن (Eken & Demirci, 2004) وصفوا هذه المجموعة على أنها غير ممرضة، بالإضافة للمجموعة AG12 التي اعتبرها Carling وآخرون من الفطور الجذرية mycorrhizal (Carling *et al.*, 1999)، والمجموعة AG13 التي اعتبرت من الممرضات الضعيفة على القطن وتسبب ضرراً بسيطاً على الشعير والقرنبيط والخس والبطاطا والفجل وذلك تحت ظروف المختبر والدفينة الزجاجية (Carling *et al.*, 2002a). وأثبتت دراسة حديثة حساسية البرسيم الحجازي (Lucerne, *Medicago* sp.) للمجموعة AG6 (Anderson *et al.*, 2004). وهناك دراسات عدة أثبتت أن المجموعة AG-7 مجموعة ممرضة. وفي المملكة العربية السعودية، وجد أن جميع العزلات التي جمعت من حقول البطاطا، انتمت إلى المجموعات AG3، بالإضافة لـ

AG4، AG5، AG7 (Abd- Elsalam *et al.*, 2009). كما سجلت إصابة البطاطا بالمجموعة AG7 في مناطق مختلفة (Truter & Wehner, 2004; Zakria *et al.*, 2002). تعتبر المجموعة AG-10 غير ممرضة لعدد من العوائل، وقد تكون مجموعة ممرضة ضعيفة على الصليبيات (MacNish *et al.*, 1995). أما مجموعة التجسير، فلم تحدد قدرتها الإراضية بعد بشكل جيد (Carling & Sumner, 1992; Sneh *et al.*, 1991). كما سجلت مجموعات تشابكية أخرى لهذا النوع كمرضات لعوائل نباتية أخرى مثل المجموعة AG4 على القمح، والتي تعتبر إحدى المسببات الرئيسية لمرض تعفن الجذور الشائع على القمح Wheat Common Root Rot (Savelyeva & Maystrenko, 1983; Jalalulddin and Anwar, 1989; Fouly *et al.*, 1996; R. solani)، كما سجل كل من النوعين (AG-8) و R. oryzae كمسببين مهمين لمرض تعفن الجذور الشائع على القمح في الولايات المتحدة الأمريكية (Ogoshi *et al.*, 1990) والذين يترافقان مع الزراعة المبكرة للقمح (Mathieson and Rush, 1991; Smiley and Uddin, 1993). وأكد الخليفة (2006) أهمية أنواع الفطر Rhizoctonia spp. في إحداث مرض تعفن الجذور الشائع على القمح في سورية مع عدة فطور أخرى. وهناك حالة استثنائية تشكل فيها بعض الأنواع فطوراً جذرية تعايشية mycorrhiza مع أنواع من العائلة السحلبية Orchids تتبع عادة للجنس Ceratobasidium (González García *et al.*, 2006).

5.1.4 آلية حدوث المرض

يهاجم الفطر R. solani النباتات وحيدات وثنائيات الفلقة. أما على البطاطا، فهو يسبب تفرح الساق والبراعم (sprouts) ومرض القشرة السوداء على الدرنات (Berggen, 1985; Ogoshi, 1987; Carling *et al.*, 1989; Zakria *et al.*, 2002). يمكن أن تبدأ العدوى من اللقاح الموجود في التربة أو الموجود على الدرنات المصابة (Berggren, 1985; Tsrer and Peretz-Alon, 2005)، وتبدأ الإصابة عادةً من الكيوتيكال والبشرة، ويندر حدوثها من خلال الفتحات الطبيعية أو الجروح التي تسببها الديدان.

ورغم أن معظم الأمراض التي يحدثها الفطر Rhizoctonia تنشأ من الميسليوم أو الأجسام الحجرية، فإن الإصابة بعدد من أمراض الفول والشوندر السكري والتبغ المهمة تنشأ من الإصابة بالأبواغ البازيدية، والتي تعتبر وسيلة سريعة لانتقال الفطر لمسافات طويلة (Ceresini, 1999)، ومصدراً للعدوى الأولية على التبغ (Shew & Melton, 1995; Shew & Lucas, 1991)، ولكن لها دور محدود جداً في وبائية المرض على البطاطا (Carling *et al.*, 1989)، وفي مرحلة متأخرة من موسم نمو البطاطا، أثناء فترات من الطقس البارد الرطب (Cubeta *et al.*, 1998). تثبت الأبواغ البازيدية لتعطي هيفا تصيب الأوراق (Kucharek, 2000; Ceresini, 1999) حيث يمكن ملاحظة نمو زغبي

أبيض للفطر (يمكن أن يتضمن أبواغاً أو لا يتضمنها) على قواعد سوق البطاطا قرب سطح التربة (Ceresini, 1999)، أو على الوجه السفلي لأوراق البطاطا من الناحية المظللة للنبات (Ceresini, 1999). وتكون هذه الأبواغ غير مهمة عادةً في نشر المرض على البطاطا (Cubeta *et al.*, 1998).

ينجذب الفطر إلى النبات بوساطة المحفزات الكيميائية التي تفرزها خلايا النبات أثناء نموها النشط و/أو أثناء تحلل بقايا النبات. وأثناء الانجذاب، تتصل هيفا الفطر بالنبات ثم تلتصق على سطحه الخارجي. ويستمر الفطر بعد الالتصاق بالنمو على السطح الخارجي للنبات، ويسبب الإصابة فيما بعد بإنتاج بُنية إصابة خاصة تسمى عضو الالتصاق أو وسادة الاختراق (appresorium or infection cushion)، والتي تخترق خلية النبات وتمتص المواد المغذية، ليستمر الفطر بالنمو والتطور. وتُعزَّزُ عملية الإصابة بإنتاج عديد من الإنزيمات الخارجية (extracellular enzymes)، والتي تحلل عديداً من مركبات جدر خلايا النبات (مثل السيليلوز والكتين والبكتين و...). وكلما قتل الفطر خلايا النبات، استمرت الهيفات في النمو وغزو أنسجة النبات الميتة، مشكلةً أجساماً حجريةً في الغالب. حيث ينتج اللقاح المعدي الجديد على أو في أنسجة العائل. وتتكرر دورة الحياة من جديد عندما يتوافر وسط جديد (Ceresini, 1999).

الفصل الثاني

حصار انتشار مرض القشرة السوداء الذي يحدثه الفطر *R. solani* وتوزيعه في المناطق الرئيسية لزراعة البطاطا في سورية

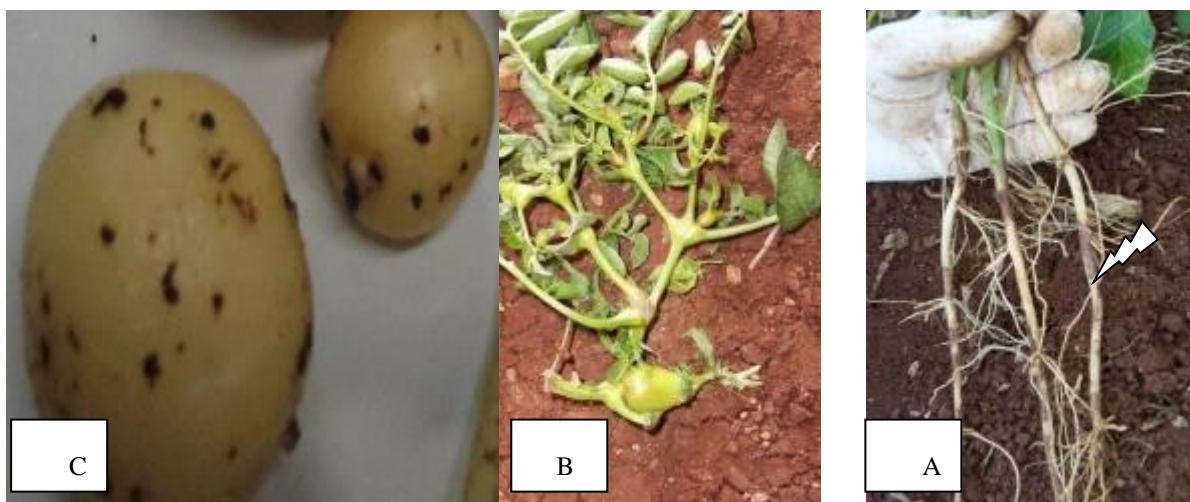
1. مواد البحث وطرائقه: Materials and Methods

1.1 عملية المسح الحقلية Field Survey

تم تحديد عشوائي لحقول بطاطا مزروعة بحيث مثلت المناطق الرئيسة لزراعة البطاطا في سورية. جمعت عينات نباتية (درنات، مدادات، سوق، جذور) من الحقول الممسوحة؛ كما طُلب من العاملين في فروع المؤسسة العامة لإكثار البذار في هذه المناطق إرسال عينات بطاطا مصابة بالمرض مع معلومات كافية عن العينات، وتم أيضاً جمع عينات تربة من منطقة جوف الجذور (rhizosphere). بدأ الجمع في المراحل الأولى من النمو عند ظهور أعراض تقرّح الساق، وحتى مرحلة تشكل الأجسام الحجرية على الدرنات الناتجة. بلغ عدد الحقول التي جمعت منها العينات، بطريقة عشوائية، 124 حقلاً خلال العروتين الربيعية والخريفية. ففي العروة الخريفية (2007)، شمل المسح الحقلية 11 حقلاً في محافظة إدلب، 19 حقلاً في محافظة حلب، 8 حقول في محافظة حماه، 3 حقول في المنطقة الشمالية الشرقية (الجزيرة)، وحقليْن في المنطقة الجنوبية؛ أما في العروة الربيعية (2008)، فشملت عمليات المسح 19 حقلاً في محافظة إدلب، 28 حقلاً في محافظة حلب، 16 حقلاً في محافظة حماه، 12 حقلاً في محافظة حمص، 4 حقول في المنطقة الجنوبية، وحقليْن في المنطقة الشمالية. حُفظت العينات في أكياس ورقية ووضعت عليها بطاقة دُونت عليها المعلومات التالية: اسم المزارع أو جامع العينة، المنطقة، الحقل الذي جمعت العينات منه، الصنف المزروع، مساحة الحقل والنسبة المئوية للإصابة، تاريخ الجمع، العروة (ربيعية/خريفية).



الشكل 4: غياب بعض النباتات في الحقل وتفاوت في الإنبات ناجم عن الإصابة بالفطر *Rhizoctonia* spp. وأخذ العينات الترابية.



الشكل 5: الأعراض المختلفة التي يسببها الفطر *Rhizoctonia* spp. A: التفقرح على التاج والمدادات والجذر؛ B: تشكيل الدرنات الهوائية فوق سطح التربة؛ C: الأجسام الحجرية على الدرنات.

2.1 عزل الممرض Pathogen isolation:

غُسِلَت الأجزاء النباتية (الجذور و/أو الساق و/أو المدادات و/أو الدرنات) تحت الماء الجاري (ماء الصنبور) لفترة كافية. ثم طُهرت الأجزاء المصابة سطحياً بهيبو كلوريت الصوديوم (NaOCl) تركيزه 0.525 % لمدة 5 دقائق، ثم غسِلت بماء مقطر معقم. وضعت قطع ممثلة من الأجزاء المصابة على وسط بطاطا ديكستروز آجار PDA مدعم بـ بكتريئات الستريبتومايسين streptomycin sulfate بتركيز 120 مغ ل⁻¹ كما استخدمت توليفة (250 Ampicillin مغ + 250 Cloxacillin مغ) بمعدل قرص لكل 500 مل PDA لاجتناب نمو الكائنات الجرثومية غير المرغوبة، وحُضِنَت الأطباق عند 24-22°س لمدة 2-4 أيام.



الشكل 6: عزل الفطر المسبب للإصابة من أجزاء النبات المختلفة.

تم تنقية مستعمرات الفطر *Rhizoctonia* بطريقة طرف الهيفا (Hyphal Tip) تبعاً لـ (Flentje & Sakesena, 1957)، وذلك بتنمية كل عزلة على طبق يحوي وسط PDA وتحسينها عند 25°س لمدة 24-48 ساعة، ثم أخذت قطعة ميسليوم صغيرة من قمة خيط هيفي مفرد من طرف المستعمرة، ونقلت قطع الهيفا إلى أطباق جديدة، وحضنت ضمن الظروف السابقة ذاتها حتى اكتمال نمو الميسليوم على الأطباق.

ولزيادة تماثل العزلات بغرض استخدامها في الاختبارات اللاحقة، لقحت أطباق جديدة بالعزلات النقية وحضنت عند 25°س لمدة 24 ساعة، ثم قُطع الميسليوم النامي على كل طبق إلى شرائط طولية وعرضية صغيرة باستخدام مشرط معقم، وأضيف لكل طبق حوالي 1 مل ماء مقطر معقم، وكشط الميسليوم المقطع باستخدام شريحة زجاجية معقمة. نُقل حوالي 1 مل من المعلق الميسليومي بوساطة ماصة دقيقة إلى أنبوب يحوي 9 مل ماء مقطر معقم وأغلق الأنبوب وجونست محتوياته برجه على جهاز Vortex. جرى تخفيف لتركيز المعلق السابق عدة مرات بنقل 1 مل من المعلق بعد التخفيف وإضافتها إلى أنبوب جديد يحوي 9 مل ماء مقطر معقم، حتى الحصول على التخفيفات 10^{-1} و 10^{-2} و 10^{-3} . ونقل 200 ميكرو لتر من كل تخفيف إلى طبق جديد ونشرت على كامل سطح الطبق، وكررت هذه العملية مرتين لكل تخفيف. حضنت أطباق التخفيف عند 25°س لمدة 24-48 ساعة، ثم فحصت الأطباق تحت المجهر الضوئي باستخدام التكبير 400x حيث حددت قطع ميسليوم مفردة نامية على سطح الوسط المغذي، ونقلت هذه القطع إلى أطباق جديدة تحوي وسط PDA، حضنت الأطباق كما ذكر سابقاً، وحفظت العزلات النقية بعد اكتمال نمو الميسليوم على الأطباق عند 4°س لحين استخدامها.



الشكل 7: طريقة طرف الهيفا للحصول على عزلات نقية من الفطر *Rhizoctonia* spp.

3.1 حفظ عزلات الفطر *Rhizoctonia* spp.:

نميت العزلات النقية ضمن أنابيب اختبار تحوى وسط PDA بطريقة الآجار المائل، وحضنت عند 25°س لمدة 24-48 ساعة، وأضيف لكل أنبوب زيت البارافين بعد اكتمال نمو الميسليوم، بحيث وصل الزيت إلى ارتفاع 1 سم فوق الحافة العلوية للآجار المائل. ثم حفظت الأنابيب في جو المختبر. كذلك تم حفظ الأطباق الحاوية على عزلات نقية عند 4°س وذلك لحين استخدامها.

4.1 اختبار القدرة الإراضية للعزلات المجموعة مخبرياً *Pathogenicity test*:

اختبرت القدرة الإراضية للعزلات التي تم جمعها خلال المسح الحقلى، وذلك بإعداد بادرات بعمر شهرين من الصنف بينيلا (صنف قابل للإصابة بـ *Rhizoctonia* spp.)، منمأة في أنابيب اختبار على وسط Murashige & Skoog (MS) (1962)، بمعدل قرصين بقطر 5 مم لكل أنبوب (20 سم × 20 مم) أخذاً من مستعمرات عزلات المسح الحقلى بعمر 7 أيام، وُسدت فوهة الأنابيب بقطعة قطن معقم، وبمعدل ثلاثة مكررات لكل عزلة فطرية، وحضنت الأنابيب عند 22±2°س و 16 ساعة إضاءة و 8 ساعات ظلام. وتم تطوير السلم السباعي التالي لقياس الشدة المرضية:

0. لا توجد إصابة.

1. تقرح الساق + تحلل الجذر.
2. تقرح التاج + تحلل الجذر.
3. نكرزة خفيفة على الساق + تقرح التاج + تحلل الجذر.
4. تقرحات بسيطة على الساق + تقرح التاج + تحلل الجذر.
5. تقرحات واضحة على الساق + تقرح التاج + تحلل الجذر.
6. تقرح التاج + تحلل الجذر + ذبول النبات.



الشكل 8: تباين الأعراض التي أحدثتها عزلات المسح الحقلى

وبعد التأكد من أن المسبب هو الفطر المدروس، حسب متوسط سرعة النمو للعلزلات المجموعة أثناء المسح الحقل، حيث وضع قرص بقطر 5 مم من كل عزلة وسط طبق بتري PDA وبمعدل ثلاثة مكررات. حسب متوسط سرعة النمو لكل مكرر للحصول على متوسط سرعة النمو لكل عزلة، حيث حسبت سرعة النمو لليوم الأول بطرح 5 مم (قطر القرص) من قطر المستعمرة في اليوم الأول، وحسبت سرعة النمو لليوم الثاني بطرح قطر المستعمرة في اليوم الأول من قطر المستعمرة في اليوم الثاني، وحسبت سرعة النمو لباقي الأيام بالطريقة ذاتها حتى اكتمال نمو المستعمرة على كامل الطبق. أيضاً أخذ لون وجهي المستعمرة العلوي والسفلي لكل عزلة على حدا.

2. النتائج

1.2 المسح الحقل

أظهرت نتائج المسح الحقل انتشار مرض القشرة السوداء والتقرح التاجي، في معظم مناطق زراعة البطاطا، حيث بلغ المتوسط العام لنسبة الإصابة بالمرض خلال العروة الخريفية 60.46%، وكانت أعلى نسبة للإصابة في محافظة إدلب (63.63%)، تلتها محافظة حلب (63.15%)، ثم محافظة حماه (62.5%). ولم نتمكن من تحديد نسبة الإصابة في المنطقة الجنوبية لقلة عدد العينات؛ كما لم تسجل أية إصابة في محافظة الحسكة (القامشلي). كانت نسبة الإصابة في العروة الربيعية أعلى منها في الخريفية بمتوسط نسبة إصابة 64.19%، وكانت أعلى نسبة للإصابة في هذه العروة في محافظة حلب (82.14%)، في حين كانت 68.42% في محافظة إدلب، و62.5% في محافظة حماه، وكانت أقل نسبة إصابة في محافظة حمص (16.66%)، ولم تسجل أي إصابة في محافظة الحسكة، ولم تحدد نسبة الإصابة في المنطقة الجنوبية لقلة عدد العينات.

وجد أن حقول محافظة إدلب كانت من أكثر الحقول التي تردّد فيها مرض القشرة السوداء خلال العروة الخريفية، واتخذ المرض المنحى ذاته في حقول محافظة حلب خلال العروة الربيعية، بينما حافظت محافظة حماه على نسبة الإصابة ذاتها خلال العروتين، وكانت أدنى نسبة إصابة في محافظة حمص التي يزرع فيها صنف سبونت فقط.

أظهرت نتائج المسح، من خلال الاستمارة، أن الأصناف المزروعة في المحافظات التي تم جمع العينات من حقولها كانت: بينيلا، مارفونا، بورين، سبونت، دراجا، أجريا، فابيولا، ليزيتا وأرنوفا. وتبين أن الصنف بينيلا كان من أكثر الأصناف المزروعة قابلية للإصابة بمرض القشرة السوداء والتقرح التاجي مقارنةً مع غيره من الأصناف سابقة الذكر. والجدير ذكره أنه كان من السهل تحديد

نسبة الإصابة على مستوى المحصول، أما على مستوى الصنف فقد تعذر الحصول على النسبة الدقيقة، نظراً لاختلاف الأصناف المزروعة من عروة لأخرى، حيث يمكن زراعة كافة الأصناف في العروة الخريفية باستثناء الصنفين دراجا وبورين كونهما يتطلبان فترة سكون أطول من الأصناف الأخرى. وكان الشائع زراعته في هذه العروة الأصناف: بينيلا، مارفونا، سبونت، أجريا. كما اختلف انتشار زراعة صنف معين باختلاف الصنف المفضل في المنطقة وتوافر البذار للمزارع. ففي مناطق حلب وبعض مناطق إدلب، كان الصنف بينيلا مفضلاً من الزارع على غيره من الأصناف الأخرى؛ أما في شمال حلب (منطقة أعزاز)، وخلال السنتين الأخيرتين، فقد انتشرت زراعة الصنف الجديد فابيولا بالإضافة للصنف بينيلا؛ أما الأصناف المفضلة في مناطق إدلب فكانت بينيلا، دراجا، مارفونا؛ في حين كان الصنف سبونت هو الصنف السائد في مناطق حمص؛ أما في المنطقة الجنوبية (إزرع) فكان الصنف السائد هو دراجا.

بين تحليل استمارة المسح الحقل أن إصابة الحقل بالمرض المدروس تعود لأسباب عديدة منها: زراعة درنات ملوثة بمرض القشرة السوداء، زراعة صنف قابل للإصابة، طبيعة التربة، فالترب الثقيلة الغدقة قليلة الصرف زادت من إصابة النبات بالمرض، وكذلك عدم اتباع دورة زراعية. ففي محافظة حلب، كانت منطقة أعزاز-شمال حلب من أكثر المناطق التي أبدت حقولها نسب إصابة مرتفعة بالمرض نتيجة زراعة البطاطا بشكل متكرر؛ في حين كانت نسبة الإصابة تكاد تكون معدومة في عفرين كون البطاطا لم تزرع في هذه المنطقة سابقاً. أما في محافظة إدلب، فوجد المرض في مناطق الإنتاج الدائم للبطاطا مثل معارة، زردنا، بنش، كفر حلب. أما في محافظة حماه، فكانت كفرنبوده ومناطق الغاب مناطق الإصابة الرئيسية. كما لوحظ أيضاً، خلال عملية المسح الحقل، أن الحقول المصابة باللفحة (المبكرة أو المتأخرة) كانت عرضة للإصابة بمرضات أخرى ومنها *R. solani*. وتبين أن زراعة درنات أم مصابة لا تؤدي بالضرورة إلى إصابة الدرنات الناتجة بمرض القشرة السوداء، وكذلك فإن زراعة درنات أم سليمة لا تؤدي بالضرورة إلى إنتاج درنات سليمة. ويبين الجدول (3) نتائج المسح الحقل. (يرجى العودة إلى ملحق الجدول 3 في نهاية الرسالة)

جدول 3: متوسط نسبة الإصابة (%) والأعراض التي سببتها الفطور المعزولة على أصناف البطاطا خلال عملية المسح الحقلية لموسمي 2007/2008 في محافظة حلب

المحافظة	المنطقة	الصنف	الأعراض	نسبة الإصابة
حلب / خريفي	اكسيبيه	سبونتا	تقرم النبات + تقرح التاج	لا تتجاوز 1%
	شمال مارع	بينيل	تحلل التاج + تحلل الجذور	لا تتجاوز 1%
	تركمان بارح	مارفونا	تقرح التاج + تقرح الساق	0%
	وحشية	بينيل	تقرح التاج + درنات مصابة	50%
	السفيرة	أجريا	تقرح التاج + تحلل الجذور	عينة مرسلة
	كفر الورد	بينيل	ذبول النبات، وتقرح التاج	2%
	تل مالد	بينيل	تقرح التاج	2%
	الحميدية	مارفونا	الساق المتقرحة	2%
	كفر كلبين	بينيل	ذبول النبات وتقرمها	1%
	بحورته	بينيل	تقرح التاج + تحلل للجذور	2%
	صوران	سبونتا	تقرح الساق & المدادات	2%
	صوران	مارفونا	أعراض الذبول وتقرم النبات	1%
	سيجراز	بينيل	أعراض الذبول	50%
	فريرية	بينيل	تقرح التاج + تحلل للجذور	80%
	فريرية	بينيل	تقرح التاج + تحلل للجذور	20%
	مارع	بينيل	أعراض الذبول وتقرم النبات	2%
	فافين	أجريا	أعراض الذبول	أقل من 1%
	فافين	بينيل	أعراض الذبول	2%
	تل حسين	بينيل	درنات مصابة بالقشرة السوداء	أقل من 1%
حلب / ربيعي	تل حدية	بينيل	تقرح التاج + أجسام حجرية على الدرنات	10%
	تل حدية	بينيل	أعراض الذبول	10%
	طرندة	بينيل	أجسام حجرية على الدرنات	عينة مرسلة
	كفر أنطون	سبونتا	تقرح التاج + تقرح المدادات + درنات مصابة + تحلل الجذور	10%
	كفر جنة	مارفونا	أعراض الذبول	أقل من 1%
	ألجي	سبونتا	أعراض الذبول	أقل من 1%
	ألجي	بينيل	أعراض الذبول	أقل من 1%
	طعانة	بينيل	أجسام حجرية على الدرنات	عينة مرسلة
	أحرص	مارفونا	تقرح التاج	2%
	أحرص	بينيل	لا يوجد أعراض	0%
	فريريه	بينيل	تقرح التاج + درنات مصابة + تحلل الجذور	70%

وَحْشِيَّة	بينيلا	تقرح التاج + تحلل للجذور + درنات مصابة	20%
عفرين	بينيلا	أجسام حجرية على الدرنات	1%
تل رفعت	فابيولا	تقرح التاج	لا يتجاوز 1%
تل رفعت	بينيلا	تقرح التاج	2%
كوسنيا	دراجا	تقرح التاج + تحلل للجذور	2%
كوسنيا	بينيلا	تقرح التاج	10%
تل خطرة	بينيلا	لا يوجد أعراض	0%
مارع	أجريا	تقرح التاج + تحلل للجذور	10%
مارع	مارفونا	تقرح التاج + تحلل للجذور	2%
عين جارة	بينيلا	تقرح التاج + درنات مصابة	5%
ديوان تحناني	بينيلا	تقرح التاج + درنات مصابة	5%
السموكة	بينيلا	أجسام حجرية على الدرنات	عينة مرسله
كفر كلبين	بينيلا	تقرح التاج + درنات مصابة	2%
الساعد	بينيلا	أجسام حجرية على الدرنات	عينة مرسله
حيلان	بينيلا	تقرح التاج + درنات مصابة	5%
كفر ناصح	مارفونا	تقرح التاج	1%
بحورته ربيعي	بينيلا	تقرح التاج + درنات مصابة	5%

تابع جدول3: متوسط نسبة الإصابة (%) والأعراض التي سببتها الفطور المعزولة على أصناف البطاطا خلال عملية المسح الحقلية لموسمي 2007/ 2008 في محافظة إدلب:

المحافظة	المنطقة	الصف	الأعراض	نسبة الإصابة
إدلب/ خريفي	سراقب	مارفونا	تقرح منطقة التاج +تحلل الجذور	2%
	سراقب	بينبلا	تقرح منطقة التاج +تحلل الجذور	5%
	أفس	بينبلا	تقرح منطقة التاج +تحلل الجذور +تقرم النبات	3%
	أفس	سبونتا	أعراض الذبول وتحلل الجذر	2%
	طعوم	بينبلا	تقرح التاج	2%
	شلخ	بينبلا	تقرح الساق	5%
	تفتتاز	بينبلا	تحلل التاج والجذر	2%
	تفتتاز	بورين	تقرح منطقة التاج +تحلل الجذور	عينة مرسلة
	بنش	بينبلا	تقرح منطقة التاج +تحلل الجذور	2%
	بش مارون	بينبلا	أعراض الذبول وتحلل الجذر	5%
	كتيان	بينبلا	تقرح الساق	2%
إدلب/ ربيعي	كفريا	مارفونا	تقرح الساق +اجسام حجرية على الدرنات	10%
	كفريا	دراجا	لا يوجد أعراض الممرض المدروس	0 %
	معاره	بينبلا	تقرح الساق +اجسام حجرية على الدرنات	100%
	حينه	مارفونا	تقرح الساق +اجسام حجرية على الدرنات	10%
	حينه	دراجا	لا يوجد أعراض الممرض المدروس	0 %
	زردنا	مارفونا	تقرح الساق +اجسام حجرية على الدرنات	90%
	زردنا	دراجا	لا يوجد أعراض الممرض المدروس	0 %
	كفر حلب	مارفونا	تقرح منطقة التاج+تحلل الجذور + اجسام حجرية على درنات الدرنات	10%
	كفر حلب	بينبلا	أعراض ذبول وتقرم النبات	30%
	بنش	بينبلا	تقرح الساق + أعراض ذبول	10%
	بنش	بورين	تقرح الساق +اجسام حجرية على الدرنات	10%
	لوف	بينبلا	تقرح الساق +اجسام حجرية على الدرنات	100%
	أثارب	مارفونا	تقرح منطقة التاج	10%
	تل تونة	بينبلا	تقرح منطقة التاج +تحلل الجذور +أجسام حجرية على الدرنات	40%
	كفر تعنور	مارفونا	تقرح منطقة التاج	90%
	كفر تعنور	بينبلا	تقرح منطقة التاج +أجسام حجرية على الدرنات	90%
	ترماتين	مارفونا	تقرح الساق +اجسام حجرية على الدرنات	10%
	كتيان	بينبلا	تقرح منطقة التاج	10%
	كتيان	مارفونا	تقرح الساق +اجسام حجرية على الدرنات	90%

تابع جدول 3: متوسط نسبة الإصابة (%) والأعراض التي سببتها الفطور المعزولة على أصناف البطاطا خلال عملية المسح الحقلية لموسمي 2007/2008 في محافظة حماه:

المحافظة	المنطقة	الصنف	الأعراض	نسبة الإصابة
حماه/ خريفي	الهبيط	مارفونا	أعراض ذبول	5%
	كفرنبودة	بينبلا	أعراض ذبول	30%
	كفرنبودة	أجريا	أعراض ذبول	8%
	كفرنبودة	سبونتا	أعراض ذبول	10%
	قلعة المضيق	سبونتا	أعراض ذبول	2%
	قلعة المضيق	أجريا	أعراض ذبول	2%
	خان شيخون	بينبلا	أعراض ذبول + تقرح التاج	10%
	خان شيخون	سبونتا	أعراض ذبول + تقرح التاج	10%
	السمره	بينبلا	تقرم & أعراض اللفحة	لفحة متأخرة 70%
	صوران جباريه	فابيو لا	أعراض الذبول وتقرم النبات	لم تحدد بدقة بسبب الهطل الشديد 2%
حماه/ربيعي	كوكب	بينبلا	أعراض الذبول وتقرم النبات	لم تحدد بدقة بسبب الهطل الشديد
	كفر بهم	بينبلا	أعراض الذبول وتقرم النبات	2%
	الخالدية	بينبلا	أعراض الذبول وتقرم النبات	2%
	محرده	مارفونا	القشرة السوداء على الدرنه	عينه مرسله
	أشير	أجريا	القشرة السوداء على الدرنه	عينه مرسله
	معد فتين	بينبلا	القشرة السوداء على الدرنه	عينه مرسله
	ديمو	أجيبا	القشرة السوداء على الدرنه	عينه مرسله
	ديمو	بينبلا	القشرة السوداء على الدرنه	عينه مرسله
	السمره	بينبلا	القشرة السوداء على الدرنه	عينه مرسله
	شيزر	أرنوفا	القشرة السوداء على الدرنه	عينه مرسله
	ثل سكندا	سبونتا	القشرة السوداء على الدرنه	عينه مرسله
	زلاقيات	بورين	القشرة السوداء على الدرنه	عينه مرسله
	كفرنبوده	بينبلا	القشرة السوداء على الدرنه	عينه مرسله
	صفصافية	ليزيتا	القشرة السوداء على الدرنه	عينه مرسله

تابع جدول3: متوسط نسبة الإصابة (%) والأعراض التي سببتها الفطور المعزولة على أصناف البطاطا خلال عملية المسح الحقلية لموسمي 2007/ 2008 في المنطقة الجنوبية:

المحافظة	الصف	الأعراض	نسبة الإصابة
درعا/ خ	بينيل	تقرح التاج + تحلل الجذور	العينة مرسل
لزرع/ خ	بينيل	تقرح التاج + تحلل الجذور	العينة مرسل
درعا / شقرا	درجا	أجسام حجرية على الدرنات	العينة مرسل
درعا / شقرا	درجا	أجسام حجرية على الدرنات	العينة مرسل
درعا / المحجة	درجا	أجسام حجرية على الدرنات	العينة مرسل
درعا / داعر	درجا	أجسام حجرية على الدرنات	العينة مرسل

تابع جدول3: متوسط نسبة الإصابة (%) والأعراض التي سببتها الفطور المعزولة على أصناف البطاطا خلال عملية المسح الحقلية لموسمي 2007/ 2008 في المنطقة الشمالية:

المحافظة والمنطقة	الصف	الأعراض	نسبة الإصابة
قامشلي / خريفي خربة خليل	فابيو لا	أعراض الذبول	عينة مرسل
الحسكة / خريفي نل حميس / نل طيب	فابيو لا	أعراض الذبول	عينة مرسل
الحسكة / خريفي حميس/ نل سطيج	فابيو لا	أعراض الذبول	عينة مرسل
الحسكة / ربيعي	بينيل	أعراض الذبول	عينة مرسل
الحسكة / ربيعي	بينيل	أعراض الذبول	عينة مرسل

2.2 عزل الممرض

تم الحصول على 26 عزلة فطرية من العينات النباتية المختلفة (جذور، مدادات، تاج، سوق، درنات) خلال العروة الخريفية، و54 عزلة خلال العروة الربيعية. ونتيجة العزل والتتقية أمكن تحديد 55 عزلة من *Rhizoctonia* spp. تبعاً للخصائص المورفولوجية لميسيليوم الفطر النامي على وسط PDA.

يبين الجدول (4) تباين العزلات الفطرية المدروسة في سرعة نموها، حيث تراوح متوسط سرعة النمو ما بين 11.27 مم/اليوم للعزلة المتحصل عليها من الصنف مارفونا في منطقة أتاب و24 مم/اليوم للعزلة المتحصل عليها من الصنف ذاته من منطقة مارع، وتلك المتحصل عليها من الصنف بينيلا في سراقب.



الشكل 9: عزل مكان الإصابة للتأكد من كون *Rhizoctonia* spp. هو المسبب لهذه الأعراض.

جدول 4: متوسط سرعة النمو (مم /يوم) لعزلات الفطر *Rhizoctonia spp.* المجموعة خلال المسح الحقل.

العزلة	رقم المعاملة	متوسطة سرعة النمو	العزلة	رقم المعاملة	متوسطة سرعة النمو	العزلة	رقم المعاملة	متوسطة سرعة النمو
سراقب بنيلا	16	24.00	وحشية ر	47	18.03	جينة	24	15.00
تل مالد	39	21.1	مارع	46	24.00	كتيان	26	15.00
كفر كلبين	38	20.47	كوسنيا سلمى	41	17.87	تل شور	3	14.60
تركمان بارح	28	20.00	كفر نبودة	8	17.53	م فنتين	6	14.60
عين جارة	35	19.73	كفر تغور	23	17.53	بحورثة ر	44	14.60
الساعد	32	19.30	تل حدية	50	16.90	السمره	1	14.17
آشير	11	18.80	طعانة	31	16.43	شير	7	14.17
سراقب	17	18.80	كفر ناصح	49	16.43	لوف	13	14.17
مارفونا	19	18.80	منصورة	43	16.37	تل تونة	25	14.17
ترمانين	16	18.80	ديمو أجيا	10	16.27	محددة	2	13.77
سراقب بنيلا	20	18.70	بنش	21	16.27	زردنا	15	13.23
تفتناز	33	18.70	معاره	27	16.27	بحورثة خ	45	13.03
تل رفعت	34	18.63	ديوان تحتاني	30	16.03	صفصافية	4	12.50
فابيولا	37	18.53	أحرص	36	15.70	تل سكندا	5	12.50
طرندة	29	18.53	كفريا	14	15.43	أتارب	18	11.27
حيلان	42	18.47	ديمو بنيلا	9	15.00	كتيان	26	15.00
سموكة	48	18.37	صوران	12	15.00			
كفر انطون	40	18.30	كفر حلب	22	15.00			
كوسنيا								

L.S.D_{1%} = 0.3128, C.V % = 8.8

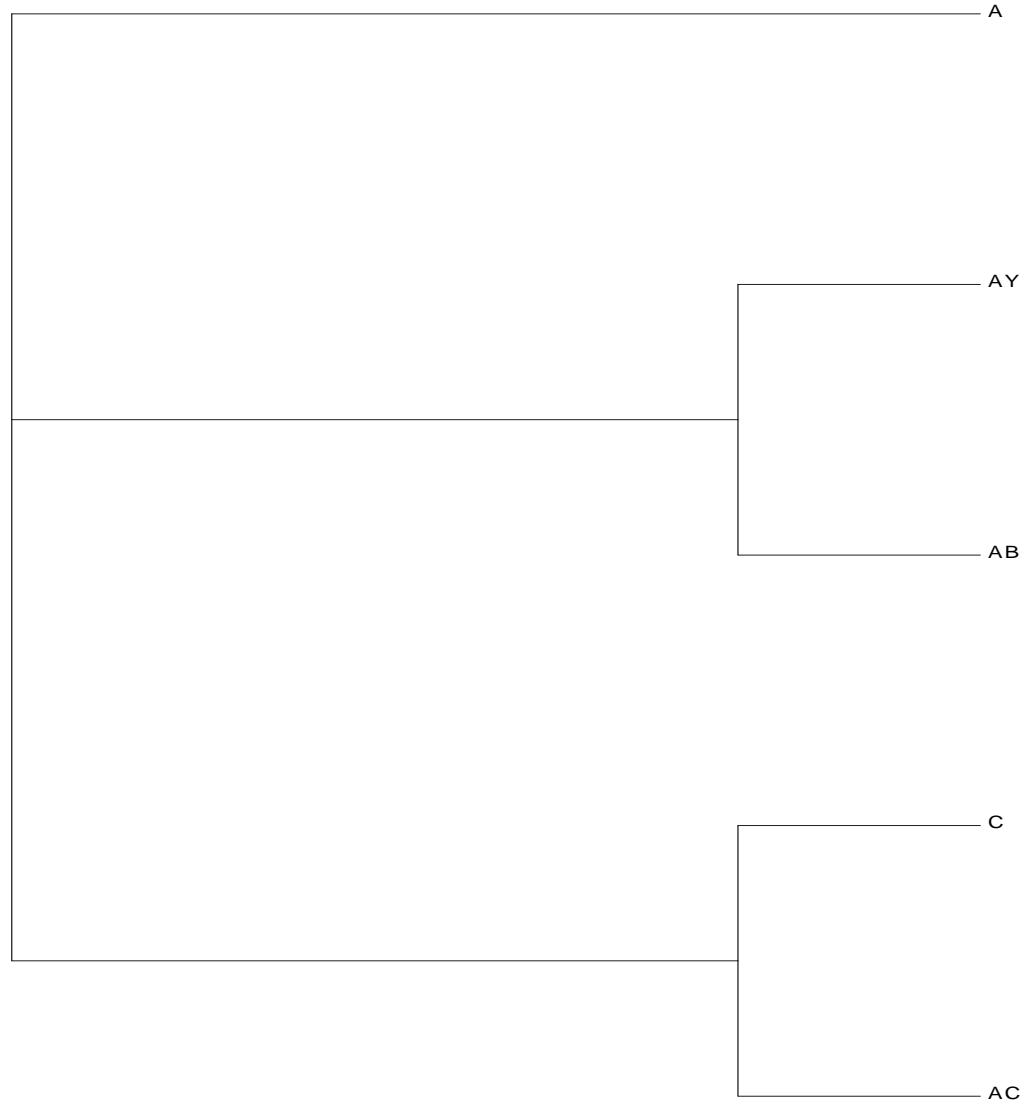
وتباين لون المستعمرة للعزلات وذلك لكلا وجهي الطبقة العلوي والسفلي فتراوح من الأبيض إلى الأسود كما هو موضح في الجدول (5).

جدول 5: لون وجهي الطبق العلوي والسفلي لمستعمرات عزلات الفطر *Rhizoctonia* spp. المجموعة خلال عملية المسح الحقلية.

المحافظة	المنطقة	لون الطبق العلوي	لون الطبق السفلي
إدلب	سراقب	أبيض	أصفر كريمي
	سراقب	أبيض	أصفر كريمي
	تفتاز	أبيض	كريمي
	كفريا	كريمي	كريمي
	معارة	أبيض	ابيض مصفر
	جينة	أبيض كريمي	ابيض مصفر
	زردنا	كريمي	كريمي
	كفر حلب	أبيض	ابيض مصفر
	بنش	كريمي	أصفر كريمي
	لوف	كريمي	كريمي مصفر
	أثارب	كريمي	كريمي مصفر
	تل تونة	كريمي	كريمي
	كفر تعنور	كريمي	كريمي مصفر
	ترمانين	كريمي	كريمي
	كتيان	كريمي	كريمي
حلب	تركمان بارح	كريمي	كريمي
	تل مالد	ابيض	ابيض
	بحورته خريفي	كريمي	كريمي
	تل حدية	كريمي	كريمي مصفر
	طرندة	كريمي	كريمي
	كفر أنطون	كريمي	كريمي
	طعانة	كريمي	كريمي
	أحرص	كريمي	كريمي
	فريريه	كريمي	كريمي
	وحشية	كريمي	كريمي
	تل رفعت ف	ابيض على كريمي	كريمي
	تل رفعت	كريمي	كريمي
	كوسنيا	كريمي	كريمي
	كوسنيا	كريمي	كريمي
	مارع	كريمي	كريمي
	عين جارة	كريمي	كريمي
	ديوان تحتاني	كريمي	كريمي
	السموكة	كريمي	كريمي
	كفر كليين	ابيض ثم تدريجيا الى فضي مسود	أسود مزرق
	الساعد	كريمي	كريمي
	حيلان	كريمي	كريمي
	كفر ناصح	كريمي	كريمي
	بحورته ربيعي	كريمي	كريمي

تَل حَسِين	أَبِيض عَلَي كَرِيمِي	كَرِيمِي
حَمَاه	أَبِيض	أَصْفَر كَرِيمِي
أَشِير	أَبِيض ثُمَّ تَدْرِجِيَا إِلَى فَضِي مَسُود	أَسُود مَزْرَق
مَعْرَد فَتِين	أَبِيض ثُمَّ تَدْرِجِيَا إِلَى فَضِي مَسُود	أَسُود مَزْرَق
دِيمُو أ	أَبِيض	كَرِيمِي
دِيمُو ب	كَرِيمِي	أَصْفَر
السْمَرَة	أَبِيض	أَبِيض مَصْفَر
شِيزَر	كَرِيمِي	كَرِيمِي مَصْفَر
تَل سَكْنَدَا	كَرِيمِي	كَرِيمِي مَصْفَر
كَفَر نَبُودَه	أَبِيض ثُمَّ تَدْرِجِيَا إِلَى فَضِي مَسُود	أَسُود مَزْرَق
صُورَان	أَبِيض	أَبِيض مَصْفَر
صَفْصَافِيَة	كَرِيمِي	كَرِيمِي مَصْفَر
حَمَص	كَرِيمِي	أَبِيض مَصْفَر

وتبعاً للون الوجه العلوي لمستعمرات العزلات نجد أنها انقسمت لثلاث مجموعات: المجموعة الأولى هي المستعمرات ذات اللون الأبيض؛ المجموعة الثانية هي المستعمرات ذات اللون الأبيض المصفر والأبيض ثم تحولها للأسود؛ والمجموعة الثالثة هي المستعمرات ذات اللون الكريمي والأبيض الكريمي.



الشكل 10: يوضح مدى التشابه بين العزلات من حيث لون المستعمرة

A: أبيض

AY: أبيض مصفر

AB: أبيض ثم أسود

C: كريمي

AC: أبيض كريمي

3.2 إختبار القدرة الإمراضية للعزلات المجموعة أثناء المسح الحقلية مخبرياً

أظهرت نتائج اختبار القدرة الإمراضية أن جميع العزلات كانت ذات قدرة إمراضية على الصنف القابل للإصابة ببينلا، أي أن *Rhizoctonia* spp. هو المسبب للأعراض الموصوفة سابقاً. ولكن تباينت الأعراض والشدة المرضية باختلاف العزلات (حسب السلم المقترح)، إذ سببت بعض

العزلات تقرح المنطقة التاجية وتحلل الجذور فقط، في حين سببت عزلات أخرى ذبول النبات، وتحلل المنطقة التاجية، بالإضافة إلى إحداثها تحلل للجذور. كما تباينت العزلات أيضاً في شدة التقرحات التي سببتها على الساق، فبعضها سبب تقرحات واضحة على الساق بطول أكثر من 0.5 سم، في حين سبب بعضها الآخر تقرحات بسيطة لم يتجاوز طولها 0.2 سم، وأحدثت عزلات أخرى نكرزة على شكل بقع صغيرة لم يتجاوز قطرها 0.1 سم وهذا مبين في الجدول (6).

جدول 6: نتائج اختبار القدرة الإراضية وتطبيق فرضيات كوخ على عزلات المسح الحقلية (على الصنف بينيلا). التأثير بين العزلات والصنف القابل للإصابة

المحافظة	المنطقة	التأثر مع الصنف القابل للإصابة (بينيلا)	سلم الإصابة
إدلب	بنش	تقرحات بسيطة على الساق+تحلل الجذور	1
	تفتاز	تقرح التاج + تحلل للجذور	2
	زردنا		
	ترمانين	نكرزة خفيفة على الساق+ تقرح التاج+تحلل الجذور	3
	أتارب		
	سراقب م	تقرحات بسيطة على الساق+ تقرح التاج+تحلل الجذور	4
	سراقب ب		
	لوف		
	كفريا	تقرحات واضحة على الساق+ تقرح التاج+تحلل الجذور	5
	معارة		
	جبنه		
	تل تونة		
	كفر حلب	تقرح التاج+ تحلل للجذور + ذبول النبات	6
	كفرتنور		
	كتيان		
حلب	تركان بارح	تقرح التاج + تحلل للجذور	2
	حيلان		
	بحورته خريفي		
	بحورته ريبيعي		
	تل رفعت		
	ديوان تحتاني		
	تل مالد		
	طرندة	تقرحات بسيطة على الساق +تقرح التاج + تحلل للجذور	4
	تل رفعت ف		
	كفرانطون	تقرحات واضحة على الساق +تقرح التاج + تحلل للجذور	5
	وحشية		
	كوسنيا		
	كوسنيا(سلمى)		
	مارع		
	عين جارة		
	الساعد		
	كفرناصح		
	تل حدية		6
	طعانة		

	تفرح التاج + تحلل للجذور + ذبول النبات	احرص	
		فريرية	
		السموقة	
		كفركلبين	
6	تفرح التاج + تحلل للجذور + ذبول النبات	محددة	حماء
		أشير	
		معدقتين	
		ديمو أجيبا	
		ديمو	
		السمرة	
		شيزر	
		تل سكندا	
		كفرنبودة	
		صفصافية	
2	تفرح التاج + تحلل الجذور	تل شور	حمص

3. المناقشة

1.3 المسح الحقل

اختلفت نسبة الإصابة بين المحافظات المسوحة، وفيما بين العروتين الخريفية والربيعية ووجد المرض في مختلف الظروف البيئية السائدة خلال موسم النمو. وعلى الرغم من أن الفطر يلجأ إلى تشكيل الأجسام الحجرية في نهاية الموسم، إلا أن وجود مرض القشرة السوداء لوحظ خلال المراحل المبكرة أيضاً، ووجد Ritchie ورفاقه (2009) أنه يحدث إنبات الأجسام الحجرية في التربة للمجموعة AG3 ضمن المجال 10-30°س، ووجد أن درجة الحرارة المثالية لنمو الميسيليوم في التربة كانت 20-25°س، بغض النظر عن المجموعة التشابكية AGs (Ritchie et al., 2009).

لم تلاحظ الإصابة بمرض القشرة السوداء والتفرح التاجي في المنطقة الشمالية الشرقية من سورية (منطقة الجزيرة) ويعزى ذلك لكون هذه المنطقة لم تزرع بمحصول البطاطا سابقاً، ومن هنا تظهر أهمية الطاقة اللقاحية للفطر في التربة وأثر الدورة الزراعية فيها. ففي دراسة في كندا، وجد أن استخدام دورة زراعية متضمنة المحاصيل التالية: الشوندر السكري *Beta vulgaris*، اللفت الزيتي *Brassica campestris*، الشعير *Hordeum vulgare*، البازلاء *Pisum sativum*، القمح *Triticum aestivum*، الذرة الصفراء *Zea mais* أدى إلى عدم إصابة أي من هذه المحاصيل بعزلات الفطر *R. solani* التي تصيب البطاطا، وبالتالي فإن اتباع هذه الدورة من شأنه أن يقلل من الطاقة اللقاحية للممرض في حقول البطاطا (Bains et al., 2002).

2.3 عزل الممرض

أمكن الحصول على الممرض من الأجزاء المختلفة للنبات وهذا يتفق مع Carling وآخرون (1989) الذين وجدوا أعراض الإصابة بالرايزوكتونيا على أجزاء النبات كافة. واختلفت العزلات فيما بينها بسرعة نمو الميسيليوم، ولون المستعمرة. وأبدت بعض العزلات رغم تجاورها جغرافياً، اختلافًا من حيث سرعة نمو مستعمراتها ولونها، الأمر الذي يؤكد أن المجموعات التشابكية تعتمد على أنماطها الشرسية (المرضية) وليس على المنشأ الجغرافي سواء للعائل أو المجموعة التشابكية (Kasem et al., 2010)

3.3 اختبار القدرة الإراضية للعزلات المجموعة أثناء المسح الحقلية مخبرياً:

اختلفت العزلات فيما بينها من حيث شدة الإصابة، والأعراض التي أحدثتها، رغم تماثل الظروف. ولقد أشارت عدة دراسات إلى الاختلاف الكبير في قدرة عزلات *R. solani* على إصابة البطاطا، حتى ضمن الظروف المثلى، مما يدل على أن للعوامل الوراثية دور في اختلاف الشراسة (Rubio et al. 1996). وسجلت بعض الدراسات تنوعاً حيوياً بين عزلات المجموعة AG3، من حيث الاختلاف في نسبة النمو، وشدة الأعراض وخطورتها (Chand & logan, 1983; Carling & Leiner, 1986, 1990a; Anguiz & Martin, 1989; Hill & Anderson, 1989; Balali et al., 1988; Bandy et al., 1995; Bains & Bisht, 1995; MS)، عندما اختبرت العزلات المجموعة على بادرات بطاطا منماة ضمن أنابيب حاوية على وسط موراشيغ وسكوغ (MS)، درجة حموضته pH تتراوح من 5.7-5.8.

وفي دراسة Ritchie ورفاقه (2009) وجد أن المجموعتين AG2-1 و AG3 المأخوذتين من البطاطا لهما مجال pH واسع يتراوح من 4-8، وذلك على الأوساط المنظمة buffered media، ووجد أن المجموعة AG2-1 تنتج أجساماً حجرية ضمن مجال ضيق من pH 5-6، في حين أن AG3 تنتجها ضمن مجال أوسع 4-8. وأثبتت هذه الدراسة أن pH المثلى هي 5.6. وبالتالي فإن الوسط MS هو وسط مثالي لنمو الفطر *R. solani*. وفي دراسة أخرى وجد أن المجال 3.5-7.5 هو المفضل لنمو ميسيليوم *R. solani* على الـ poinsettia (*Euphorbia pulcherrima*) (Bateman, 1962). كما وجد Grosch ورفاقه (2003) أن pH المثلى لنمو ميسيليوم AG1-1B المعزولة من الخس تتراوح من 5-6.

الفصل الثالث

تحديد المجموعات التشابكية AGs للفطر *R. solani* في المناطق المدروسة بطريقة تشابك الهيفات وبالطرائق الجزيئية

1. الدراسة المرجعية

1.1 تقنية تشابك الهيفات

يتضمن الفطر *R. solani* مجتمعاً (مجموعة عزلات، سلالات) متبايناً لا يحدث فيه تزاوج داخلي، يعرف باسم المجموعات التشابكية (Yanar *et al.*, 2005; Anderson, 1982) وقد اقترح Schultz (1936) مخططاً لتقسيم النوع *R. solani* بالارتكاز إلى تشابك الهيفات Anastomosis. إذ وجد أنه عند مواجهة عزلتين من الفطر على وسط الآجار، فإن هيفاتهما تتمازجان وتتداخلان. وعند حدوث انصهار لهيفات العزلتين، يقال أنهما تتبعان لمجموعة تشابكية واحدة (Ceresini, 1999). وقد اعتمد الباحثون قبل الستينيات من القرن الماضي في تصنيف أنواع الجنس *Rhizoctonia* غالباً على الاختلاف المظهري الملاحظ عند زراعة الفطر على الأوساط الغذائية في المختبر و/أو على القدرة الإمراضية على أنواع نباتية مختلفة (Ceresini, 1999).

يستخدم الباحثون العاملون في مجال الفطر *Rhizoctonia* السلالات التفريقية/المختبرة لكل المجموعات التشابكية لتعريف المجموعات التشابكية التي تنتمي إليها العزلات غير المعروفة. ويمكن الحصول على هذه السلالات التفريقية من "المجموعة المزرعية النمطية/النموجية الأمريكية" (The American Type Culture Collection).

ينتج عن اقتران عزلتين تنتميان لمجموعة تشابكية واحدة اندماج هيفاتهما (Anastomosis)، واختلاط سيتوبلاسم الخلايا في التشابك وهذا يؤدي إما بالقبول (الاندماج التام) أو الرفض (عدم التوافق الجسمي Somatic incompatibility). وتموت الخلايا عادة في نقطة الالتحام (الانصهار) إذا كانت العزلات متباعدة وراثياً (رد فعل قاتل)، وتنصهر بدون أي رد فعل قاتل إذا كانت متماثلة وراثياً. وفي حال كون العزلات من مجموعات تشابكية مختلفة، فإن الانصهار لا يحدث على الإطلاق. الأمر الذي يوحي بوجود تباين وراثي أكبر بين العزلات، كأن تكون منتمية إلى أنواع مختلفة... الخ. على أن تفسير نتائج تفاعل التشابك ليس بهذه البساطة دائماً بسبب وجود أربعة أنماط لتفاعل تشابك الهيفات هي: C0 و C1 و C2 و C3، تمثل فيما بينها سلسلة متصلة. ويوجد ضمن المجموعة التشابكية الواحدة نمطان لتفاعل تشابك الهيفات هما C2 و C3 يتناسبان مع دراسة بيولوجية مجتمع الفطر. يمثل النمط

C2 (ويسمى أيضاً التفاعل القاتل) استجابة عدم توافق جسمي بين الأفراد المختلفة وراثياً. والنمط C3 (الاندماج التام) هو صيغة الهوية الوراثية أو التقارب الوراثي بين عزلتين (Berggen, 1985؛ Ceresini, 1999). وكلما تنوع المدى العوائلي والشراسة للمجموعات التشابكية المختلفة، أصبحت المعلومات عن عزلات هذه المجموعات المتعلقة بمسؤوليتها عن إحداث مرض متخصص مفيدة جداً، لذلك يجب أن تستخدم عزلات *R. solani* AG3 في إعداد النباتات أثناء عملية التربية لمقاومة هذا الفطر (Rauf et al., 2007).

وصف Parmeter وآخرون (1969) في الولايات المتحدة الأمريكية أربع مجموعات تشابكية (AG1 حتى AG4). وأكد Ogoshi (1975) الذي كان يعمل في اليابان المجموعات التي وصفها Parmeter وزملاؤه؛ ولكنه وضع AG2 في تحت مجموعتين AG2-1 و AG2-2 (بالارتكاز على التردد النسبي لعدد نقاط انصهار الهيفات)، كما أضاف مجموعة جديدة (AG5)؛ ووصف Kuninaga وآخرون (1978) مجموعتين تشابكيتين إضافيتين AG6 و "مجموعة التجسير" AG-B1 (والتي تتحد أحياناً مع كل من المجموعات AG2-1، AG3، AG6، AG8)؛ كما وصف Homma وآخرون (1983) المجموعة AG7؛ ووصف Neate & Warcup (1985) المجموعة AG8؛ كما وصف Carling وآخرون (1987) المجموعة AG9؛ ووصف Ogoshi وآخرون (1990) المجموعة AG10؛ كما وصف Carling وآخرون (1992) المجموعة AG11؛ ووصف Carling وآخرون (1996) المجموعة AG12. وهناك أيضاً المجموعة AG13 (Carling et al., 2002a).

جدول 7: تصنيف تشابك الهيفا لدى الفطر *Rhizoctonia solani* (Carling et al., 1990) بتصريف

التصنيف	العلاقة	وصف التفاعل
C0	لا يوجد قرابة (مجموعات تشابكية مختلفة)	لا يوجد تفاعل
C1	قرابة بعيدة (مجموعات تشابكية مختلفة أو من المجموعات التشابكية نفسها)	تلامس بين الهيفات؛ اتصال واضح للجدار ولكن لا يوجد دليل على اختراق الجدار أو تلامس الغشاء؛ تموت أحياناً واحدة أو كلتا خليتي التشابك وربما تموت الخلايا المجاورة أيضاً.
C2	مقاربة (المجموعات التشابكية نفسها ولكن من كلونات مختلفة)	اختراق الجدار واضح؛ اتصال الغشاء غير محدد؛ موقع رد الفعل واضح؛ قطر النقب عند نقطة الاختراق أقل من قطر الهيفات؛ تموت عادةً خلايا التشابك والخلايا المجاورة.
C3	شديدة القرابة (المجموعات التشابكية نفسها)، (العزلة نفسها)، (الكلون نفسه).	انصهار الجدر؛ انصهار الأغشية؛ نقطة الانصهار غير واضحة؛ قطر النقب عند نقطة التلامس مساوٍ أو تقريباً مساوٍ لقطر الهيفات؛ قد تموت خلايا التشابك والخلايا المجاورة لها ولكنها لا تموت عادةً.

يعتمد التصنيف على ردود الفعل والتبدلات المصلية التي تحدث في نقطة التشابك بين هيفا العزلتين (رد فعل هيفا-هيفا). وتكون هذه الردود والتبدلات المصلية ملحوظة أو يمكن ملاحظتها على مستوى المجهر الضوئي. ولا يعرف سوى القليل حتى الآن عن الآليات التي تحكم مسيرة هذا التفاعل لدى الجنس *Rhizoctonia* والفطور الخيطية الأخرى. تتحكم في صفة عدم التوافق الجسمي (Somatic

(incompatibility) عدة مورثات متعددة الأليلات. وحتى تكون العزلتان متوافقتين يجب أن تكون كل المواقع الوراثية (loci) للتوافقية الجسمية متطابقة (Ceresini, 1999).

تدعم الدراسات المرتكزة على البروتين والـ DNA حالياً تقسيم فطر *Rhizoctonia* إلى مجموعات متميزة وراثياً، ولكنها تظهر أيضاً تبايناً وراثياً معتبراً ضمن المجموعة الواحدة. ويستخدم تشابك الهيفات والاختبارات الجزيئية حالياً لمراجعة أدق لكل من تصنيف وبيئية وإراضية النوع *R. solani* (Ceresini, 1999).

عزلت من البطاطا من مناطق مختلفة من العالم ثماني مجموعات تشابكية هي: AG1، AG2-1، AG2-2، AG3، AG4، AG5، AG8، AG9. ومن بين هذه المجموعات كانت AG3 الأكثر تردداً (Berggren, 1985; Carling & Leiner, 1986; Chand & Logan, 1983; Abe & Tsuboki, 1978; Rauf *et al.*, 2007; Wharton *et al.*, 2007; Tsror & Peretz Alion, 2005). هي المسؤولة عالمياً عن حدوث العدوى على البطاطا (Justesen *et al.*, 2003; Campion *et al.*, 2001; Truter and Wehner, 2004; Lehtonen *et al.*, 2008; Cedeño *et al.*, 2003). كما يمكن لمجموعات تشابكية أخرى من الفطر *R. solani* مثل AG2-2 و AG4 أن تكون ممرضة للبطاطا عند درجات حرارة معينة، ولكنها تسبب عادةً أضراراً أقل من المجموعة الثالثة (Wharton *et al.*, 2007). كما أن لبعضها مقدرة محدودة غالباً على إصابة أجزاء بعينها من نبات البطاطا، فقد أوضح Carling وآخرون (1998) على سبيل المثال، قدرة المجموعة AG7 على إصابة السوق والمدادات والدرنات ولكن ليس الجذور، في حين لاحظ Hide و Frimager (1990) أن لـ AG8 المقدرة على إصابة الجذور فقط. ووجد أن المجموعة AG4 توجد فقط خلال فترة الإزهار، في حين توجد AG3 خلال مراحل نمو النبات كافة (Carling *et al.*, 2000). والمعروف عامة أن AG3-PT هي المسبب الرئيس للمرض في البطاطا، وهي واحدة من تحت مجموعتين لـ AG3. بينما تترافق المجموعة الأخرى AG3-TB مع التبغ. والمعروف أن تحت هاتين المجموعتين منعزلتين وراثياً (Kuninaga *et al.*, 2000)، وتختلفان في المظهر المزرعي، ونمط الحموض الدهنية والمقدرة الإراضية (Stevens *et al.*, 1993).

2.1 الطرائق الجزيئية باستخدام المؤشرات الجزيئية للـ DNA:

1.2.1 الدراسة المرجعية

تستخدم المؤشرات الجزيئية بشكل كبير في معظم الدراسات الحالية لأغراض عدة، كرسم الخرائط الوراثية (Kliebenstein *et al.*, 2001)، والتصنيف على مستوى الجنس (Flachowsky *et al.*, 2001)، وتحديد التنوع الوراثي (Erschadi *et al.*, 2000)، وغيرها من الإستخدامات.

وعند مقارنة المؤشرات (الشكلية) المورفولوجية بالمؤشرات الجزيئية، نجد أن الطرائق الجزيئية تعتمد على تباين الـ DNA، وتكون غنية بالمعلومات، ومستقلة عن الظروف البيئية، وتعتمد على طرائق عدة (Agarwal *et al.*, 2008).

استخدمت عدة تقانات معتمدة على الـ DNA في تحديد المجموعات التشابكية للفطر *R. solani* (Vilgalys & Cubeta *et al.*, 1991; Carling *et al.*, 2002b; Gonzalez *et al.*, 2001). سمح اكتشاف الـ PCR من قبل Kary mullis (1983)، (www.nobel-prize.org/1983/chemistry/kary-banks-mullis.html) إلى مكاثرة الهدف من كميات صغيرة من الـ DNA، وهي تقانة تستخدم بشكل واسع في مختبرات التقانة الحيوية، كونها سريعة وغير مكلفة وبسيطة (Erlich, 1989).

1.1.2.1 المبادئ الأساسية لـ PCR:

1. الحصول على عينات خالية من البروتينات و الشوائب الأخرى.
2. فصل سلسلتي DNA إلى سلاسل مفردة برفع درجة الحرارة إلى 95° س والتي تسمى بدرجة الذوبان/ الإنصهار.
3. اتصال البادئات بالسلاسل المفردة مشكلة نسخة مكملة للسلسلة المقابلة لها عند درجة الارتباط والتي تتراوح ما بين 55-72° س.
4. تضاعف السلاسل عند درجة الحرارة المثلى 72° س.

وتتكرر العملية خلال دورات PCR

2.1.2.1 دورات PCR:

- مرحلة التهيئة أو فصل سلسلتي الـ DNA لكامل المجين *Initialization step* :

يتم في هذه المرحلة فصل سلسلتي الـ DNA لكامل المجين وتستغرق مدة 3 إلى 5 دقائق عند 95 س. (Sharkey *et al.*, 1994). يلي ذلك 25 إلى 45 دورة متتالية، يتألف كل منها من ثلاث خطوات هي:

• خطوة الفصل/ التفسخ *Denaturation step* :

وهي الدورة النظامية الأولى، وتكون الحرارة ضمن المجال 94-96°س لمدة 20-30 ثانية. وينتج عنها فصل سلاسل الـ DNA المزدوجة إلى سلاسل مفردة. حيث تسبب الحرارة تحطم الروابط الهيدروجينية بين سلسلتي الحمض النووي الـ DNA، وبالتالي الحصول على سلاسل مفردة منه.

• مرحلة الارتباط أو الالتحام *Annealing step*:

وفيها يتم تخفيض حرارة التفاعل إلى 50-65°س لمدة 20-40 ثانية، مما يسمح بارتباط البادئات بالمناطق المتممة لها على سلسلتي الـ DNA. وعادةً ما تكون درجة حرارة الارتباط للبادئ أقل بـ 3 - 5 درجات من درجة حرارة الانفكاك T_m^* والتي ترتبط بدورها بطول البادئ من ناحية وبعده القواعد الأزوتية C+G و T+A. وتسمح بذلك بارتباط البادئات بسلاسل DNA المفردة للبادئات المستخدمة. ويتشكل روابط هيدروجينية عند ارتباط البادئات مع القالب

* T_m هي درجة الحرارة التي يتفكك عندها نصف الـ DNA مزدوج السلسلة ليصبح أحادي السلسلة.

• مرحلة الاستطالة/الامتداد *Extension/elongation step*:

بعد أن يتم ارتباط البادئ بالسلسلة المتممة له، يتخذ أنزيم التكتيف من هذا الارتباط نقطة بدء له Starting Point لتكوين السلسلة الجديدة. تبدأ هذه الخطوة عملياً منذ اللحظة الأولى لارتباط البادئ بالسلسلة المتممة له، إلا أن درجة الحرارة المثلى لأنزيم التكتيف هي 72°س ، لذلك يتم تسريع عمل الأنزيم من خلال تأمين درجة الحرارة المثلى له. وتعتمد هذه المرحلة على حرارة أنزيم التكتيف Taq polymerase ، وتعد 75-80°س الدرجة المثلى لنشاط الأنزيم وغالباً ما تستخدم 72°س. وفي هذه المرحلة تكمل الـ DNA السلسلة المكمل لها لتشكيل القالب وذلك بإضافة القواعد الأزوتية (Chien et al., 1976; Lawyer et al., 1993).

3.1.2.1 تقانات تعتمد على PCR

-تقانة التكرارات التسلسلية البسيطة (SSRs) Simple Sequence Repeats أو التكرارات المزدوجة القصيرة (STRs) Short Tandem Repeat

تعرف هذه التقانة بـ Simple Sequence Repeats (SSRs) أو وقد تعرف بـ Short Tandem Repeats (STRs) وتستخدم في تحديد التباين بين الأفراد المتقاربة وراثياً. وهي عبارة عن

قطعة من DNA مكونة من وحدات متكررة يتراوح عددها ما بين 1-5 أزواج من النيوكليوتيدات. وتحاط هذه الوحدات بمقاطع DNA وحيدة. يتم تحديد هذه المقاطع الوحيدة بتصميم بادئات مناسبة مكملة لها لمكانة المنطقة المتكررة المحصورة بينها بواسطة تقانة PCR (Morgante and Olivieri, 1997; Smulders *et al.*, 1993). وقد استخدمت هذه التقانة من قبل Mwang'ombe وآخرون (2007) لدراسة التنوع الوراثي ضمن النوع *R. solani*.

— تقانة المكاثر العشوائية للحمض النووي المتعدد الأشكال Amplified Random Polymorphic DNA (RAPD)

طور William ورفاقه (1990) هذه التقانة للكشف عن التباين الوراثي في المحاصيل النباتية. وتعتمد التقانة على مكاثر قطع DNA المراد دراسته بواسطة تفاعل البوليميراز المتسلسل PCR وبوجود بادئة مؤلفة من 10 نيوكليوتيدات. (William *et al.*, 1990)، يؤدي عمل البادئتين بالاتجاه Forward وبعكس الاتجاه Reverse (Spooner *et al.*, 2005). ويمكن رؤية نواتج مكاثر قطع DNA بالترحيل على هلام من الأغاروز وتلوينها بمحلول بروميد الإيثيديوم، أو على هلام بولي أكريلاميد باستخدام محلول نترات الفضة (William *et al.*, 1990).

ومن محاسن هذه الطريقة: أنها لا تحتاج لمعرفة مسبقة بالتركيب النيوكليوتيدي للمادة الوراثية المراد دراستها؛ وعدم الحاجة لاستخدام انزيمات التحديد والتي تكون غالباً مكلفة؛ كما لا يتطلب استخدامها التعريض للمواد المشعة؛ وهي طريقة غير مكلفة؛ ولا يتطلب إنجازها جهداً ووقتاً طويلاً؛ وتستخدم لتوصيف المجموعات ذات الأعداد الكبيرة من الأفراد. ويؤخذ على هذه التقانة: انخفاض موثوقيتها، فهي حساسة جداً للإجراءات المتعلقة بتفاعل الـ PCR، وهذا يؤثر في مكاثر الـ DNA وبالتالي تكون نسبة الخطأ أكبر (Kozol *et al.*, 1994; Robichaux *et al.*, 1997).

— تقانة تضخيم القطع المتباينة الناتجة عن التجزئ الأنزيمي Amplified Fragment Length Polymorphism (AFLP)

اكتشفت هذه التقانة لأول مرة من قبل (Zabeau & Vos, 1993; Vos *et al.*, 1995). وتعتمد على مكاثر انتقائية لبعض قطع DNA الناتجة عن التجزئ بأنزيمات التحديد بالـ PCR، وتؤمن عدداً كبيراً من تباين العصابات على هلام البولي أكريلاميد، وتحدد التباينات الوراثية الجزيئية لـ AFLP بوجود أو عدم وجود جزيء DNA الناتج عن تجزئ وتضخيم DNA المجين. وتتضمن أربع مراحل: هضم مجين DNA، ربط البادئات، مرحلة التضخيم الأولي والتضخيم الإنتقائي، وتحليل الهلام (Vos *et al.*, 1995).

ومن محاسن *AFLP*: إنتاج مستويات عالية من التباين الوراثي، لا تتطلب معرفة مسبقة لصيغة الـ DNA، وهي رخيصة نسبياً، وسهلة، وسريعة، وطريقة موثوقة لإنتاجها عدداً كبيراً من المؤشرات الوراثية (Vos et al., 1995, 1997). ولكن يؤخذ على هذه التقنية صعوبة تحديد المؤشرات، homologous markers (alleles)، ولذا فإنها غير مفيدة للدراسات التي تتطلب دقة في توزيع حالات البدائل allelic states (Mueller & Wolfenbarger, 1999).

استخدمت هذه التقنية لفهم تركيب مجتمع AG3-PT (على البطاطا) و AG3-BT (على التبغ) (Ceresini et al., 2002). كما استخدمت أيضاً لتعريف عزلات *R. solani* من الفاصولياء ومقارنتها مع المجموعات التفريقية لمعرفة المجموعات التشابكية التي تنتمي لها هذه العزلات (Olmos –Lopez et al., 2005).

2. مواد العمل وطرائقه

1.2 تحديد فئات المجموعات التشابكية للفر *R. solani*

1.1.2 تقنية تشابك الهيفا

تم مواجهة العزلات المختلفة المجموعة أو المقدمة من مناطق مختلفة مع عزلات *R. solani* المفرقة (Tester isolates)، والتي تم الحصول عليها من جمهورية مصر العربية؛ وذلك بوضع قرص من العزلة، التي يرغب بتحديدتها، بعمر 4 أيام مع قرص لكل من العزلات المفرقة بقطر 5 مم من كل منهما ناميتين على وسط PDA وعلى بعد 2 سم على وسط الآجار المائي WA في أطباق بتري بقطر 9 سم. حضنت الأطباق عند 25°س لمدة 24-48 ساعة (Rauf et al., 2007). أخذت قطعة 0.5-1 سم² من منطقة اتصال العزلتين ووضعت على شريحة زجاجية، ثم وضعت عليها قطرة من محلول السفرانين القاعدي والمؤلف من المواد التالية:

- 6 مل 0.5% وزن/حجم سفرانين O في الماء المقطر،
- 10 مل 3% وزن/حجم KOH في الماء المقطر،
- 5 مل غليسيرين. (Sneh et al., 1991).

وغطيت بساترة زجاجية ثم فحصت تحت المجهر. كما تم استخدام صبغة أزرق الميثيلين والجيوسا لفحص تفرعات الهيفا، حيث اعتبر اندماج الهيفا في 3 نقاط أو أكثر في مناطق التشابك دليلاً إيجابياً على أن العزلتين تنتميان للمجموعة التشابكية ذاتها (Parmeter et al., 1969) وكرر هذا الإجراء 3 مرات للعزلات غير المعروفة. تعتبر الطريقة الموصوفة أعلاه طريقة تقليدية لتحديد المجموعات التشابكية للفر المدروس.

2.1.2 اختبار القدرة الإراضية للمجموعات التشابكية مخبرياً

أُخذت بادرات من الصنف بينيلا (الصنف القابل للإصابة) بعمر شهرين نامية في أنابيب زجاجية (20 سم×20 مم) حاوية على وسط غذائي خاص لتنمية البطاطا (موراشيغ وسكوغ MS). أعدت هذه البادرات بمعدل قرصين بقطر 5 مم أُخذت من مستعمرات بعمر 7 أيام من الفطر للمجموعات التشابكية AGs (AG1، AG2-1، AG2-2، AG3، AG3P، AG4HGI، AG4HGII، AG5، AG6، AG8، AG9، AG12) حيث AG3P هي تحت المجموعة AG3 المتخصصة على البطاطا وحضنت في غرفة نمو عند 22 ± 2 °س و 16 ساعة إضاءة و 8 ساعات ظلام وبمعدل 3 أنابيب/مكررات لكل مجموعة تشابكية بالإضافة إلى الشاهد. وبعد مرور شهر وسبعة أيام من الإعداد، عُزل الفطر الممرض من أجزاء نباتية مختلفة للنباتات المعدة. تم أيضاً أخذ قرص بقطر 5 مم من كل من المجموعات التشابكية للفطر الممرض بعمر 7 أيام ووضع في مركز طبق حاوي على وسط PDA، حضنت الأطباق عند 22 ± 2 °س، لمعرفة سرعة النمو ولون الأجسام الحجرية لهذه المجموعات، وأُخذت القراءات بعد 45 يوماً من التحضين.

2.2 الطرائق الجزيئية

1.2.2 تحضير الفطر

تم تنمية عزلات الفطر المعزولة خلال المسح الحقلي والعزلات المفارقة (الشاهد) على وسط PDA وذلك بوضع قرص بقطر 5 مم من كل عذلة (أخذ من حافة مستعمرة بعمر 7 أيام نامية على وسط PDA)، وسط طبق بتري وحضنت الأطباق عند 24 ± 2 °س في الظلام لمدة 7 أيام لاستخدامها في عملية استخلاص الـ DNA. وفق طريقة (Coddington & Gould, 1992) المعدلة وفق التعديلات التالية:

1. عدم تلقيح الوسط السائل (Czpaek Dox (oxiod بأقراص الفطر ووضعها على رجاج

متحرك، وإنما زراعتها على وسط PDA.

2. عدم ترشيح الميسيليوم عبر طبقات الشاش وحفظها في الأزوت السائل.

2.2.2 استخلاص DNA (DNA Extraction)

الغاية من هذه العملية هي فصل الحمض النووي عن مكونات الخلية الأخرى كالبروتينات والليبيدات والألدهيدات (Sambrook et al., 1989).

كشط سطح الوسط المغذي، بوساطة شريحة نظيفة معقمة، للحصول على ميسيليوم الفطر *Rhizoctonia* spp بالإضافة للعزلات المفارقة حسب الطريقة الموصوفة

(www.fgsc.net/fgn44/weiland.html). وقد تم الاستخلاص بطريقة Cetyl Trimethyl Ammonium Bromide (CTAB) ووفقاً لـ (Saghai-Maroofo *et al.*, 1984) :

- طحن ميسيليوم الفطر في هاون بورسلان، وأضيف لكل منها 1 مل من محلول الاستخلاص CTAB hexadecyl trimethyl ammonium bromide والمسخن إلى درجة حرارة 65°س ثم وضع المزيج في أنابيب معقمة سعتها (2.2 ميلي ليتر)، ووضعت الأنابيب ضمن حمام مائي عند 65°س لمدة 60 دقيقة مع التحريك المستمر، من أجل مجانسة مستخلص الفطر مع محلول الاستخلاص.
- وضعت الأنابيب مباشرة في الثلج لمدة 5-10 دقائق. وأضيف لكل منها مقدار 1 مل من كلوروفورم /أيزواميل بنسبة 1:24 وحرك الأنبوب يدوياً رأساً على عقب لمدة 15 دقيقة عند حرارة المختبر.
- وضعت الأنابيب في مثقلة بسرعة 12000 دورة/دقيقة لمدة 20 دقيقة.
- نقلت الطبقة العلوية والتي تمثل الطور المائي Aqueous phase الحاوية على الأحماض النووية (بمعدل 1 مل) إلى أنابيب أخرى جديدة سعة 2.2 مل.
- أضيف لكل أنبوب 6 ميكروليتر من أنزيم الـ RNase (10 mg/ml)، وضعت الأنابيب في الحاضنة عند 37°س لمدة 30 دقيقة للتخلص من الحمض النووي الريبوزومي RNA والحصول على DNA فقط، ثم وضعت الأنابيب في المجمدة (-20°س) لمدة 10 دقائق.
- أضيف 1 مل من الـ isopropanol بتركيز 100 % محفوظ عند -20°س، وتم مزج المحتويات بهدوء بقلب الأنبوب رأساً على عقب عدة مرات لترسيب الـ DNA.
- ثفلت الأنابيب على سرعة 12000 دورة/دقيقة لمدة 6 دقائق. وتم التخلص بعد ذلك من الرائق وبقي الراسب (pellet) وهو عبارة عن كتلة الـ DNA.
- غسلت كتلة DNA المترسبة بإضافة 500 ميكروليتر من الإيثانول البارد -20°س بتركيز 75% . وضعت الأنابيب في المثقلة لمدة 5 دقائق على سرعة 12000 دورة /دقيقة لطرح محلول الغسيل وتركت كتلة الـ DNA المترسبة لتجف عند حرارة المختبر.
- بعد إتمام التجفيف، أضيف لكل أنبوب 100 ميكروليتر من مادة TE بتركيز 1X وتركت الأنابيب حتى اليوم التالي عند 4°س وذلك حتى تمام ذوبان كتلة الـ DNA.

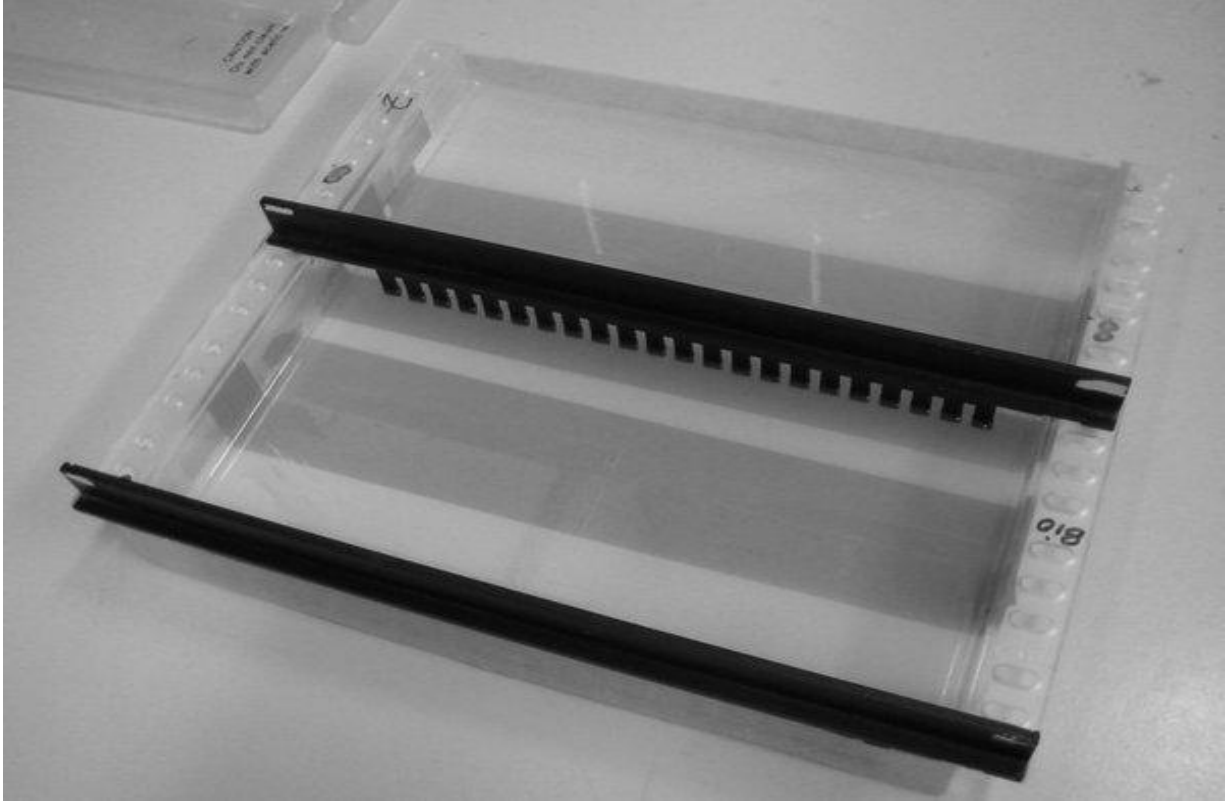
3.2.2. تقدير كمية ونوعية الـDNA المستخلص من خلال ترحيل العينات ضمن هلامة آغاروز

DNA Qualification and Quantification using Agarose Gel

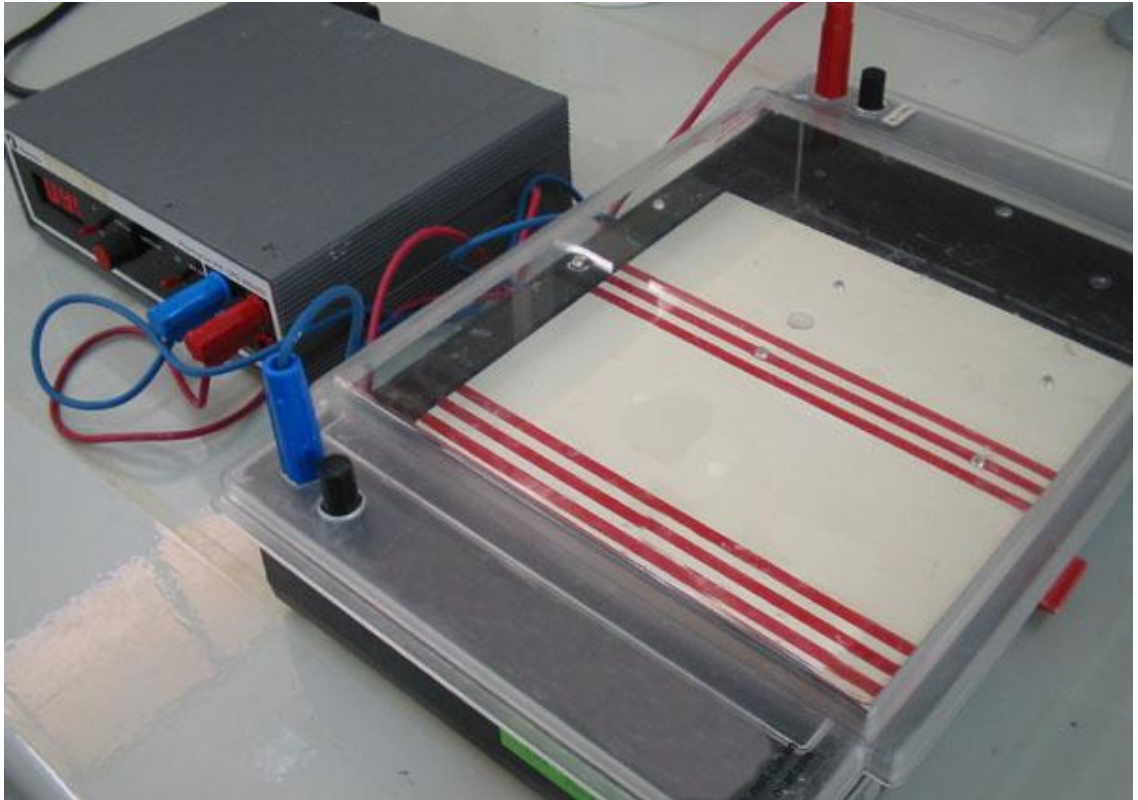
يمكن تقدير جودة الأحماض النووية بواسطة جهاز رحلان أفقي وباستخدام هلامة الآغاروز (عبارة عن D-galactose & 3,6-anhydro L-galactose) بعد إذابته في أحد المحاليل المنظمة مثل 1X TBE buffer، حيث تظهر جزيئات الـDNA كعصابات أعلى الهلام نتيجة هجرة جزيئات الـDNA ذات الشحنة السالبة باتجاه القطب الموجب ضمن مجال كهربائي. ولرؤية عصابات الـDNA، يتم صبغ الهلام بمحلول بروميد الايثيديوم Ethidium Bromide الذي يشكل معقدًا مع جزيئات الـDNA ويومض إثر تعرضه للأشعة فوق البنفسجية Ultra Violet. هذا وتتناسب شدة الومضان طرديًا مع كمية DNA المراد معرفة تركيزها. تظهر العينات ذات الجودة العالية على شكل حزم أو عصابات على الهلام ذات وزن جزيئي مرتفع، في حين يدل عدم وجود التقطيع إلى جودة عينات الـDNA. وقدر تركيز DNA بشكل تقريبي من خلال شدة توهج العينات المراد تحليلها مع الواسم المعروف الكمية والموضوعة على طرفي الهلامة، (Sambrook et al., 1989).

تحضير هلامة الآغاروز:

1. حضرت هلامة الآغاروز 1%، بأخذ 1 غ من الآغاروز مضافاً لـ 100 مل من المحلول المنظم (1X TBE buffer) (Tris-acetate-EDTA buffer) في دورق سعته 250 مل.
2. سخن المزيج إلى درجة الغليان حتى ذوبانه بشكل جيد، وبرد حتى أصبحت حرارته 50°س.
3. أخذت حاوية سعتها 250 مل، وأغلق طرفيها بشريط ورقي لاصق وبشكل مشدود ومستقيم حتى تكون حواف الهلامة مستقيمة، وضعت الأمشاط المناسبة (حسب عدد العينات المراد دراستها) لتشكيل الحفر التي ستحمل العينات وعلى مسافات متساوية قدر الإمكان.
4. سكب المزيج في إحدى زوايا الحاوية وبهدوء وترك حتى يتجمد جيداً ثم أزيل اللاصق وغمر في المحلول المنظم TBE x1 وأزيلت الأمشاط.



الشكل 11: صفيحة سكب الآغاروز مع المشط



الشكل 12: جهاز الرحلان الكهربائي الأفقي المستخدم

تحميل عينات الـ DNA على هلامة الآغاروز

تم تحميل 2 ميكرو لتر من مخزون stock DNA لكل عذلة وأضيف إليها 3 ميكرو لترات من سائل التحميل الممدد (10X Agarose Loading Buffer , 0.25% Bromophenol blue, 50% Glycerol , pH=8 EDTA 60 mM). وتأتي أهمية محلول سائل التحميل كونه:

1. يمنح الغليسيرول الموجود في سائل التحميل عينات DNA الكثافة اللازمة كي تستقر في الحفرة

2. أما صبغة Bromophenol blue فتعطي العينات اللون الأزرق الذي يُمكننا من رؤيتها أثناء التحميل، وكذلك تقدير المسافة التي قطعتها جزيئات DNA ضمن هلام الآغاروز.

تم تحميل 5 ميكرو لترات في كل حفرة خاصة بعذلة معينة وبحذر، وقد استخدم الواسم λ DNA Lambda ذو وزن جزيئي معروف 50 و 100 نانوغرام (100 نانوغرام/ 10 ميكرو لتر) ووضع في الحفرتين الأولى والأخيرة لكل مشط ضمن هلام الآغاروز، ورفع الفولطاج تدريجياً حتى 90 فولط، حيث كانت جهة الرحلان من القطب السالب إلى القطب الموجب.

تلوين هلامة الآغاروز

غمرت هلامة الآغاروز في سائل التلوين (محلول 1XTAE الذي يحوي على مادة بروم الايثيديوم بتركيز 0.5 ميكرو غرام/ مليلتر) لمدة 30 دقيقة مع التحريك الهادئ على هزاز آلي. أزيل سائل التلوين، وغسلت الهلامة بالماء لمدة دقيقتين، ثم عرضت إلى الأشعة فوق البنفسجية UV باستخدام جهاز تصوير هلامة الآغاروز (Image Analyzer (Eagle Eye II Staratagene) ، وتم تصوير هلامة الآغاروز باستخدام كاميرا موجودة ضمن الجهاز سابق الذكر. يربط هذا الجهاز مع حاسوب ويتم نقل الصورة بعد تصويرها بالكاميرا إلى الحاسوب لتخزن على شكل ملف صورة تتم طباعته باستخدام طابعة خاصة.

4.2.2 تضخيم الـ DNA بواسطة التفاعل التسلسلي البوليميرازي (PCR) وباستخدام بادئات SSR متخصصة

تم في هذه المرحلة استخدام 4 أزواج من البادئات الخاصة بـ SSR الفطر *R. solani*. للكشف عن العزلات التابعة للمجموعة التشابكية AG3، بالإضافة إلى المجموعات الفرعية التابعة لهذه المجموعة التشابكية. استخدمت هذه البادئات لتضخيم الـ DNA بواسطة تفاعل PCR وباستخدام جهاز التدوير الحراري Thermocycler. وحُضِر المزيج الخاص بهذا الاختبار

جدول 8: المواد المستخدمة في المزيج الخاص وحجم المواد المستخدمة وتركيزها:

المواد المستخدمة في المزيج الخاص	الحجم المستخدم لكل مادة (μl)
DNA (50 ng/μl)	2
المحلول المنظم 10X OPA buffer	2
النيوكليوتيدات الأربعة dNTPs (2 Mm/μl)	2
البادئة اليمينية / اليسارية (10 pml)	1 لكل بادئ
أنزيم التثيف	0.1
الماء المقطر والمعقم S.D.H2O	11.9
الحجم النهائي	20

وفق البرنامج التالي:

95°س لمدة 3 دقائق
ثم 35 دورة وفق ما يلي:
95°س لمدة 15 ثانية
52°س لمدة 15 ثانية
72°س لمدة 30 ثانية
وأخيراً 72°س لمدة 5 دقائق

جدول 9: التتابع النيكلوتيدي للبادئات المستخدمة في تفاعل الـ PCR للكشف عن عزلات المجموعة AG3 للفطر *R. solani*.

البادئة اليسارية	البادئة اليمينية	المجموعة
3' (Reverse Primers)	5' (Forward primers)	
5'- CAG GAG ACT TGT ACA CGG TCC AG-3')	5'-AAT AAG TCA TTG AAC CCT TC-3	AG3
		F: AG3-1F
		R: ITS4-B
5'-CTT GAT TAA TGC AAC TCC C-3'	(5'-CTG AAC GCC TCT AAG TCA. GAA-3'	AG3P
		F: AG3-2F
		R:AG3PT-1R

5-'CAA CAA CAA TCT CCA AAT CC-3'

5-'CTG AAC GCC TCT AAG TCA GAA-3'

AG3 TB

F: AG3-2F

R:AG3TB-1R

5-'TCA TTC TTG ATC CAC TAG TC-3'

5-'CTG AAC GCC TCT AAG TCA GAA-3'

AG3 TM

F: AG3-2F

R:AG3TM-1R

حيث AG3: المجموعة التشابكية AG3. حيث AG3-1F (Arakawa, Unpublished) ITS4-B،
 AG3P: تحت المجموعة AG3 المتخصصة على البطاطا. حيث AG3-2F (Kuninaga *et al.*,)
 1997, AG3PT-1R (Kuninaga *et al.*, 1997)..
 AG3 TB: تحت المجموعة AG3 المتخصصة على التبغ. حيث AG3-2F (Kuninaga *et al.*,)
 (1997) AG3TB-1R (Kuninaga *et al.*, 1997)
 AG3 TM: تحت المجموعة AG3 المتخصصة على البندورة. حيث AG3-2F (Kuninaga *et al.*,)
 (1997) AG3TM-1R (Kuninaga *et al.*, 1997)

جدول 10 : معلومات عن بادئات SSR الخاصة بالفطر *R. solani*.

البادئ	الكمية μg	التركيز (الحجم 1 مل) بيكو مول/μl	الحجم لـ بيكومول/μl	100 الوزن الجزيئي g/mol	درجة حرارة الانفكاك س° Tm
AG3-1F	157	25.9	259	6060	42.6
ITS4-B	238	33.6	336	7074	55.2
AG3-2F	219	34.3	343	6399	49.1
AG3PT-1R	126	21.9	219	5723	44.5
AG3TB-1R	243	40.7	407	5983	46.8
AG3TM-1R	177	29.5	295	6018	40.8

5.2.2 استخدام تقانة مكاثرة القطع المتباينة الناتجة عن التجزئ الأنزيمي Amplified Fragment Length Polymorphism (AFLP)

— مرحلة هضم/تقطيع الـ DNA Digestion DNA:

تم هضم 300 نانوغرام من DNA في حجم تفاعل نهائي بلغ 20 ميكرو لتر باستخدام نوعين من أنزيمات التحديد Restriction Enzymes الأول هو *MseI* (*Tru91*) (موقع التمييز Recognition Site: 5'CTGCA G3') والثاني *PstI* (موقع التمييز Recognition Site: 5'T TAA3') وبوجود مادة Bovine Serum Albumin Acetylated (BSA) وهو بروتين يساعد على ثباتية الأنزيمات خلال عملية هضم الـ DNA، ويمنع التصاق الأنزيمات بأنابيب التفاعل "http://en.wikipedia.org/wiki/Bovine_serum_albumin" والمحلل المنظم (OPA10x) 10 X One Phor All Buffer

جدول 11: المواد المستخدمة في مرحلة الهضم وحجم المواد المستخدمة وتركيزها:

الحجم المُستخدم لكل مادة (μl)	المواد المستخدمة في عملية الهضم
15	DNA (20 ng/μl)
2	المحلول المنظم 10X OPA buffer
0.5	أنزيم التحديد <i>MseI</i> (10 U/μl)
0.5	أنزيم التحديد <i>PstI</i> (10 U/μl)
1	BSA (10μg/μl)
1	الماء المقطر والمعقم S.D.H2O
20	الحجم النهائي

حضنت الأنابيب عند 37°س في جهاز PCR لمدة 4 ساعات. تعمل خلالها أنزيمات التحديد على تقطيع سلسلتي DNA عند مواقع التحديد مشكلةً ما يُسمى بالنهايات اللزجة Sticky Ends. تعتبر عملية الهضم الكامل عاملاً مهماً للحصول على نتائج صحيحة ودقيقة (لتجنب مكاثرية قطع DNA غير مجزأة (Uncut Fragments)؛ ويسهم في ذلك استخدام DNA عالي النقاوة والنوعية واستخدام كمية وافرة من أنزيمات التحديد.

— مرحلة الإلتحام Ligation of adapters:

أخذت 10 ميكروليترات من DNA المهضوم، في حجم تفاعل نهائي بلغ 12.5 ميكرو لتر وأضيفت إليها أشرطة الإلتحام المكوّنة من *Tru 91 adapter + PstI adapter* المتوافقة مع أنزيمات التحديد المستخدمة؛ إضافة إلى المحلول المنظم (OPA10x) وأنزيم الربط T4 DNA Ligase و rATP كمصدر للطاقة لإكمال التفاعل، بالإضافة للماء المقطر المعقم. وحضنت في جهاز التدوير الحراري عند 37°س وتركت حتى اليوم التالي. أخذ ناتج التفاعل ومددت كل عينة بمعدل 3 أضعاف، وذلك بإضافة الماء المقطر المعقم. يقوم خلالها أنزيم الربط T4 DNA Ligase بربط أشرطة الإلتحام بقطع الـ DNA المجزأة. ونحصل في نهاية عملية الربط على قطع DNA ذات نهايات معروفة التسلسل النيوكليوتيدي من الطرفين.

جدول 12: المواد المستخدمة في مرحلة الربط وحجم المواد المستخدمة وتركيزها.

الحجم المُستخدم لكل مادة (μl)	المواد المستخدمة في مرحلة الربط
10	DNA المهضوم*
0.25	المحلول المنظم 10X OPA Buffer
0.25	أدينوزين ثلاثي الفوسفات ATP (10mM)
0.25	وصلات <i>PstI</i> (5 pmol/μl)
0.25	وصلات <i>MseI</i> (50 pmol/μl)
0.2	أنزيم الربط (3 U/μl)
1.3	الماء المقطر والمعقم S.D.H2O
12.5	الحجم النهائي

اختبر نجاح عملية الهضم من خلال تمرير منتجات الهضم على هلامية الأغاروز 1% للتأكد من عملية الهضم واللصق لكل العينات. حيث أخذ 5µl من عينات كل مرحلة وأضيف إليها 2µl من منظم التحميل loading buffer في جهاز الرحلان الكهربائي الأفقي. وبعد انتهاء عملية التحميل والترحيل ، تم معاملة الهلامية بعدها بـ Eithidium bromide وتركت على الهزاز وبحركة بطيئة لمدة 15-20 د، ثم غُسلت بالماء المقطر، وعرضت للـ UV.

مرحلة التضخيم الأولي Pre-amplification Reaction:

مدد ناتج التفاعل ligated DNA, حيث مددت كل عينة بمعدل 3 أضعاف، وذلك بإضافة الماء المقطر المعقم. أخذت 4 ميكرو لترات من الناتج الممدد في المرحلة السابقة والتي ستستخدم كقالب في حجم تفاعل نهائي بلغ 20 ميكرو لتر، يحتوي على 10X PCR Buffer وبوجود أنزيم التكتيف Taq DNA Polymerase والقواعد الآزوتية الأربعة dNTPs (dATP, dCTP, dGTP, dTTP) والبادئتين M00 و P00 و E00.

جدول 13: المواد المستخدمة في مرحلة التضخيم الأولي وحجم المواد المستخدمة وتركيزها.

الحجم المستخدم لكل مادة (µl)	المواد المستخدمة في مرحلة التضخيم الأولي
4	Ligated DNA الممدد
2	المحلول المنظم 10X PCR Buffer
2	النوكليوتيدات الأربعة dNTPs (0.2mM/µl لكل واحد)
1	البادئة الأولى PstI/EcoRI primer (50 ng/µl)
1	البادئة الثانية MseI primer (50 ng/µl)
0.2	أنزيم التكتيف Taq DNA polymerase (5 U/µl)
9.8	الماء المقطر والمعقم S.D.H2O
20	الحجم النهائي

ثم أجري تفاعل PCR (30 دورة) بعد تغطيتها بشكل جيد في جهاز التدوير الحراري وفق البرنامج التالي:

- 94° س ← 30 ثانية لفصل سلسلتي DNA (Denaturation).
- 56° س ← 30 ثانية لارتباط البادئات (Annealing).
- 72° س ← 1 دقيقة وهي الحرارة المثالية لنشاط أنزيم التكتيف كي يقوم بتركيب السلسلة الجديدة (Extension).

اختبر ناتج التفاعل لهذه المرحلة على هلامية أغاروز 1% للتأكد من حدوث التضخيم كما ذكر في المراحل السابقة.

مرحلة التضخيم الإنتقائي Selective AFLP amplification

يتم في هذه المرحلة اختيار عدد من قطع DNA التي تُمثل مواقع وراثية مُوزعة بشكل عشوائي على كامل المجين تُشكل نموذج البصمة الوراثية للعينة المدروسة. مدد ناتج تفاعل PCR المرحلة السابقة 3 أضعاف أيضاً بإضافة الماء المعقم المقطر، وأخذ 2µl من كل عينة بعد تمديدها، وأجري التفاعل في حجم نهائي 10 ميكرولترات، يحتوي على 10X PCR Buffer وبوجود أنزيم التكتيف Taq DNA Polymerase والقواعد الأزوتية dNTPs (dATP, dCTP, dGTP, dTTP) تم اختبار 15 توليفة (Combinations) مؤلفة كل واحدة من بادئة خاصة بالأنزيم *MseI* وأخرى خاصة بالأنزيم *PstI* أو *EcoRI* مع أربعة عينات فقط في البداية بهدف اختبار التوليفات التي قد تعطي أكبر نسبة من التباينات مع العزلات المدروسة حيث كان تركيز كل بادئ 50 نانوغرام/ميكرولتر في التفاعل الواحد.

جدول 14: المواد المستخدمة في مرحلة التضخيم الانتقائي وحجم المواد المستخدمة وتركيزها.

الحجم المُستخدم لكل مادة (µl)	المواد المستخدمة في مرحلة التضخيم الاختياري
2	منتجات PCR الممددة
1	المحلول المنظم 10X PCR Buffer
1	النيوكليوتيدات الأربعة dNTPs (0.2mM/µl لكل واحد)
1	بادئات P/E (50 ng/µl)
1	بادئات M (50 ng/µl)
0.1	أنزيم التكتيف Taq DNA polymerase (5 U/µl)
4.9	الماء المقطر والمعقم S.D.H2O
10	الحجم النهائي

جدول 15: التتابع النكليوتيدي للبادئات المستخدمة في مرحلة التضخيم الإنتقائي.

التتابع النكليوتيدي	البادئ
5'GAT GAG TCC TGA GTA A :	M00
5'GAT GAG TCC TGA GTA A ATA	M43
5'GAT GAG TCC TGA GTA A CAA	M47
5'GAT GAG TCC TGA GTA A CAT	M50
5'GAT GAG TCC TGA GTA A CTC	M60
5'GAT GAG TCC TGA GTA A AAAA	M95
5' GAC TGC GTA CAT GCA G	P00
5' GAC TGC GTA CAT GCA G AC	P12
5' GAC TGC GTA CAT GCA G ACT	P38
5' GAC TGC GTA CAT GCA G AACC	P100
5' GAC TGC GTA CAT GCA G AACG	P101
5' GAC TGC GTA CAT GCA G AATA	P107
5' GAC TGC GTA CAT GCA G ACAT	P114
5' GAC TGC GTA CCA ATT C	E00
5' GAC TGC GTA CCA ATT C A	E01
5' GAC TGC GTA CCA ATT C AT	E14
5' GAC TGC GTA CCA ATT C AAC	E32
5' GAC TGC GTA CCA ATT C ACC	E36

أجري تفاعل PCR من خلال سلسلتين من الدورات الحرارية تكوّنت الأولى من 12 دورة، إذ رفعت درجة الحرارة في كل دورة إلى 94°س لمدة 30 ثانية ثم خفضت إلى 65°س لمدة 30 ثانية (تتخفّض الحرارة 0.7°س في كل دورة)؛ ثم 72°س لمدة 60 ثانية. أما الثانية فتضمنت 27 دورة حيث وصلت درجة الحرارة في كل دورة إلى 94°س لمدة 30 ثانية ثم 56°س لمدة 30 ثانية وأخيراً 72°س لمدة 60 ثانية. تم بعدها فحص نتائج المضاعفة الناتجة عن الـ PCR من خلال ترحيل منتجات التفاعل ضمن هلامة البولي أكريلاميد وباستخدام جهاز رحلان كهربائي عمودي.

6.2.2. تحضير هلامة البولي أكريلاميد Polyacrylamid Gel:

حضرت هلامة بولي أكريلاميد 6% حسب (Promega Co, 1994) باستخدام لوح زجاج أحدهما بطول 43 سم والثاني 41 سم وبعرض مشترك 33 سم ووفقاً للخطوات التالية:

- تم مسح الزجاجتين الصغيرة والكبيرة بالماء المقطر ثم بالكحول الإيثيلي 95% بواسطة محارم ورقية.

- وضع 3 مل من مادة Bind silne (Methacryoxypropyltrimethoxy Silane) على الزجاجاة الصغيرة، ووزع على كامل الزجاجاة، وترك لمدة 15 دقيقة. يقوم هذا المحلول بخفض التوتر السطحي والتصاق الهلام باللوح الزجاجي الصغير. ثم مسحت ثلاث مرات بالكحول الإيثيلي 95% لإزالة الكمية الزائدة من المادة المذكورة.

- وضع 400 ميكرو لتر من مادة Repel silne (Dimethyldichlorosilane solution) ووزعت بلطف على كامل الزجاجاة الكبيرة وتركت لمدة 15 دقيقة. تمنع هذه المادة التصاق الهلام بالزجاجاة الكبيرة. مسحت بعدها مرة واحدة بالماء المقطر.

- وضع شريطين نظيفين spacer من النوع نفسه وبسماكة 0.4 مم على طرفي اللوح الكبير، طبق اللوح الصغير على اللوح الكبير، بحيث يكون وجه الهلامة للداخل، وثبت اللوحان بواسطة 4 مشابك معدنية clips.

- حضر 1 لتر من محلول مكون من 57 غ أكريلاميد + 3 غ Bis acrylamide + 420 غ يوريا + 60 مل من مادة 10X TBE وخلطت تلك المواد جيداً. أخذ 75 مل من محلول بولي أكريلاميد 6 % ضمن كأس زجاجي وأضيف له 50 ميكرو لتر من محلول TEMED بيرو سلفات الأمونيوم (APS 10x ammonium persulfate) التي تساعد على البلمرة ومزجت المكونات جيداً. وضع اللوحان الزجاجيان بشكل مائل، وتم صب الهلام بينهما وأعيدا إلى الوضع الأفقي. وضع مشط بلاستيكي من الأعلى، وترك لمدة ساعة ونصف حتى تبلر الهلام بشكل جيد.

7.2.2 فصل جزيئات DNA المكاثرة على هلام الأكريلاميد بوساطة جهاز الرحلان الكهربائي وتم تبعاً ذلك لـ (Promega Co, 1994)

1. ثبتت هلامة بولي أكريلاميد على جهاز الرحلان الكهربائي الشاقولي، وأضيف لتر واحد من المحلول المنظم 0.5X TBE إلى الحوضين العلوي والسفلي لجهاز الرحلان.
2. تم توصيل مزود الطاقة الكهربائية بجهاز الرحلان الكهربائي لتسخين الهلامية قبل تحميل العينات ضمن المجال 50-60°س.
3. أخذ ناتج PCR للمرحلة الأخيرة بمعدل 10 ميكرولترات وأضيف له 10 ميكرولترات من منظم التحميل buffer loading الخاص ببولي أكريلاميد (STR 3X loading solution)
4. قبل عملية التحميل، فصلت السلاسل الثنائية لقطع الـ DNA المضخمة من خلال تعريضها لدرجة حرارة 95 س لمدة خمسة دقائق ونقلها مباشرة إلى الثلج حتى تحميل العينات.
5. حقن العينات ضمن الحفر التي أحدثتها أسنان المشط في الهلامية حيث تم تحميل 5 ميكروليترات من كل عينة.
6. وضع شاهد (Marker) وهو قطعة من DNA معروفة الوزن الجزيئي PGEM (100bp) - (1000).

8.2.2 تلوين DNA على هلامة البولي أكريلاميد بوساطة نترات الفضة DNA Silver Staining System:

- تمت عملية تظهير/تلوين (Staining) هلامة البولي أكريلاميد باستخدام نترات الفضة تبعاً لـ (Manual, Promega Co, 1994)، حيث استخدمت ثلاثة محاليل لهذه العملية: وهي كالتالي:
1. محلول التثبيت Fix/stop Solution (حمض الخل 10% Acetic Acid)
 2. محلول التلوين Staining Solution (2 غرام من نترات الفضة Silver Nitrate).
 3. محلول التظهير Developer Solution (60 غرام من كربونات الصوديوم +400 ميكرولتر ثيو سلفات الصوديوم 1% + 3 مل فورم ألدهيد 37%).
- غمرت الهلامية بعد انتهاء عملية الرحلان الكهربائي في حاوية بلاستيكية ضمن محلول التثبيت مع التحريك على هزاز آلي مدة 20 دقيقة.
 - غُسلت الهلامية بعدها ثلاث مرات (دقيقتان لكل مرة) باستخدام ليترين من الماء المقطر.
 - أُضيف إلى محلول الصبغ 3 مل من محلول الفورم ألدهيد 37% Formaldehyde ثم غُمرت الهلامية فيه لمدة 30 دقيقة مع التحريك.

- غسّلت الهلامة بعد التلوين بالماء المقطر المعقم البارد مدة 10 ثوان مع التحريك بهدف إزالة نترات الفضة الزائدة.
- أُضيف إلى محلول التطهير المُبرد 3 مل من الفورم ألدهيد 37% + 400 ميكرو لتر من محلول ثيوسلفات الصوديوم 1% Sodium Thiosulfate ثم فُرج في حاوية بلاستيكية، وغمرت الهلامة في نصف كمية محلول التطهير مع التحريك.
- وفور ظهور عصابات DNA، تم التخلص من المحلول وأضيفت الكمية الباقية منها، ثم استخدم محلول حمض الخل مرة ثانية لإيقاف عملية التطهير.
- أزيلت الهلامة من محلول التطهير وغسّلت بالماء المقطر مدة دقيقتين.
- تركت الهلامة حتى اليوم التالي لتجف ثم تسجيل القراءات يدوياً.
- أخذت صور الهلامات بواسطة الماسح الضوئي scanner وخزنت بالحاسوب.

9.2.2 جمع البيانات والتحليل الاحصائي:

تم تسجيل البيانات من خلال تسجيل العصابات الظاهرة على هلامات البولي أكريلاميد بطريقة بيانات العد الثنائي Binary Data (1 لوجود العصابة - 0 غياب العصابة). استخدم برنامج NTSYS-PC Version 2.1 (Rohlf, 2000) لحساب قيمة معامل التشابه الوراثي Genetic similarity Index (GS) بين كل زوج من العينات وذلك حسب معامل Jaccard Coefficient (Jaccard, 1908) وفقاً للمعادلة التالية:

$$\{GS = a / (a + b + c)\}$$

حيث a تمثل التلاقي الموجب (1:1) - b التلاقي (1:0) - c التلاقي (0:1). أخذت المواقع الوراثية Loci الواضحة تماماً والممتدة طويلاً بين 150 إلى 500 نيوكليوتيد مع تجاهل الاختلافات في كثافة الحزم وذلك ضمن مسارات العينات في هلامة البولي أكريلاميد ومن ثم جرى حساب عدد مؤشرات التعددية الشكلية Polymorphic Markers لكل توليفة على حده ورسمت الشجرة الوراثية حسب معامل Hamming Coefficient (Hamming, 1950)

3. النتائج

1.3 تحديد فئات المجموعات التشابكية لعزلات الفطر Identification of AGs of *Rhizoctonia*

spp المجموعة أثناء المسح الحقل في سورية

1.1.3 تقنية تشابك الهيف

تشير النتائج المعروضة في الجدول (16) إلى أن معظم العزلات انتمت للمجموعة التشابكية AG3 المسبب الرئيس لمرض القشرة السوداء وتقرح الساق على البطاطا في مناطق أخرى من العالم. وعزلت من أجزاء النبات المختلفة. وانتمت عزلة واحدة فقط وهي عزلة صوران (67) للمجموعة AG1، والتي تم عزلها من جذور البطاطا، ولم نتمكن من تحديد انتماء عزلتي سراقب مارفونا (46) وسراقب بينيلا (52)، اللتين أحدثتا تشابكاً جزئياً مع المجموعتين AG3 و AG8 والعزلة تل مالد (36) التي أحدثت تشابكاً جزئياً مع كل من المجموعتين AG2 و AG3 وكانت شبيهة بعزلتي سراقب مورفولوجياً. وشكلت عزلتا سراقب وعزلة تل مالد أجساماً حجرية بنية برتقالية، وكانت قد عزلت من منطقة التاج، ولم تحدث مرض القشرة السوداء على الدرنات. كما لم تحدث عزلات كفرنبوده (62) وآشير (59) ومعدفتين (58) وكفركلبين (25) أيضاً تشابكاً مع المجموعات التفريقية المتوافرة، ولكن بعد ثلاثة أيام من وضع القرص على وسط PDA، بدأ ظهور اللون الأسود ابتداءً من مركز الطبق، ثم تحول كامل الطبق للون الأسود. إلا أنها لم تشكل أجساماً حجرية ظاهرة كغيرها من العزلات الأخرى على وسط PDA، علماً أن هذه العزلات الأربع عزلت من الأجسام الحجرية الموجودة على درنات البطاطا المصابة. وكان لون ميسيليوم العزلات السابقة أبيض فضي وبعد ثلاثة أيام ظهر اللون الأسود من المركز وشمل كامل الطبق. وعليه، يمكن القول اعتماداً على طريقة تقابل الهيفات، انتماء 47 عزلة (85.45 %) للمجموعة التشابكية AG3، وأحدثت هذه العزلات نمطي التشابك C2 و C3، في حين انتمت عزلة واحدة فقط وهي عزلة صوران (1.82 %) للمجموعة AG-1 وأحدثت نمط التشابك C3، ولم نتمكن من تحديد المجموعات التشابكية لسبع عزلات (12.73%).

جدول 16: تعريف العزلات السورية الممرضة والمجموعات التشابكية التي انتمت إليها اعتماداً على تقنية تشابك الهيفا:

اسم المجموعة التشابكية	رقم العزلة	اسم العزلة
AG1	67	صوران
AG3	13	محجة
AG3	14	داعر
AG3	15	تل حسين
AG3	16	شقرا 1
AG3	17	شقرا 2
AG3	18	مارع
AG3	19	عين جارة
AG3	20	كوسنيا(سلمى)
AG3	21	سموقة
AG3	22	تركمان بارح
AG3	23	لحوص
AG3	24	تل حدية
?	25	كفركلبين
AG3	26	حيلان

الساعد	27	AG3
كفرناصح	28	AG3
بحورته	29	AG3
كفر انطون	30	AG3
ديوان تحتاني	31	AG3
طعانة	32	AG3
بحورته	33	AG3
وحشية	34	AG3
كوسنيا	35	AG3
تل مالد	36	?
منصورة	37	AG3
طرندة	38	AG3
تل رفعت	39	AG3
تل رفعت	40	AG3
جينه	41	AG3
بنش	42	AG3
أتارب	43	AG3
كتيان	44	AG3
لوف	45	AG3
سراقب م	46	?
ترمانيين	47	AG3
كفر حلب	48	AG3
زردنا	49	AG3
تل تونة	50	AG3
كفرتعنور	51	AG3
سراقب ب	52	?
تفتتاز	53	AG3
معارة	54	AG3
كفريا	55	AG3
ديموب	56	AG3
صفصافية	57	AG3
معد فنين	58	?
أشير	59	?
شيزر	60	AG3
تل شور	61	AG3
كفرنبيودة	62	?
محرده	63	AG3
تل سكندا	64	AG3
ديمو	65	AG3
السمرة	66	AG3



الشكل 13: التشابك بين هيفا المجموعة التفريقية والعزلة المجموعة باستخدام صبغات مختلفة.

2.1.3 اختبار القدرة الإراضية للمجموعات التشابكية AGs مخبرياً

تباينت المجموعات التشابكية فيما بينها من حيث سرعة النمو، ولون الأجسام الحجرية، وقدرتها الإراضية على البطاطا، وكذلك الأعراض التي أحدثتها على النبات ومناطق الإصابة، كما تباينت بكثافة الأجسام الحجرية وسرعة نمو الميسيليوم الذي تنتجه. الجدول (17).

جدول 17: تفاعل المجموعات التشابكية للفطر *R. solani* مع الصنف القابل للإصابة (بينيل) ولون الأجسام الحجرية لهذه المجموعات وكثافتها.

لون الأجسام الحجرية/بعد 37 يوماً على وسط PDA	التفاعل مع الصنف القابل للإصابة (بينيل)	المجموعة التشابكية
سوداء ويوجد بكثافة	ذبول النبات، تقرح التاج، تحلل للجذور، نكرزات على الساق، مهاجمة المدادات	AG1
بنية برتقالية ويوجد بكثافة	تقرح التاج، مهاجمة المدادات وتحللها، تحلل الجذور	AG2-1
بني ويوجد بكثافة	تحلل الجذور، تقرح التاج، نكرزات على الساق، مهاجمة المدادات	AG2-2
بني فاتح ويوجد بكثافة	تقرح كامل التاج، مهاجمة المدادات، تحلل الجذور	AG3 potato
بني فاتح ويوجد بكثافة	نكرزات على الساق، تقرح التاج، تقرح الجذور.	AG3
بني ويوجد بكثافة	نكرزة التاج، مهاجمة المدادات، تحلل الجذور.	AG4HGII
بني - عددها قليل جداً	تقرح كامل التاج، مهاجمة المدادات وتقرحها، تقرح الجذور	AG5
بني - متوسط الكثافة	تقرح التاج، تقرح المدادات، تحلل الجذور	AG6
بني - قليل جداً	نكرزات خفيفة على الساق، تقرح التاج، مهاجمة الجذور.	AG8
بني - قليل جداً	تقرح التاج، مهاجمة المدادات، تحلل الجذور، نكرزة الدرنات.	AG9
بني - قليل جداً	تقرح التاج، مهاجمة الجذور.	AG12
بني رمادي قليل جداً	نكرزة الساق، نكرزة المنطقة التاجية، مهاجمة المدادات، مهاجمة الجذور.	AG4HGI

ووجد أن جميع المجموعات التشابكية المدروسة في هذا البحث كانت ممرضة، وأحدثت إصابة على بادرات البطاطا ضمن ظروف المختبر. حيث شكلت المجموعة التشابكية AG1 أجساماً حجرية سوداء تميزها عن المجموعات الأخرى للنوع *R. solani* أما المجموعة AG4HGI فشكلت أجساماً حجرية ذات لون بني رمادي، أما المجموعات الأخرى فتدرجت ألوان أجسامها الحجرية من بني فاتح إلى بني إلى بني برتقالي. أيضاً تباينت لون الأجسام الحجرية ضمن المجموعة الواحدة، فاختلف لون الأجسام الحجرية التي تشكلها المجموعة AG4HGI عن تلك التي شكلتها AG4HGII، وهذا موضح في الجدول (17).

وشكلت كل من المجموعات AG1، AG2-1، AG2-2، AG3P، AG3، AG4HGII الأجسام الحجرية بكثافة عالية، في حين شكلت المجموعة AG6 هذه الأجسام بكثافة متوسطة، وكانت هذه الأجسام قليلة جداً عند كل من المجموعات AG4HGI، AG5، AG8، AG9، AG12.

تباينت المجموعات فيما بينها في سرعة نمو الميسيليوم فكانت المجموعات التشابكية الأسرع هي: AG1، AG2-2، AG3-P حيث ملأ نموها الطبق خلال 3 أيام، في حين استغرقت المجموعات-AG2 1، AG4HGII، AG5، AG6، AG8، AG9 4 أيام، أما المجموعات AG3 وAG4HGI، وAG12 فاستغرقت 5 أيام. الجدول (18).

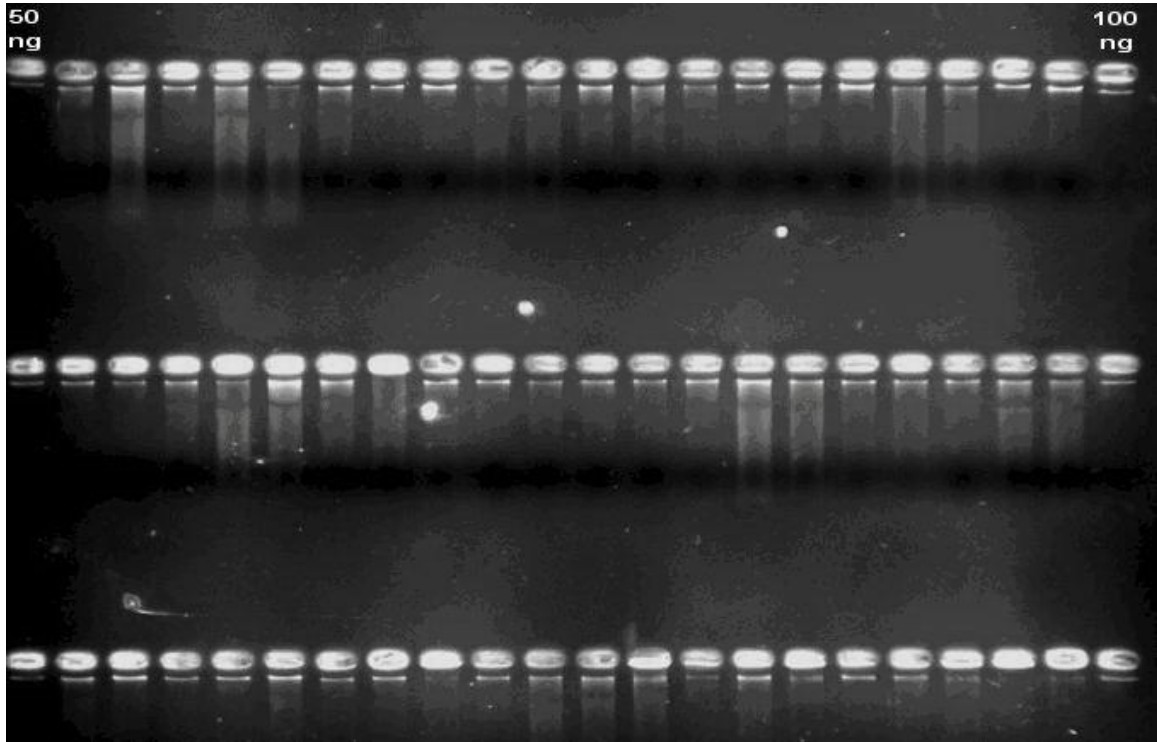
جدول 18: متوسط سرعة النمو (مم/اليوم) للمجموعات التشابكية للفطر *R. solani* على وسط

:PDA

المجموعة التشابكية AGs	متوسط سرعة النمو مم/ اليوم
AG1	26.6
AG2-1	20
AG2-2	26.6
AG3P	26.6
AG3	16
AG3R	20
AG4GHII	20
AG5	20
AG6	20
AG8	20
AG9	20
AG12	16
AG4GHI	16

2.3 نتائج الطرائق الجزيئية

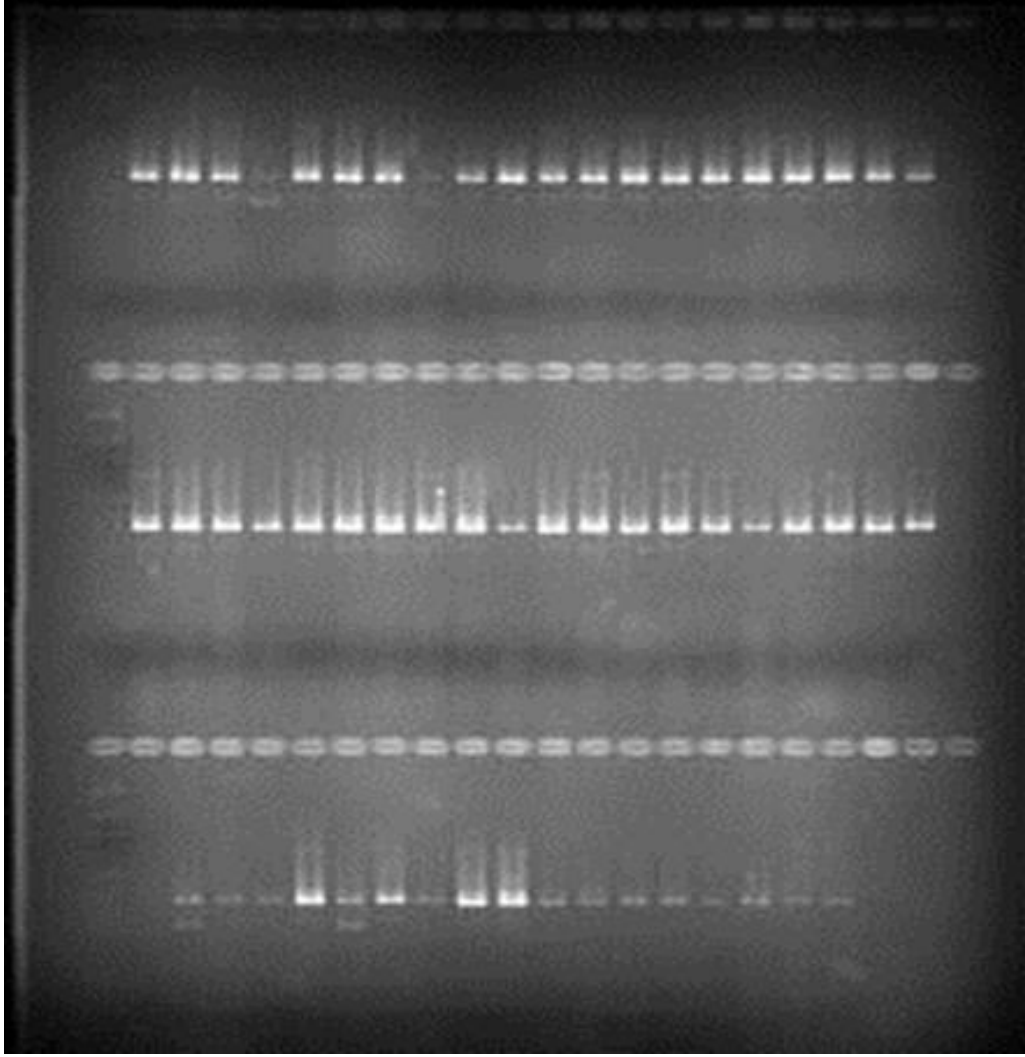
استخدمت الطرائق الجزيئية لتعزيز النتائج المتحصل عليها من طريقة تشابك الهيفات، فبعد استخلاص الـ DNA، قدر تركيز الـ DNA لعزلات المسح الحقلي والمجموعات التفريقية بعد عملية الرحلان الكهربائي، حيث قُدرت كمية الـ DNA لكل عزلة في 1 ميكرو لتر. وتفاوت تركيز الـ DNA للعزلات، بحيث وحدت تراكيز جميع العزلات لتصبح 20 نانوغرام/ ميكرو لتر. أيضاً تميزت عملية الإستخلاص بنوعية جيدة دلالة على عدم وجود تقطيع ضمن مسار كل عينة.



الشكل 14: تركيز الـ DNA للعزلات والمجموعات التشابكية على هلام الأغاروز 1%.

1.2.3 تضخيم الـ DNA بواسطة التفاعل السلسلي البوليميرازي (PCR) وباستخدام بادئات SSR متخصصة

لم نتمكن من خلال هذا البحث التمييز بين العزلات السورية بالإضافة للعزلات التفريقية باستخدام تقنية SSR، حيث أن هذه البادئات لم تمكننا من التمييز بين العزلات التفريقية والعزلات التي تم جمعها خلال عملية المسح الحقلي، نظراً لعدم وجود تباين بين العزلات التفريقية وعزلات المسح الحقلي حيث أعطت جميعها حزماً أحادية الشكل Monomorphic.



الشكل 15: صورة الهلام باستخدام زوج البادئات لـ AG3P وفقاً لتقنية SSR.

2.2.3 استخدام تقانة مكاثرة القطع المتباينة الناتجة عن التجزئ الأتريمي Amplified Fragment Length Polymorphism (AFLP)

استخدم في البداية 15 توليفة، وتم اختيار التوليفتين P12/M43 و P100/M43، كونهما أبديتا تبايناً بين العزلات المختبرة أكثر من التوليفات الأخرى السابقة الذكر، أيضاً أظهرت عصابات للـ DNA أكثر من التوليفات الأخرى.

أظهرت قراءة الهلامة وجود 676 عصابة DNA: 359 و 317 عصابة ناتجة عن التوليفتين P12/M43 و P100/M43 على التوالي.

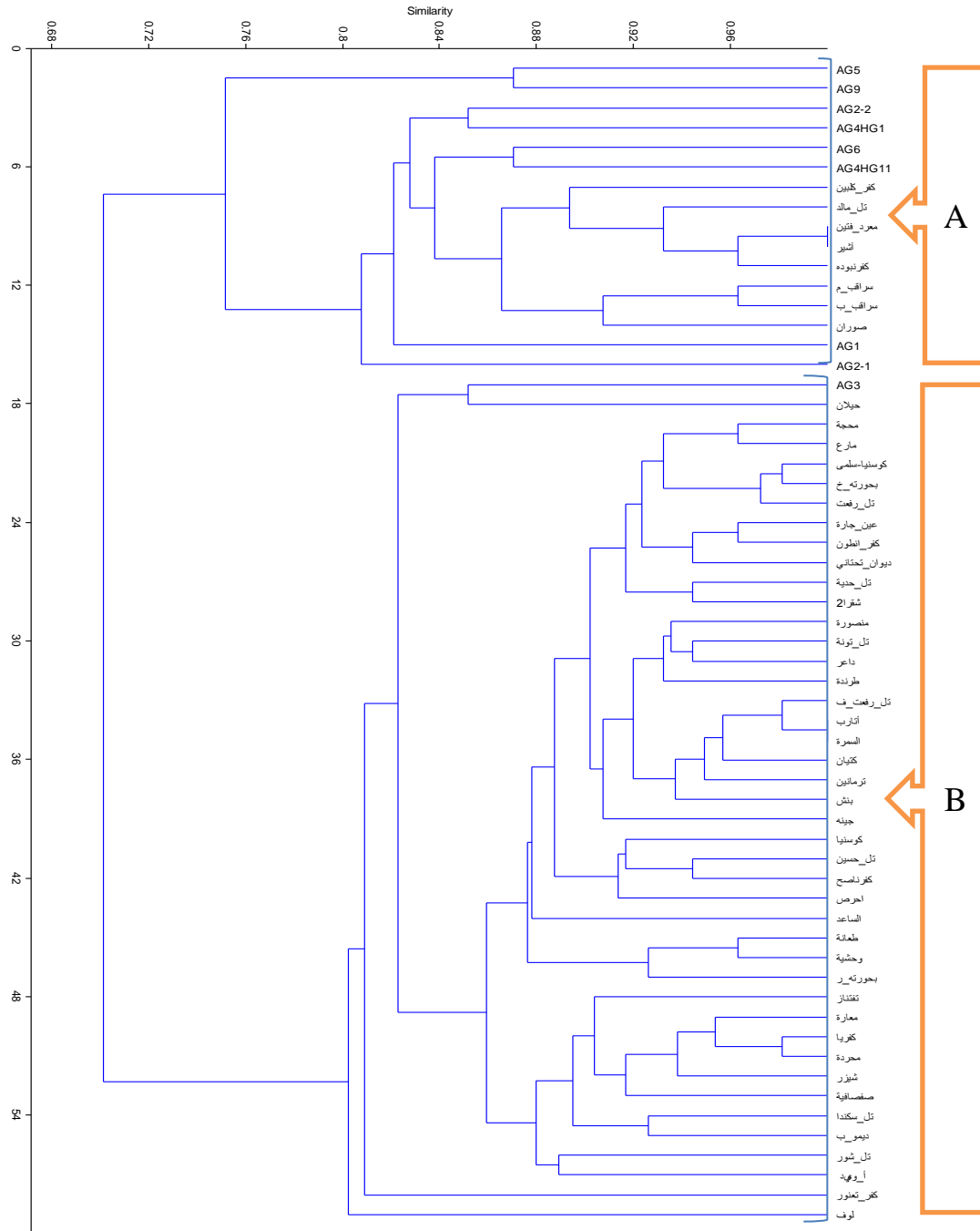
سجل عدد المؤشرات التعددية الشكلية 37 Polymorphic Markers مؤشراً بنسبة 68.52% و 17 مؤشراً بنسبة 31.48% إلى المؤشرات الكلية للتوليفتين P12/M43 و P100/M43 على التوالي.

أمكن باستخدام التحليل الإحصائي المعتمد على حزم DNA المتضخمة باستخدام مصفوفة التشابه الوراثي لمعامل Hamming رسم الشجرة الوراثية Dendrogram والتي تمثلت بمجموعتين رئيسيتين، ضمنا 50 عزلة من *R. solani* (عزلات المسح الحقلية) بالإضافة للعزلات التفريقية، أيضاً أمكن معرفة هوية العزلات وانتماءها لمجموعة تشابكية معينة، ومدى التشابه بين العزلات التابعة للمجموعة الواحدة. مثلت المجموعة الأولى والثانية 16% و 84% على التوالي من مجموع العزلات الكلية.

انقسمت المجموعة الأولى إلى تحت مجموعتين وكانت نسبة التشابه بين هاتين المجموعتين حوالي 75%، حيث مثلت تحت المجموعة الأولى المجموعتين التشابكيتين AG5، AG9 وكانتا متشابهتين بنسبة أعلى من 86% حسب التوليفتين المستخدمتين، أما تحت المجموعة الثانية التابعة للمجموعة الأولى فمثلت بـ AG1، AG2-1، AG2-2، AG4HGI، AG4HGII، AG6 بالإضافة لـ 8 عزلات وبنسبة تشابه أكثر من 80%، وهذه العزلات هي عزلات: كفركلبين، معردفتين، آشير، كفرنبودة، سراقب ب، سراقب م، صوران، تل مالد. علماً أنه تبعاً لطريقة تشابك الهيفاء، وجد أن العزلة صوران انتمت للمجموعة التشابكية AG1، ووجد أن العزلتين آشير ومعردفتين كانتا متشابهتين بنسبة 100% بالنسبة للتوليفتين المستخدمتين، وتضمنت المجموعة الأولى 4 عزلات من حماء بنسبة 33% من عزلات حماء، وعزلتين من حلب 9% من عزلات حلب، وعزلتين من إدلب بنسبة 15% من عزلات إدلب.

أما المجموعة الثانية فانقسمت إلى تحت مجموعات: 8 عزلات من حماء بنسبة 67% من عزلات حماء، و 20 عزلة من حلب بنسبة 91% من عزلات حلب، و 11 عزلة من إدلب بنسبة 85%، في حين انتمت جميع عزلات دمشق وهي ثلاث للمجموعة الثانية وبنسبة 100%، وانتمت جميع عزلات المجموعة الثانية لمجموعة تشابكية واحدة فقط وهي المجموعة AG3، المجموعة التشابكية الأكثر شيوعاً على البطاطا، مع وجود تباين بين العزلات التابعة للمجموعة الواحدة، وتراوحت نسبة التشابه بين المجموعة AG3 والعزلات التابعة لها بأكثر من 80%، مع وجود عزلتين متشابهتين بنسبة تشابه 100% وهما عزلتي أثارب والسمرة تبعاً للتوليفتين المستخدمتين.

استخدم أكثر من معامل، واعتماداً على مصفوفة الاختلاف الوراثي، حُسب معامل Jaccard لدراسة التباين الوراثي بين العزلات السورية والعزلات التفريقية، وأعطت نتائج مقارنة لنتائج معامل Hamming.



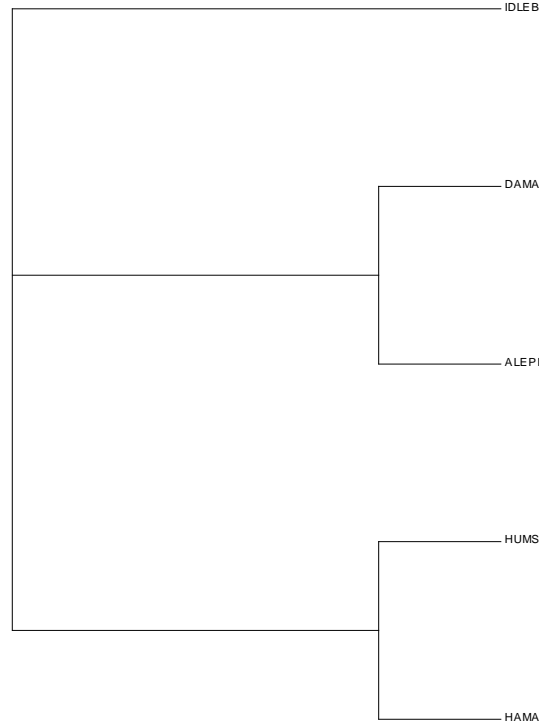
الشكل 16: الشجرة الوراثية ومدى التقارب بين العزلات والمجموعات التشابكية.

اعتماداً على بيانات الـ DNA ، أخذ متوسط معامل التشابه الوراثي بين عزلات كل محافظة على حده، وبين عزلات كل محافظة والمحافظات الأخرى، وبين كل العزلات بغض النظر عن المحافظة التي انتمت إليها، كما أخذ متوسط معامل التشابه الوراثي بين المجموعة التشابكية AG3 وعزلات كل محافظة، وبين المجموعة التشابكية AG3 والعزلات السورية بغض النظر عن المحافظة وذلك حسب التوليفتين المستخدمتين، مع استبعاد العزلات التي أعطت قيمةً متطرفة، وتم ضم عزلة حمص الوحيدة

لعزلات حماه. بلغت أعلى قيمة لمتوسط معامل التشابه الوراثي عند عزلات محافظة حلب وهي 62.56%، أما أدناها فكانت عند عزلات حماه 36.27%، علماً أن قيمة متوسط معامل التشابه الوراثي بين عزلات دمشق كانت أعلى ولكن لم يؤخذ بعين الاعتبار نظراً لقلّة العينات. في حين بلغت أعلى قيمة لمتوسط معامل التشابه الوراثي بين المحافظات 65.57% وكانت بين عزلات محافظتي حلب ودمشق، في حين كانت أدناها بين عزلات إدلب وحماه 38.25%. كما حسبت قيمة متوسط معامل التشابه الوراثي بين العزلات السورية بغض النظر عن المحافظة وبلغت 48.6%. وبناءً على متوسط معامل التشابه الوراثي، نجد أن المجموعة التشابكية AG3 كانت أقرب لعزلات حلب أكثر من عزلات المحافظات الأخرى بنسبة بلغت 42.98%، في حين كانت أبعد عن عزلات حماه بنسبة تشابه 24.19%. وهذا موضح في الجدول (19).

جدول 19: يوضح متوسط معامل التشابه الوراثي بين عزلات كل محافظة على حده، وبين عزلات كل محافظة والمحافظات الأخرى، وبين كل العزلات بغض النظر عن المحافظة، ومتوسط معامل التشابه الوراثي بين المجموعة التشابكية AG3 وعزلات كل محافظة، وبين المجموعة التشابكية AG3 والعزلات السورية بغض النظر عن المحافظة

	AG3	Damas	Aleppo	Idlib	Hama	Syria
Damas	%40.46	% 69.3				
Aleppo	%42.98	%65.57	%62.56			
Idlib	%29.21	%51.79	% 49.66	%46.96		
Hama	%24.19	%41.09	% 40.11	% 38.25	%36.27	
Syria	%34.39					%48.6



الشكل 17: مدى التشابه بين عزلات المحافظة التي جرت عليها عملية المسح الحقلي.

4. المناقشة

1.4 تحديد فئات المجموعات التشابكية Identification of AGs

1.1.4 تشابك الهيفا

أظهرت النتائج واعتماداً على تقنية تشابك الهيفا أن معظم العزلات التي تم عزلها من الحقول السورية قد انتمت للمجموعة AG3. وتأتي هذه النتيجة موافقة لنتائج سابقة أشارت إلى أن المجموعة AG3 هي المجموعة السائدة في حقول البطاطا عالمياً (Cubeta *et al.*, 2000; Ritchie *et al.*, 2006)، وانتمت عزلة واحدة فقط هي عزلة صوران (67) للمجموعة AG1، وهذا يتفق مع Bandy وآخرون (1988) الذين عزلوا المجموعة AG1 من جذور البطاطا أيضاً. ووجد، في فنلندا، أن جميع العزلات المعزولة من البطاطا تنتمي للمجموعة AG3، وتبعاً لتشابك الهيفا وجد أن جميعها تنتمي للتصنيف C3 (Lehtonen, 2009). أيضاً استخدمت هذه التقنية لتحديد عزلات *R. solani* المعزولة من حقول البطاطا في وسط المكسيك (Virgen- Calleros *et al.*, 2000). كما تتوافق نتائجنا مع النتائج المتحصل عليها في بريطانيا حيث وجد أن العزلات تنتمي لـ AG3 واعتماداً على تشابك وانصهار الهيفا اعتمد على النمطين C2 و C3 حيث انتمت معظم العزلات (92.6%) إلى المجموعة AG3 PT، بينما انتمى بعضها (6.7%) إلى المجموعة AG2-1، في حين انتمت عزلة وحيدة فقط (0.7%) إلى المجموعة AG5 (Woodhall *et al.*, 2007). وحصل (Campion *et al.*, 2003) على نتائج مماثلة في فرنسا اعتماداً على تشابك الهيفا، كما حصل Chand & Logan (1983) على نتائج

مقاربة في شمال أيرلندا. وفي الطقس الدافئ لفرنزويلا، وجد Cedeno وآخرون (2001) أن النسب كانت متماثلة للـ AG3 و AG2-1. أما في باكستان، فكانت معظم عزلات الفطر *R. solani* المجموعة من مناطق زراعة البطاطا تنتمي للمجموعة التشابكية AG3 (81.89%) و 8.66% للمجموعة AG5 و 5.5% للمجموعة AG4 و 1.57% للمجموعة AG2-1 و 0.79% لكل من المجموعات AG1-1A و AG2-2 و AG9 (Rauf *et al.*, 2007). وفي ولاية ميشيغان الأمريكية، وجدت ثلاث مجموعات تشابكية هي: AG2-2 و AG3 و AG4، واعتبرت المجموعة التشابكية AG3 هي الممرضة للبطاطا، بينما سببت المجموعة AG2-2 تعفن التاج والجذور للشوندر السكري، وأحدثت المجموعة AG4 ذبول بادرات الشوندر السكري (Wharton *et al.*, 2007). وتكون AG3 أكثر شراسة في الظروف الباردة، كبعض أجزاء من أمريكا الشمالية مثل كندا، وشمالى ووسط أوروبا (Otrysko *et al.*, 1985; Bandy *et al.*, 1988; Carling & Leiner, 1990b; Bains & Bisth, 1995; Justesen *et al.*, 2003; Campion *et al.*, 2003). وفي المناطق الدافئة والمنخفضة من البيرو كانت AG4 المجموعة التشابكية السائدة والملازمة لأضرار الساق (Anguiz & Martin., 1989) وماسبق يتعارض مع نتائج Carling & Leiner (1986) اللذين وجدا بأن AG4 لا توجد على البطاطا في ألaska في الولايات المتحدة، مقترحين بأن المناخ قد يكون هاماً في سيادة مجموعات تشابكية معينة. لكن من المحتمل أيضاً أن تكون العمليات الزراعية عاملاً مهماً في سيادة مجموعات تشابكية خاصة (Woodhall *et al.*, 2007). في حين أن AG4 تكون سائدة في المناطق الدافئة ذات الارتفاعات المنخفضة في بيرو (Carling *et al.*, 1998). وعلى الرغم من تسجيل AG3 كمسبب رئيس لتقرح الساق والقشرة السوداء على البطاطا في وسط وشرق مناطق الأناضول في تركيا عام 1990، فقد تم عزل مجموعات تشابكية أخرى (AG2-1، AG2-2، AG-4، AG5) من سوق ودرنات البطاطا المصابة بتقرح الساق (Demirci & Doken, 1993; Yanar *et al.*, 2005). وتشير دراسات سابقة إلى أن المسببات الرئيسة لتقرح الساق في البطاطا تنتمي للمجموعة التشابكية AG3 (Bandy *et al.*, 1986, 1990b; Carling & Leiner, 1986, 1988) وسجلت أيضاً مجموعات تشابكية أخرى مثل (AG-1، AG2-1، AG-4، AG-5، AG-9) مسببةً تقرح الساق وكذلك القشرة السوداء على البطاطا بأن واحد (Carling & Leiner, 1986; Chang & Tu, 1980; Carling *et al.*, 1987; Anguiz & Martin, 1989; Bandy *et al.*, 1988).

وقد يعزى سبب تشابك بعض عزلات المسح الحقلى مع أكثر من مجموعة إلى وجود مجموعة AG-BI (مجموعة التجسير) والتي سجلت في اليابان (Carling & Sumner, 1992) والتي تمتلك المقدرة على التشابك مع المجموعات AG2، AG3، AG6، AG8، ومؤخراً افترض Carling ورفاقه أن تكون هذه المجموعة تحت المجموعة AG2، وتسمى بـ AG2-BI (Carling *et al.*, 2002b). أما

العزلات التي ظهرت بلون أسود بعد ثلاثة أيام من زراعتها على وسط PDA، فهي تشبه مجموعة تابعة لـ AG1 هي المجموعة AG-1-1B التي تشكل أجساماً حجرية صغيرة *microsclerotia* ومن المرجح انتماء تلك العزلات لهذه المجموعة، ويكون سبب تحول لون الميسيليوم للأسود في هذه الحالة عائد إلى تشكل الأجسام الحجرية الصغيرة (Carling & Sumner, 1992)، ولكن الإحتمال الأكبر أن تنتمي للمجموعة AG-13 والتي يتميز الميسيليوم التابع لها بظهور حلقات مركزية مرئية من النمو بعد مرور 3-4 أيام، ولكنها تختفي مع الزمن، ويصبح الوسط أسود اللون (Carling *et al.*, 2002a).

إن تحديد العلاقة بين العزلات اعتماداً على تشابك الهيفاء، طريقة غير دقيقة، كون الفطر يأخذ أنماطاً مختلفة من تشابك الهيفاء، حتى ضمن المجموعة الواحدة (Gonzalez *et al.*, 2001). وعلى الرغم من أن الدراسات الجزيئية قد أسهمت في فهم البنية الوراثية والتنوع في مجتمع *Rhizoctonia*، إلا أننا بحاجة لمعرفة المزيد عن تنوع *Rhizoctonia* (Pascual *et al.*, 2000).

2.1.4 اختبار القدرة الإراضية للمجموعات التشابكية AGs مخبرياً:

تباينت المجموعات التشابكية AGs لـ *R. solani* في الأعراض التي أحدثتها على بادرات البطاطا تحت ظروف المختبر، وأظهرت معظم المجموعات التشابكية أعراضاً على بادرات البطاطا رغم وجود تباين في مكان الإصابة على النبات. وتأتي الأعراض التي سببتها المجموعة AG2-1 من مظاهر الساق السلوكية، وتعفن الجذور موافقة لنتائج (Carling & Sumner, 1992; Anderson, 1977)، وتأتي الأعراض التي سببتها المجموعة AG4 من تقرح للساق وتقرح وتحلل للجزر متوافقة مع نتائج (Vincell & Herr, 1992; Carling & Sumner, 1992; Anderson, 1982; Kulik & Dery, 1995)، أيضاً الأعراض التي سببتها المجموعة AG5 من تحلل للساق والجزر لنبات البطاطا موافقة لنتائج (Carling & Sumner, 1992). وعلى الرغم من ذكر Carling وآخرين أن المجموعة AG12 هي من الفطور الجذرية (Carling *et al.*, 1999)، إلا أنها أحدثت إصابة على التاج والجذور ضمن ظروف المختبر.

وذكر في الدراسة المرجعية (Sneh *et al.*, 1991) أن المجموعات AG6، AG7، AG10 هي مجموعات غير ممرضة، في حين ورد في دراسات أخرى أن المجموعة AG6 ممرضة وتحدث تعفنًا لجذور الفريز (Botha *et al.*, 2003)، وتعفن الجذر على القمح (Meyer *et al.*, 1998) إلا أنه تبين خلال هذا البحث وضمن ظروف المختبر، أن المجموعة AG6 أحدثت إصابة على بادرات البطاطا على الصنف بينيلا. أما المجموعتين AG7، AG10 فلم نتمكن من الحصول عليهما.

في دراسة لـ Ritchie ورفاقه (2009) وجد أن المجموعتين AG2-1 و AG3 المأخوذتين من البطاطا لهما مجال pH واسع يتراوح من 4-8، وذلك على الأوساط المنظمة buffered media، ووجد أن المجموعة AG2-1 تنتج أجساماً حجرية ضمن مجال ضيق من pH 5-6، في حين أن AG3 تنتجها ضمن مجال أوسع 4-8. وأثبتت هذه الدراسة أن pH المثلى هي 5.6. وبالتالي فإن الوسط MS هو وسط مثالي لنمو الفطر *R. solani*. وفي دراسة أخرى وجد أن المجال 3.5-7.5 هو المفضل لنمو ميسيليوم *R. solani* على الـ poinsettia (*Euphorbia pulcherrima*) (1962) (Bateman, Grosch ورفاقه (2003) أن pH المثلى لنمو ميسيليوم AG1-1B المعزولة من الخس تراوح من 5-6.

تباينت المجموعات التشابكية فيما بينها بلون الأجسام الحجرية وكثافتها وبسرعة نمو الميسيليوم الذي تنتجه، مؤيدة للنتائج المخبرية لـ Woodhall ورفاقه (2008) حيث أعطت عزلات المجموعة AG3 PT أجساماً حجرية على وسط بطاطا ديكستروز آجار (PDA) أكثر بشكل معنوي مما أعطته عزلات المجموعات AG2-1 و 4 و 5 و 8. ولم يحدد Woodhall ورفاقه المجموعة التشابكية AG4 بدقة، حيث شكلت المجموعة AG4HGII في تجربتنا أجساماً حجرية وبكثافة، في حين شكلت المجموعة AG4HGI أجساماً حجرية ولكن بنسبة قليلة جداً، ووجد أن المجموعة AG3 استغرقت فترة أطول نسبياً من بعض المجموعات، وهذا ما أكد عليه Carling و Sumnar أن نمو المجموعة AG3 يكون أبطأ من المجموعات الأخرى (Carling & Sumnar, 1992)

2.4 الطرائق الجزيئية

تعتبر تقانة الـ SSR من التقانات الجزيئية المهمة المستخدمة في دراسات التنوع الحيوي ورسم الخرائط الوراثية والدراسات التفريقية بين الأجناس والأنواع وتحت الأنواع على مستوى الـ DNA. وحتى تكون تلك الدراسات ناجعة ومفيدة في هذا المجال، يجب استخدام عدد لا بأس به من هذه المؤشرات (SSR) لتغطية أكبر قدر ممكن من المجموع الوراثي للعينات المدروسة. إن مؤشرات SSR تعتبر نوعية ومحددة. هذا وإن مؤشرات SSR الخاصة بفطر *R. solani* هي قليلة العدد نسبياً، ومع ذلك فقد تم استخدامها في هذا البحث بداية على أمل الحصول على معلومات وراثية مهمة ومفيدة. لكننا لم نتمكن من التمييز بين العزلات السورية والعزلات التفريقية باستخدام تقانة SSR، علماً أن هذه التقانة استخدمت من قبل Bjorstad & Roed (2001) اللذين لاحظا وجود تنوع ضمن عزلات *R. solani*. وقد يعزى السبب في إخفاقنا بهذا التمييز في الدراسة الحالية إلى العدد المحدود من مؤشرات الـ SSR التي تمكنا من تطبيقها هنا. كما

استخدمت التقنية أيضاً من قبل Mwangi Ombe ورفاقه (2007)، في كينيا، لتمييز عزلات الفطر *R.solani*، ولوحظ وجود تنوع وراثي ضمن مجتمع الفطر المذكور، .على أنهم أخفقوا في إيجاد علاقة بين مواقع SSR والمنشأ الجغرافي لعزلات الفطر .

ونظراً لعدم كفاية المعلومات الوراثية التي تم الحصول عليها باستخدام تقانة الـSSR في التمييز بين العزلات، تم استخدام تقانة أخرى وهي تقانة مكاثرة القطع المتباينة الناتجة عن التجزئ الأنزيمي (AFLP) Amplified Fragment Length Polymorphism فقد أثبتت دراسات سابقة أن تقنية AFLP هي طريقة موثوقة يمكن الاعتماد عليها لتمييز المجموعات التشابكية لـ *R.solani* (Olmos-Lopez et al., 2005).

ساهمت استخدام تقانة AFLP في هذا البحث في تحديد هوية عزلات *R. solani* التي تم جمعها من حقول البطاطا، والمعزولة من أجزاء نباتية مختلفة، ومعرفة المجموعة التشابكية التي تنتمي إليها . إذ بينت النتائج أن معظم العزلات تنتمي للمجموعة التشابكية AG3، بالإضافة لمجموعات تشابكية أخرى. وهذا ما أكدته دراسات عديدة ذكرت أن المجموعة التشابكية AG3 هي المجموعة المتخصصة على البطاطا (Shew & Melton, 1995؛ Kuninaga et al., 1997؛ Ceresini et al., 1999). ووجد تنوع وراثي ضمن مجتمع *R. solani* على البطاطا والتابعة للمجموعة AG3، حيث كان هناك تباين في نسب التشابه بين هذه العزلات، وهذا يتفق مع أبحاث أخرى سابقة، حيث استخدمت تقانة AFLP في تحديد التنوع الوراثي ضمن مجتمع *R. solani* للمجموعة AG3 على البطاطا والتبغ في ولاية كارولينا الشمالية، ووجد تنوع وراثي ضمن عزلات البطاطا أكثر من عزلات التبغ (Ceresini et al., 2002) كما تأتي هذه النتيجة مؤيدة لنتائج أخرى في جنوب استراليا والتي أكدت وجود تنوع وراثي بين عزلات AG3 المعزولة من البطاطا (Balali et al., 1996)

في حين لم نتمكن من تحديد هوية 8 عزلات ، وكانت أقرب للمجموعات التشابكية AG1، AG2-1، AG2-2، AG4HGI، AG4HGII، AG6 أكثر من المجموعتين التشابكيتين AG5، AG9، وأكدت دراسة في فنلندا، اعتماداً على تقانة AFLP، أن AG3 هي المجموعة الرئيسية لـ *R. solani* على البطاطا بالإضافة لمجموعات تشابكية أخرى مثل AG2-1، AG-4، AG-5 (Lehtonen, 2009).

سجلت دراسات عديدة أن المجموعات AG2-1، AG-4، AG5 تكون مرافقة للبطاطا، وأنها كانت من العزلات الشرسة، وقادرة على إحداث أعراض رايزوكتونيا على البطاطا (Abe & Tsuboki, 1978; Chang & Tu, 1980; Chand & Logan, 1983; Carling & Leiner, 1986; Anguiz &

Martin, 1989; Carling & Leiner, 1990a; Bains & Bisht, 1995; Balali *et al.*, 1995; Cedeño *et al.*, 2001; Truter & Wehner, 2004; Woodhall *et al.*, 2007)

وتأتي نتائج الدراسة الجزيئية مؤيدة لنتائج تشابك الهيفاء، باستثناء عزلة صوران التي انتمت للمجموعة AG-1 اعتماداً على تشابك الهيفاء، علماً أنه باستخدام هاتين التوليفتين كانت نسبة التشابه بين عزلة صوران والمجموعة AG-1 أكثر من 80% وكانت أقرب لهذه المجموعة من المجموعات التشابكية الأخرى، وهذا يعزى إلى المساحة التي غطتها التوليفتين من مجين الـ DNA. أما بالنسبة للعزلات التابعة للمجموعة AG3 فوجد اعتماداً على تقانة AFLP أن هناك تبايناً في نسب التشابه فيما بينها، وتأتي هذه النتيجة أيضاً مؤيدة لنتائج تشابك الهيفاء حيث كانت العزلات التي تنتمي لـ AG3 تأخذ النمطين C2، C3.

كما أكد Laroche ورفاقه (1992) أيضاً وجود تنوع وراثي ضمن مجتمع *R. solani* ولكن باستخدام تحاليل الإيزوزيمات isozyme analysis.

الفصل الرابع

عزل الكائنات الدقيقة، البكتيرية والفطرية، التي تتسم بتأثير تضادي إزاء الفطر *R. solani* المحدث لمرض القشرة السوداء على البطاطا

1 الدراسة المرجعية

تزايد الاهتمام بالمكافحة الأحيائية للفطر *R. solani* في السنوات الأخيرة. وقد أظهرت بعض طفيليات الفطور (Mycoparasites) كفاءة في خفض الإصابة بالفطر *R. solani* ونذكر من هذه الكائنات *Trichoderma* (van den Boogert & Velvis, 1992)؛ *Verticillium biguttatum* (Beagle-Risaino & Gliocladium virens و *T. hamatum*، *T. viridae*، *harzianum* (Papavizas., 1985).

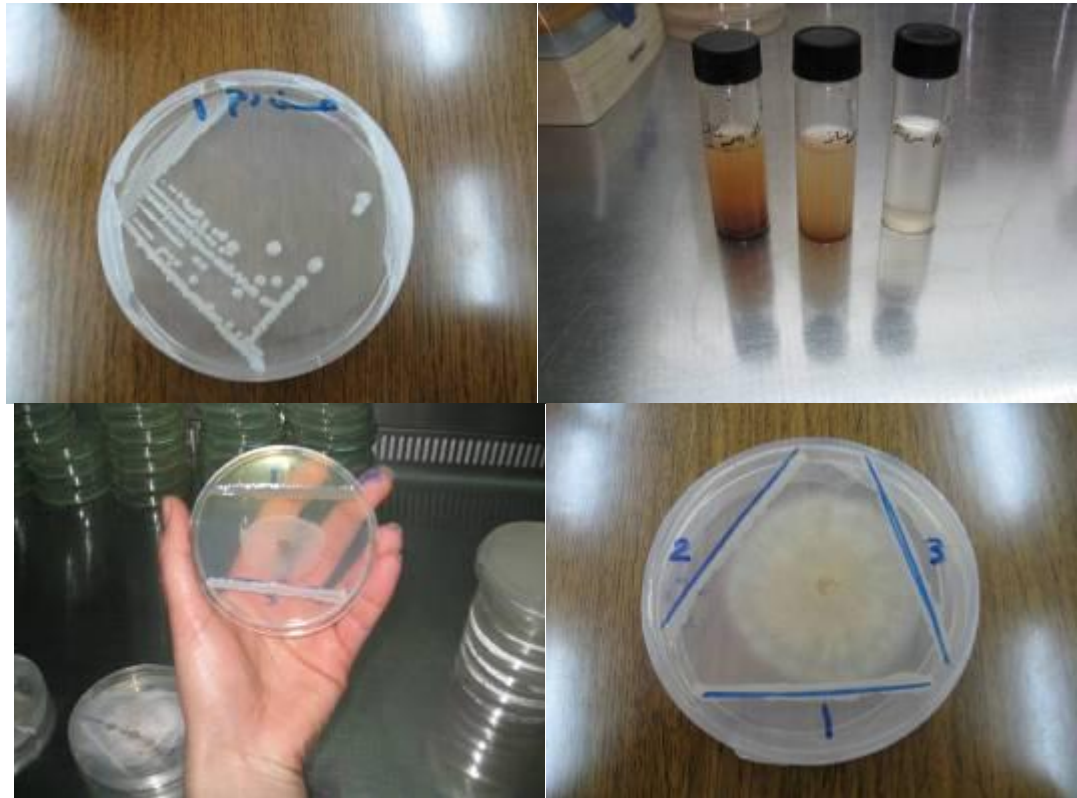
كما وجد أن بعض البكتيريا مثل السلالة RB14 من البكتيريا *Bacillus subtilis* تثبط نمو الفطر *R. solani* في المختبر وعلى بادرات البندورة. واستخدمت السلالة *B. subtilis* RB14-C والسلالة *Burkholderia cepacia* BY في توافق لمكافحة ذبول البندورة، وأظهرت النتائج أن استخدامهما معاً يؤدي إلى وقف كبير للذبول أكثر من ذلك الذي يحدثه استخدام كل منهما بمفرده (Asaka & Shoda, 1996). ومن عزلات مكافحة الحيوية الأخرى المعروفة: *Laetisaria arvalis*، *Cladorrhinum*، *Stilbella aciculosa*، *foecundissimum*.

2 مواد العمل وطرائقه

1.2 عزل الكائنات البكتيرية التي تتسم بتأثير تضادي إزاء الفطر *Rhizoctonia solani* المحدث لمرض القشرة السوداء على البطاطا

أخذ من كل عينة من العينات الترابية (حوالي 1 كغ لكل عينة) المجموعة من منطقة جوار الجذور (على عمق 15-25 سم) 10 غ تربة بشكل عشوائي ونشرت على جريدة لتجف في الظل. طحنت العينات جيداً بعد 24 ساعة في هاون معقم من البورسلان حتى أصبحت ناعمة، وأخذ منها غرام واحد وأضيف إلى أنبوب يحوي 10 مل ماء مقطر معقم، ورج الأنبوب على جهاز Vortex لمجانسة المعلق، ثم خفف المعلق بإضافة 1 مل منه إلى أنبوب يحوي 9 مل ماء مقطر معقم، وكررت عملية التخفيف عدة مرات بشكل متتالي حتى الحصول على التخفيفات التالية: 10^{-1} ، 10^{-2} ، 10^{-3} . أخذ من كل تركيز 50 ميكرو لتر بواسطة ماصة دقيقة مرتين، ونشرت على سطح طبقي بتري يحوي الأول وسط PDA والآخر على الآجار المغذي (NA) بواسطة قضيب باستور زجاجي مثلث الرأس. حضنت الأطباق عند 27 ± 2 °س لمدة ثلاثة أيام، حيث نما عديد من المستعمرات البكتيرية المختلفة.

فحصت الأطباق، وأعطيت لكل مستعمرة بكتيرية مفردة متميزة بخواصها المزرعية رقماً خاصاً، وسجلت خواصها المزرعية (يرجى العودة للملحق رقم 6) في سجل خاص (قطر المستعمرة، لونها، شكلها، تحديدها، لمعانها). خطت كل عزلة على طبق بتري جديد للتأكد من نقاوتها. ثم أجري اختبار التضاد الأولي للعزلات البكتيرية مع الفطر *R. solani* التابعة للمجموعة AG3 لمعرفة العزلات التي تتسم بصفة التضاد الحيوي إزاءه، حيث خطت كل 2-3 عزلات بكتيرية مختلفة على طبق بتري واحد على شكل مستقيمين متوازيين أو على شكل أضلاع مثلث غير متصلة، ووضع قرص بقطر 5 مم من عزلة تنتمي للمجموعة التشابكية AG3 التابعة للفطر *R. solani* في مركز الطبق، ثم حضنت هذه الأطباق عند 27 ± 2 °س لمدة ثلاثة أيام. أخذت نتيجة الاختبار بعد ثلاثة أيام، حيث اعتبرت كل عزلة بكتيرية منعت نمو الفطر إيجابية التضاد، واعتبرت كل عزلة نما عليها الفطر سلبية التضاد. حفظت العزلات إيجابية التضاد وأهملت العزلات سلبية التضاد.



الشكل 18: استخدام التراكيز المختلفة للبكتيريا، والحصول على عزلات نقية لإجراء التخطيط الأولي لمعرفة العزلات البكتيرية المضادة إزاء المجموعة AG3 التابعة للفطر *R. solani*.

1. اختبار التضاد

خطت كل عزلة بكتيرية إيجابية التضاد على وسط PDA بمكررين، على شكل قطرين متصالبين يقسما سطح الطبق البتري إلى أربعة أرباع متساوية، ووضع في وسط كل ربع قرص من

الفطر *R. solani* التابع للمجموعة AG3 بقطر 5 مم وبعمر ثلاثة أيام. حضنت الأطباق عند 27 ± 2 °س لمدة ثلاثة أيام. تم قياس القطر الصغير والقطر الكبير لمستعمرة الفطر *R. solani* النامية مقابل كل عزلة بكتيرية، وحسبت نسبة التضاد بتطبيق معادلتى Fokemma (1976):

$$\text{نسبة المنع} = 100 \times \frac{r_2 - r_1}{r_1}, \quad \text{نسبة النمو} = 100 \times \frac{r_2}{r_1}$$

حيث : r_1 = متوسط طول نصف القطر الأكبر؛ r_2 = متوسط طول نصف القطر الأصغر.
أجري تحليل التباين باستخدام برنامج Genstat 7 وفق ANOVA عند مستوى المعنوية 5%.

2.2 حفظ العزلات البكتيرية

لقت كل عزلة بعد التأكد من نقاوتها على أنبوبين يحوي كل منهما 10 مل من وسط المرق المغذي السائل (NB) Nutrient Broth، ووضعت الأنبيب على الهزاز (Shaker) لمدة 24 ساعة عند 27 ± 2 °س. ثم وضعت الأنبيب في المتقلة عند سرعة 4000 دورة في الدقيقة لمدة 20 دقيقة عند 25 ± 2 °س لفصل الوسط السائل وزيادة تركيز البكتيريا. أهمل الوسط السائل ونقل 0.8 مل من المعلق البكتيري المركز إلى أنبوب بلاستيكي يحوي 1 مل غليسيرول معقم بوساطة ماصة دقيقة. أغلقت الأنبيب وجونس المعلق بجهاز Vortex، حفظت الأنبيب في المجمدة عند -26 °س، واستخدمت فيما بعد لتحديد هوية البكتيريا الإيجابية التضاد مع المرض المدروس.

3.2 جهاز تحديد هوية البكتيريا (جهاز BIOLOG)

طريقة تحديد هوية البكتيريا أوتوماتيكياً:

سجل Bochner عام 1989 أن نظام BIOLOG يستخدم لتشخيص البكتيريا الموجبة والسالبة لغرام. يعتمد النظام على سلسلة تفاعلات مع 95 مصدر كربوني، متضمنة السكريات والأحماض العضوية والأحماض الأمينية، تنتج تفاعلات لونية.

يتألف نظام BIOLOG لتحديد الهوية من حاسوب ومقياس للكثافة الضوئية عند طول موجة 590 نانومتر، وبرنامج لتحليل البيانات، وقارئ أطباق، وأطباق خاصة بالبكتيريا الموجبة والسالبة لغرام. تخضع العزلات المختبرة التي تبدي قابلية عالية لامتصاص الرصاص إلى مرحلة تالية من أجل تحديد هويتها باستخدام هذه التقنية. وفق الخطوات التالية:

صبغة غرام:

تخضع العزلات المختارة لصبغة غرام للتأكد من تفاعلها بالنسبة لغرام.

تحضير اللقاح:

نميت العزلات المختبرة على وسط أجار مناسب (وسط الأجار المغذي) وحضنت لمدة 18-24 ساعة عند 30-35°س. وحضر المعلق بأخذ جزء من الخلايا البكتيرية من طبق الأجار بوساطة إبرة معقمة، ثم وضع في محلول تركيزه 0.85% من saline. تحدد مجالات التعكر للخلايا البكتيرية للعزلات المختارة باستخدام قطر العكارة لـ BIOLOG في قطر 20 نانومتر للأنابيب الملقحة والحاوية على 0.85% saline عند 590 نانومتر. ويجب ضبط كثافة المعلق عند $10^8 \times 3$ وحدة مشكلة للمستعمرات/cfu/ml.

تحضير البكتيريا:

تملاً حفر الأطباق بـ 150 ميكرو لتر من المعلق البكتيري للعزلات المختارة، وتغطي هذه الأطباق بأغطيتها وتحضن عند 28-30°س لمدة 24 ساعة تحت الظروف الرطبة لتجنب التبخر من الحفر الخارجية للأطباق. وتؤخذ قراءة الأطباق عند مرشح 590 filter نانومتر وذلك باستخدام قارئ الأطباق.

تحلل النتائج بوساطة بيانات GN BIOLOG (تبعاً للخطوة الأولى) لتحديد هوية العزلات البكتيرية. من أجل الاختلاف في الأنواع وتحت الأنواع، يستخدم برنامج تحليل المجموعات لـ BIOLOG كدلالة على وجود قرابة بين المجموعات المختلفة للبكتيريا.

حفظ العزلات البكتيرية:

حفظت العزلات البكتيرية بتنميتها على وسط المرق المغذي وحفظها في الثلاجة. أخذت العزلات البكتيرية بعد التأكد من نقاوتها وخططت على ثلاثة أوساط هي: Blood Agar Base، و Eosin Methylene Blue Agar (EMB-Agar)، و Cystine Lactose Electrolyte Deficient-Agar (CLED-agar). حيث الوسط Blood Agar Base عام للبكتيريا السالبة والموجبة لغرام، أما الوسط EMB-Agar فهو وسط انتخابي للبكتيريا السالبة لغرام، والوسط CLED Agar وسط انتخابي للبكتيريا الموجبة لغرام.

حضنت العزلات عند 37°س لمدة 22-24 ساعة. حضرت عكارة بأخذ جزء من البكتيريا بوساطة إبرة معقمة في 6 مل مصل معقم (Na Cl) حيث يكون التعكر 2.McFarland ويمكن اختبار عزلتين فقط لكل طبق. وزعت العينات في حفر الأطباق بمعدل 100 ميكرو لتر، وأضيفت نقطتان من زيت بارافين للعمود 12 الأخير وغطيت الأطباق بأغطيتها وحضنت عند 35-37°س لمدة 22-24 ساعة. أضيفت نقطتان من أنزيم البيبتيداز إلى الأعمدة الأربعة الأولى وتركت لمدة 5 دقائق ثم وضعت في الجهاز لأخذ القراءة وتحديد هوية البكتيريا. فإما أن يعطي تفاعلاً إيجابياً أو سلبياً، مع كل حفرة خاصة بمادة معينة ويوضح الشكل توزيع المواد ضمن كل حفرة للطبق الواحد.

	1	2	3	4	5	6	7	8	9	10	11	12
A	PEP BZAR	PEP D-ALA	PEP L-ALA	PEP HPR	α -GLU	α -CHIT	β -FUC	ONC	TREF	MALF	RIBF	PAR URE
B	PEP APPA	PEP ASP	PEP GLYP	PEP GLYT	β -GLU	CHIT	DIP	FCO	MATF	SUCF	XYLF	PAR ODC
C	PEP LEU	PEP GLY	PEP LYS	PEP ARG	α -GAL	PGUR	PNPX	GLUF	SORF	INUF	TAGF	PAR ADH
D	PEP PYR	PEP PROL	PEP TYR	PEP PECO	PNPG	α -MAN	LIPC	MANF	RAFF	LACF	TURF	PAR DECO
E	PEP BZAR	PEP D-ALA	PEP L-ALA	PEP HPR	α -GLU	α -CHIT	β -FUC	ONC	TREF	MALF	RIBF	PAR URE
F	PEP APPA	PEP ASP	PEP GLYP	PEP GLYT	β -GLU	CHIT	DIP	FCO	MATF	SUCF	XYLF	PAR ODC
G	PEP LEU	PEP GLY	PEP LYS	PEP ARG	α -GAL	PGUR	PNPX	GLUF	SORF	INUF	TAGF	PAR ADH
H	PEP PYR	PEP PROL	PEP TYR	PEP PECO	PNPG	α -MAN	LIPC	MANF	RAFF	LACF	TURF	PAR DECO

الشكل 19: طبق خاص بالبكتيريا الموجبة لغرام، وتوزع المصدر الكربوني ضمن حفر الطبق.

جدول 20: الأنزيمات الموجودة داخل حفر الطبق الخاص بالبكتيريا الموجبة

الغرام والتي سيقروها الجهاز:

Peptidases

Trypsine يستخدم كنزيم
Tripeptidase
Leucineamidase
Pyrase
D-Alanineaminopeptidase

Asparatylaminopeptidase
Glycineaminopeptidase
prolineaminopeptidase
L-Alanineaminopeptidase
Glycylprolineaminopeptidase
Lysineaminopeptidase

BZAR
APPA
LEU
PYR
D-ALA

ASP
GLY
PROL
L-ALA
GLYP
LYS

Tyrosineaminopeptidase	TYR
Hydroxyprolineaminopeptidase	HPR
Glycyltryptophanaminopeptidase	GLYT
Arginineaminopeptidase	ARG
شاهد البيبتيداز	PECO
Glucosidases	
α - Glucosidas	α -GLU
β -Glucosidase	β -GLU
α - Galactosidase	α -GAL
ρ - Nitrophenyl- β -galactosidase	PNPG
α -N-Acetylglucosamidase	α -CHIT
Chitinase	CHIT
ρ - Nitrophenyl- β -glucuronidase	PGUR
α -Mannosidase	α -MAN
β -Fucosidase	β -FUG
Diphosphoesterase	DIP
β -Xylosidase	PNPX
Phospholipase	LIPC
Chromogenic substrate شاهد	ONC
Fermentations	
شاهد التخمر	FCO
Glucose	GLUF
Mannose	MANF
Trehalose	TREF
Mannit	MATF
Sorbit	SORF
Raffinose	RAFF
Maltose	MALF
Sucrose	SUCF
Inulin	INUF
Lactose	LACF
Ribose	RIBF
Xylose	XYLF
Tagatose	TAGF
Turanose	TURF
Decarboxylases	
Urease	URE
Omithinedecarboxylase	ODC
Argininedihydrolase	ADH
Decarboxylases شاهد	DECO

4.2 عزل الكائنات الفطرية التي تتسم بتأثير تضادي إزاء الفطر *Rhizoctonia solani*

المحدث لمرض القشرة السوداء على البطاطا

عزلت أنواع الفطر *Trichoderma* spp. من العينات الترابية التي تم جمعها خلال عملية المسح الحقلية كونها إحدى الفطور المهمة التي تستخدم في مكافحة الأحيائية للسيطرة على عديد من أمراض النبات (Lynch, 1990; Papavizas, 1992) وأن هناك أنواع عديدة من هذا الفطر التضادي لها تأثير في الفطر *Rhizoctonia* sp. (Lewis & Papavizas, 1987) ولدراسة التأثير التضادي للفطر *Trichoderma* sp. على الفطر المدروس، وضع قرص لكل من الفطر *Trichoderma* sp. والفطر الممرض *R. solani* للمجموعة التشابكية AG3 بعمر 7 أيام لكل منهما، على وسط PDA على طبق ذاته تفصلهما مسافة 6 سم. حضنت الأطباق عند 24 ± 2 °س بوجود إضاءة مستمرة مع الأخذ بعين الاعتبار وجود الشاهد. سجلت النتائج بقياس النمو القطري لمستعمرة الفطر الممرض، كما قدرت درجة التضاد الحيوي تبعاً لسلم التقييس الخماسي (Bell et al., 1982) التالي:

1. نمو مستعمرة الفطر التضادي *Trichoderma sp.* بشكل تام على مستعمرة الفطر الممرض *R. solani*.
2. نمو مستعمرة الفطر الممرض *R. solani* بشكل تام على مستعمرة الفطر التضادي *Trichoderma sp.*
3. نمو كل فطر لجهة الفطر الآخر وتوقفهما.
4. نمو مستعمرة الفطر التضادي *Trichoderma sp.* فوق مستعمرة الفطر الممرض *R. solani* مع تبوغ خفيف.
5. نمو مستعمرة الفطر التضادي *Trichoderma sp.* فوق مستعمرة الفطر الممرض *R. solani* مع تبوغ كثيف.

كما وضع قرص من الفطر الممرض للمجموعة AG3 أخذ، من مستعمرات بعمر 7 أيام، في مركز طبق حاوي على وسط PDA ووضع قرص من الفطر التضادي *Trichoderma sp.* في مركز طبق آخر حاوي على وسط PDA، ووضع الطبق الحاوي على الفطر الممرض فوق الطبق الحاوي على الفطر التضادي وثبت بإحكام باستخدام parafilm، حضنت الأطباق عند 24 ± 2 °س بوجود إضاءة مستمرة.

أيضاً تم حساب سرعة النمو ونسبة التبوغ للفطر التضادي على الوسطين PDA والآجار المائي WA.

3. النتائج

1.3 الكائنات البكتيرية التي تتسم بتأثير تضادي إزاء الفطر *R. solani* المحدث لمرض

القشرة السوداء على البطاطا

أبدت بعض العزلات البكتيرية المعزولة من العينات الترابية تضاداً مع *R. solani* التابعة للمجموعة التشابكية AG3، في حين لم تبدِ عزلات أخرى تضاداً إزاء الممرض المستهدف. ويبين الجدول (21) العزلات التسع التي اتسمت بتأثير تضادي للفطر المدروس ومناطق أخذ العينة ونسب التضاد لكل منها.

جدول 21: متوسط نسبة المنع لل عزلات البكتيرية التي اتسمت بتأثير تضادي للفطر *R. solani* للمجموعة AG3 ومناطق أخذ العينة ونسب التضاد لكل منها.

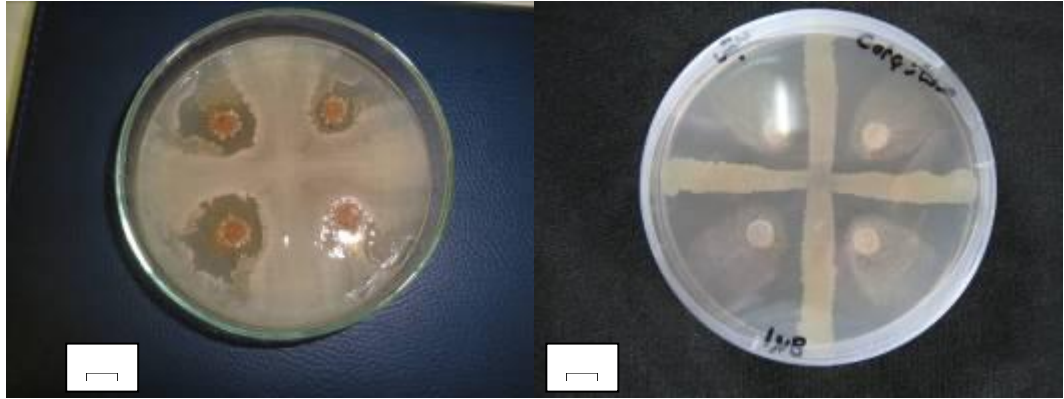
اسم العزلة	متوسط نسبة المنع %
كوكب Col- 4	68.3a
مرعناز Col- 4	68.1ab
السمرة Col- 1	66.4abc
كوكب Col- 2	61.8abcd
صوران جبارية Col- 3	61.4abcde
تلاين Col- 3	61.2abcdef
مرعناز Col- 5	57.3defg
صوران جبارية Col- 4	56.4defgh
لريية Col- 1	53.3defghi
CV%=12.1	LSD= 7.484

الأرقام المتبوعة بأحرف متشابهة عمودياً لا يوجد بينها فروق معنوية

أمكن تحديد هوية 7 عزلات فقط من العزلات المذكورة وهي: السمرة Col 1، جباريه Col 4، جبارية Col 3، فريرية Col 1، مرعناز Col 5، تلاين Col 3، كوكب Col 2. حيث استخدم جهاز BIOLOG لتحديد هوية البكتيريا التي اتسمت بالتضاد وذلك بعد تخطيطها على ثلاثة أوساط غذائية فظهرت البكتيريا على الوسطين Blood Agar Base و CLED Agar ولم تظهر أي من العزلات البكتيرية على الوسط EMB-Agar الخاص بالبكتيريا السالبة لغرام، وهذا دلالة على أن جميع العزلات تنتمي للبكتيريا الموجبة لغرام. كما وجد عند فحصها تحت المجهر بعد صبغها بصبغة الكريستال البنفسجي، أن جميعها كانت عصوية الشكل وذات لون بنفسجي. استخدمت الأطباق الخاصة بالبكتيريا الموجبة لغرام (MICRONAUT_ PRO short instructions) وبعد تحضير المعلقات وتحضيرها ووضعها في الجهاز، أخذت النتائج التالية:

APPA- PYR+ D-ALA+ ASP- GLY+ PROL- LYS+ TYR- GLYT- a-GAL+ PNPG+ aCHIT- CHIT+ PGUR- a-MAN- _-FUCPNPX+ GLUF+ MATF+ RAFF- MALF+ SUCF+ LACF- TURF- ADHA

أي أن العزلات المختبرة أعطت تفاعلاً إيجابياً مع بعض الأنزيمات وتفاعلاً سلبياً مع إنزيمات أخرى، وتبين حسب قارئ الأطباق أن جميع العزلات انتمت للبكتيريا *Bacillus subtilis* بنسبة 99%.



الشكل 20: التضاد البكتيري للمجموعة AG3 للفطر *R. solani*.

2.3 الكائنات الفطرية التي تتسم بتأثير تضادي إزاء الفطر *R. solani* المحدث لمرض القشرة السوداء في البطاطا

عزل الفطر *Trichoderma sp.* من العينات الترابية التي تم جمعها خلال عملية المسح الحقل، حيث تم مواجهة هذا الفطر المعروف بكونه فطراً تضادياً مع الممرض المدروس.

- تبين خلال تجربة تحت ظروف المختبر، وذلك بوضع قرص لكل من الفطر الممرض والفطر التضادي *Trichoderma sp.* على الطبق ذاته، أن كلا من الفطرين نما باتجاه الآخر مع توقف نمو الفطر الممرض في حين استمر نمو *Trichoderma sp.* فوق الممرض مع تبوغ كثيف، كما أخذ قطر المستعمرة لكل من الفطرين مقارنة مع الشاهد.

جدول 22: نتائج التأثير التضادي للفطر *Trichoderma sp.* في المجموعة AG3 لـ *R. solani* وقياس قطر المستعمرة لكلا الفطرين وكلاهما على طبق واحد:

متوسط سرعة النمو لـ AG3 & *Trichoderma* / يوم (على الطبق ذاته)

المعاملة	اليوم الأول	اليوم الثاني	اليوم الثالث	اليوم الرابع
الشاهد <i>Trichoderma</i>	30.3	71.6	85.0	85.0
الشاهد AG3	20.6	41.0	66.6	85.0
<i>Trichoderma</i>	28.8	53.0	57.6	85.0
AG3	21.5	32.0	32.0	32.0

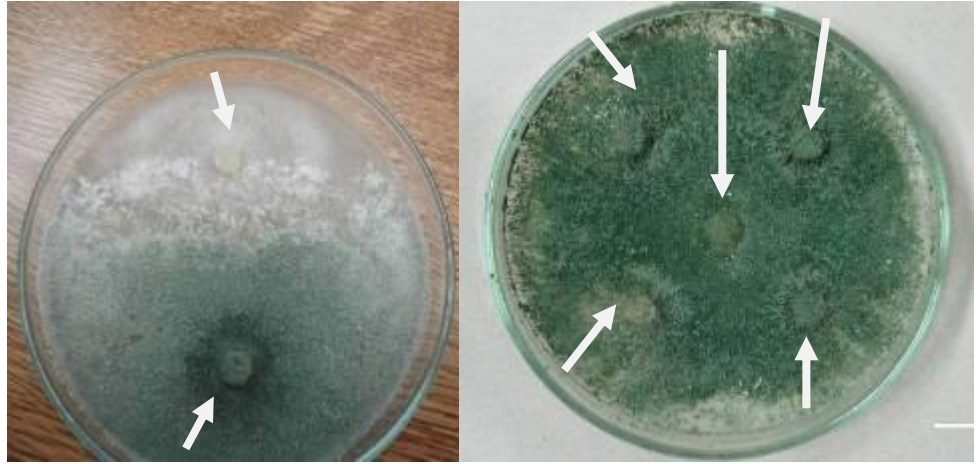
وفي تجربة أخرى، وضع الطبق الحاوي على الفطر الممرض فوق الطبق الحاوي على الفطر التضادي إلا أن AG3 استعمرت كامل الطبق خلال 4 أيام بوجود الفطر التضادي وعدم وجوده، وبالتالي لم يكن للفطر *Trichoderma sp.* بهذه الطريقة، تأثير في المجموعة AG3.

تباين متوسط سرعة النمو على وسطي PDA وWA، إذ بلغ متوسط سرعة النمو للفطر التضادي على الوسط PDA 22.6 مم/يوم، في حين كان 10 مم/يوم على وسط WA. وكانت نسبة التبوغ 100% بعد 7 أيام من زراعتها على وسط PDA، في حين كانت نسبة التبوغ 100% بعد 11 يوماً من زراعتها على وسط WA.

جدول 23: نتائج التأثير التضادي للفطر *Trichoderma sp.* في المجموعة AG3 لـ *R. solani* وقياس قطر المستعمرة لكلا الفطرين من خلال تطابق الأطباق

متوسط سرعة النمو لـ AG3 & *Trichoderma* مم/يوم (تطابق الأطباق)

المعاملة	اليوم الأول	اليوم الثاني	اليوم الثالث	اليوم الرابع
الشاهد <i>Trichoderma</i>	28.2	76.0	85.0	85.0
الشاهد AG3	10.1	35.0	62.0	85.0
<i>Trichoderma</i>	24.1	73.6	85.0	85.0
AG3	10.8	35.0	61.0	85.0



الشكل 21: تثبيط نمو المجموعة AG3 من قبل الفطر *Trichoderma sp.* مع التبوغ الكثيف.

4 المناقشة

وجد أن جميع العزلات البكتيرية التي أبدت تضاداً مع المجموعة AG3 التابعة للفطر *R. solani* كانت من النوع *Bacillus subtilis*. وهناك دراسات عدة تؤكد دور هذه البكتيريا في مكافحة *R. solani* حيث أكد Papavizas (1985)، و Yu (2002) دور *Bacillus spp.* في التأثير التضادي إزاء الفطر المدروس. أيضاً أشارت دراسات سابقة إلى دور *Bacillus subtilis* في مكافحة أمراض *R. solani* التي تصيب محاصيل معينة كفول الصويا (Liu & Sinclair, 1987)، والبطاطا والرز (Tschen, 1987)، والشوندر السكري (Moussa, 2002).

أكدت دراسات دور *Trichoderma spp.* المتسمة بتأثير تضادي إزاء الفطر *R. solani* (Yu, 2002;) (Papavizas, 1985). فقد كان للفطر *Trichoderma sp.* دور في إيقاف نمو المجموعة AG3 تحت ظروف المختبر وعلى الطبق نفسه، وأكدت دراسة أن استخدام الفطر *Trichoderma viride* أدى إلى انخفاض معنوي في نمو الفطر المستهدف مخبرياً وذلك بوضع قرص من كلا الفطرين على الطبق نفسه (Mohammed et al., 2008). في حين لم يكن للفطر التضادي تأثير في الفطر *R. solani* التابع للمجموعة AG3، وقد يشير ذلك إلى أن المادة (6PAP) 6-pentyl-alpha-pyrone التي ينتجها الفطر التضادي لم تؤثر في الفطر الممرض المستهدف أو أن الفطر لم ينتجها. ولكن ليس من الضروري أن تكون هناك علاقة بين كفاءة الفطر التضادي تحت ظروف المختبر وظروف الدفيئة الزجاجية (Asran et al., 2005). لذا يمكن الإعتماد على المكافحة الأحيائية كونها تؤمن طرائق بديلة وصديقة للبيئة وذلك باستخدام الكائنات المضادة لمكافحة أمراض النبات (Shahrokhi, 2005).

الفصل الخامس

المكافحة الكيميائية

1 الدراسة المرجعية

أشير إلى مدى واسع من مبيدات الفطور التي يمكن استخدامها في مكافحة المرض على البطاطا، ابتداءً من المبيدات واسعة الطيف (Dithiocarbamate, metham sodium) إلى المبيدات الانتخابية مثل (Phenyl urea pencycuron) (Jeger *et al.*, 1996) على أن واحداً من المبيدات لم يكن فعالاً إزاء كافة أنواع الجنس *Rhizoctonia* (Kataria *et al.*, 1991).

وجد Wicks ورفاقه (1995) أن كلاً من Fepiclonil والفورمالين وPencycuron والـ tolclofos-methyl خفضت حيوية الأجسام الحجرية للفطر *R. solani* على درنات البطاطا بشكل معنوي. كما وجد في دراسة أخرى أن المعاملة بـ Azoxystrobin تؤدي إلى زيادة معنوية في الغلة (-Virgen- (Calleros *et al.*, 2000)، وأظهر بحث آخر حساسية عالية لمبيدات Flutolanil وIprodione وPencycuron (Campion *et al.*, 2003). وبما أن اللقاح المعدي يمكن أن يكون محمولاً على الدرنات المعدة للبذار (التقاوي)، فإن استعمال بذار مصاب أو الزراعة في تربة ملوثة قد يحدث خفضاً في محصول البطاطا القابل للتسويق (Platt *et al.*, 1993). وعليه، فإن زراعة بذار خال من الإصابة أو معاملة الدرنات بمبيدات الفطور أو الكائنات المضادة يعدّ أمراً مفيداً. على أن المعاملة بمبيدات الفطور قد لا تؤمن مكافحة كاملة نظراً لوجود اللقاح المعدي في التربة.

1.1 معاملة الدرنات

في حال وجود الأجسام الحجرية على درنات البذار، يجب ألا تغطي أكثر من 5 % من سطح الدرنه. وقد توفر معاملة درنات البذار بالمبيدات الفطرية بعض الحماية من موت البراعم، وبخاصة عندما تكون الدرنات المعدة للبذار مصابة. ولكن هذه المعاملة لن تكون نافعة إذا كانت التربة ملوثة بطاقة لقاحية عالية من الفطر (Cubeta *et al.*, 1998).

طورت عديد من المبيدات خصيصاً لمكافحة الممرضات المحمولة على درنات البطاطا، وهي توفر مكافحة واسعة الطيف ضد كل من أمراض الرايزكتونيا، والقشرة الفضية، وعفن الفيوزاريوم الجاف والنقطة السوداء. وتتضمن هذه المبيدات: Tops MZ (thiophanate-methyl & mancozeb) وMaxim MZ (fludioxinil & mancozeb) (ومركبات Maxim الأخرى مع المانكوزيب)

و Moncut MZ (flutolanil & mancozeb). تحسن معاملة الدرنات بهذه المنتجات انتصاب النبات وتنشيطه، ويمكن أن تؤخر الانبثاق، أحياناً، إذا ترافقت معاملة الدرنات مع الزراعة في تربة باردة ورطبة ولكن هذا التأخير عَرَضِي ويعوض النبات نموه لاحقاً. والفائدة الإضافية للمعاملة (إذا تضمنت الصيغة المانكوزيب) هي القضاء على مسبب اللفحة المتأخرة المحمول على الدرنات (Wharton *et al.*, 2007).

2.1 مكافحة في الحقل

تشير نتائج بعض التجارب إلى أن تطبيق بعض المبيدات في الحقل عند الزراعة أدت إلى مكافحة أمراض *Rhizoctonia* على البطاطا بشكل ممتاز ومعنوي، وهذه المبيدات هي (Flutolanil) Moncut و (Azoxystrobin) Quadris. ولكن كانت كل من معاملة الدرنات وتطبيق المبيدات في الحقل تخفق أحياناً في مكافحة المرض أو تعطي نتائج محدودة، وقد يعزى ذلك إلى مصادفة حدوث فترات طويلة تكون فيها التربة باردة ورطبة بعد الزراعة مباشرة، أو إلى الزراعة في تربة تحوي طاقة لقاحية عالية من الممرض.

2 مواد العمل وطرائقه

تم دراسة تأثير المبيد الفطري المعروف تجارياً باسم ريزولكس (tolclofos methyl 50%) (من مجموعة الهيدروكربونات العطرية aromatic hydrocarbons) في نموات المجموعات التشابكية للفطر *R. solani*: (AG1، AG2-1، AG2-2، AG3P، AG3، AG3R، AG4GHII، AG5، AG6، AG8، AG9، AG12، AG4GHI) والتي تم تمييزها على وسط PDA المسمم بالمبيد السابق باستخدام التراكيز (1.5 و 3 و 6 غ/لتر بيئة (0.75، 1.5 و 3 غ/لتر بيئة) ومقارنتها مع الشاهد علماً أن AG3R هي العزلة السورية التابعة للمجموعة AG3.

استخدمت أطباق بتري بقطر 9 سم حاوية على 20 مل من الوسط المسمم وبمعدل ثلاثة أطباق لكل معاملة بالإضافة إلى أطباق الشاهد الحاوية على وسط PDA فقط. كان عمر المستعمرة المأخوذ منها أقراص الفطر الممرض للمجموعات السابقة 7 أيام، حيث وضع قرص بقطر 5 مم من الفطر الممرض في وسط الطبق وحضنت عند 22 ± 2 °س في الظلام. كما تم دراسة تأثير المبيد الفطري السابق وبالتراكيز ذاتها في الفطر *Trichoderma sp.* في أطباق حاوية 20 مل من الوسط المسمم، ووضع في مركز الطبق قرص من الفطر التضادي السابق بعمر 7 أيام وحضنت الأطباق عند 24 ± 2 °س في الظلام مع الأخذ بعين الاعتبار وجود الشاهد وبمعدل أربعة مكررات.



الشكل 22: مجانسة الوسط، وزراعة أقراص من المجموعات التشابكية AGs في وسط الطبق المسمم.

3 النتائج

طبق المبيد Tolclofos methyl وبالتركيزات المذكورة (1.5، 3، 6 غ مستحضر تجاري/ لتر PDA) على المجموعات التشابكية للفطر *R. solani* لمعرفة مدى تأثيره في النمو القطري للفطر *R. solani* ومدى التباين بين المجموعات التشابكية في رد فعلها إزاء المبيد المختبر، فوجد أن استخدام المبيد أدى إلى تشوه في ميسيليوم الفطر للمجموعتين التشابكيتين AG2-2، AG-3، فبدلاً من أن تكون سطحية أصبحت قطنية Fluffy عند جميع التركيزات المستخدمة، واختلفت المجموعات التشابكية في رد فعلها إزاء المبيد المستخدم. وتم أيضاً قياس سرعة النمو للمجموعات التشابكية دون إضافة المبيد كشاهد للتجربة.



الشكل 23: تأثير المبيد tolclofos methyl في المجموعة AG2-2 وتحول شكل الميسيليوم إلى قطني.

لم يسمح التركيز 6 غ مستحضر تجاري/لتر PDA بنمو المجموعات AG1، AG2-1، AG3، AG3 R، AG5، AG6، AG8، AG9، AG12، AG4HGI، AG4HGII. في حين نمت المجموعات AG2-، AG3 P، 2. أي يختلف تأثير المبيد حتى ضمن المجموعة الواحدة فالتركيز السابق لم يسمح بنمو AG3 في حين سمح بنمو AG3P. وأدى تطبيق التركيز 3 غ مستحضر تجاري/لتر إلى نتائج مماثلة ولكن نمت المجموعات بمعدل أعلى من التركيز السابق. كما أدى استخدام التركيز الأدنى للمبيد 1.5 غ مستحضر تجاري/لتر إلى نتائج مقارنة للتركيز 3 غ مستحضر تجاري/لتر ولكن ظهر نمو الفطر في اليوم الثاني في حين ظهر عند التركيز 3 غ مستحضر تجاري/لتر في اليوم الثالث، وهذا موضح في الجدول (24)

جدول 24: نتائج تأثير التراكيز الثلاثة للمبيد في نمو ميسيليوم المجموعات التشابكية للفطر *R. solani* (م/يوم) بالإضافة لوجود الشاهد

متوسط سرعة النمو م/ يوم					المجموعة التشابكية
الخامس	الرابع	الثالث	الثاني	اليوم الأول	
		85.0	77.0	41.4	الشاهد AG1
		0	0	0	AG1 6ل/غ
		0	0	0	AG1 3ل/غ
		0	0	0	AG1 1.5ل/غ
	85.0	74.0	39.0	21.0	الشاهد AG2-1
	0	0	0	0	AG2-1 6ل/غ
	0	0	0	0	AG2-1 3ل/غ
	0	0	0	0	AG2-1 1.5ل/غ
		85.0	5.0	23.0	الشاهد AG2-2
		7.0	0	0	AG2-2 6ل/غ
		11.0	0	0	AG2-2 3ل/غ
		10.0	10.0	0	AG2-2 1.5ل/غ
		85.0	54.0	24.0	الشاهد AG3 P
		10.0	0	0	AG3 P 6ل/غ
		11.0	0	0	AG3 P 3ل/غ
		12.0	0.9	0	AG3 P 1.5ل/غ
85.0	78.0	56.0	33.0	17.0	الشاهد AG3
0	0	0	0	0	AG3 6ل/غ
0	0	0	0	0	AG3 3ل/غ
0	0	0	0	0	AG3 1.5ل/غ
85.0	84.0	73.0	35.0	16.0	الشاهد RAG3
0	0	0	0	0	AG3 syr 6ل/غ
0	0	0	0	0	AG3 syr 3ل/غ
0	0	0	0	0	AG3 syr 1.5ل/غ
	85.0	78.0	41.0	22.0	الشاهد AG4HGII
	0	0	0	0	AG4HGII 6ل/غ
	0	0	0	0	AG4HGII 3ل/غ
	0	0	0	0	AG4HGII 1.5ل/غ
	85.0	76.0	39.0	16.0	الشاهد AG5
	0	0	0	0	AG5 6ل/غ

0	0	0	0	AG5 غ/ل3
0	0	0	0	AG5 غ/ل1.5
85.0	75.0	44.0	21.0	الشاهد AG6
0	0	0	0	AG6 غ/ل6
0	0	0	0	AG6 غ/ل3
0	0	0	0	AG6 غ/ل1.5
85.0	73.0	37.0	15.0	الشاهد AG8
0	0	0	0	AG8 غ/ل6
0	0	0	0	AG8 غ/ل3
0	0	0	0	AG8 غ/ل1.5
85.0	78.0	71.0	38.0	20.0 الشاهد AG9
0	0	0	0	AG9 غ/ل6
0	0	0	0	AG9 غ/ل3
0	0	0	0	AG9 غ/ل1.5
85.0	78.0	65.0	35.0	18.0 الشاهد AG12
0	0	0	0	AG12 غ/ل6
0	0	0	0	AG12 غ/ل3
0	0	0	0	AG12 غ/ل1.5
85.0	79.0	71.0	42.0	20.0 الشاهد AG4HGI
0	0	0	0	AG4HGI غ/ل6
0	0	0	0	AG4HGI غ/ل3
0	0	0	0	AG4HGI غ/ل1.5

ولم تسمح التراكيز الثلاثة من المبيد Tolclofos methyl بنمو المجموعة AG3.

درس تأثير المبيد الفطري السابق أيضاً، وبالتراكيز الآتية الذكر في الفطر *Trichoderma* sp. حيث أدى استخدام المبيد أيضاً إلى تشوه في طبيعة نمو ميسيليوم الفطر بدلاً من أن تكون مستعمراته ذات حواف مستديرة أصبحت متعرجة ومقسمة إلى قطاعات sectoring، وتأخر تشكل الأبواغ مقارنة مع الشاهد. ففي معاملة الشاهد غير الحاوية على المبيد السابق، اكتمل نمو الفطر على الطبق خلال 3 أيام مع تبوغه الكامل على سطح الطبق خلال 5 أيام، في حين لم تكن الأطباق المسممة وبالتراكيز الثلاثة مشكلة للأبواغ مقارنة مع الشاهد الذي كانت نسبة التبوغ فيه 100%. كما هو موضح في الجدول (25)

جدول 25: نتائج تأثير المبيد tolclofos methyl في قطر نمو ميسيليوم الفطر التضادي *Trichoderma* sp بالمليومتر.

التراكيز	المتوسط سرعة النمو لـ Rizolex × <i>Trichoderma</i> مم/يوم	اليوم الأول	اليوم الثاني	اليوم الثالث
0 غ	28.3	75.5	85.0	
6 غ	6.3	10.7	25.6	
3 غ	6.125	9.5	21.75	
1.5 غ	4.375	9.0	16.125	

ولوحظ أن تأثير المبيد عند التركيز 1.5 غ مستحضر تجاري/ل في الفطر التضادي كان أكبر من تأثير التركيزين 6 و3 غ مستحضر تجاري/ل. أعيدت التجربة مرة أخرى وكان التركيز 1.5 غ مستحضر تجاري /ل أيضاً هو التركيز الأكثر تأثيراً في الفطر التضادي.



الشكل 24: تأثير المبيد *tolclofos methyl* في الفطر *Trichoderma sp*.

أ: نمو *Trichoderma sp*. دون إضافة مبيد ب: نمو *Trichoderma sp*. بعد إضافة المبيد.

4 المناقشة

لم تسمح التراكيز الثلاثة المستخدمة من المبيد *Tolclofos methyl* بنمو المجموعة AG3. وهذا يؤيد الدراسة التي أثبتت أن المبيدين *Pencycuron* و *Tolclofos methyl* فقط يثبطا نمو AG3 بنسبة 100% تحت ظروف المختبر (Carling *et al.*, 2000). واختلفت المجموعات التشابكية في حساسيتها تجاه المبيد المستخدم، واختلفت الحساسية حتى ضمن المجموعة الواحدة، إذ لم تسمح التراكيز الثلاثة بنمو المجموعة AG2-1، وسمحت بنمو المجموعة AG2-2. وتأتي هذه النتائج مؤيدة لنتائج باحثين آخرين سجلوا تنوعاً في الحساسية لمبيدات الفطور ضمن المجموعات التشابكية لدى الفطر *R. solani* وحتى ضمن المجموعة ذاتها (Ueyama *et al.*, 1990; Kataria *et al.*, 1991; Csinos & Stephenson, 1999; Sumner, 1987; Martin *et al.*, 1984; Virgen-Calleros *et al.*, 2000; Campion *et al.*, 2003).

وأشارت إحدى الدراسات إلى أن الحساسية لمبيدات الفطور يمكن أن تتنوع ضمن العزلات التابعة للمجموعة التشابكية AG ذاتها (Ueyama *et al.*, 1990). وتبين في هذا البحث أن التراكيز الثلاثة من المبيد لم تسمح بنمو العزلتين AG3 R، AG3، في حين سمحت بنمو العزلة AG3P رغم أن هذه العزلات الثلاث تنتمي لمجموعة تشابكية واحدة. وعند دراسة تأثير المبيد وبالتراكيز الثلاثة السابقة

الذكر في الفطر التضادي *Trichoderma sp*، وجد أن التركيز الأدنى وهو 1.5 غ/ل ، كان أكثر تأثيراً من التركيزين السابقين وبالتالي يمكن استخدام هذا الفطر في مكافحة الأحيائية بالإضافة للمكافحة الكيميائية معاً

الفصل السادس

الإسهام في وضع خطة متكاملة لمكافحة المرض باستخدام الكائنات المضادة (مكافحة أحيائية) والمبيدات الكيميائية للفطور (مكافحة كيميائية)

1 الدراسة المرجعية

تتطلب إدارة المرض الذي يحدثه فطر *Rhizoctonia* مكافحة متكاملة ومعرفة جيدة بكل مرحلة من مراحل المرض (Cubeta et al., 1998). ورغم أنه لا يمكن القضاء على الأمراض التي يحدثها الرايزوكتونيا بشكل كامل حالياً، ولكن من شأن تطبيق مجموعة من المعاملات الزراعية وإجراءات الوقاية أن تحد من شدة الإصابة. ورغم أن معظم إجراءات المكافحة المتكاملة تعتمد على المعاملات الزراعية، إلا أن ذلك لا يمنع من استخدام المكافحة الكيميائية أيضاً (Wharton et al., 2007).

أهم المعاملات الزراعية للحد من هذا المرض هي:

- زراعة تقاوي خالية من الأجسام الحجرية بموجب شهادة منشأ نظامية، إذ يجب تغيير مصدر البذار عند وجود أكثر من 20 جسم حجري مرئي على أحد جوانب الدرنه بعد غسلها. ذلك أن اللقاح المحمول على الدرنات أهم من اللقاح القاطن في التربة كمسبب أولي للمرض. وعلى منتجي البذار (حقول الإكثار) زراعة تقاوي خالية نهائياً من الأجسام الحجرية (Cubeta et al., 1998; Wharton et al., 2007).
- يقلل إتباع كل الإجراءات التي تسرع من انبثاق السوق والمدادات في الربيع من احتمال الإصابة (Wharton et al., 2007) كالزراعة في الترب ذات القوام الخشن لأن محتواها من الماء يكون أقل نسبياً، الأمر الذي يسرع بدء تطور النبات (Wharton et al., 2007)؛ والزراعة على عمق قليل (5-7.5 سم)؛ وتغطية الدرنات بأقل قدر ممكن من التربة؛ والزراعة في الترب ذات درجات الحرارة فوق 8-15 س (Cubeta et al., 1998; Wharton et al., 2007)، الأمر الذي يسرع تطور السوق والمدادات والانبثاق ويقلل من احتمال الإصابة بتقرح الساق (Wharton et al., 2007).
- لا يستطيع الفطر *Rhizoctonia* منافسة الكائنات الدقيقة الأخرى في التربة بشكل جيد. حيث تقلل زيادة معدل تحلل بقايا المحصول (Wharton et al., 2007; Johnson & Leach, 2008)، وكمية المادة العضوية (Johnson & Leach, 2008) في التربة من معدل نمو الفطر.. وتُطلق عملية تحلل بقايا المحصول غاز CO₂ في التربة أيضاً، الأمر الذي يقلل من قدرة الممرض التنافسية.

ولا يستطيع الفطر تحليل السيليلوز بشكل كاف، وهكذا ينخفض لقاح الفطر في التربة بفعل منافسة ميكروفلورا التربة (Wharton *et al.*, 2007; Johnson & Leach, 2008) وكلما انخفض محتوى التربة من المادة العضوية تزداد قدرة الفطر *Rhizoctonia* التنافسية وكذلك خطورته (Johnson & Leach, 2008)، كما تنخفض نسبة الإصابة بالمرض (Wharton *et al.*, 2007). فزراعة البطاطا في تربة فقيرة بالمادة العضوية وذات طاقة لقاحية عالية بالفطر *Rhizoctonia* تشجع نمو الأخير وتزيد من حدوث المرض (Johnson & Leach, 2008).

- يجب الإسراع في قلع البطاطا فور تصلب قشرة درناتها (Wharton *et al.*, 2007; Johnson & Leach, 2008)، لتقليل حدوث الخدوش عليها (Johnson & Leach, 2008). وكلما طالت الفترة ما بين حش المجموع الخضري والقلع يزداد تشكل الأجسام الحجرية على الدرنات، وتزداد نسب الدرنات المصابة بالأجسام الحجرية.
- يقلل إزالة البقايا النباتية أو حرقها أيضاً من كمية اللقاح المتاح لإعداد الدرنات التي ستزرع فيما بعد، ويجب تجنب إلقاء الدرنات المصابة في الحقول التي ستزرع بالبطاطا لاحقاً لأنها يمكن أن تكون مصدراً لللقاح (Wharton *et al.*, 2007; Johnson & Leach, 2008).

يقلل استخدام الحراثة بالمحراث الحفار (Chisel plowing) أيضاً من حدوث المرض وشدته (Johnson & Leach, 2008). ورغم أن الفطر *Rhizoctonia* يهاجم البطاطا بشكل أساسي إلا أنه يمكن أن يثابر في التربة لعدة سنوات. لذلك يشجع المزارعون على الزراعة في الأراضي التي لم تزرع فيها البطاطا من قبل، وتطبيق دورة زراعية ثنائية أو ثلاثية بدون البطاطا (Cubeta *et al.*, 1998; Johnson & Leach, 2008)، وتكمن أهمية الدورة الزراعية ليس فقط في مكافحة المرض، بل والقضاء أيضاً على الأعشاب وتحسين خصوبة التربة (Leach & Clapham, 1992; Wessels, 2001). وقد وجد من دراسة تأثير الدورة الزراعية في مكافحة الفطر *Rhizoctonia*، نجاة العزلات ثنائية النوى من الفطر *Rhizoctonia* بشكل كبير وملحوظ مقارنة بالعزلات متعددة النوى، وأن المجموعات التشابكية للفطر *Rhizoctonia* ثنائية النوى تحمي المحاصيل من المجموعات التشابكية للفطر *Rhizoctonia* متعددة النوى. فالمجموعة التشابكية AG-G وهي ثنائية النوى تحمي محصول البطاطا من المجموعة AG3 (Cubeta *et al.*, 1991).

أشار Anon (2001) و Rasochova (1983) إلى أن الصنفين "Jaerla" و "Ausonia" يمتلكان مقاومة ضعيفة ومتوسطة للفطر *R. solani*، على أن دراسة حديثة أجريت في تركيا (Yanar *et al.*, 2005) أظهرت أن كلا الصنفين شديداً القابلية للإصابة بتقرح الساق. ولا بدّ من التركيز على هذه الناحية مستقبلاً. لا توجد حتى الآن أصناف منيعة لمرحلة إخفاق إعطاء البراعم وإصابة الساق (Cubeta *et al.*

درجات متفاوتة من المقاومة لتشكيل الأجسام الحجرية على الدرنات (Johnson & Leach, 2008) (al., 1996; Jeger et al., 1996; Johnson & Leach, 2008). في حين أظهرت بعض الأصناف

2 مواد العمل وطرائقه

1.2 تحضير اللقاح: Inoculum preparation

حملت المجموعات التشابكية للفطر الممرض *R. solani* والفطر *Trichoderma sp.* على الذرة البيضاء (السورغمية)، وتم ذلك بعد غسل حبوب الذرة جيداً بماء الصنبور ونقعها حتى اليوم التالي، ثم سُلقت الحبوب ووضعت بمعدل 50 غ لكل دورق، وعُقت بالحرارة الرطبة لمدة ساعة ونصف عند 121°س في الأوتوكلاف. ثم نُقلت الدوايق ووضعت في غرفة العزل حتى تبرد، وتم تلقيحها بالمجموعات التشابكية للفطر الممرض ولفطر *Trichoderma sp.* كل على حدة، بمعدل 5 أقراص لكل دورق، مأخوذة من مستعمرات بعمر 7 أيام، وضعت الدوايق في غرفة النمو عند 22 ± 2 °س في الظلام. تم هز الدوايق دورياً، وبعد تغطية ميسليوم الفطور النامية لكامل سطح الحبوب في الدوايق حفظت عند 4°س لحين استخدامها.



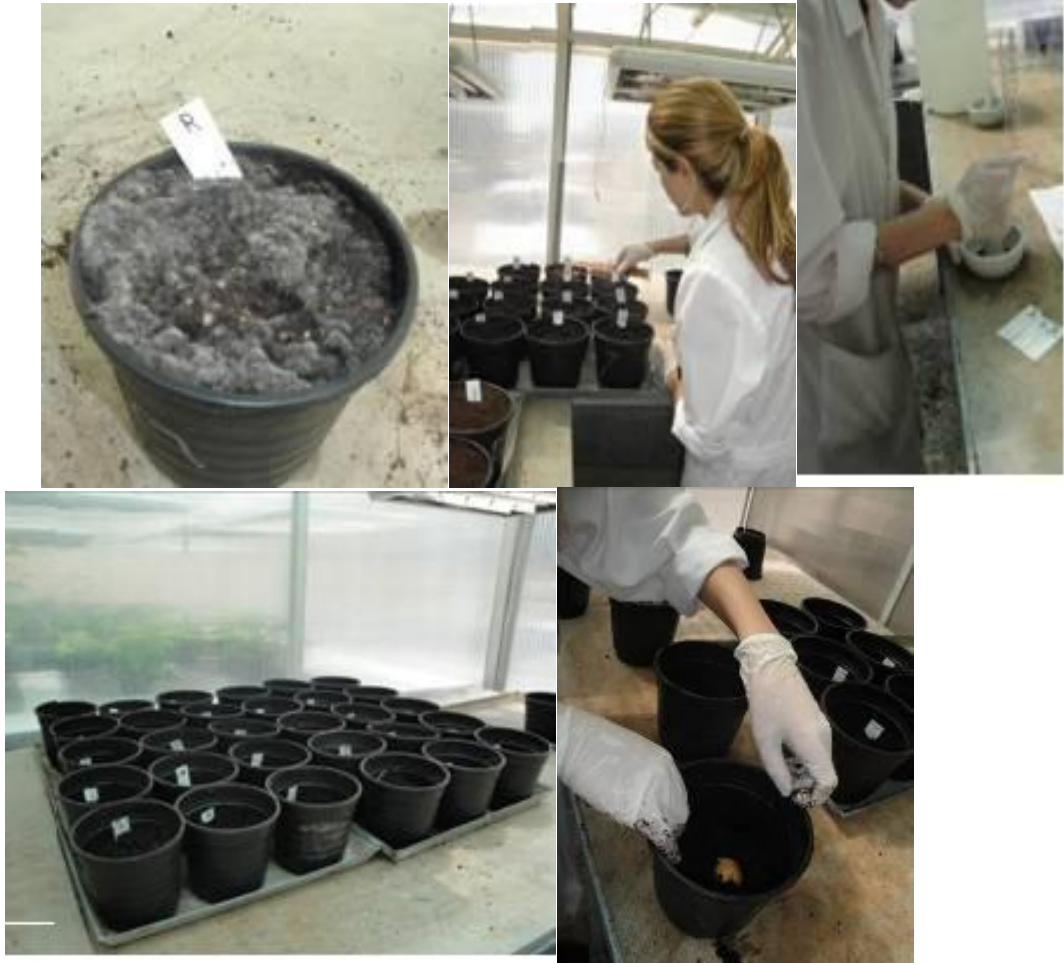
الشكل 25: تحضير البيئة الحبية الحاملة للفطر *R. solani* (أو تحضير لقاح العدوى)

2.2 إعداد التربة باللقاح

استخدمت أصص ذات سعة 1 كغ (تعادل 1,5 لتر بيتموس)، وملئت الأصص بمعدل 500 غ من البيتومس لكل أصيص بحيث حفظت الكمية الباقية لحين استخدامها في عملية التحضير. لُقح كل أصيص بمعدل 100 مل من معلق ميسليوم الفطر - الممرض - المتجانس (1 غ ذرة سورغمية ملقحة بالفطر/1 كغ بيتموس) (Kasem et al., 2010)، وتتراوح نسبة استخدام اللقاح المحمول على البذور من 0.01 إلى 4 % (حجم/حجم، وزن/حجم)، أو أقراص من الآجار وذلك قبل الزراعة (MacNish et

1995) ووضعت هذه الأصص في ظروف الدفيئة الزجاجية عند 2 ± 19 °س لمدة 4 أيام قبل عملية الزراعة.

استخدمت أصص ذات سعة 1 كغ من البيتموس (تعادل 1,5 لتر)، ملئت الأصص بمعدل 500 غ من البيتموس لكل أصيص بحيث حفظت الكمية الباقية لحين استخدامها في عملية التحضين. لقم كل أصيص بمعدل 100 مل من المعلق البوغي المتجانس للفطر *Trichoderma* sp. بتركيز $10^6 \times 5$ بوغة/مل، (أخذ 1 غ من حبوب الذرة البيضاء الملقحة بفطر *Trichoderma* sp. ووضعت في دورق يحوي 120 مل من الماء المقطر، وتم تحريكها لمدة 5 دقائق على المحرك، ثم أخذ 1 مل من المعلق ووضع في أنبوب على جهاز (vortex) لمدة 30 ثا وأخذ من هذا المعلق 100 ميكرو لتر لحساب تركيز الفطر في المعلق، للحصول على التركيز $10^6 \times 5$ بوغة/مل) ووضعت جميع الأصص ضمن ظروف الدفيئة الزجاجية في مجال يتراوح 2 ± 22 °س.



الشكل 26: عملية الإعداد والزراعة ووضع كل معاملة في صواني خاصة بها.

استخدمت درنات متماثلة الحجم تقريباً تتراوح أوزانها بين 25 - 30 غ من الصنف القابل للإصابة (بينيل). تم إضافة الكمية المتبقية من البتموس أثناء التحضين بعد ظهور 3-4 أوراق حقيقية. وتضمنت تجربة الدفيئة الزجاجية ثمانى معاملات:

- **المعاملة الأولى (القدرة الإمراضية للمجموعات التشابكية ضمن ظروف الدفيئة الزجاجية):**
وتضمنت 39 أصيصاً بمعدل 3 مكررات لكل مجموعة تشابكية للفطر *R. solani* لمعرفة القدرة الإمراضية لهذه المجموعات على البطاطا. وذلك بزراعة درنات من الصنف بينيلا في أصص حاوية على بتموس معدي باللقاح المحمول على حبوب الذرة البيضاء، الخاص بكل مجموعة تشابكية كل على حدا بمعدل درنة واحدة/ أصيص، واعتبر كل أصيص مكرراً.

- **المعاملة الثانية (الشاهد):**
وتضمنت 3 أصص حاوية على بتموس مزروع بالصنف القابل للإصابة (بينيل) دون وجود الممرض بمعدل درنة واحدة/ أصيص، واعتبر كل أصيص مكرراً.

- **المعاملة الثالثة (المكافحة الكيميائية باستخدام المبيد Tolclofos- methyl (ريزولكس):**
استخدمت ثلاثة تراكيز من المبيد التجاري ريزولكس بمعدل (1.5 و 3 و 6 غ مستحضر تجاري/1 كغ بيتموس) على المجموعة التشابكية AG3، حيث تم سقاية كل أصيص بمعدل 50 مل لكل من التراكيز السابقة وبمعدل ثلاثة مكررات لكل تركيز في أصص حاوية على بتموس معدي بالمجموعة التشابكية AG3 ومزروعة بدرنات الصنف بينيلا بمعدل درنة واحدة/أصيص، واعتبر كل أصيص مكرراً.

- **المعاملة الرابعة (المكافحة الأحيائية باستخدام *Trichoderma sp.*):**
استخدم بتموس معدي بكل من الفطر الممرض من المجموعة التشابكية AG3 والفطر التضادي *Trichoderma sp.* وتركيز $10^6 \times 5$ بوغة/مل لمعرفة تأثيره التضادي في نمو الفطر الممرض ضمن ظروف الدفيئة الزجاجية. بحيث أخذت كميتان متساويتان من البتموس المعدي بالمجموعة التشابكية AG3 والبتموس المعدي بالفطر التضادي، وخلطت كميتا البتموس بشكل جيد، ثم زرعت بدرنات الصنف بينيلا بمعدل درنة واحدة / أصيص، واعتبر كل أصيص مكرراً.



الشكل 27: إعداد البتموس بالفطر *Trichoderma sp.* وبالتركيز المطلوب مع الحفاظ على مجانسة التركيز

- المعاملة الخامسة (المكافحة الكيميائية والأحيائية باستخدام *Trichoderma sp.*)
طبقت المكافحة الكيميائية باستخدام المبيد tolclofos methyl وبتركيز 3 غ مستحضر تجاري/اكغ بتموس بالإضافة إلى المكافحة الأحيائية باستخدام الفطر *Trichoderma sp.* وبتركيز $10^6 \times 5$ بوغة/مل إزاء المجموعة التشابكية AG3 وذلك بزراعة درنات الصنف بينيلا في بتموس معدي بالفطر التضادي وبالتركيز سابق الذكر وسقاية الأصص بعد زراعتها بالمبيد المذكور بحجم 50 مل لكل أصيص. زرعت الدرنات بمعدل درنة واحدة / أصيص، واعتبر كل أصيص مكرراً، وكررت المعاملة ثلاث مرات.

- المعاملة السادسة (المكافحة الأحيائية باستخدام البكتيريا *Bacillus subtilis*):
استخدمت أصص حاوية على بتموس معدي بالفطر الممرض من المجموعة AG3 وبعد 4 أيام من إعداد البتموس، زرعت درنات الصنف بينيلا بمعدل درنة واحدة / أصيص، واعتبر كل أصيص مكرراً، وكررت المعاملة ثلاث مرات، وتم سقاية الأصص بمعدل 50 مل من المعلق البكتيري بتركيز 2.36×10^7 cfu/ml لمعرفة تأثيره التضادي في نمو الفطر الممرض ضمن ظروف الدفيئة الزجاجية.

• المعاملة السابعة (المكافحة الأحيائية باستخدام *Trichoderma sp* & *Bacillus subtilis*)

خلُطت كميتان متساويتان من البتموس المعدي بكل من الفطر الممرض والفطر التضادي، وبعد زراعة الدرنات تم سقاية الأصص بالمعلق البكتيري وبالتركيز سابق الذكر، ثم زرعت الدرنات بمعدل درنة واحدة / أصيص، واعتبر كل أصيص مكرراً، وكررت المعاملة ثلاث مرات.

• المعاملة الثامنة قابلية إصابة بعض أصناف البطاطا بالفطر الممرض:

لاختبار قابلية بعض الأصناف الهامة للإصابة بالمجموعة التشابكية AG3 للفطر *R. solani*، تم اختيار 3 أصناف من البطاطا هي بينيلا وسبونتا ودراجا. يتميز الصنف دراجا بفترة نمو تصل إلى 120 يوماً وهو من الأصناف المتأخرة، أما الصنف بينيلا فتصل فترة نموه إلى 90 يوماً وهو من الأصناف المبكرة، أما الصنف سبونتا فيصل متوسط فترة نموه إلى 110 أيام.

استخدمت أصص حاوية على بتموس معدي بالفطر الممرض من المجموعة AG3 وبعد 4 أيام من إعداد البتموس، زرعت درنات البطاطا بمعدل درنة واحدة / أصيص، واعتبر كل أصيص مكرراً، وكررت المعاملة ثلاث مرات. بعد ظهور الأوراق الحقيقية للبادرات استخدم السماد الذواب عالي الأزوت (N:P:K 30:10:10) بمعدل 1 غ / 1 لتر وسقي كل أصيص بمعدل 100 مل من السماد المذكور وذلك لكل المعاملات المذكورة سابقاً، وأعيدت عملية التسميد بالسماد المذكور ذاته بعد مرور 7 أيام من المعاملة الأولى. وبعد مرور أسبوع من هذه المعاملة، تم سقاية كافة المعاملات بالسماد الذواب عالي الفوسفور (N:P:K 10:30:10) وبالمعدل المذكور أعلاه ذاته

3 النتائج

• المعاملة الأولى (القدرة الإمراضية للمجموعات التشابكية AGs ضمن ظروف الدفيئة الزجاجية):

اختبرت القدرة الإمراضية للمجموعات التشابكية AGs تحت ظروف الدفيئة الزجاجية وهي الظروف الأقرب للظروف الحقلية. ووجد أن جميعها كانت ممرضة للبطاطا. وتباينت المجموعات التشابكية في مكان إحداثها للإصابة على البطاطا، كما اختلفت الأعراض التي أحدثتها هذه المجموعات، فهناك مجموعة أحدثت إصابة على الجذر فقط مثل AG8، ومجموعات أحدثت إصابة على الجذر والمدادات كالمجموعتين AG9 و AG12، في حين أحدثت المجموعتين AG5 و AG6 إصابة للتاج والجذر، أما المجموعتين AG1 و AG4HGI فقد أحدثتا إصابة على التاج والمدادات والجذر، أما المجموعتين AG2-2 و AG4HGII فأحدثتا، بالإضافة لتقرح التاج والمدادات والجذر،

تلونات بنية على سطح الدرناات وسببنا تشقق نسيج الدرناات بالإضافة إلى إحداثهما أعراضاً شبيهة بأعراض الجرب. وعند أخذ جزء من نسيج الدرنة المتلون باللون البني، بالإضافة إلى المنطقة الشبيهة بالجرب، لمعرفة إن كان السبب هو المجموعتين AG2-2 و AG4HGII أو مسبب آخر (كالجرب) المتسبب عن *Streptomyces reticuliscabiei* ، تبين نتيجة العزل أن المسبب هو الفطر *R. solani* التابع للمجوعتين المذكورتين، أما المجموعة AG2-1 فأحدثت تقرح التاج والمدادات والجذور وتلونات بنية على الدرناات، كما شكلت الأجسام الحجرية على الدرناات الناتجة، وكانت بالكاد مرئية. أما العزلات التابعة للمجموعة الواحدة AG3، AG3 P، R AG3، بالإضافة لإصابتهما للتاج والمدادات والجذر، أحدثت مرض القشرة السوداء على التاج والمدادات والجذر بالإضافة على الدرناات الناتجة وبشكل واضح، ولوحظ أن نسبة الأجسام الحجرية على الدرناات التي شكلتها AG3P كانت أقل من تلك التي شكلتها AG3 و AG3R ضمن ظروف الدفيئة الزجاجية، علماً أن AG3P هي تحت المجموعة المتخصصة على البطاطا. أي أن نسبة تغطية الدرناات بالأجسام الحجرية اختلفت حتى ضمن المجموعة الواحدة.



الشكل 28: الأعراض التي أحدثتها المجموعة AG4GHI على التاج والمجموعة AG2-2 على الدرناات الناتجة مقارنة مع الشاهد، تحت ظروف الدفيئة الزجاجية.





الشكل 29: الأعراض التي أحدثتها المجموعة AG3 من تقرحات ومرض القشرة السوداء على الدرنات الناتجة تحت ظروف الدفيئة الزجاجية.

تم أخذ وزن وعدد الدرنات الناتجة من كل معاملة معدة بمجموعة تشابكية منفردة.

جدول 26: نتائج القدرة الإراضية للمجموعات التشابكية تحت ظروف الدفيئة الزجاجية على الصنف بنيل

المجموعة التشابكية	التفاعل مع الصنف القابل للإصابة (بنيل)
AG1	تقرحات واضحة على التاج + المدادات + إصابة الجذر
AG2-1	التاج + المدادات + الجذر + تلوونات بنية والقشرة السوداء على الدرنات بالكاد ظاهرة.
AG2-2	اختزال المنطقة التاجية + المدادات + الجذر + تشوه للدرنات (تشققات) وتلوونات بنية على الدرنات.
AG3 potato	التاج + المدادات + الجذر + القشرة السوداء على التاج والمدادات والجذر والدرنات.
AG3	التاج + المدادات + الجذر + القشرة السوداء على التاج والمدادات والجذر والدرنات.
AG4HGII	التاج + الجذر + تلوونات بنية وتشقق نسيج الدرنات.
AG5	التاج + الجذر
AG6	التاج + الجذر
AG8	الجذر
AG9	المدادات + الجذر
AG12	المدادات + الجذر
AG4HGI	التاج + المدادات + الجذر
AG3 R	التاج + الجذر + المدادات + القشرة السوداء على التاج والمدادات والجذر والدرنات.

وزن الدرنات:

أظهرت نتائج القدرة الإراضية للمجموعات التشابكية وجود تباين كبير في وزن درنات الصنف القابل للإصابة Benella المختبر إزاء كافة المجموعات التشابكية AGs المختبرة للفطر R. solani (AG1، AG2-1، AG2-2، AG3 potato، AG3، AG4HGI، AG4HGII، AG5، AG6، AG8، AG9، AG12، AG3 R)، وبين التحليل الإحصائي وجود فروق عالية المعنوية (< pr. F

0.001) في وزن الدرنات تبعاً للمجموعة التشابكية المختبرة. حيث بلغ متوسط وزن الدرنات في معاملة المجموعة AG3 2.25 غ، وبلغ 78.51 غ في معاملة الشاهد التي لم تعامل بأي من المجموعات التشابكية للفطر *R. solani*. وتراوح وزن الدرنات لباقي معاملات المجموعات التشابكية ضمن المجال 9.14 – 60.63 غ، وسببت معظم المجموعات انخفاضاً معنوياً في وزن الدرنات بالمقارنة مع معاملة الشاهد، بينما كان هذا الانخفاض ظاهرياً وبفرق غير معنوي لدى مجموعة تشابكية وحيدة هي المجموعة AG4HGII. أما المجموعات الأكثر تأثيراً في تخفيض وزن الدرنات فكانت عزلات المجموعة AG3: AG3، AG3 p، وAG3 R على الترتيب.

ورغم أن الإعداد بالمجموعة AG4HGII لم يحدث خفضاً في وزن الدرنات، إلا أن المجموعة AG4HGI كانت المجموعة الثالثة، من حيث الترتيب، في خفض وزن الدرنات، وأكدت هذه التجربة وتحت ظروف الدفيئة الزجاجية اختلاف العزلات المنتمية للمجموعة التشابكية الواحدة في تأثيرها في وزن الدرنات.

عدد الدرنات:

أظهرت نتائج القدرة الإراضية للمجموعات التشابكية وجود تباين كبير في عدد درنات الصنف Benella القابل للإصابة بالمختبر إزاء كافة المجموعات التشابكية AGs المختبرة للفطر *R. solani* (AG1، AG2-1، AG2-2، AG3، AG3 p، AG4HGI، AG4HGII، AG5، AG6، AG8، AG9، AG12، AG3 R)، وبين التحليل الإحصائي وجود فروق عالية المعنوية ($F_{pr} < 0.001$) في عدد الدرنات تبعاً للمجموعة التشابكية المختبرة. حيث بلغ عدد الدرنات عند المعاملة بالمجموعة AG2-2 8 درنات و1.97 درنة عند المعاملة بالمجموعة AG1. وتراوح عدد الدرنات عند المعاملة بباقي المجموعات التشابكية ضمن المجال 2 – 7.86 درنة. ولم تكن هناك فروق معنوية في عدد الدرنات بين معاملة الشاهد وكل من معاملات المجموعات: AG2-2، AG6، AG4GHII، AG9، AG4HI. بينما سببت باقي المجموعات التشابكية AG12، AG2-1، AG8، AG3 p، AG3، AG5، AG3 R، وAG1 انخفاضاً معنوياً في عدد الدرنات بالمقارنة مع الشاهد.

جدول 27: متوسط وزن الدرنات (غ) وعدد الدرنات (درة). للنباتات المعدة بالمجموعات التشابكية ضمن ظروف الدفيئة الزجاجية

متوسط عدد الدرنات	المجموعة التشابكية .AGs	متوسط وزن الدرنات غ	المجموعة التشابكية
*8.00114 ^a		*78.5116 ^a	ctrl. O.
7.86488 ^{ab}	AG2-2	60.6318 ^{ab}	AG4HGII
6.99809 ^{abc}	AG6	55.013 ^{bc}	AG6
6.91999 ^{abcd}	AG4HGII	43.5797 ^{bcd}	AG9
5.84528 ^{abcde}	AG9	40.4661 ^{bcde}	AG12
5.63868 ^{abdef}	ctrl. O.	39.545 ^{cdef}	AG2-1
4.85252 ^{cdefg}	AG4HGI	39.4311 ^{cdefg}	AG2-2
3.9991 ^{efgh}	AG12	23.3426 ^{defgh}	AG8
2.9987 ^{ghi}	AG2-1	22.0627 ^{defghi}	AG1
2.32537 ^{hij}	AG8	17.227 ^{hij}	AG4HGI
2.27157 ^{hijk}	AG3 potato	14.8313 ^{hijk}	AG5
2.27157 ^{hijkl}	AG3	11.4783 ^{hijkl}	AG3 R
2.00052 ^{hijklm}	AG5	9.14256 ^{hijklm}	AG3 P
1.97292 ^{hijklmn}	SYR isolate	2.24616 ^{hijklmn}	AG3
	AG1		
C.V.=3.6 %، L.S.D. _{0.05} = 2.433		C.V.= 9.9%، L.S.D. _{0.05} =21.94	

* المتوسطات المتبوعة بأحرف متشابه عمودياً لا يوجد فروق معنوية فيما بينها

تباينت نتائج القدرة الإراضية للمجموعات التشابكية تحت ظروف المختبر عن مثيلاتها في ظروف الدفيئة الزجاجية، في مكان الإصابة على نبات البطاطا، وهذا مبين في الجدول (28)

جدول 28: مقارنة الأعراض التي سببتها المجموعات التشابكية للفطر *R. solani* ضمن ظروف المختبر وظروف الدفيئة الزجاجية

القدرة الإمراضية لـ AGs مخبرياً وحقلياً	
مخبرياً AG1	نكرزات على الساق، تقرح التاج، مهاجمة المدادات، تحلل الجذور، ذبول النبات.
الدفيئة الزجاجية	تقرحات واضحة على التاج + تقرح المدادات + إصابة الجذر
مخبرياً AG2-1	تقرح التاج + تقرح المدادات وتحللها + تحلل الجذور.
الدفيئة الزجاجية	التاج + تقرح المدادات + إصابة الجذر + تلونات بنية والقشرة السوداء على الدرنات بالكاد ظاهرة.
مخبرياً AG2-2	نكرزات على الساق + تقرح التاج + تقرح المدادات وتحللها + تحلل الجذور.
الدفيئة الزجاجية	اختزال المنطقة التاجية + تقرح المدادات + الجذر + تشوه الدرنات (تشققات) وتلونات بنية على الدرنات.
مخبرياً AG3 P	تقرح كامل التاج + مهاجمة المدادات + تحلل الجذور.
الدفيئة الزجاجية	التاج + المدادات + الجذر + القشرة السوداء على التاج والمدادات والجذر والدرنات.
مخبرياً AG3	نكرزات على الساق + تقرح التاج + تقرح الجذور.
الدفيئة الزجاجية	التاج + المدادات + الجذر + القشرة السوداء على التاج والمدادات والجذر والدرنات.
مخبرياً AG4HGII	نكرزة التاج + مهاجمة المدادات + تحلل الجذور.
الدفيئة الزجاجية	التاج + الجذر + تلونات بنية وتشقق نسيج الدرنه.
مخبرياً AG5	تقرح كامل التاج + تقرح التاج + تقرح الجذور
الدفيئة الزجاجية	التاج + الجذر
مخبرياً AG6	تقرح التاج + تقرح المدادات + تحلل الجذور
الدفيئة الزجاجية	التاج + الجذر
مخبرياً AG8	نكرزات خفيفة على الساق + تقرح التاج + مهاجمة الجذور
الدفيئة الزجاجية	الجذر
مخبرياً AG9	تقرح التاج + مهاجمة المدادات + تحلل الجذور + نكرزة الدرنات.
الدفيئة الزجاجية	المدادات + الجذر.
مخبرياً AG12	تقرح التاج + مهاجمة الجذور.
الدفيئة الزجاجية	المدادات + الجذر.
مخبرياً AG4HGI	نكرزة الساق + نكرزة المنطقة التاجية + مهاجمة المدادات + مهاجمة الجذور
الدفيئة الزجاجية	التاج + المدادات + الجذر
مخبرياً AG3 R	تقرح كامل التاج + تحلل الجذور
الدفيئة الزجاجية	التاج + المدادات + الجذر + القشرة السوداء على التاج والمدادات والجذر والدرنات.

المعاملة الثانية (الشاهد):

أخذ وزن وعدد درنات معاملة الشاهد الحاوي على بتموس فقط دون وجود الممرض المدروس، لكل مكرر. وهذا مبين في الجدول (29)

جدول 29: وزن الدرنات (غ) وعدد الدرنات (درة). لمعاملة الشاهد ضمن ظروف الدفيئة الزجاجية

المكررات	عدد الدرنات	وزن الدرنات (غ)
1	8	78.3
2	7	64
3	5	96.3

المعاملة الثالثة المكافحة الكيميائية (Chemical control):

طبقت المكافحة الكيميائية على الصنف القابل للإصابة (بنيل) المعدى بالمجموعة التشابكية AG3 وهي المجموعة المعنية وذلك لكل من الـ (AG3 R ، AG3 P ، AG3). وبثلاثة تراكيز 1.5 و 3 و 6 غ مستحضر تجاري/ كغ بتموس المبيد المستخدم tolclofos methyl.

منع تطبيق المبيد tolclofos methyl على عزلات المجموعة AG3 ظهور مرض القشرة السوداء على الدرنات الناتجة، باستثناء مكرر واحد فقط والتابع للعزلة AG3P وذلك عند التركيز الأدنى 1.5 غ مستحضر تجاري، وهذا مؤشر جيد للحصول على درنات نظيفة. ووجد أنه كلما زاد تركيز المبيد قلت مساحة التقرحات على التاج والمدادات التي تحدثها كل من AG3R ، AG3P ، AG3 وهذا مبين في الجدول (30).

جدول 30: نتائج تأثير التراكيز الثلاثة للمبيد tolclofos methyl في عزلات المجموعة التشابكية AG3 ضمن ظروف الدفيئة الزجاجية.

المجموعة التشابكية	المعاملة غ/كغ	التفاعل مع الصنف القابل للإصابة	التقترح/ مم
AG3	1.5	تقترح التاج + المدادات + الجذور	تقترح التاج من 2-10 مم / 2 مم على المدادات.
	3	تقترح التاج + المدادات + الجذور	التقترح على التاج والمدادات أقل من 1 مم
	6	تقترح التاج + المدادات + الجذور	التقترح على التاج والمدادات أقل من 1 مم
			تقترح التاج من 10-45 مم / 4-1 مم على المدادات.
	1.5	تقترح التاج + المدادات + الجذور + القشرة سوداء	تقترح التاج من 1-20 مم / 1-5 مم على المدادات
	3	تقترح التاج + المدادات + الجذور	تقترح التاج من 1-10 مم / 1 مم على المدادات
AG3 P	6	تقترح التاج + المدادات + الجذور	تقترح التاج من 10-45 مم / 15 مم على المدادات.
	1.5	تقترح التاج + المدادات + الجذور	تقترح التاج من 5-10 مم / 2 مم على المدادات.
	3	تقترح التاج + المدادات + الجذور	تقترح التاج أقل من 2 مم / 1 مم على المدادات.
AG3 R	6	تلونات بنية على الساق + تقترح المدادات + الجذور	

وزن الدرنات:

أظهرت نتائج تجربة المكافحة الكيميائية للفطر *R. solani* باستخدام أربعة تراكيز من المبيد Rizolex (0، 1.5، 3، 6 غ/كغ مستحضر تجاري/كغ) طبقت على عزلات المجموعة التشابكية AG3 للفطر *R. solani* وهي المجموعة التي ثبت أنها الأكثر خطورة على زراعة البطاطا (حسب نتائج التجربة السابقة: AG3، AG3 p، AG3 R. اعتبرت المعاملة 0 غ/كغ هي معاملة الشاهد. أظهرت النتائج وجود تباين في وزن درنات الصنف القابل للإصابة Benella المختبر إزاء معاملة تراكيز المبيد Rizolex، وبين التحليل الإحصائي وجود فروق متوسطة المعنوية ($F_{pr} = 0.067$) في وزن الدرنات بين معاملات تراكيز المبيد بغض النظر عن عزلات المجموعة التشابكية، وكانت معاملة التركيز الأفضل في الحد من تأثير الفطر في تخفيض وزن الدرنات هي معاملة التركيز 1.5 غ/كغ بشكل عام (جدول 31).

جدول 31: متوسط وزن الدرنات بالغرام لمعاملات تراكيز المبيد بغض النظر عن عزلات المجموعة التشابكية

جدول المتوسطات لمعاملة تراكيز المبيد

Rzlx	0 g/kg	1.5 g/kg	3 g/kg	6 g/kg
AGs	*6.2899 ^{bcd}	20.2551 ^a	10.8264 ^{abc}	19.6457 ^{ab}

L.S.D._{0.05} (Rzlx) = 13.57; C.V. = 13.5%

* المتوسطات المتبوعة بأحرف متشابهة أفقياً لا يوجد فروق معنوية فيما بينها.

وعند المقارنة بين عزلات المجموعة التشابكية × تراكيز المبيد نجد أن المعاملة الأفضل هي 6 غ/كغ للعزلة AG3 R و 1.5 غ/كغ عند العزلة AG3 (جدول 32)

جدول 32: متوسط وزن الدرنات بالغرام لمعاملات تراكيز المبيد مع الأخذ بعين الاعتبار عزلات المجموعة التشابكية

جدول المتوسطات لعزلات المجموعة التشابكية × معاملة المبيد

AGs * Rzlx	0 g/kg	1.5 g/kg	3 g/kg	6 g/kg
AG3	*2.70574 ^{cdefghijk}	33.3511 ^{ab}	14.6037 ^{bede}	0.399202 ^{cdefghijkl}
AG3 P.	7.02159 ^{cdefghi}	9.99862 ^{bdefg}	6.98244 ^{cdefghij}	19.7852 ^{abc}
AG3 R.	9.14256 ^{cdefgh}	17.4157 ^{abcd}	10.893 ^{bcd}	38.7528 ^a

L.S.D._{0.05} (AGs*Rzlx) = 23.50; C.V. = 13.5%

* المتوسطات المتبوعة بأحرف متشابهة عمودياً أو أفقياً لا يوجد فروق معنوية فيما بينها.

عدد الدرنات:

أظهرت نتائج التجربة وجود تباين في عدد درنات الصنف القابل للإصابة Benella المختبر إزاء العزلات الثلاث وتركيز المبيد Rizolex، وبفروقات غير معنوية ($F_{pr} = 0.175$). أما بالنسبة لعدد الدرنات إزاء تركيز المبيد Rizolex، وبغض النظر عن عزلات المجموعة التشابكية، فقد تفوقت المعاملة 1.5 غ/كغ بمتوسط عدد درنات بلغ 2.9994 درنة/نبات على المعاملتين الأخرتين 3 غ/كغ (1.9798 درنة/نبات) و 6 غ/كغ (1.9452 درنة/نبات) مقارنة مع عددها في معاملة الشاهد (2.3008 درنة/نبات) بفروق غير معنوية (جدول 33).

جدول 33: متوسط عدد الدرنات إزاء تركيز المبيد Rizolex وبغض النظر عن عزلات المجموعة التشابكية.

جدول المتوسطات لعزلات المجموعة التشابكية × معاملة المبيد

Rzlx	0 g/kg	1.5 g/kg	3 g/kg	6 g/kg
AG3	2.3008	2.9994	1.9798	1.9452
L.S.D. _{0.05} (AGs*Rzlx) = 1.572; C.V. = 3.8%				

وعند دراسة التأثير فيما بين معاملي المجموعات التشابكية وتركيز المبيد Rizolex معاً تبين أن أفضل المعاملات هي معاملة 1.5 غ/كغ للعزلة AG3 بمتوسط عدد درنات بلغ 3.9991 درنة/نبات، بينما كانت المعاملة 6 غ/كغ للعزلة AG3 أسوأ المعاملات بمتوسط عدد درنات بلغ 0.4881 درنة/نبات، وتراوح عدد الدرنات لباقي المعاملات ضمن المجال 3.85798 - 1.48947 درنة/نبات (جدول 34)

جدول 34: متوسط عدد الدرنات بالغرام لمعاملات تركيز المبيد مع الأخذ بعين الاعتبار لعزلات المجموعة التشابكية

جدول المتوسطات لعزلات المجموعة التشابكية × معاملة المبيد

AGs * Rzlx	0 g/kg	1.5 g/kg	3 g/kg	6 g/kg
AG3	*2.41081 ^{abcde}	3.9991 ^a	2.49108 ^{abcd}	0.488177 ^{cdefghi}
AG3 P.	2.49108 ^{abcd}	2.00052 ^{abcdef}	1.95914 ^{abcdefg}	1.48947 ^{abcdefgh}
AG3 R.	2.00052 ^{abcdef}	2.9987 ^{abc}	1.48947 ^{abcdefgh}	3.85798 ^{ab}
L.S.D. _{0.05} (AGs*Rzlx) = 2.723; C.V. = 3.8%				

* المتوسطات المتوقعة بأحرف متشابه عمودياً أو أفقياً لا يوجد فروق معنوية فيما بينها.

المعاملة الرابعة (المكافحة الأحيائية باستخدام *Trichoderma sp.*):

أدت إضافة الفطر التضادي إلى عدم ظهور مرض القشرة السوداء على الدرنات المعداة بالمجموعة AG3P وهي المجموعة الأكثر ضرراً والمتخصصة على البطاطا، في حين تشكلت الأجسام الحجرية على الدرنات المعداة بالعزلتين AG3 و AG3R. وكانت التقرحات متماثلة نوعاً ما على المدادات في العزلات الثلاث التابعة للمجموعة AG3، بينما كان التقرح أكبر عند الإعداد بالعزلتين AG3 و AG3R مقارنة بالعزلة AG3P وهذا مبين في الجدول (35).

جدول 35: نتائج تأثير المكافحة الأحيائية باستخدام *Trichoderma sp.* في عزلات المجموعة التشابكية AG3 ضمن ظروف الدفيئة الزجاجية

المعاملة الخامسة <i>Rhizoctonia</i> × <i>Trichoderma</i>		
المجموعة التشابكية	التفاعل مع الصنف القابل للإصابة (بينلا)	التقرح/ مم
AG3	تقرح التاج + مدادات + الجذر + القشرة السوداء	تراوح تقرح التاج من 1-29 مم / 3 مم على المدادات
AG3 P	تقرح التاج + مدادات + الجذر	تراوح تقرح التاج من 1-10 مم / 2-1 مم على المدادات
AG3 R	تقرح التاج + المدادات + الجذر + القشرة السوداء	تراوح تقرح التاج من 1-20 مم / 2 مم على المدادات

وزن الدرنات:

أظهرت نتائج تجربة المكافحة الأحيائية لثلاث عزلات تابعة للمجموعة التشابكية AG3 من الفطر *R. solani* باستخدام الفطر *Trichoderma sp.* وجود تباين في وزن الدرنات المنتجة من النباتات المعاملة، حيث اعتبرت المعاملة التي لم يضاف إليها الفطر *Trichoderma sp.* معاملة الشاهد. وبين التحليل الإحصائي وجود فروق معنوية ($F_{pr} = 0.005$) في وزن الدرنات فيما بين معاملات العزلات التشابكية بغض النظر عن المعاملة بالفطر *Trichoderma sp.*، حيث كانت المعاملة AG3 R هي المعاملة الأقل تخفيضاً لوزن الدرنات بمتوسط وزن درنات بلغ 29.44 غ تلتها العزلة AG3 9.89 غ وكانت العزلة AG3 P المجموعة الأسوأ والأكثر تخفيضاً لوزن الدرنات 7.26 غ، فقد خفضت كلاً من المجموعتين التشابكيتين AG3 P و AG3 وزن الدرنات بفروق عالية المعنوية بالمقارنة مع العزلة AG3 R، ولم تكن هناك فروق معنوية فيما بينهما (جدول 36).

جدول 36: متوسط وزن الدرنات بالغرام عند الإعداد بالعزلات التشابكية AG3 و AG3 P. و R. دون إضافة الفطر التضادي *Trichoderma sp.*

جدول المتوسطات لعزلات المجموعة التشابكية

AG3	*9.89423 ^{bc}
AG3 P.	7.262055 ^b
AG3 R.	29.44495 ^a
L.S.D. _{0.05} = 12.25; C.V.= 10.1%	

* المتوسطات المتبوعة بأحرف متشابه عمودياً لا يوجد فروق معنوية فيما بينها.

وبين التحليل الإحصائي وجود فروق معنوية ($F_{pr} = 0.005$) في وزن الدرنات فيما بين تلك المعاملة بالفطر *Trichoderma sp.* والشاهد بقطع النظر عن العزلات التشابكية، حيث تفوقت المعاملة بالفطر *Trichoderma sp.* على الشاهد بفرق عالي المعنوية واستطاعت هذه المعاملة أن تقلل من الانخفاض في وزن الدرنات بالمقارنة مع الشاهد غير المعامل (جدول 37).

جدول 37: متوسط وزن الدرنات بالغرام. نتيجة استخدام المكافحة الأحيائية بغض النظر عن العزلة التشابكية

جدول المتوسطات للعزلات التشابكية

Trichoderma	غير معاملة	معامل
	*7.62234 ^b	23.44515 ^a
L.S.D. _{0.05} = 10.00; C.V.= 10.1%		

* المتوسطات المتبوعة بأحرف متشابه أفقياً لا يوجد فروق معنوية فيما بينها.

وبين التحليل الإحصائي وجود فروق معنوية ($F_{pr} = 0.016$) في وزن الدرنات فيما بين المعاملة بالفطر *Trichoderma sp.* مع معاملة العزلات التشابكية. حيث كانت أفضل المعاملات هي المعاملة $AG3 R. \times Trichoderma$ بمتوسط وزن درنات بلغ 47.41 غ وأسوأ معاملة هي معاملة الشاهد AG3 بمتوسط وزن درنات بلغ 2.25 غ (جدول 38).

جدول 38: متوسط وزن الدرنات بالغرام للعزلات التشابكية عقب استخدام المكافحة الأحيائية باستخدام الفطر *Trichoderma sp.*

جدول المتوسطات للعزلات التشابكية

Trichoderma	غير معاملة	معامل
AG3	*2.24616 ^{bcdef}	17.5423 ^b
AG3 P.	9.14256 ^{bcd}	5.38155 ^{bcde}
AG3 R.	11.4783 ^{bc}	47.4116 ^a
L.S.D. _{0.05} = 17.32; C.V.= 10.1%		

* المتوسطات المتبوعة بأحرف متشابه عمودياً أو أفقياً لا يوجد فروق معنوية فيما بينها.

عدد الدرنات:

أظهرت نتائج التجربة تبايناً في عدد الدرنات، وبين التحليل الإحصائي وجود فروق ظاهرية (F pr.= 0.099) في عدد الدرنات فيما بين المعاملة بالفطر *Trichoderma* sp. والشاهد بقطع النظر عن العزلات التشابكية (جدول 39).

جدول 39: متوسط عدد الدرنات. نتيجة استخدام المكافحة الأحيائية بغض النظر عن العزلة التشابكية

جدول المتوسطات لمعاملة الفطر *Trichoderma* sp.

Trchdrn	غير معاملة	معامل
	2.20013	3.73825
L.S.D. _{0.05} = 1.953; C.V.= 5.2%		

وبين التحليل الإحصائي وجود فروق غير معنوية (F pr.= 0.299) في عدد الدرنات فيما بين معاملة الفطر *Trichoderma* × العزلات التشابكية (جدول 40).

جدول 40: متوسط عدد الدرنات بالغرام للنباتات المعدة بالعزلات التشابكية عقب استخدام المكافحة الأحيائية باستخدام الفطر *Trichoderma* sp.

جدول المتوسطات للعزلات التشابكية × *Trichoderma*

Trichoderma	غير معاملة	معامل
AG3	2.27439	4.38799
AG3 P.	2.33105	1.96741
AG3 R.	1.99499	4.85936
L.S.D. _{0.05} = 3.382; C.V.= 5.2%		

أي أن إضافة الفطر *Trichoderma* sp. أدت إلى زيادة في وزن الدرنات وبفرق معنوي بغض النظر عن العزلة التشابكية، أيضاً كان هناك فرق معنوي بين التأثير بين إضافة الفطر التضادي والعزلة AG3 R في زيادة وزن الدرنات، وكان للفطر التضادي أيضاً دوراً في زيادة وزن الدرنات عند الإعداء بالعزلة AG3 ولكن بفرق غير معنوي، في حين لم يؤثر الفطر التضادي في خفض وزن الدرنات التي سببتها العزلة AG3P (جدول 39).

أدت إضافة الفطر *Trichoderma sp.* أيضاً إلى زيادة في عدد الدرنات وبفارق معنوي ظاهري بغض النظر عن العزلة التشابكية، ولكن لم يكن لإضافته دور معنوي في زيادة عدد الدرنات مع الأخذ بعين الاعتبار العزلة التشابكية المستخدمة في الإعداد.

• المعاملة الخامسة (المكافحة الكيميائية باستخدام *tolclofos methyl* والأحيائية باستخدام *Trichoderma sp*):

أدى التأثير المزدوج للفطر *Trichoderma* والمبيد ريزولكس في عزلات المجموعة AG3، إلى عدم السماح بظهور مرض القشرة السوداء على الدرنات الناتجة، ولم يسمح بإصابة التاج لدى العزلة AG3، وهذا مبين في الجدول (41).

جدول 41: نتائج التأثير المزدوج للمكافحة الكيميائية والأحيائية في عزلات المجموعة التشابكية AG3 ضمن ظروف الدفيئة الزجاجية

المجموعة التشابكية	التفاعل مع الصنف القابل للإصابة	التقترح/ مم
AG3	تقترح المدادات + الجذر	تقترح المدادات 2 مم
AG3 P	تقترح التاج+ المدادات + الجذر	تراوح تقترح التاج من 1-37 مم / 1-5 مم على المدادات
AG3 R	تلونات بنية على التاج+ تقترح المدادات + الجذر	تقترح التاج من 1 مم / 1-10 مم على المدادات

وزن الدرنات:

أظهرت نتائج تجربة المكافحة الكيميائية باستخدام المبيد Rizolex باقتران مع المكافحة الأحيائية باستخدام الفطر *Trichoderma sp.* إزاء العزلات الثلاث التابعة للمجموعة التشابكية-AGs 3 للفطر *R. solani* وهي: AG3، AG3 p، AG3 R، وجود تباين في وزن الدرنات، وبين التحليل الإحصائي وجود فروق معنوية ($F_{pr}= 0.013$) في وزن الدرنات من النباتات المعدة بالمجموعات التشابكية الثلاث بغض النظر عن المعاملة *Rizolex + Trichoderma*، حيث كانت المعاملة AG3 P. المعاملة الأكثر تخفيضاً لوزن الدرنات بمتوسط وزن درنات بلغ 4.02 غ تلتها العزلة AG3 6.90 غ ثم أخيراً المجموعة AG3 R. بوزن 15.98 غ، وكانت هذه المعاملة هي المعاملة الأقل تخفيضاً لوزن الدرنات (جدول 42).

جدول 42: متوسط وزن الدرنات بالغرام للنباتات المعدة بعزلات المجموعة التشابكية AG3 دون استخدام المكافحة

جدول المتوسطات للعزلات التشابكية

AG3	*6.89602 ^{bc}
AG3 P.	4.01849 ^b
AG3 R.	15.97603 ^a
L.S.D. _{0.05} = 7.99; C.V.= 6.3%	

* المتوسطات المتبوعة بأحرف متشابه عمودياً لا يوجد فروق معنوية فيما بينها.

وبين التحليل الإحصائي وجود فروق غير معنوية ($F_{pr} = 0.109$) في وزن الدرنات فيما بين معاملة Rizolex + Trichoderma والشاهد غير المعامل بقطع النظر عن العزلات التشابكية (جدول 43).

جدول 43: متوسط وزن الدرنات بالغرام نتيجة استخدام المكافحة الكيميائية والأحيائية معاً بغض النظر عن العزلة التشابكية

جدول المتوسطات للعزلات التشابكية

Trchdrn_Rzlx	غير معامل	معامل
	6.28996	11.63706
L.S.D. _{0.05} = 6.52; C.V.= 6.3%		

* المتوسطات المتبوعة بأحرف متشابه عمودياً لا يوجد فروق معنوية فيما بينها.

كما بين التحليل الإحصائي وجود فروق معنوية ($F_{pr} = 0.02$) في وزن الدرنات فيما بين المعاملات Rizolex + Trichoderma × الإعداء بالمجموعات التشابكية وكانت أفضل المعاملات هي Rizolex + Trichoderma × AG3 R. بمتوسط وزن درنات بلغ 22.81 غ وأسوأها معاملة Rizolex + Trichoderma × AG3 P. بمتوسط وزن درنات بلغ 1.02 غ (جدول 44).

جدول 44: متوسط وزن الدرنات بالغرام من النباتات المعاملة باستخدام المكافحة الكيميائية والأحيائية مع الأخذ بعين الاعتبار العزلة التشابكية

جدول المتوسطات للمجموعات التشابكية

Trchdrn_Rzlx	غير معامل	معامل
AG3	*2.70574 ^{bcde}	11.0863 ^{ab}
AG3 P.	7.02159 ^{bcd}	1.01539 ^{bcdef}
AG3 R.	9.14256 ^{bc}	22.8095 ^a
L.S.D. _{0.05} = 11.30; C.V.= 6.3%		

* المتوسطات المتبوعة بأحرف متشابه عمودياً لا يوجد فروق معنوية فيما بينها.

عدد الدرنات:

أظهرت نتائج التجربة وجود تباين في عدد الدرنات، وبين التحليل الإحصائي وجود فروق ظاهرية غير معنوية ($F_{pr} = 0.785$) في عدد الدرنات (جدول 45).

جدول 45: متوسط عدد الدرنات بالغرام من النباتات المعاملة باستخدام المكافحة الكيميائية والأحيائية مع الأخذ بعين الاعتبار العزلة التشابكية المستخدمة في الإعداد

جدول المتوسطات للمجموعات التشابكية

Trchdrm_Rzlx	غير معاملة	معاملة
AG3	2.41652	1.96741
AG3 P.	2.50259	0.990058
AG3 R.	1.99499	1.48154
L.S.D. _{0.05} = 3.131; C.V. = 4.0%		

المعاملة السادسة (المكافحة الأحيائية باستخدام البكتيريا *Bacillus subtilis*):

أدى استخدام البكتيريا *Bacillus subtilis* على النباتات المعدة بالعزلتين AG3 و AG3 R إلى عدم إصابة المنطقة التاجية، في حين ظهر مرض القشرة السوداء على الدرنات الأم والدرنات الناتجة ونسبة 90 %، كما هو موضح في الجدول (46).

جدول 46: نتائج تأثير المكافحة الأحيائية باستخدام البكتيريا *Bacillus subtilis* في عزلات المجموعة التشابكية AG3 وضمن ظروف الدفيئة الزجاجية

المعاملة الثامنة *Bacillus subtilis* × *Rhizoctonia*

المجموعة التشابكية	التفاعل مع الصنف القابل للإصابة	التفرح/ مم
AG3	تفرح المدادات+الجذر + أجسام حجرية على الدرنات الأم والناتجة 90%	تفرح المدادات 7 مم
AG3 R	تفرح المدادات+الجذر + أجسام حجرية على الأم 90%	تفرح المدادات 1 مم

وزن الدرنات:

أظهرت نتائج تجربة المكافحة الأحيائية للنباتات المعدة بعزلتي AG3 R و AG3 R للفطر *solani* باستخدام البكتيريا *Bacillus subtilis* وجود تباين في وزن درنات النباتات المعاملة، وبين التحليل الإحصائي وجود فروق عالية المعنوية ($F_{pr} = 0.011$)، حيث تفوقت المعاملة بالبكتيريا على معاملة الشاهد بفارق معنوي بقطع النظر عن العزلة التشابكية (جدول 47).

جدول 47: متوسط وزن الدرنات بالغرام نتيجة استخدام المكافحة الأحيائية باستخدام البكتيريا *Bacillus subtilis* بغض النظر عن العزلة التشابكية

جدول المتوسطات للعزلات التشابكية

معامل	غير معامل	Bctr
17.954 ^a	*6.86223 ^b	
L.S.D. _{0.05} = 9.77; C.V. = 8.2%		

وبالنسبة للتأثر ما بين معاملة البكتيريا × العزلات التشابكية، بين التحليل الإحصائي وجود فروق ظاهرية غير معنوية ($F_{pr} = 0.482$) بين المعاملات، وكانت أفضل المعاملات هي معاملة البكتيريا × AG3 R. بمتوسط وزن درنات بلغ 22.73 غ وأسوأها معاملة الشاهد AG3 بمتوسط وزن درنات بلغ 2.25 غ (جدول 48).

جدول 48: متوسط وزن الدرنات بالغرام نتيجة استخدام المكافحة الأحيائية مع الأخذ بعين الاعتبار العزلات التشابكية

جدول المتوسطات للعزلات التشابكية

معامل	غير معامل	Bctr
13.1739 ^{ab}	*2.24616 ^{bcd}	AG3
22.7341 ^a	11.4783 ^{abc}	AG3 R
L.S.D. _{0.05} = 13.81; C.V. = 8.2%		

* المتوسطات المتنوعة بأحرف متشابهة عمودياً أو أفقياً لا يوجد فروق معنوية فيما بينها.

عدد الدرنات:

أظهرت نتائج التجربة أيضاً وجود تباين في عدد الدرنات، وبين التحليل الإحصائي وجود فروق معنوية ($F_{pr} = 0.027$) في عدد الدرنات فيما بين معاملة البكتيريا والشاهد، حيث تفوقت

معاملة البكتيريا على الشاهد واستطاعت أن تحد من تأثير الممرض في تخفيض عدد الدرنات (جدول 49).

جدول 49: متوسط عدد الدرنات جراء استخدام المكافحة الأحيائية باستخدام البكتيريا *Bacillus subtilis* بغض النظر عن العزلة التشابكية

جدول المتوسطات للعزلات التشابكية

Bctr	غير معاملة	معاملة
	2.13469 ^b	4.103685 ^a
L.S.D. _{0.05} = 1.714; C.V.= 3.5%		

* المتوسطات المتبوعة بأحرف متشابهة عمودياً لا يوجد فروق معنوية فيما بينها.

وبين التحليل الإحصائي أيضاً وجود فروق ظاهرية غير معنوية ($F_{pr} = 0.369$) فيما بين معاملة البكتيريا × معاملة المجموعات التشابكية (جدول 50).

جدول 50: متوسط عدد الدرنات نتيجة استخدام المكافحة الأحيائية مع الأخذ بعين الاعتبار العزلة التشابكية المستخدمة في الإعداد

جدول المتوسطات للعزلات التشابكية

Bctr	غير معاملة	معاملة
AG3	2.27439 ^{abc}	3.55189 ^{ab}
AG3 R	1.99499 ^{bcd}	4.65548 ^a
L.S.D. _{0.05} = 2.424; C.V.= 3.5%		

* المتوسطات المتبوعة بأحرف متشابهة عمودياً أو أفقياً لا يوجد فروق معنوية فيما بينها.

حيث أدى استخدام البكتيريا *B. subtilis* إلى زيادة في وزن الدرنات وعددها بغض النظر عن المجموعة التشابكية، وبفروق معنوية، في حين لم يكن له دور معنوي عند الأخذ بعين الاعتبار للمجموعة التشابكية.

المعاملة السابعة (المكافحة الأحيائية باستخدام *Trichoderma sp* & *Bacillus subtilis* مع الصنف بينيلا):

أدت إضافة البكتيريا والفطر التضادي كعنصري مكافحة أحيائية، إلى إصابة المدادات والجذر، وأصيبت الدرنه الأم والدرنات الناتجة بمرض القشرة السوداء، ولكن لم تظهر الإصابة على التاج وهذا موضح في الجدول (51).

جدول 51: نتائج تأثير المكافحة الأحيائية باستخدام البكتيريا *Bacillus subtilis* والفطر *Trichoderma sp.* في المجموعة التشابكية AG3 ضمن ظروف الدفيئة الزجاجية

المعاملة Rhizoctonia × Bacteria × Trichoderma		
المجموعة التشابكية	التفاعل مع الصنف القابل للإصابة	التقترح/ مم
AG3	المدادات+ الجذر + مرض القشرة السوداء على الدرنات الأم والناتجة	تقترح المدادات 5 مم
AG3 R	المدادات+ الجذر +مرض القشرة السوداء على الدرنه الأم والناتجة	تقترح التاج 1مم/15 مم على المدادات

وزن الدرنات:

أظهرت نتائج تجربة المكافحة الحيوية للنباتات المعدة بالعزلتين التابعتين للمجموعة التشابكية AG3 للفطر *R. solani* وهما AG3 و AG3 R باستخدام الفطر *Trichoderma sp.* مع البكتيريا *B. subtilis* وجود تباين في وزن درنات النباتات المعاملة، وبين التحليل الإحصائي وجود فروق عالية المعنوية ($F_{pr} < 0.001$) في وزن الدرنات فيما بين معاملة البكتيريا مع الفطر *Trichoderma* والشاهد بقطع النظر عن العزلتين المستخدمتين، حيث تفوقت معاملة البكتيريا مع الفطر *Trichoderma* على الشاهد بفارق عالي المعنوية واستطاعت هذه المعاملة أن تحد من تأثير الممرض في تخفيض وزن درنات النبات المعامل (جدول 52).

جدول 52: متوسط وزن الدرنات بالغرام نتيجة استخدام المكافحة الأحيائية باستخدام البكتيريا *Bacillus subtilis* والفطر *Trichoderma sp* بغض النظر عن عزلة المجموعة التشابكية المستخدمة في الإعداد.

جدول المتوسطات لعزلات المجموعة التشابكية

Bctr_Trichoderma	غير معاملة	معاملة
	*6.86223 ^b	23.05414 ^a
L.S.D. _{0.05} = 6.57; C.V.= 4.9%		

* المتوسطات المتوقعة بأحرف متشابهة أفقياً لا يوجد فروق معنوية فيما بينها.

وبين التحليل الإحصائي وجود فروق ظاهرية غير معنوية ($F_{pr} = 0.086$) فيما بين معاملة البكتيريا مع الفطر *Trichoderma* × المجموعات التشابكية جدول (53).

جدول 53: متوسط وزن الدرنات بالغرام نتيجة استخدام المكافحة الأحيائية باستخدام البكتيريا *Bacillus subtilis* والفطر *Trichoderma sp* مع الأخذ بعين الاعتبار عزلات المجموعة التشابكية

جدول المتوسطات لعزلات المجموعة التشابكية

Bctr_Trchdrn	غير معاملة	معاملة
AG3	2.24616 ^{bcd}	8.79317 ^{bc}
AG3 R	11.4783 ^b	37.3151 ^a
L.S.D. _{0.05} = 9.29; C.V.= 4.9%		

* المتوسطات المتوقعة بأحرف متشابهة عمودياً أو أفقياً لا يوجد فروق معنوية فيما بينها.

عدد الدرنات:

أظهرت نتائج التجربة وجود تباين في عدد الدرنات، وبين التحليل الإحصائي وجود فروق ظاهرية غير معنوية ($F_{pr} = 0.81$) في عدد الدرنات فيما بين معاملة البكتيريا مع الفطر *Trichoderma* × معاملات المجموعات التشابكية (جدول 54).

جدول 54: متوسط عدد الدرنات. نتيجة استخدام المكافحة الأحيائية باستخدام البكتيريا *Bacillus subtilis* والفطر *Trichoderma sp* في عزلي المجموعة التشابكية AG3 المستخدمة في الإعداد.

جدول المتوسطات لعزلي المجموعة التشابكية

Bctr_Trchdrn	غير معاملة	معاملة
AG3	2.27439	4.09289
AG3 R	1.99499	3.27394
L.S.D. _{0.05} = 3.996; C.V.= 5.5%		

المعاملة الثامنة: قابلية إصابة بعض أصناف البطاطا بالمجموعة AG3 للفطر *R. solani*

اختبرت قابلية ثلاثة أصناف من البطاطا (بينيللا وسبونتا ودرجا) للإصابة بالمجموعة AG3، وقد ظهر مرض القشرة السوداء على درنات الأصناف الثلاثة، وكان تقرح التاج أكبر عند الصنف درجا من الصنفين الآخرين ووصل حتى 20 مم، في حين كان تقرح المدادات أعلى عند الصنف بينيللا وبلغ 5 مم. وهذا مبين في الجدول (55).

جدول 55: نتائج حساسية الأصناف الثلاث (بينيللا-سبونتا- درجا) للمجموعة التشابكية AG3 ضمن ظروف الدفيئة الزجاجية

الأصناف	التفاعل مع الصنف	التقرح / سم
سبونتا	تقرح التاج + مدادات + الجذر + القشرة السوداء	تراوح تقرح التاج من 1-10 مم / 1 مم على المدادات
درجا	تقرح التاج + مدادات + الجذر + القشرة السوداء	تراوح تقرح التاج من 1-20 مم / 1 مم على المدادات
بينيللا	تقرح التاج + مدادات + الجذر + القشرة السوداء	تقرح التاج 2 مم / 5 مم على المدادات

وزن الدرنات:

أظهرت النتائج وجود تباين في وزن درنات الأصناف المختبرة المعدة بالمجموعة AG3 للفطر *R. solani*، وبين التحليل الإحصائي وجود فروق معنوية ($F_{pr} = 0.023$) في وزن الدرنات فيما بين الأصناف المختبرة، حيث تفوق الصنف سبونتا بمتوسط وزن درنات بلغ 45.21 غ على الصنف بينيللا (11.48 غ) بفارق عالي المعنوية، وتفوق الصنف درجا (39.66 غ) على الصنف بينيللا بفارق ظاهري ولم يكن هناك فرق معنوي بين الصنفين سبونتا ودرجا جدول (56).

جدول 56: متوسط وزن الدرنات بالغرام لأصناف البطاطا (بينيللا، سبونتا، درجا) المعدة بالمجموعة التشابكية AG3

الصفة	وزن الدرنات/غ
درجا	39.6592 ^{ab}
بينيللا	11.4783 ^{bc}
سبونتا	45.2077 ^a

L.S.D._{0.05} = 29.64; C.V.= 7.3%

* المتوسطات المتوقعة بأحرف متشابهة عمودياً لا يوجد فروق معنوية فيما بينها.

عدد الدرنات:

أظهرت النتائج وجود تباين في عدد درنات الأصناف المختبرة إزاء الممرض *R. solani*، وبين التحليل الإحصائي وجود فروق معنوية ($F_{pr} = 0.021$) في عدد الدرنات فيما بين الأصناف المختبرة. حيث تفوق الصنف سبونتاً بمتوسط عدد درنات بلغ 6.52 درنة/النبات على الصنف بينيلا (1.99 درنة/النبات) بفارق عالي المعنوية وتفوق الصنف دراجا (4.66 درنة/النبات) على الصنف بينيلا بفارق ظاهري ولم يكن هناك فرق معنوي بين الصنفين سبونتاً ودراجا (جدول 57).

جدول 57: متوسط عدد الدرنات لأصناف البطاطا (بينيلا، سبونتاً، دراجا) المعدة بالمجموعة التشابكية AG3

الصفة	عدد الدرنات
دراجا	4.65548 ^{ab}
بينيلا	1.99499 ^{bc}
سبونتاً	6.51962 ^a

L.S.D._{0.05} = 3.023; C.V. = 3.1%

* المتوسطات المتوقعة بأحرف متشابهة عمودياً لا يوجد فروق معنوية فيما بينها.

تفوق الصنفان سبونتاً ودراجا على الصنف بينيلا، ولكن لم تكن هناك فروق معنوية بين الصنف دراجا وبينيلا من حيث الزيادة في وزن الدرنات. أيضاً تفوق الصنفان سبونتاً ودراجا على الصنف بينيلا في عدد الدرنات، ولكن لم تكن هناك فروق معنوية بين الصنف دراجا وبينيلا من حيث الزيادة في عدد الدرنات.

4 المناقشة

- المعاملة الأولى (القدرة الإمراضية للمجموعات التشابكية ضمن ظروف الدفيئة الزجاجية): تباينت المجموعات التشابكية في مكان الإصابة التي أحدثتها على نبات البطاطا، وهذا ما أكدته أيضاً Lehtonen ورفاقه (2008) في حقول البطاطا في فنلندا، كما أظهرت عدة تجارب حقلية وفي الدفيئة الزجاجية تباين القدرة الإمراضية ونمط المرض فيما بين المجموعات التشابكية المختلفة AGs لللفطر *R. solani*، إذ تطور مرض تقرح الساق والمدادات بشدة عالية، على سبيل المثال، على النباتات المعدة بعزلة مفردة من المجموعة AG3 PT والمجموعة AG5. وتطور مرض تقرح الجذور بشدة عالية على نباتات معدة بعزلات مفردة من المجموعة AG8 وبامتداد أقل من المجموعة AG3 PT (Woodhall et al., 2008). فهناك مجموعة أحدثت إصابة على الجذر فقط مثل AG8،

وهذا يتفق مع النتائج التي حصل عليها (Carling & Leiner, 1990a)، اللذين بينا أن هذه المجموعة تحدث تعفن الجذور في المناطق الجافة لإنتاج الحبوب (Jaaffar *et al.*, 2010)، وتهاجم المجموعة AG8 جذور البطاطا وهذا يؤدي إلى الذبول، وقلة المجموع الخضري (Truter & Wehner, 2004). كما أحدثت المجموعتين AG2-2، AG4HGII تشوهاً لشكل الدرنات الناتجة وأحدثتا أعراضاً شبيهة بالجرب، وهذا ما أكده Bienkowski. ورفاقه (2010) من أن الفطر *R. solani* يخفض القيمة التسويقية للدرنات الحديثة، أيضاً أكد Boucek-Mechiche ورفاقه (2000) أن الفطر *R. solani* يحدث أعراضاً مشابهة لأعراض الإصابة بالجرب. أكدت أبحاث عدة عزل *R. solani* من الأجسام الحجرية التابعة للمجموعة AG2-1 (Truter & Wehner, 2004; Woodhall *et al.*, 2007) وتأتي هذه النتيجة مؤيدة للنتائج المتحصل عليها خلال هذا البحث، حيث أمكن عزل *R. solani* من الأجسام الحجرية على الدرنات الناتجة والمعدة بهذه المجموعة التشابكية.

يبين هذا البحث وضمن ظروف الدفيئة الزجاجية أن المجموعة التشابكية AG3 هي المجموعة الأكثر شراسة مقارنة بغيرها من المجموعات التشابكية على البطاطا، وهذا يتفق مع دراسات سابقة نفذت ضمن ظروف الدفيئة الزجاجية (Yanar *et al.*, 2005; Abd-Elsalam *et al.*, 2009)، وكانت المجموعة التشابكية AG3 المجموعة الأكثر تأثيراً في خفض وزن الدرنات مقارنة بالمجموعات التشابكية الأخرى، بالإضافة إلى مساهمتها في خفض عدد الدرنات، والتأثير في شكل الدرنات، وهذا ما أكدته دراسة سعودية أشارت إلى أن معظم عزلات *R. solani* التابعة للمجموعة التشابكية AG3 سببت خسارة في الغلة وجودة الدرنات (Abd-Elsalam *et al.*, 2009). وأظهرت تجربة الدفيئة الزجاجية أن المجموعة AG5 هي المجموعة الثانية من حيث الخطورة على البطاطا بعد المجموعة AG3 من حيث خفض وزن الدرنات، حيث أثبتت دراسات أن المجموعة AG5 تسبب تعفن الساق والجذر على البطاطا ولكن شدة الإصابة تكون أقل من AG3 (Sneh *et al.*, 1991; Carling & Sumner, 1992).

يعود السبب في كون AG3 هي الأكثر شيوعاً على البطاطا، إلى قدرتها على تشكيل الأجسام الحجرية على الدرنات، وبالتالي فإن AG3 هي المجموعة الأكثر كفاءة في تشكيل الأجسام الحجرية على الدرنات مقارنة مع المجموعات الأخرى مثل AG2-1 وAG5. بالإضافة إلى طبيعة AG3 المتخصصة بشكل كبير على البطاطا (AG3P)، وفي حال غياب هذا العامل، تقل كثافتها بسرعة وقد تزول نهائياً (Lehtonen, 2009). وتعتمد القدرة على تشكيل الأجسام الحجرية على العوامل البيئية ومدى استجابة العامل، وليس على شراسة العزلة (Chand & Logan, 1983). أي قد يحدث تخصص المجموعات التشابكية على عوائل محددة (Grosch *et al.*, 2004). وتبعاً لـ (Dijst, 1988;

(1990)، فإن تشكل الأجسام الحجرية يعتمد على مرحلة نضج الدرنات الناتجة، نتيجة إطلاق غاز CO₂ خلال تنفس النبات، والذي يستخدم كمادة كيميائية ضد تشكل هذه الأجسام. ولكن مع زيادة سطح الدرنات، وضعف الارتباط بين الدرنات المتشكلة والنبات الأم، تقل كمية المواد الكيميائية المتطايرة تحت التربة، وبالتالي لا تستطيع منع الفطر من تشكيل الأجسام الحجرية.

من المعروف أن الفطر يشكل الأجسام الحجرية في أواخر الموسم، أو عندما تضي الظروف غير ملائمة. وعلى الرغم من التحكم بدرجة حرارة الدفيئة الزجاجية، إلا أن الصيف المنصرم (صيف 2010) شهد ارتفاع درجة الحرارة أعلى من 55°س، ولا بد من أن يكون لذلك تأثير في درجة حرارة الدفيئة الزجاجية. وقد أسهم ارتفاع درجات الحرارة في تشكل الأجسام الحجرية على الدرنات.

المعاملة الثالثة المكافحة الكيميائية (Chemical control):

كان للمبيد دور في المكافحة، وكان له دور معنوي في زيادة متوسط وزن الدرنات عند الإعداء بالعزلة AG3R، وهناك دراسة تؤكد أنه ليس من الضروري أن تكون المبيدات الكيميائية فعالة، وبخاصة عندما يكون مستوى اللقاح الأولي عالياً، ويكون مصدر اللقاح من التربة (Tsrer & Peretz-Alon, 2005).

أدى استخدام المبيد إلى عدم تشكل الأجسام الحجرية على الدرنات الناتجة، باستثناء مكرر واحد فقط معدى بالعزلة AG3P عند التركيز الأدنى، وتأتي هذه النتيجة متوافقة مع نتائج Wicks ورفاقه (1995) التي أشارت إلى أن استخدام المبيد methyl tolclofos ومبيدات أخرى كان لها دور كبير في تقليل نسبة الأجسام الحجرية المتشكلة على درنات البطاطا الناتجة. وتبين خلال تجربة المكافحة الكيميائية ضمن ظروف المختبر، أن معدل نمو AG3P كان أسرع من معدل نمو العزلتين AG3، AG3R، ولم يسمح المبيد بنمو العزلتين AG3، AG3R، في حين نمت العزلة AG3P، وهذه دلالة على أن العزلة AG3P هي الأكثر ضرراً على البطاطا مقارنة مع العزلتين AG3، AG3R.

المعاملة الرابعة (المكافحة الأحيائية باستخدام *Trichoderma* sp):

وجد أن لإضافة الفطر *Trichoderma* sp. دور في زيادة وزن الدرنات بوجود المجموعتين AG3، AG3R، في حين لم يؤثر الفطر التضادي في خفض وزن الدرنات بوجود المجموعة AG3P، ويعزى السبب في ذلك إلى أن AG3P هي العزلة الأشرس والمتخصصة على البطاطا. وربما يعود

سبب التأثير الأكبر للمجموعة AG3R بالفطر التضادي عائد لكون كليهما معزول من تربة سورية، أي المصدر واحد، وأكدت دراسة بأن عزلة واحدة من الكائن المضاد (*Trichoderma sp*) قد تؤثر بشكل كبير ومعنوي في عزلة *R. solani*، ولكن قد يكون تأثيرها محدود في العزلات الأخرى للفطر *R. solani* (Bell et al., 1982). كما أكد Breweer & Larkin (2005) دور بعض المستحضرات التجارية مثل (*Trichoderma virens* (SoilGard) و (*T. harzianum* (RootShield) في مكافحة *R. solani* ضمن ظروف الدفيئة الزجاجية. وفي دراسة أجراها Wilson ورفاقه (2008a) أن إضافة *Trichoderma spp* مثل *Trichoderma harzianum* مع الفطر *Gliocladium virens* كان له دور في منع أو تقليل نسبة الإصابة بـ *R. solani* تحت ظروف الدفيئة الزجاجية أو الحقل. وتأتي هذه النتائج مؤيدة لنتائج (Lahlali & Hijri, 2010) اللذين أثبتا مساهمة كل من *T. atroviride* و *Epicoccum nigrum* في تحسين إنتاجية البطاطا ضمن ظروف الدفيئة الزجاجية. وفي دراسة أنجزت في جامعة عين شمس بمصر بعد تنمية الفطر *T. viride* على وسط ديكستروز البطاطا السائل (PDB) عند 27°س لمدة 7 أيام، أخذ جزء من الوسط وعقمت الرشاحة بتمريرها عبر فلتر 0.45 ميكرومتر μm ، وكان للراشح دور في إيقاف مرض الذبول المتسبب عن *R. solani* على نبات الخيار وذلك تحت ظروف الدفيئة الزجاجية (Roberts et al., 2005). ووجد أن الأنواع التابعة للفطر *Trichoderma* لها القدرة على حماية النباتات من العدوى التي يسببها *R. solani* وذلك بإنتاج مضادات حيوية، ومواد كيميائية مضادة للفطر وأنزيمات الحلمة (Verma et al., 2007). وأدى استخدام الفطر *Trichoderma viride* وضمن تجربة الدفيئة الزجاجية دوراً في زيادة عدد ووزن الدرنات (Mohammed et al., 2008).

وبشكل عام يتم الإخماد الأكبر للفطر *R. solani* في الترب الحاوية على مستوى عالٍ من مجتمعات *Trichoderma spp* والتي قد تكون من الفطور المتطفلة ذات قدرة تضادية عالية (Chet and Baker, 1981).

• المعاملة الخامسة (المكافحة الكيميائية باستخدام tolclafos methyl والأحيائية باستخدام *Trichoderma sp*):

أدى إضافة عنصر مكافحة معاً إلى عدم إصابة الدرنات الناتجة بمرض القشرة السوداء، وبالتالي الحصول على تقاوي نظيفة، وتشير دراسات حديثة أن وجود توليفة من المكافحة الكيميائية ومعاملة التضاد الحيوي antagonist treatment يمكن أن يحمي محصول البطاطا خلال موسم النمو

(Wilson et al., 2008b). ويمكن تطبيق عناصر مكافحة الحيوية مع المكافحة الكيميائية، أو كل على حدا (Duffy, 2000; Wilson et al., 2008b).

المعاملة السادسة (المكافحة الأحيائية باستخدام البكتيريا *Bacillus subtilis*):

أدت إضافة البكتيريا *Bacillus subtilis* إلى زيادة في وزن الدرنات وعددها ولكن بشكل غير معنوي، وقد يعود عدم كفاءة البكتيريا بشكل فعال في الدفيئة الزجاجية، كونها كانت معزولة من سنة وتم حفظها في المجمدة، وبالتالي يمكن أن تكون قد فقدت جزءاً من حيويتها. خلافاً لما أبدته في ظروف المختبر. وقد بينت دراسات سابقة أن هناك حوالي 28 نوعاً من الكائنات الحية ذات تأثير في المرض المدروس على محصول البطاطا خلال عدة تجارب نفذت ضمن الدفيئة الزجاجية ومنها: *Paenibacillus polymyxa*، و *Pseudomonas fluorescens*، و *Rhizoctonia zeae*، و *Verticillium biguttatum*، بالإضافة إلى مستحضرات تجارية من *Bacillus subtilis* (Kodiak). (Brewer & Larkin, 2005). عزيت قدرة *Bacillus subtilis* BR23 في إخماد الذبول، إلى إنتاج البكتيريا للمضادات الحيوية، ومن المحتمل أن ينسب دور السلالة *B. subtilis* QST 713 في مكافحة فطور معينة إلى المنافسة على الغذاء، ومواقع النمو على النباتات، واستعمارها والتصاقها المباشر على الفطور الممرضة (Muis & Quimio, 2006).

المعاملة السابعة المكافحة الأحيائية باستخدام (*Trichoderma sp* & *Bacillus subtilis*) مع الصنف بنيل

تتوافق نتائج الدراسة الحالية مع نتائج تشير إلى أن وجود *Bacillus subtilis* و *Trichoderma virens* معاً قد أسهما نوعاً ما في مكافحة التقرح التاجي بشكل أكثر فاعلية من المعاملة بكل منهما على حدا (Brewer et al., 2005). كما وجد أن تطبيق مستحضرات تجارية حاوية على أبواغ *Trichoderma harzianum* مع *Bacillus subtilis* له دور كبير في تثبيط نمو ممرضات النبات (El-Habbaa et al., 2002).

المعاملة الثامنة حساسية الأصناف:

أبدت الأصناف المختبرة قابلية إصابة مختلفة إزاء المجموعة AG3، ولكنها أصيبت جميعاً بالفطر المدروس حالما توافرت الظروف الملائمة لنمو الفطر وتطوره، وبالتالي لا توجد أصناف مقاومة لهذا الفطر. وتتوافق نتائج الدراسة أيضاً من أن هناك مدى واسع في قابلية إصابة أصناف البطاطا بالفطر *R. solani*، ولكن لا توجد أصناف مقاومة للفطر المذكور مع نتائج دراسات أخرى

(Jeger *et al.*, 1996; Bains *et al.*, 2002). وتبقى النتائج غامضة ولا توجد تقارير متاحة عن استجابات البطاطا للإعداد بالفطر *R. solani* (Lee *et al.*, 2006).

الفصل السابع

الاستنتاجات والتوصيات

CONCLUSIONS الاستنتاجات

1. التفريح التاجي ومرض القشرة السوداء الذي يحدثه الفطر *R. solani* من الأمراض المهمة على البطاطا، وينتشر في جميع مناطق زراعة البطاطا في سورية، وتختلف أعراض الإصابة والشدة المرضية باختلاف المجموعة التشابكية المنتمية إليها. وليس للمنشأ الجغرافي للعائل أو المجموعة التشابكية دور في ذلك.
2. زراعة درنات أم مصابة لا تؤدي بالضرورة إلى إصابة الدرنات الناتجة بمرض القشرة السوداء، وكذلك فإن زراعة درنات أم سليمة لا تؤدي بالضرورة إلى إنتاج درنات سليمة.
3. تقطيع الدرنات أثناء الزراعة كان له دور في إصابة النباتات بأمراض عديدة ومنها مرض القشرة السوداء.
4. أمكن لأول مرة في سورية تحديد المجموعات التشابكية التي تنتمي لها العزلات السورية، ومعرفة المجموعة التشابكية السائدة والأكثر ضرراً بالبطاطا.
5. معظم العزلات السورية تنتمي للمجموعة AG3، بالإضافة للمجموعة AG1.
6. وجود بعض العزلات السورية التي أحدثت تشابكاً مع أكثر من مجموعة تشابكية.
7. جميع المجموعات التفريقية الموجودة أحدثت إصابة على البطاطا على الصنف بينيلا ضمن ظروف المختبر والدفئة الزجاجية.
8. الاختلاف في الأعراض التي أحدثتها المجموعات التشابكية ضمن ظروف المختبر عن تلك التي أحدثتها في الدفئة الزجاجية.
9. تحتل المجموعة AG5 موقع المجموعة التشابكية الثانية الأكثر ضرراً على البطاطا بعد المجموعة AG3 ضمن ظروف الدفئة الزجاجية على الصنف بينيلا.
10. نسبة تغطية سطح الدرنه بالأجسام الحجرية كانت أكثر عند AG3 مقارنة مع AG3P ضمن ظروف الدفئة الزجاجية على الصنف بينيلا.
11. النوع *Bacillus subtilis* المعزول من التربة السورية كان له تأثير تضادي في المجموعة التشابكية AG3 ضمن ظروف المختبر.
12. جميع الأصناف قابلة للإصابة بالمرض المدروس في حال توافر الظروف الملائمة لتطور المرض، مع وجود اختلاف في قابلية الأصناف للإصابة بالفطر المدروس، وعدم وجود أصناف مقاومة له.

13. وجد أن صنف البطاطا سيونتا كان أقل قابلية للإصابة من الصنفين دراجا وبينيلا وذلك تحت ظروف الدفيئة الزجاجية.

التوصيات والمقترحات SUGGESTIONS

1. توسيع دائرة المسح الحقلية لتشمل كافة مناطق زراعة البطاطا في سورية سواء المروية أو البعلية كمحافظتي طرطوس واللاذقية.
2. استخدام بذار سليم خال من الأجسام الحجرية، وتجنب الري الزائد، ومعرفة الإحتياجات المائية لكل صنف، وضرورة تطبيق الدورة الزراعية.
3. معرفة المجموعة التشابكية السائدة والأخذ بعين الإعتبار اختلاف حساسية المجموعات للمبيدات المستخدمة.
4. تحديد المورث المسؤول عن إحداث مرض القشرة السوداء والتفرح التاجي على البطاطا باستخدام التقانات الحيوية.
5. استخدام مجموعات تشابكية أخرى لمعرفة العزلات التي لم تعرف مجموعتها التشابكية.
6. معرفة أنواع الفطر *Trichoderma spp*. المتسمة بتأثير تضادي وإدخالها ضمن برامج مكافحة.
7. عدم التأخر في الحصاد، حتى لا يصبح المحصول عرضة للإصابة بالعديد من الممرضات وبخاصة بمرض القشرة السوداء، والأمراض البكتيرية.
8. البحث عن أصناف مقاومة لهذا المرض، وبخاصة في مرحلة البادرة لأنه يسبب مشكلة هامة.
9. ضرورة تطبيق الدورة الزراعية لتقليل كمية اللقاح في التربة، كون الفطر يمتلك مجالاً عوائلياً واسعاً.

المراجع References:

- الورع، حسان. 1977. محاصيل الخضر، مديرية الكتب والمطبوعات، جامعة حلب. 642 صفحة.
- فريد، خوري؛ بلال، مصطفى؛ الروح، ليلي؛ رياض، ناهد. 1974. حصر الأمراض النباتية، نشرة رقم 55، مديرية الشؤون الزراعية، الإرشاد الزراعي، سورية. 29 صفحة.
- خليفة، محمد. 2006. مرض تعفن الجذور الشائع على القمح في سورية والتباين الوراثي ضمن *Fusarium* spp كأحد مسبباته الرئيسية، رسالة دكتوراة، كلية الزراعة، جامعة حلب، سورية. 83 صفحة.
- Abd-Elsalam, K.A., Moslem, M. A. & Bahkali, A. H. 2009.** First morpho-molecular identification of *Rhizoctonia solani* AG-7 from potato tuber-borne sclerotium in Saudi Arabia. *African Journal of Microbiology Research*, Vol. 3(12): 952-956.
- Abe, H., Tsuboki, K. 1978.** Anastomosis groups of isolates of *Rhizoctonia solani* Kühn from potatoes. *Bulletin of Hokkaido Prefectural Agricultural Experiment Station*, 40:61-70.
- Agarwal, M., Shrivastava, N. & Padh, H. 2008.** Advances in molecular marker techniques and their applications in plant sciences. *Plant Cell Reports*. 27: 617-631.
- Anderson, N. A. 1977.** Evaluation of the *Rhizoctonia* complex in relation to seedling blight of flax. *Plant disease Reporter*, 61:140-143.
- Anderson, N. A. 1982.** The Genetics and Pathology of *Rhizoctonia solani*. *Annual Revue of Phytopathology*, 20: 329-347.
- Anderson, J. R., Bentley, S., Irwin, J. A. G., Mackie, J. M., Neate, S. & Pattemore, J. A. 2004.** Characterisation of *Rhizoctonia solani* causing root canker of Lucerne in Australia. *Australasian Plant Pathology*, 33:241-247.
- Anguiz, R. & Martin, C. 1989.** Anastomosis groups, pathogenicity and other characteristics of *Rhizoctonia solani* isolated from potatoes in Peru. *Plant Disease*, 73: 199-201.

Anon, 2001. European Cultivated Potato Database.
<http://194.128.220.6/web0/aweb/database.htm>

Asaka, O & Shoda, M. 1996. Biocontrol of *Rhizoctonia solani* damping-off of tomato with *Bacillus subtilis* RB14. *Applied Environmental Microbiology*, 62: 4081-4085.

Asran, A. A., Abd-Elsalam, K. A., Omar, M. R. & Aly, A. A. 2005. Antagonistic potential of *Trichoderma* spp. against *Rhizoctonia solani* and use of M13 microsatellite-primed PCR to evaluate the antagonist genetic variation *Journal of Plant Diseases and Protection*, 112 (6): 550–561.

Bains, P.S., Bennypaul, H.S., Lynch, D.R.; Kawchuck, L.M.& Schaupmeyer, C.A.2002. Rhizoctonia Disease of Potatoes(*Rhizoctonia solani*): Fungicidal Efficacy and Cultivar Susceptibility. *American Journal of Potato Research*, 79: 99-106.

Bains ,P.S.& Bisht, V.S. 1995. Anastomosis group identity and virulence of *Rhizoctonia solani* isolates collected from potato plants in Alberta, Canada. *Plant Disease*, 79, 241-242.

Baker, K.F. 1970.. Types of *Rhizoctonia* diseases and their occurrence. In Parameter, J.R Jr (ed.). *Rhizoctonia solani*, Biology and Pathology (pp 125-148) University of California Press, Berkeley.

Balali ,G. R., Neate, S. M., Scott, E. S., Whisson, D. L.& Wicks, T. J. 1995. Anastomosis group and pathogenicity of isolates of *Rhizoctonia solani* from potato crops in South Australia. *Plant Pathology*,44: 1050-1057.

Balali, G. R., Whisson, D. L., Scott, E. S. & Neate, S. M. 1996. DNA fingerprinting probe specific to isolates of *Rhizoctonia solani* AG-3. *Mycological Research*, 100(4):467-470.

Bandy, B. P., Zanziger, D. H. & Tavantzis, S. M. 1984. Isolation of anastomosis group 5 of *Rhizoctonia solani* from potato field soils in Maine. *Phytopathology*, 74: 1220-1224.

Banville, G. J. 1989. Yield losses and damage to potato plants caused by *Rhizoctonia solani* Kühn. *American Potato Journal*, 66: 821-834.

Banville, G. J., Carling, D. E. & Otrysko, B. E. 1996. *Rhizoctonia* disease on potato. In: Sneh, B., Jabaji-Hare, S., Neate, S. and Dijst, G. (Eds.) *Rhizoctonia* Species: Taxonomy, Molecular Biology, Ecology, Pathology and Disease Control. Kluwer Academic Publishers, Dordrecht, the Netherlands. pp. 321-330.

Bateman, D. F. 1962. Relation of soil pH to development of Poinsettia root rots. *Phytopathology*, 52: 559-566.

Bell, D. K., Wells, H. D., Markham, C. R. 1982. *In vitro* antagonism of *Trichoderma* species against six fungal plant pathogens. *Phytopathology*, 72: 379-382.

Berggren, B. 1985. Lackskorv, groddbränna och filtsjuka på potatis - en litteraturoversikt över *Rhizoctonia solani*. Växtskyddsrapporter Jordbruk 38. Swedish University of Agricultural Sciences.

Bharadwaj, D. P., Lundquist, P. O. & Alstrom, S. 2007. Impact of plant species grown as monocultures on sporulation and root colonization by native arbuscular mycorrhizal fungi in potato. *Applied. Soil Ecology*, 35(1): 213-225.

Bienkowski, D., Stewart, A., Falloon, R. E., Braithwaite, M., Loguercio, L. L. & Hicks, E. 2010. A disease assay for *Rhizoctonia solani* on potato (*Solanum tuberosum*) *New Zealand Plant Protection*, 63: 133-137. http://www.nzpps.org/terms_of_use.html.

Bjørnstad, G. & Røed, K. H. 2001. Breed demarcation and potential for breed allocation of horses assessed by microsatellite markers. *Animal Genetics*, 32: 59-65.

Bochner, B.R. 1989. Sleuthing out bacterial identities. *Nature*, 339: 157-158.

Boogert, P. H., Van den, J. F. & Velvis, H. 1992. Population dynamics of the mycoparasite *Verticillium bigttatum* and its host, *Rhizoctonia solani*. *Soil Biology and Biochemistry*, 24: 157-164.

Botha, A., Denman, S., Lamprecht, S.C., Mazzola, M. & Crous, P. W. 2003. Characterisation and pathogenicity of *Rhizoctonia* isolates associated with black root rot of strawberries in the Western Cape Province, South Africa. *Australasian Plant Pathology*, 32: 195-201.

Bouchek-Mechiche, K., Pasco, C., Andrivon, D. & Jouan, B. 2000. Differences in host range, pathogenicity to potato cultivars and response to soil temperature among *Streptomyces* species causing common and netted scab in France. *Plant Pathology*, 49: 3–10.

Breweer, M.T. & Larkin, R.P. 2005. Efficacy of several potential biocontrol organisms against *Rhizoctonia solani* on potato. *Crop Production*, 24(11): 939-950.

Campion, C., Chatot, C., Perraton, B. & Andrivon, D. 2003. Anastomosis groups, Pathogenicity and Sensitivity to fungicides of *Rhizoctonia solani* isolates collected on potato crops in France. *European Journal of Plant Pathology*, 109: 983-992.

Carling, D.E.; Baird, R.E.; Gitaitis, R.D.; Brainard, K.A. & Kuninaga, S. 2002a. Characterization of AG-13, a newly reported anastomosis group of *Rhizoctonia solani*. *Phytopathology*, 92: 893-899.

Carling, D. E., Brainard, K.A., Virgen-Calleros, G. & Olade-Portugal, V. 1998. First report of *Rhizoctonia solani* AG 7 on potato in Mexico. *Plant Disease*, 82: 127.

Carling, D. E. & Leiner, R. H. 1986. Isolation and characterization of *Rhizoctonia solani* and binucleate *R. solani* like fungi from aerial stems and subterranean organs of potato plants. *Phytopathology*, 76: 725-729.

Carling, D. E. & Leiner, R. H. 1990a. Virulence of isolates of *Rhizoctonia solani* AG-3 collected from potato organs and soil. *Plant Disease*, 74: 901-903.

Carling, D. E. & Leiner, R. H. 1990b. Effect of temperature on virulence of *Rhizoctonia solani* and other *Rhizoctonia* on potato. *Phytopathology*, 80: 930-934.

Carling, D. E., Leiner, R. H. & Kebler, K. M. 1987. Characterization of new anastomosis group (AG-9) of *Rhizoctonia solani*. *Phytopathology*, 77: 1609-1612.

Carling, D. E.; Leiner, R. H. & Westphale, P. C. 1989. Symptom signs and yield reduction associated with *Rhizoctonia* disease of potato induced by tuber-borne inoculum of *Rhizoctonia solani* AG-3. *American Potato Journal*, 66: 693-702.

Carling, D. E., Meyer, L. & Brainard, K. A. 1996. Crater disease of wheat caused by *Rhizoctonia solani* AG-6. *Plant Disease*, 80:1429.

Carling, D. E. & Sumnar, D. R. 1992. *Rhizoctonia* Methods for Research on Soilborne Phytopathogenic Fungi(eds.Singleton,L.L.,Mihail,J.D & Rush,C.M), pp157-165.AmericanPhytopathological Society, St,Paul, MN, USA.

Carling, D. E., Pope, E. J., Brainard, K. A. & Carter, D. A. 1999. Characterization of mycorrhizal isolate of *Rhizoctonia solani* from an orchid, including AG12, a new anastomosis group. *Phytopathology*, 98: 942-946.

Carling, D. E., Virgen.Calleros, G. & Olalde-Portugal, V. 2000. Anastomosis groups of *Rhizoctonia solani* on potato in central México and potential for biological and chemical control. *American Potato Journal*, 77: 219-224.

Carling, D. E., Kuninga, S. & Brainard, K.A. 2002b. Hyphal anastomosis reactions, rDNA-internal transcribed spacer sequences and virulence levels among subsets of *Rhizoctonia solani* AG 2 and AG B1. *Phytopathology*, 92: 43-50. *BMC Plant Biology* 2009, **9**:95doi:10.1186/1471-2229-9-95.

Cedeno, L., Carrero, C., Quintero, k., Arouja, Y., Pino, H. & Garcia, R. 2001. Identification and virulence of anastomosis groups in *Rhizoctonia solani* Kühn associated with potato in Merida, Venzuela. *Interciencia*, 26:296-300.

Ceresini, P. 1999. *Rhizoctonia solani*.Pathogen profile, as one of the requirement of the course pp-728 Soilborne Plant Pathogens. North Carolina State University.

Ceresini, P. C., Shew, H. D., James, T. Y., Vilgalys, R. J. & Cubeta, M. A. 2007 . Phylogeography of the Solanaceae-infecting Basidiomycota fungus *Rhizoctonia solani* AG-3 based on sequence analysis of two nuclear DNA loci. *BMC Evolutionary Biology*, 7: 163-184.

Ceresini, P. C., Shew, H.D., Vilgalys, R. J. & Cubeta, M. A. 2002. Genetic diversity of *Rhizoctonia solani* AG3 from potato and tomato in North Carolina. *Mycologia*,94:437-449.

Chand, T. & Logan, C. 1983. Cultural and pathogenic variation in potato isolates of *Rhizoctonia solani* in Northren Ireland. *Transactions of the British Mycological Society*, 81:585-589.

Chang, Y. C. & Tu, C. C. 1980. Pathogenicity of different anastomosis groups of *Rhizoctonia solani* Kühn. to potato. *Journal of Agricultural Research of China*, 29: 1 (abstract).

Chet, I. & Baker, R. 1981. Isolation and biocontrol potential of *Trichoderma hamatum* from soil naturally suppressive to *Rhizoctonia solani*. *Phytopathology*,71: 286-290.

Chien, A., Edgar, D.B. & Trela, J.M. 1976. Deoxyribonucleic acid polymerase from the extreme thermophile *Thermus aquaticus*. *Journal of. Bacteriology*,**174**: 1550-1557. PMID 8432.

Coddington, A. & Gould, D. S. 1992. Use of RFLPs to identify races of fungal pathogens. In: Techniques for rapid detection of plant pathogens. Ducan, J. M. & Torrance (Eds.), L. Blackwell Scientific Publications, pp: 162-176.

Csinos, A. s. & Stephenson, R. 1999. Evaluation of fungicides and tobacco cultivar resistance to *Rhizoctonia solani* incited target spot, damping off and sore shin. *Crop Protection*, 18: 373-377.

Cubeta, M. A., Cody, B. R. & Ceresini, P. C. 1998. Rhizoctonia disease of potato. Vegetabtable Disease Information Note No.26, Department of Plant Pathology, North Carolina State University.

Cubeta, M. A. & Echandi, E., Abernethy, T. & Vilgalys, R. 1991. Characterization of anastomosis groups of binucleate *Rhizoctonia* species using restriction analysis of an amplified ribosomal RNA gene. *Phytopathology* 81: 1395-1400.

Cubeta, M. A., Vilgalys, R. 2000. Rhizoctonia. *In: Encyclopedia of Microbiology* Edited by: Lederberg J. San Diego: Academic Press. 4: 109–116.

Demirci, E. & Doken M. T. 1993. Anastomosis groups and pathogenicity of *Rhizoctonia solani* Kühn. Isolates from potatoes in Erzurum-Turkey. *Journal of Turkish Phytopathology*, 22:95-102.

Dijst, G. 1988. Formation of sclerotia by *Rhizoctonia solani* on artificial media and potato tubers. *Netherlands Journal of Plant Pathology*, **94**: 233-242.

Dijst, G. 1990. Effect of volatiles and unstable exudates from underground potato plant parts on sclerotia formation by *Rhizoctonia solani* before and after haulm destruction. *The Netherlands Journal of Plant Pathology*, 96:155-170.

Doornik, A.W. 1980. Some factors affecting the parasitic and saprophytic activity of *Rhizoctonia solani*. *Acta Horticulturae*, 109:387-394.

Domsch, K.H., Gams, W. & Anderson T. H. 1980. Compendium of Soil Fungi. pp 765- 771. Academic Press. London.

Duffy, B. 2000. Combination of pencycuron and *Pseudomonas fluorecens* strain 2-79 for integrated control of Rhizoctonia root rot and take-all of spring wheat. *Crop Protection*, 19:21-25.

Duveiller, E., Fucikovsky, L. & Rudolph, K. 1997. The Bacterial Diseases of Wheat : Concepts and Methods of Disease Management .Mexico,D.F.: CIMMYT. 78PP.

Eken, C. & Demirci, E. 2004. Anastomosis groups and pathogenicity of *Rhizoctonia solani* and binucleate *Rhizoctonia* isolates from bean in Erzurum, *Turkish Journal of Plant Pathology*, 86:49-52.

EL-Habbaa, G. M., Felaifel, M. S., Zahra, A. M. & Abdel- Ghany, R. E. 2002. *In vitro* evaluation of some fungicides, commercial biocontrol formulations and natural plant extracts on peanut root-rot pathogens *Egyptian Journal of Agricultural Research*,. 80: 1017-1030

Erlich, H. A. 1989. PCR technology: principles and applications for DNA amplifications. Stockton Press, NY.

Erschadi, S., Haberer, G., Schoniger, M., TorresRuiz, R.A. 2000. Estimating genetic diversity of *Arabidopsis thaliana* ecotypes with amplified fragment length polymorphisms (AFLP). *Theoretical and Applied Genetics*, 100: 633- 640.

Flachowsky, H., Schumann, E., Weber, W. E. & Peil, A. 2001. Application of AFLP for the detection of sex-specific markers in hemp. *Plant Breeding*, 120: 305-309.

Flentje, N. T. & Sakesena, H. 1957. Studies on *Pellicularia filamentosa* (Pat) Rogers.II. Occurrence and distribution of pathogenic strains. *Transactions of the British Mycological Society*, 40: 95-108.

Fokkema, N. J. 1976. Antagonism between fungal saprophytes and pathogens on aerial plant surfaces. pages 487-506. In: *Microbiology of aerial plantsurfaces*,. Dickinson, C.H.& Preece, T.F. (eds.) Academic Press, London.

Fouly, H. M., Pedersen, W. L., Wilkinson, H. T. & El-Kader, M. M. A. 1996. Wheat root rotting fungi in the "old" and "new" agricultural lands of Egypt. *Plant Disease*, 80: 1298-1300.

Frank, J.A. 1978. The *Rhizoctonia* canker (black scurf). In: Hooker, W.J (ed.). Compendium of potato diseases. APS Press. pp. 52-54.

Gonzalez, D., Carling, D. E., Kuninaga, S., Vilgalys, R. & Cubeta, M. A. 2001. Ribosomal DNA systematic of *Ceratobasidium* and *Thanatephorus* with *Rhizoctonia* anamorphs.*Mycologia*,93:1138-1150.

Grosch, R., Faltin, F., Lottmann, J., Kofoet, A. & Berg, G. 2005. Effectiveness of three antagonistic bacterial isolates to control *Rhizoctonia solani* Kühn on lettuce and potato. *Canadin Journal Microbiology*,51: 345–353.

Grosch, R.& Kofoet, A., 2003. Influence of temperature, pH and inoculum density on bottom rot on lettuce caused by *Rhizoctonia solani*. *Journal of Plant Diseases and Protection*, 110: 366-378.

Grosch, R., Schneider, J. H. M., Kofoet, A. 2004. Characterization of *Rhizoctonia solani* anastomosis groups causing bottom rot in field-grown lettuce in Germany. *European Journal of Plant Pathology*, 110: 53–62.

Hamming, R. W. 1950. Error detecting and error correcting codes. *Bell System Technical Journal*, 29 (2): 147-160.

Hide, G. A., Read, P. J., Frimager, J. P. & Hall, S. M. 1989. Stem canker (*Rhizoctonia solani*) on five early and seven main crop potato cultivars. II. Effects on growth and yield. *American Applied Biology*, 114: 267-277.

Hide, G. A. & Frimager, J. P. 1990. Effect of an isolate of *Rhizoctonia solani* Kühn. AG8 from diseased barley on the growth and infection of potatoes (*Solanum tuberosum*). *Potato Research*, 33: 229-234.

Hill, C. B. & Anderson, N. A. 1989. An evaluation of potato disease caused by isolates of *Rhizoctonia solani* AG-3. *American Potato Journal*, 66: 709–21.

Hodgson, W. A., Pond, D. D. & Munro, J. 1974. Diseases and Pests of Potatoes. Pub. Department of Agriculture Canada. No, 1492. 64 pp.

Holt-Harris, J. E. & Teague, O. 1916. A new culture medium for the isolation of *Bacillus typhosus* from stools. *The International Journal of Infectious Diseases*, 18:596–600.

Homma, Y., Yamashita, Y. & Ishii, M. 1983. A new anastomosis group (Ag-7) of *Rhizoctonia solani* Kühn from Japanese radish fields. *Phytopathological Society of Japan*, 51: 372-373.

Hooker, W.J. 1981. Compendium of potato diseases. APS Press. 125 p.

Jaaffar, A.M., Weller, D.M., Paulitz, T.C. & Thomashow, L.S. 2010. Effect of pH on the growth of *Rhizoctonia* spp. from cereal-based cropping systems in eastern Washington State. *Phytopathology*, Vol. 100, No.6,pg. S85.

Jaccard, P. 1908. Nouvelles recherches sur la distribution florale. Bulletin. Soc. Vuadoise des Sciences Naturelles. 44:223-270.

Jalaluddin, M. & Anwar, Q.M.K. 1989. Reaction of wheat varieties to foot rot and root rot disease of wheat in Pakistan. *Pakistan Journal of Botany*, 21: 191-194.

Jeger, M.J., Hide, G.A., van den boogert, P. H. J. F., Termorshuizen, A.J. & van Baarlen, P. 1996. Soil-borne fungal pathogen of potato. *Potato Research*, 39: 437-469.

Johnson, S. B. & Leach, S. S. 2008. Rhizoctonia Diseases on Potatoes. University of Maine Cooperative Extension Bulletin-2273.

Justesen, A. F., Yohalem, D., Bay, A. & Nicolaisen, M. 2003. Genetic diversity in potato field population of *Thanatephorus cucumeris* AG3, revealed by ITS Polymorphism and RAPD Markers. *Mycological Research*, 107:1323-1331.

Kasem, K. K., Sabet, K. K., Omar, M. R., Asran, A. A. & Mikhail, M. S. 2010. Current *Rhizoctonia solani* anastomosis groups in Egypt and their pathogenic relation to cotton seedlings. *African Journal of Microbiology Research*, 4(5), pp. 386-395.,

Kataria, H. R., Hogelshofer, U. & Gisi, U. 1991. Sensitivity of *Rhizoctonia* species to different fungicides. *Plant Pathology*, 40: 203-211.

Kliebenstein, D. J., Gershenzon, J. & Mitchell-Olds, T. 2001. Comparative quantitative trait loci mapping of aliphatic, indolic and benzylic glucosinolate production in *Arabidopsis thaliana* leaves and seeds. *Genetics*, 159: 359-370.

Kotila, J. E. 1929. A study of biology of new species forming *Rhizoctonia*, *Corticium praticola*. *Phytopathology*, 19: 1059-1099.

Kozol, A. J., Traniello, J. F. A. & Williams, S. M. 1994. Genetic variation in the endangered burying beetle *Nicrophorus americanus* (Coleoptera: Silphidae). *Annals of the Entomological Society of America*, 87:928-935.

Kucharek, T. 2000. *Rhizoctonia* diseases in aboveground plant parts of agronomic and vegetable crops. Plant Pathology Fact Sheet, PP-41. Florida Cooperative Extension Service.

Kulik, M. M. & Dery, P. D. 1995. Frequency of plant in population of annual and perennial medics (*Medicago* spp) that were resistant to damping off incited by AG4 isolates of *Rhizoctonia solani*. *Zeitschrift für Pflanzenkrankheiten und Pflanzenschutz*, 102:392-398.

Kuninaga, S., Carling, D. E., Takeuchi, T. & Yokosawa, R. 2000. Comparison of rDNA-ITS sequences between potato and tobacco strains of *Rhizoctonia solani* AG3. *Journal of General Plant Pathology*, 66: 2-11.

Kuninaga, S., Natsuaki, T., Takeuchi, T., Yokosawa, R. 1997. Sequence variation of the rDNA ITS regions within and between anastomosis groups in *Rhizoctonia solani*. *Current Genetic*, 32: 237-243.

Kuninaga, S., Yokosawa, R. & Ogoshi, A. 1978. Anastomosis groupings of *Rhizoctonia solani* Kühn isolated from non-cultivated soils. *Annals of the Phytopathological Society of Japan*, 44: 591-598.

Lahlali, R. & Hijri, M. 2010. Screening, identification and evaluation of potential biocontrol fungal endophytes against *Rhizoctonia solani* AG3 on potato plants. *Federation of European Microbiological Societies*. Published by Blackwell Publishing Ltd.. (*FEMS Microbiol Lett.*), 311(2):152-9.

Laroche, J. P., Jabaji-Hare, S. H. & Charest, P. M. 1992. Differentiation of two anastomosis groups of *Rhizoctonia solani* by isozyme analysis. *Phytopathology*, 82:1387-1392.

Lawyer, F. C., Stoffel, S., Saiki, R. K., Chang, S. Y., Landre, P. A., Abramson, R. D. & Gelfand, D. H., 1993. "High-level expression, purification, and enzymatic characterization of full-length *Thermus aquaticus* DNA polymerase and a truncated form deficient in 5' to 3' exonuclease activity". *PCR Methods Appl.* 2: 275-287. PMID 8324500.

Leach, S. S. & Clapham, W. M. 1992. *Rhizoctonia solani*. on white lupine. *Plant Disease* 76: 417-419.

Lee, J., Bricker, T. M., Lefevre, M., Pinson, S. R. M. & Oard, J. H. 2006. Proteomic and genetic approaches to identifying defence related proteins in rice challenged with the fungal pathogen *Rhizoctonia solani*. *Molecular Plant Pathology*, 7:405-416.

Lehtonen, M. J. 2009. *Rhizoctonia solani* as a potato pathogen
- variation of isolates in finland and host response. <http://ethesis.helsinki.fi>

Lehtonen, M. J., Ahvenniemi, P., Wilson, P. S., German- Kinnari, M. & Volkonen, J. P. T. 2008. Biological diversity of *Rhizoctonia solani* AG3 in a northern potato-cultivation environment in Finland. *Plant Pathology*, 57: 141-151.

Levine, M. 1918. Differentiation of *B. coli* and *B. aerogenes* on a simplified eosin-methylene blue agar. *The International. Journal of. Infectious. Diseases*,. 23:43–47.

Lewis, J. A. and Papavizas, G. C. 1987. Application of *Trichoderma* and *Gliocladium* in alginate pellets for control of *Rhizoctonia* damping-off. *Plant Pathology*,. 36,438–446.

Liu, Z. L. & J. B. Sinclair. 1987. *Bacillus subtilis* as a potential biological control agent for *Rhizoctonia* root rot of soybean. *Phytopathology*, 77: 1687 (Abstract).

Lynch, J. M. 1990. Fungi as antagonists. In: R. R. Baker, P. E. Dunn (eds.) *New Directions in Biological Control: Alternatives for Suppressing Agricultural Pests and Diseases*, pp. 243–253. Alan R. Liss, New York.

Mackey & Sandys. 1965. *British. Medical. Journal*. 2:1286

MacNish, G. C., Carling, D.E., Sweetingham, M. W., Ogoshi, A. & Brainard, K .A. 1995. Characterisation of Anastomosis Group-10 (AG-10) of *Rhizoctonia solani*. *Australasian Plant Pathology*, 24: 252-260.

Martin, S.B., Lucas, T. L & Campell, C. L. 1984. Comparative sensitivity of *Rhizoctonia solani* and *Rhizoctonia*-like fungi to selected fungicides *in vitro*. *Phytopathology*, 74: 778-781.

Mathieson, J. T. & Rush, C. M. 1991. Influence of temperature and five fungicide on *Rhizoctonia* root rot of hard red winter wheat. *Plant Disease* 75: 983-986.

Meyer, L., Wehner, F. C., Nel, L. H. & Carling, D. E., 1998. Characterization of the crater diseases strain of *Rhizoctonia solani*. *Phytopathology*, 88: 366-371.

Morgante, M. & Olivieri, A. M. 1993. PCR- amplified microsatellites as markers in plant genetics. *The Plant Journal*, 3: 175-182.

Mohammed, A. S., El-Hassan, S.M., Elballa, M. M. A. & Elsheikh, E. A. E. 2008. The Role of *Trichoderma*, VA Mycorrhiza and Dry Yeast in the Control of *Rhizoctonia* Disease of Potato (*Solanum tuberosum* L.). *Journal of Agricultural Sciences*, 16(2): 285-301.

Moore, R. T. 1987. The genera of *Rhizoctonia*-like fungi: *Ascorhizoctonia*, *Ceratorhiza*, gen.nov., *Epulorhiza*, gen.nov., *Moniliopsis* and *Rhizoctonia*. *Mycotaxon*, 29:91-99.

Moussa, T.A.A. 2002. Studies on biological control of sugarbeet pathogen *Rhizoctonia solani* Kühn. *Journal of Biology Sciences*,. 2(12): 800-804.

Mueller, U. G. & Wolfenbarger, L. L. 1999. AFLP genotyping and fingerprinting. *Tree* 14: 389-394.

Muis, A., Quimio, A. J. 2006. Biological control of banded leaf and sheath blight disease (*Rhizoctonia solani* Kühn) in corn with formulated *Bacillus subtilis* BR23. *Indonesian Journal of Agricultural science*,. 7(1):2006:1-7.

Murashige, T. & Skoog, F. 1962. A revised medium for rapid growth and bioassays with tobacco tissue culture. *Physiologia Plantarum*, 15: 437 -497.

Mwang'Ombe, A. W., Thiong'O, G., Olubayo, F. M. & Kiprop, E. K. 2007. DNA microsatellite analysis of Kenyan isolates of *Rhizoctonia solani* from common bean (*Phaseolus vulgaris* L.). *Plant Pathology Journal*, 6(1):66-71

Nachit, M. M., Elouafi, I., Pagnotha, M. A., Elsdaleh, A., Iacono, E., Labhilili, M., Asbati, A., Azrak, M., Hazzam, H., Bensch, D., Khairaallah, M., Ribaut, J. M., Tanzarella, O. A., Porceddu, E. & Sorrells, M. E. 2001. Molecular linkage map for an *intraspecific* recombinant inbred population of durum wheat (*Triticum turgidum* L.var. *durum*). *Theoretical and Applied Genetics*, 102:177-186.

Nasim, G., Shah, T & Zahoor, R. 1996. Vesicular arbuscular mycorrhiza as a deterrent to pathogenic infections caused by *Rhizoctonia solani* in potato. *Scientific Khyber*, 9:63-70.

Neate, S. M. & Warcup, J. H. 1985. Anastomosis grouping of some isolates of *Thanatephorus cucumeris* from Agricultural soils in South Australia. *Transactions of the British Mycological Society*, 85: 615-620.

Ogoshi, A. 1975. Grouping of *Rhizoctonia solani* Kühn and their perfect stages. *Review of Plant Protection Research*, 8: 93-103.

Ogoshi, A. 1984. Studies on the taxonomy of the genus *Rhizoctonia*. *Annals of the Phytopathological Society of Japan*, 50: 307-309.

Ogoshi, A. 1987. Ecology and pathogenicity of anastomosis and intraspecific groups of *Rhizoctonia solani* Kühn. *Annual Review of Phytopathology*, 25:125-143.

Ogoshi, A., Cook, R. J. & Bassett, E. N. 1990. *Rhizoctonia* species and anastomosis groups causing root rot of wheat and barley in the Pacific Northwest. *Phytopathology*, 80:784-788.

Olmos, L. K., Delgado, H. S. & Perez, M. N. 2005. AFLP fingerprinting for identification of anastomosis groups of *Rhizoctonia solani* Kühn from common bean (*Phaseolus vulgaris* L.) in Mexico. *Revista Mexicana de Fitopatología*, 23:147-151.

Otrysko, B. E., Banville, G. J & Asselin, A. 1985. Anastomosis group Identification and Pathogenicity of isolates of *Rhizoctonia solani* obtained from tuber-borne sclerotia. *Phytoprotection*, 66:17-23.

Otrysko, B. E. & Banville, G. J. 1992. Effect of infection by *Rhizoctonia solani* on the quality of tubers for processing. *American Potato Journal*, 69: 645-652.

Papavizas, G. C. 1985. *Trichoderma* and *Gliocladium*: biology, ecology and potential for biocontrol. *Annual Review of Phytopathology*, 23:23-54.

Papavizas, G. C. 1992. Biological control of selected soilborne plant pathogens with *Trichoderma* and *Gliocladium*. In: Tjamos, E. C., Papavizas, G. C., Cook, R.J. (eds.): *Biological Control of Plant Diseases – Progress and Challenges for the Future*, pp. 223–241. Plenum Press, New York

Parmeter, J. R. J. r., Sherwood, R. T. & Platt, W. D. 1969. Anastomosis grouping among isolates of *Thanatephorus cucumeris*. *Phytopathology*, 59: 1270-1278.

Parmeter, J. R. & Whitney, H. S. 1970. Taxonomy and nomenclature of the imperfect state. In '*Rhizoctonia solani*': Biology and Pathology. Parmeter, J.R Junior (ed.). pp 7-19.

Pascual, C. B., Toda, T., Raymondo, A. D. & Hyakumachi, M. 2000. Characterization by conventional techniques and PCR of *Rhizoctonia solani* isolates causing banded leaf sheath blight in maize. *Plant Pathology*, 49:108-118.

Platt, H. W., Canal, F. & Gimenez, G. 1993. Effect of tuber-borne inoculum of *Rhizoctonia solani* and fungicidal potato seed treatment on plant growth and *Rhizoctonia* disease in Canada and Uruguay. *American Potato Journal*, 70: 533-

Powelson, M. L., Johnson, K. B. & Rowe, R. C. 1993. Management of diseases caused by soil-borne pathogens. In: Rowe, R.C. (ed.) *Potato Health Management*. APS Press. pp. 149-158.

Promega Co. 1994. DNA silver staining system. Technical Manual. Part No. TMD 005. Madison, USA.

Rasochova, M. 1983. Current state and outlook of the potato variety collection from standpoint of large scale production requirement. *Rostlinna Vyroba*, 23: 165-175.

Rauf, C. A., Ahmad, I. & Ashraf, M. 2007. Anastomosis groups of *Rhizoctonia solani* Kühn isolates from potato in Pakistan. *Pakistan Journal of Botany*, 39(4): 1335-1340.

Read, P. J., Hide, G. A., Frimager, J. P. & Hall, S. M. 1989. Growth and yield of potatoes as affected by severity of stem canker (*Rhizoctonia solani*). *Potato Research*, 32: 9–15.

Ritchie, F., Bain, R. A. & McQuilken, M. P. 2009. Effects of nutrient status, temperature and pH on mycelial growth, sclerotial production and germination of *Rhizoctonia solani* from Potato. *Journal of Plant Pathology*, 91 (3): 589-596.

Ritchie, F., McQuilken, M. P., Bain, R. A. 2006. Effects of water potential on mycelial growth, sclerotial production, and germination of *Rhizoctonia solani* from potato. *Mycological Research*, 110: 725-733.

Roberts, D. P., Lohrke, S. M., Meyer, S. L. F., Buyer, J. S., Bowers, J. H., Souza, J. T., Lewis, J. A., Chung, S. 2005. Biocontrol agents applied individually and in combination for suppression of soil-borne diseases of cucumber. *Crop Protection*, 24: 141-155.

Robichaux, R. H., Friar, E. A. & Mount, D. W. 1997. Molecular genetic consequences of a population bottleneck associated with reintroduction of the Mauna Kea silversword (*Argyroxiphium sandwicense* ssp. *sandwicense* [Asteraceae]). *Conservation Biology*, 11:1140-1146.

Rohlf, F. J. 2000. NTSYS-pc numerical taxonomy and multivariate system (v.2.1). User guide. *Exeter Software, Setauket, New York*.

Rubio, V., Tavantzis, S.M., Lakshman, D.K. 1996. Extrachromosomal elements and degree of pathogenicity in *Rhizoctonia solani*. In. *Rhizoctonia species: taxonomy, molecular biology, ecology, pathology and disease control*. Eds. SnehB, Jabaji-Hare S, Neate S, Dijst G. Kluwer Academic Publishers, The Netherlands. pp. 127-138.

Saghai-Maroo, M. A., Soliman, K. M., Jorgensen, R. A. & Allard, R. W. 1984. Ribosomal spacer length polymorphism in barley: mendelian inheritance,

chromosomal location and population dynamics. *Proceedings of the. National. Accademy of. Sciences*, 83:1757–1761.

Sambrook, J., Fritsch, E. F. & Maniatis, J. 1989. Molecular Cloning, a Laboratory Manual. 2nd edition. Cold Spring Harbor Laboratory Press, New York.

Sanders, P. L., Burpee, L. L & Cole, H. 1978. Preliminary studies on binucleate turfgrass pathogens that resemble *Rhizoctonia solani*. *Phytopathology*, 68: 145-148.

Savelyeva, N. M. & Maystrenko, O. I. 1983. Inheritance of resistance to root rot in spring wheat. I. Monosomic genetic analysis of the variety *Skala*. *Genetika USSR*.19: 1668-1673.

Schultz, H. 1936. Vergleichende Untersuchungen zur Oekologies, Morphologie, und Systematik der "Vermehrungspilzen" *Arb. Biol. Reichanst. Land und Forstwirtschaft*. Berlin 22: 1-41.

Shahrokhi, S., Shahidi Bonjar, G. H. & Saadoun, I. 2005. Biological control of potato isolate of *Rhizoctonia solani* by *Streptomyces olivaceus* Strain 115. *Biotechnology*, 4(2):132-138.

Sharkey, D.J., Scalice, E.R., Christy, K.G., Atwood, S. M. & Daiss, J. L. 1994. "Antibodies as Thermolabile Switches: High Temperature Triggering for the Polymerase Chain Reaction". *Biotechnology*, 12: 506-509.

Sharon, M. H., Read, P. J., Hide, G. A.& Frimager, J. P.1989. Growth and yield of potatoes as affected by severity of stem canker (*Rhizoctonia solani*). *Potato Research*, 32: 9-15.

Shew, H. D., Lucas, G. B. 1991. Compendium of tobacco diseases. St.Paul, MN: *American Phytopathological Society*.

Shew, H. D., Melton, T. A. 1995. Target spot of tobacco.*Plant Disease*.79:6-11.

Smiley, R. W.& Uddin, W. 1993. Influence of soil temperature on *Rhizoctonia* root rot (*R. solani*AG8 and *R.oryzae*) of winter wheat .*Phytopathology*,83: 777-785.

Smulders, M. J. M., Bredemeijer, G., Ruskortekaas, w., Arens, P. & Vosman, B. 1997. Use of short microsatellites from database sequences to generate polymorphisms among *Lycopersicon esculentum* cultivars and accessions of other *Lycopersicon* species. *Theoretical and Applied Genetics*, 97: 264-272.

Sneh, B., Burpee, L. & Ogoshi, A. 1991. Identification of *Rhizoctonia* Species. American Phytopathological Society. St. Paul. MN. USA.

Spooner, D., Van Treuren, R. & De Vicente, M. C. 2005. Molecular markers for genebank management. IPGRI Technical Bulletin No. 10. *International Plant Genetic Resources Institute*, Rome, Italy.

Stevens Johnk, J., Jones, R. K., Shew, H. D. & Carling, D. E. 1993. Characterization of populations of *Rhizoctonia solani* AG3 from potato and tobacco. *Phytopathology*, 83: 854-858.

Sumner, D. R. 1987. Efficacy of pencycuron against isolates representing different anastomosis groups of *Rhizoctonia solani* and *Rhizoctonia*-like binucleate fungi. *Plant Disease*, 71: 515-518.

Talbot, P. H. B. 1970. Taxonomy, nomenclature of the perfect state. In: *Rhizoctonia solani*: Biology and Pathology. Parameter, J.R. Jr (ed) pp: 20-31.

Truter, M., Wehner, F. C 2004 . Anastomosis grouping of *Rhizoctonia solani* associated with black scurf and stem canker of potato in South Africa. *Plant Disease*, 88: 83.

Tschen, J. S. M. 1987. Control of *Rhizoctonia solani* by *Bacillus subtilis*. *Transaction of the Mycological Society of Japan*, 28: 483-493

Tsrer, L. 2010. Biology, Epidemiology and Management of *Rhizoctonia solani* on Potato. *Phytopathology*, 158(10): 649-658.

Tsrer (Lahkim), L., Livescu, L., Hazanovski, M., Erlich, O., Aharon, M., Barak, R., Peretz, I., Bing, B & Yaniv, A. 1996. Control of black scurf in potatoes. *Phytoparasitica*, 24:152.

Tsrer (Lahkim), L. & Peretz-Alion, I. 2005. The influence of inoculum source of *Rhizoctonia solani* on development of black scurf on potato. *Phytopathology*, 153: 240-244.

Tu, C. C. & Kimbrough, J. W. 1978. Systematic and phylogeny of fungi in the *Rhizoctonia* complex. *Botanical Gazette* 139: 454-466.

Ueyama, I., Araki, Y., Kurogochi, S., Yoneyama, K. & Yamaguchi, I. 1990. Mode of action of the phenylurea fungicide pencycuron in *Rhizoctonia solani*. *Pesticide Science*, 30: 363-365.

Van den Boogert, P. H. J. F. & Velvis, H. 1992. Population dynamics of the mycoparasite *Verticillium biguttatum* and its host *Rhizoctonia solani*. *Soil Biology & Biochemistry*, 24: 157-164.

Van Der ZAAG, D. E. 1991. The Potato Crop in Saudi Arabia. 206 p.

Verma, M., Brar, S. K., Tyagi, R. D., Surampalli, R. Y. & Valéro, J. R. 2007. Antagonistic fungi, *Trichoderma* spp.: Panoply of biological control. *Biochemical Engineering Journal*, 37:1-20.

Vilgalys, R. & Cubeta, M. A. 1994. Molecular systematic and population biology of *Rhizoctonia*. *Annual Review of phytopathology*, 32:135-155.

Vincell, P. C. & Herr, J. J. 1992. Two diseases of alfalfa caused by *Rhizoctonia solani* AG1 and AG4. *Plant Disease*, 76:1883.

Virgen-Calleros, G., Olade-Portugal, V. & Carling, D. E. 2000. Anastomosis groups of *Rhizoctonia solani* on potato in Central Mexico and potential for biological and chemical control. *Journal of Potato Research*, 77: 219-224.

Vos, P. & Kuiper, M. 1997. AFLP analysis, in *DNA Markers: Protocols, Applications, and Overviews* (Caetano-Anollés, G. and Gresshoff, P.M., eds), pp. 115–131, Wiley.

Vos, P., Hogers, R., Bleeker, M., Reijans, M., Van de Lee, T., Hornes, M., Frijters, A., Pot, J., Peleman, J., Kuiper, M. & Zabeau, M. 1995. AFLP: A new technique for DNA fingerprinting. *Nucleic Acids Research*, 23:4407-4414.

Weinhold, A. R., Browman, T. & Hall, D. H. 1978. *Rhizoctonia* disease of potato in California. *American Potato Journal*, 55: 56-57.

Wessels, P. G. W. 2001. Soil nitrogen dynamics and spring wheat (*T. aestivum*) production in different cropping systems in the Swartland. M.Sc. thesis, University of Stellenbosch, Stellenbosch.

Wharton, P., Kirk, W., Berry, D. & Snapp, S. 2007. *Rhizoctonia* stem canker and black scurf of potato. Michigan State University, Extension Bulletin E- 2994.

Wicks, T. J., Morgan, B. & Hall, B. 1995. Chemical and biological control of *Rhizoctonia solani* on potato seed tubers. *Australian Journal of Experimental Agriculture*, 35: 661-664.

Williams, J. G. K., Kubelik, A. R., Livak, K. J., Rafalski, J. A. & Tingey, S. V. 1990. DNA polymorphisms amplified by arbitrary primers are useful as genetic markers. *Nucleic Acids Research*, 18:6531-6535.

Wilson, P. S., Ahvenniemi, P. M., Lehtonen, M. J., Kukkonen, M., Rita, H. & Valkonen, J. P. T. 2008b. Biological and chemical control and their combined use to control different stages of the *Rhizoctonia* disease complex on potato through the growing season.. *Annals of Applied Biology*, 153:307-320.

Wilson, P. S., Ketola, E. O., Ahvenniemi, P. M., Lehtonen, M. J. & Valkonen, J. P. T. 2008a. Dynamics of soil-borne *Rhizoctonia solani* in the presence of *Trichoderma harzianum*: effect on stem canker, black scurf and progeny tubers of potato. *Plant Pathology*, 57:152-161.

Woodhall, J. W., Less, A. k., Edwards, S. G. & Jenkinson, P. 2007. Characterization of *Rhizoctonia solani* from potato in Great Britain. *Plant Pathology*, 56: 268-295.

Woodhall, J. W., Less, A. k., Edwards, S. G. & Jenkinson, P. 2008. Infection of potato by *Rhizoctonia solani*: effect of anastomosis group. *Plant Pathology*, 57: 897-905.

Yanar, Y., Yilmaz, G., Cosmeli, I. & Coskun, S. 2005. Characterization of *Rhizoctonia solani* isolates from Potatoes in Turkey and Screening Potato Cultivars for Resistance to AG-3 Isolates. *Phytoparasitica*, 33: 370-376.

Yao, M. K., Tweddell, R. J. & Desilets, H. 2002. Effect of two vesicular-arbuscular mycorrhizal fungi on the growth of micropropagated potato plantlets and on the extent of disease caused by *Rhizoctonia solani*. *Mycorrhiza*, 12: 235-242.

YU, G. Y., Sinclair, J. B., Hartman, G. L. & Bertagnolli, B. L. 2002. Production of iturin A by *Bacillus amyloliquefaciens* suppressing *Rhizoctonia solani*. *Soil Biology and Biochemistry*, 34:955-963.

Zakria, M., Rauf, C. A., Minhas, N. M., Khan, M. S. A. 2002. Pathogenicity of *Rhizoctonia solani* isolates from potato. Integrated Plant Disease Management. Proceedings of 3rd National Conference of Plant Pathology, NARC, Islamabad, Pakistan pp. 90-93.

Zabeau, M. & Vos, P. 1993. Selective restriction fragment amplification: A general method for DNA fingerprinting. European Patent Application, Publ. No..0534858A1.

الملخص العربي

تعد البطاطا/البطاطس أحد المحاصيل الغذائية والصناعية المهمة في كافة انحاء العالم. تصاب البطاطا في سورية بعدد من الأمراض الفطرية، ويعد الفطر *Rhizoctonia solani* Kühn (الطور الجنسي *Thanatephorus cucumeris* Donk) من أهم الممرضات التي تترافق مع زراعة البطاطا إذ يسبب مرض القشرة السوداء والنقرح التاجي. يقسم *R. solani* بالارتكاز على التردد النسبي لعدد نقاط انصهار الهيفات، إلى مجموعات تشابكية (Anastomosis Groups (AGs). هدفت الدراسة الحالية إلى تحديد الأهمية النسبية للمرض على البطاطا في العروتين الربيعية والخريفية، تحديد المجموعات التشابكية للممرض في سورية، تأثير عدد من الأحياء التضادية البكتيرية والفطرية وكذلك المبيد الكيميائي تولكولفس ميثيل، وتوليفة من العوامل السابقة في مكافحة المرض تحت الظروف المخبرية وظروف الدفيئة البلاستيكية.

أظهرت نتائج المسح الحقلّي انتشار مرض القشرة السوداء والنقرح التاجي في معظم مناطق زراعة البطاطا، حيث بلغ متوسط نسبة الإصابة بالمرض خلال العروة الخريفية 60.46%، وكانت أعلى نسبة للإصابة في محافظات إدلب وحلب وحماه، ولم تسجل أية إصابة في محافظة الحسكة (القامشلي). وكانت نسبة الإصابة في العروة الربيعية أعلى منها في الخريفية بمتوسط نسبة إصابة 64.19%، وكانت أعلى نسبة للإصابة في هذه العروة في محافظة حلب. بين تحليل استمارة المسح الحقلّي أن الإصابة بالممرض المدروس تعود لأسباب عديدة منها: زراعة درنات ملوثة بمرض القشرة السوداء، وزراعة صنف قابل للإصابة، وطبيعة التربة، وعدم اتباع دورة زراعية. تم الحصول على 55 عزلة من الفطر *R. solani* تبعاً لخصائصها المورفولوجية. وأظهرت نتائج اختبار القدرة الإراضية وتطبيق فرضيات كوخ أن جميع هذه العزلات كانت ذات قدرة إراضية على الصنف القابل للإصابة (بينبلا). كما تبيّن، اعتماداً على طريقة تشابك الهيفات، انتماء 47 عزلة (85.45 %) للمجموعة التشابكية AG3، في حين انتمت عزلة واحدة فقط (1.81 %) للمجموعة AG-1، ولم نتّمكن من تحديد هوية سبع عزلات (12.72%). ولم يكن لتوزع العزلات صلة بمنشئها الجغرافي.

لم تمكننا تقنية SSR من التمييز بين العزلات السورية، نظراً لأنها أعطت جميعها حزماً أحادية الشكل Monomorphic. في حين أسهم استخدام تقانة AFLP في تحديد هوية عزلات *R. solani* التي تم جمعها من حقول البطاطا ومعرفة المجموعة التشابكية التي تنتمي إليها. فقد أظهرت النتائج انتماء معظم العزلات للمجموعة التشابكية AG3، بالإضافة لمجموعات تشابكية أخرى. وجاءت نتائج الدراسة الجزيئية مؤيدة لنتائج تشابك الهيفاء، باستثناء عزلة صوران التي انتمت للمجموعة AG-1

اعتماداً على تشابك الهيفاء. علماً أنه، باستخدام التوليفتين المستخدمتين في هذا البحث، كانت نسبة التشابه بين عزلة صوران والمجموعة AG-1 أكثر من 80% وكانت أقرب لهذه المجموعة من المجموعات التشابكية الأخرى. وبالنسبة للعزلات التابعة للمجموعة AG3، وجد اعتماداً على تقانة AFLP أن هناك تبايناً في نسب التشابه فيما بينها، وهذه النتيجة مؤيدة لنتائج تشابك الهيفاء حيث كانت العزلات التي تنتمي لـ AG3 تأخذ النمطين C2، C3.

مكنت الدراسة، باستخدام جهاز بيولوج BIOLOG من تحديد هوية 7 عزلات بكتيرية، تم جمعها من جو جذور نباتات البطاطا من مناطق زراعتها في سورية، وتبين أنها تنتمي للنوع *Bacillus subtilis* وأنها تتسم بقدرة تضادية جيدة، حيث تراوحت نسبة التضاد مع الفطر المدروس ما بين 53-68%.

أخرت عزلة شرسة من ترايكودرما من نمو فطر *R. solani* في تجربة المقابلة، في حين لم يكن للفطر التضادي التأثير نفسه في الفطر التابع للمجموعة AG3، عندما وضع طبق الفطر فوق طبق مستعمرة الترايكودرما. مما قد يشير إلى أن المادة (6PAP) 6-pentyl-alpha-pyrone التي ينتجها الفطر التضادي لم تؤثر في الفطر الممرض المستهدف أو أن نوع الترايكودرما المستخدم لا ينتجها.

منع تطبيق المبيد tolclofos methyl على عزلات المجموعة AG3 من ظهور مرض القشرة السوداء على الدرنات الناتجة، وهذا مؤشر جيد للحصول على درنات نظيفة. ووجد أنه كلما زاد تركيز المبيد قلت مساحة التقرحات على التاج والمدادات التي تحدثها كل من AG3، AG3P، AG3R.

وجد أن لإضافة الفطر *Trichoderma* sp. دور في زيادة وزن الدرنات بوجود المجموعتين AG3R، AG3، في حين لم يؤثر الفطر التضادي في خفض وزن الدرنات بوجود المجموعة AG3P، ويعزى السبب في ذلك إلى أن AG3P هي العزلة الأشرس والمتخصصة على البطاطا. وربما يعود سبب التأثير الأكبر للمجموعة AG3R بالفطر التضادي إلى أن كليهما معزول من تربة سورية.

أدى إضافة عنصر الكافحة (الفطر *Trichoderma* والبكتيريا *Bacillus subtilis*) معاً إلى عدم إصابة الدرنات الناتجة بمرض القشرة السوداء، وأسهما نوعاً ما في مكافحة التقرح التاجي بشكل أكثر فاعلية من المعاملة بكل منهما على حدا.

أثبتت نتائج الدراسة أن هناك مدى واسع في قابلية أصناف البطاطا للإصابة بالفطر *R. solani*، وأنه لا توجد أصناف في سورية مقاومة للفطر المذكور.

الملخص الإنكليزي

Potato (*Solanum tuberosum* L.) is one of the most important food and industrial crops worldwide. In Syria, potato suffers from many fungal diseases, where *Rhizoctonia solani* Kühn. (teleomorph *Thanatephorus cucumeris* Donk.) is an important disease associated with potato cultivation. *R. solani* is divided into anastomosis groups (AGs) based on the relative frequency of hyphal fusion points. This study aims to determine the relative importance of the disease in both spring and autumn sowings, to identify the anastomosis groups of the pathogen in Syria, the effect of some fungal, bacterial antagonists and chemical fungicide, and a combination of the mentioned factors, on disease control under laboratory and green house conditions.

Field survey revealed the spread of black scurf disease and stem canker in almost all potato growing areas in the country. Disease incidence, in general, attained 60.46% with the highest disease incidence being recorded in Idlib, Aleppo and Hama provinces, and no disease was recorded in Kamishly (Hassakeh province). Disease incidence was higher in spring-sown (64.19%) as compared to autumn- sown and the highest disease incidence was recorded in Aleppo province. Analysis of survey sheet indicated that disease incidence correlated well with growing infected seed tubers, susceptible varieties, soil type and crop rotation. Fifty five isolates of *R.solani* were identified based on morphological characteristics. Pathogenicity tests showed that all isolates were pathogenic on cv "Benella". Two anastomosis groups (AGs) were identified: 47 isolates (85.45%) belonged to AG3, and only one isolate (1.81%) belonged to AG1, and 7 isolates (12.72 %) remained unidentified. There were no correlation between isolates and their geographical origin.

SSR was unable to differentiate between the isolates collected, which all give monomorphic bands. However, AFLP contributed to the determination of isolates identity. Results revealed that most isolates belonged to AG3 and some other AGs. This confirmed results of anastomosis technique. Similarity index of Souran isolate with AG1 was more than 80% and was nearer to this group more than other AGs. AFLP also revealed some variation in similarity index of AG3 isolates and this also confirm results of anastomosis technique where isolates anastomosis were of C2 and C3 types

BIOLOG enabled us to determine the identity of 7 antagonistic bacterial isolates, from potato rhizosphere collected from different growing regions in Syria. All 7 isolate belonged to *Bacillus subtilis* and exhibited good antagonistic activity (53-68%) against the pathogen studied (*R. solani*).

An aggressive isolate of *Trichoderma* retarded the growth of *R. solani* in the confrontation experiment, whereas the antagonistic fungus did not have similar effect on AG3 of the fungus when the fungus colony was put on *Trichoderma* Petri dish.

This might indicate that 6-pentyl-alpha-pyrone (6PAP) substance produced by the anagonist did not affect the pathogenic fungus or is not produced at all by the former.

Application of Tolcolfos methyl on AG3 isolates prevented the appearance of black scurf on potato tubers. It was found that necrotic areas on crown and stolons, which AG3, AG3P, AG3R caused, were reduced with increasing concentrations of the fungicide

Trichoderma sp. played a role in increasing tubers' weight in presence of AG3 and AG3R. However, the same antagonist did not affect tubers' weight with AG3P. This might due to AG3P being the most virulent on potato and that the great interaction between AG3R and the antagonists to the fact that both were isolated from a Syrian soil

Adding both *Trichoderma* and *Bacillus subtilis* prevented tubers infection with black scurf, and contributed both to the control of crown lesion better than applying them separately

The present study proved that there is a wide range of susceptibility of potato cultivars to *R. solani*, and that there is no Syrian potato cultivar resistant to the fungus.

الملحقات

ملحق رقم 1. الأوساط الغذائية

وسط بطاطا ديكستروز، آجار (PDA)

حضر بمزج 39 غ من مسحوق PDA الجاهز ويكمل الحجم إلى 1000 مل ماء مقطر، في دورق مخروطي سعة 2000 مل ماء. تخلط المحتويات جيداً على رجاج مغناطيسي، وتسد فوهة الدورق بقطن معقم، ويغلف القطن بورق ألومنيوم، ويعقم الوسط بالأوتوغلانف (الحرارة الرطبة) عند 121°س لمدة 20 دقيقة. يترك الوسط حتى يبرد (50-60°س). ويصب في أطباق بتري ذات قطر 9 سم، بما يعادل 20 مل للطبق الواحد. حيث $pH \pm 0.2$.

Downes and Ito (ed.). 2001. Compendium of methods for the microbiological examination of foods, 4th ed. American Public Health Association, Washington, D.C.
Marshall, (ed.). 1993. Standard methods for the examination of dairy products, 16th ed. American Public Health Association, Washington, D.C.

وسط الآجار المغذي (NA) Nutrient agar

حضر بمزج 23 غ من مسحوق الآجار المغذي (NA) الجاهز ويكمل الحجم إلى 1000 مل ماء مقطر، في دورق مخروطي سعة 2000 مل ماء. تخلط المحتويات جيداً على رجاج مغناطيسي، وتسد فوهة الدورق بقطن معقم، ويغلف القطن بورق ألومنيوم، وعقم الوسط بالأوتوغلانف (الحرارة الرطبة) عند 121°س لمدة 20 دقيقة. يترك الوسط حتى يبرد (50-60°س). ويصب في أطباق بتري ذات قطر 9 سم، بما يعادل 20 مل للطبق الواحد. (Duveiller *et al.*, 1997).

وسط المرق المغذي (NB) Nutrient broth

حضر بمزج 8 غ من مسحوق المرق المغذي (NB) الجاهز ويكمل الحجم إلى 1000 مل ماء مقطر، في دورق مخروطي سعة 2000 مل ماء. تخلط المحتويات جيداً على رجاج مغناطيسي، وتسد فوهة الدورق بقطن معقم، ويغلف القطن بورق ألومنيوم، وعقم الوسط بالأوتوغلانف (الحرارة الرطبة) عند 121°س لمدة 20 دقيقة. (Duveiller *et al.*, 1997).

وسط الآجار المائي Water Agar

يحضر بأخذ 15 غ من مسحوق الآجار ويكمل الحجم لـ 1000 مل من الماء المقطر في دورق مخروطي سعة 2000 مل ماء، تخلط المحتويات جيداً على رجاج مغناطيسي، وتسد فوهة الدورق بقطن معقم، ويغلف القطن بورق ألومنيوم، وعقم الوسط بالأوتوغلانف (الحرارة الرطبة) عند 121°س لمدة

20 دقيقة. يترك الوسط حتى يبرد (50-60 °س). ويصب في أطباق بتري ذات قطر 9 سم، بما يعادل 20 مل للطبق الواحد. Base (Papavizas & Davey, 1959; Lingappa & Lockwood, 1960).

الوسط المغذي المرتكز على الدم blood agarbase

يحضر بأخذ 40 غ من مسحوق blood agar base ويكمل الحجم لـ 1000 مل من الماء المقطر في دورق مخروطي سعة 2000 مل ماء، وسخن حتى يذوب بشكل جيد، وعقم الوسط بالأوتوغلاف (الحرارة الرطبة) عند 121°س لمدة 15 دقيقة، ثم برد حتى 45-50°س، ويضاف دم معقم مزال الفبرين. defibrinated blood بنسبة 6% (من 5-10%) يحفظ بعيداً عن الضوء المباشر، وفي حرارة أقل من 8°س. pH 7.3+/-0.2 (المرجع)

وسط Cystine Lactose –Electrolyte –Deficient CLED

حضر بمزج 36 غ من مسحوق CLED الجاهز في 1 لتر ماء مقطر، وسخن حتى يذوب بشكل جيد، وعقم الوسط بالأوتوغلاف (الحرارة الرطبة) عند 121°س لمدة 15 دقيقة، pH الوسط 7.3 ± 0.2 (Mackey & Sandys, 1965).

وسط Eosin-methylene blue (EMB) agar

حضر بمزج 36 غ من مسحوق EMB agar الجاهز في 1 لتر ماء مقطر، وسخن حتى يذوب بشكل جيد، وعقم الوسط بالأوتوغلاف (الحرارة الرطبة) عند 121°س لمدة 15 دقيقة، pH الوسط 7.2. (Holt-Harris & Teague, 1916; Levine, 1918).

ملحق رقم 2. المحاليل المستخدمة في الدراسة الجزيئية

2% cetyltrimethylammonium bromide (CTAB) extraction buffer:

1.4 M NaCl
0.1 M Tris-HCl, pH 8.0
20 mM EDTA
2% w/v CTAB
0.2% β mercaptoethanol, pH 8.0

Washing buffer:

75% Ethanol, 25% dH₂O

TE Buffer:

10 mM Tris-base
1 mM EDTA. pH 8.0

10X Agarose Loading Buffer:

0.25% Bromophenol blue
50% Glycerol
60 mM EDTA, pH 8.0

10 X PCR Buffer:

100 mM Tris-HCl, pH 8.4
500 mM KCl
15 mM MgCl₂
0.01 % gelatin

10X One Phor All Buffer:

100 mM Tris-acetate, pH 7.5
100 mM magnesium acetate
500 mM potassium acetate

Repele Silane:

2% solution of dimethyldichlorosilane in chloroform

Bind Silane Solution:

8 ml Ethanol
200 ml Galacial Acetic acid
10 μ l Bind-Silane
1.8 ml Double distilled H₂O

10% Ammonium persulfate:

0.5 g ammonium persulfate
5 ml dH₂O

10X TBE Buffer:

107.8 g Tris-base

7.44 g EDTA

55.0 g boric acid

STR 3X Loading Dye Solution:

10 mM NaOH

95 % formamide

0.05 % bromophenol blue

0.05 % xylene cyanol FF

Fix/Stop Solution (0% acetic acid):

200 ml glacial acetic acid

1800 ml dH₂O

Staining Solution:

2 g silver nitrate (AgNO₃)

3 ml 37% formaldehyde (H₂CO)

2000ml dH₂O

Developer Solution:

60 g sodium carbonate, (anhydrous Na₂CO₃)

3 ml 37% formaldehyde (H₂CO)

400μl 10mg/ml sodium thiosulfate (Na₂S₂O₃.5H₂O)

2000ml dH₂O

ملحق رقم 3. تحضير المحاليل الخاصة بزراعة نسج البطاطا

تحضير المحاليل الخاصة بزراعة نسج البطاطا			
المحلول الأم رقم 1			
المادة	الوزن	الحجم 1000 مل	الحجم 2000 مل
نترات الأمونيوم NH_4NO_3	غ	82.5	165
نترات البوتاسيوم KNO_3	غ	95	190
فوسفات البوتاسيوم الحامضية KH_2PO_4	غ	8.5	17
المحلول الأم رقم 2			
المادة	الوزن	الحجم 100 مل	الحجم 200 مل
حمض البوريك H_3BO_3	مغ	620	1240
كبريتات المنغنيز $\text{H}_2\text{O}, \text{MnSO}_4$	مغ	2230	4460
كبريتات الزنك $7\text{H}_2\text{O}, \text{ZnSO}_4$	مغ	860	1720
مولبيدات الصوديوم $\text{Na}_2\text{MoO}_4 \cdot 2\text{H}_2\text{O}$	مغ	25	50
كبريتات النحاس $\text{CuSO}_4 \cdot 5\text{H}_2\text{O}$	مغ	2.5	5
كلوريد الكوبالت $\text{CoCl}_2 \cdot 6\text{H}_2\text{O}$	مغ	2.5	5
المحلول الأم رقم 3			
المادة	الوزن	الحجم 100 مل	الحجم 200 مل
كبريتات المغنيزيوم المائية $\text{MgSO}_4 \cdot 7\text{H}_2\text{O}$	غ	37	74
المحلول الأم رقم 4			
المادة	الوزن	الحجم 200 مل	الحجم 400 مل
كلوريد الكالسيوم $\text{CaCl}_2 \cdot 2\text{H}_2\text{O}$	غ	44	88
المحلول الأم رقم 5			
المادة	الوزن	الحجم 100 مل	الحجم 200 مل
يوديد البوتاسيوم KI	مغ	83	166
المحلول الأم رقم 6			
المادة	الوزن	الحجم 100 مل	الحجم 200 مل
حمض النيكوتين	مغ	50	100
بيرووكسين هيدروكلورايد	مغ	50	100
تيامين هيدروكلورايد	مغ	10	20
غلايسين	مغ	200	400
اينوزيتول	غ	10	20
المحلول الأم رقم 7			
المادة	الوزن	الحجم 100 مل	
شلات الحديد والصوديوم NaFe-EDTA	مغ	860	

ملحق جدول 3

المحافظة	المنطقة	تاريخ الجمع	تاريخ العزل	المساحة	الكائن الممرض المعزول	ملاحظات
حلب / خريفي	اكسيبييه	03/10/2007	08/10/2007	حوالي 0.5 هـ	<i>Rhizoctonia</i> spp & <i>Fusarium</i> spp	تربتها حمراء، مصدر البذار مورك class A
	شمال مارع تركمان	04/10/2007	09/10/2007	أقل من 0.5 هـ	bacteria (black leg)	معقد فطري وبكتيري
	بارح	04/10/2007	09/10/2007	2/1 هكتار	<i>Rhizoctonia</i> spp & <i>Trichoderma</i> spp	غنى تربها ب <i>Trichoderma</i> spp
	وحشية	18/10/2007	18/10/2007	10 هـ	<i>Rhizoctonia</i> spp	تربتها حمراء، ثقيلة ، تزرع كل عام بالبطاطا
	السفيرة	18/10/2007	18/10/2007		<i>Rhizoctonia</i> spp	
	كفر الورد	18/10/2007	18/10/2007	أقل من 0.5 هـ	<i>Rhizoctonia</i> spp	
	تل مالد	25/10/2007	25/10/2007	2/1 هكتار	<i>Rhizoctonia</i> spp & <i>Trichoderma</i> spp	غنى تربها ب <i>Trichoderma</i> spp ونسبة الإصابة لا يتجاوز 2%
	الحميدية	25/10/2007	25/10/2007		<i>Rhizoctonia</i> spp	
	كفر كليين	29/10/2007	03/10/2007	1 هـ	<i>Fusarium</i> spp	
	بحورته	31/10/2007	03/11/2007	2/1 هكتار	<i>Rhizoctonia</i> spp	تربتها حمراء داكنة
	صوران	29/10/2007	03/11/2007	2/1 هكتار	<i>Rhizoctonia</i> spp	
	صوران	29/10/2007	03/11/2007	2/1 هكتار	<i>Fusarium</i> spp <i>Fusarium</i> spp	
	سجراز	29/10/2007	03/11/2007	أكثر من هكتارين	<i>Fusarium</i> spp <i>Verticillium</i> spp	الحقل موبوء بالحامول
	فريرية	29/10/2007	03/11/2007		<i>Rhizoctonia</i> spp	
	فريرية	29/10/2007	03/11/2007		<i>Rhizoctonia</i> spp	
	مارع	29/10/2007	03/11/2007	أكثر من 3 هـ	<i>Fusarium</i> spp	
	فالين	29/10/2007	03/11/2007	هكتار 1/2	<i>Fusarium</i> spp	
	فالين	29/10/2007	03/11/2007	هكتار 1/2	<i>Fusarium</i> spp	
	تل حسين	17/12/2007	17/12/2007	هكتار 1/2	<i>Rhizoctonia</i> spp	
حلب / ربيعي	تل حدية	23/05/2008	23/05/2008		<i>Rhizoctonia</i> spp	درنات أم والنااتجة مصابة & تربتها منخفضة وغنية بالسماذ العضوي
	تل حدية	23/05/2008	23/05/2008	أقل من 0.5 هـ	<i>Fusarium</i> spp	تربتها منخفضة وغنية بالسماذ العضوي
	طرندة	17/06/2008	05/08/2008		<i>Rhizoctonia</i> spp	
	كفر أنطون	08/05/2008	08/05/2008	حوالي 2 هـ	<i>Rhizoctonia</i> spp	درنات أم والنااتجة مصابة & تربتها منخفضة
	كفر جنة	01/05/2008	01/05/2008	هكتار 1/2	<i>Fusarium</i> spp	
	ألجي	22/05/2008	22/05/2008	حوالي 1 هـ	<i>Fusarium</i> spp	
	ألجي	22/05/2008	22/05/2008	حوالي 1 هـ	<i>Rhizoctonia</i> spp & <i>Fusarium</i> spp	
	طعانة	22/06/2008	05/08/2008		<i>Rhizoctonia</i> spp	
	أحرص	29/04/2008	29/04/2008	هكتار 2.5	<i>Rhizoctonia</i> spp	وجود الأمراض الفيروسية بنسبة 70%
	أحرص	29/04/2008	29/04/2008	0.5	أمراض فيروسية	
	فريريه	28/05/2008	28/05/2008		<i>Rhizoctonia</i> spp	درنات أم والنااتجة مصابة
	وحشية	29/04/2008	29/04/2008	حوالي 10 هكتارات	<i>Rhizoctonia</i> spp	وتزرع كل عام بالبطاطا
	عفرين	22/06/2008	22/06/2008	حوالي 1 هـ	<i>Rhizoctonia</i> spp	زرعت لأول مرة بالبطاطا

زرعت لأول مرة بالبطاطا & وجود أبو العيد ولم يلاحظ وجود المن أو إصابة فيروسية	<i>Rhizoctonia</i> spp	هكتار 1/2	29/04/2008	29/04/2008	تل رفعت
	<i>Rhizoctonia</i> spp		29/04/2008	29/04/2008	تل رفعت
وجود أبو العيد والمن بكميات هائلة	<i>Rhizoctonia</i> spp	دونم 15	23/05/2008	23/05/2008	كوسنيا
نسبة الإصابة 10%	<i>Rhizoctonia</i> spp		23/05/2008	23/05/2008	كوسنيا
			23/05/2008	23/05/2008	تل خطرة
وجود أمراض فيروسية & وجود لفحة متأخرة	<i>Rhizoctonia</i> spp & <i>Fusarium</i> spp & bacteria	هكتار 8	19/05/2008	19/05/2008	مارع
وجود أمراض فيروسية	<i>Rhizoctonia</i> spp & black stem	لا يتجاوز 600 م	19/05/2008	19/05/2008	مارع
مصدر البذار ترمانيين، درنات الأم والنااتجة مصابة مزروعة لأول مرة بالبطاطا	<i>Rhizoctonia</i> spp		23/05/2008	22/05/2008	عين جارة ديوان
تربتها منخفضة ، وزرعت لأول مرة بالبطاطا	<i>Rhizoctonia</i> spp	دونم 5	05/08/2008	22/06/2008	تحتاني
	<i>Rhizoctonia</i> spp		22/06/2008	22/06/2008	السموكة
	<i>Rhizoctonia</i> spp		22/06/2008	22/06/2008	كفر كلين
	<i>Rhizoctonia</i> spp		22/06/2008	22/06/2008	الساعد
درنات ناتجة مصابة	<i>Rhizoctonia</i> spp		22/06/2008	22/06/2008	حيلان
وجود أمراض فيروسية	<i>Rhizoctonia</i> spp		29/04/2008	29/04/2008	كفر ناصح بحورته
تربتها سوداء ثقيلة	<i>Rhizoctonia</i> spp		29/04/2008	29/04/2008	ربيعة

الملاحظات	الكائن الممرض المعزول	تاريخ العزل	تاريخ الجمع	المنطقة	المحافظة
					ادلب/
ترب غنية بالنيماتودا	<i>Rhizoctonia</i> spp	09/10/2007	03/10/2007	سراقب	حريفى
ترب غنية بالنيماتودا	<i>Rhizoctonia</i> spp	09/10/2007	03/10/2007	سراقب	
ترب غنية بالنيماتودا & معقد مرضي	<i>Rhizoctonia</i> spp & <i>Fusarium</i> spp	08/10/2007	03/10/2007	أفس	
ترب غنية بالنيماتودا & معقد مرضي	<i>Fusarium</i> spp	08/10/2007	03/10/2007	أفس	
معقد مرضي	<i>Rhizoctonia</i> spp & <i>Fusarium</i> spp	03/11/2007	30/10/2007	طعوم	
لم يتم الحصول عليها بسبب عطل في الثلاجة	<i>Rhizoctonia</i> spp	03/11/2007	30/10/2007	شلخ	
معقد مرضي	<i>Fusarium</i> spp	03/11/2007	30/10/2007	تفتناز	
ترب غنية بالنيماتودا	<i>Rhizoctonia</i> spp	17/01/2008	17/01/2008	تفتناز	
	<i>Fusarium</i> spp	03/11/2007	30/10/2007	بنش	
				بش	
منطقة منخفضة ، تربتها حمراء ثقيلة	<i>Fusarium</i> spp	03/11/2007	30/10/2007	مارون	
	<i>Rhizoctonia</i> spp	03/11/2007	30/10/2007	كتيان	
					إدلب/
ودرنات أم مصابة	<i>Rhizoctonia</i> spp	12/06/2008	12/06/2008	كفريا	ربيعة
		12/06/2008	12/06/2008	كفريا	

معارة	21/05/2008	23/05/2008	<i>Rhizoctonia</i> spp	درنات أم والنااتجة مصابة بالقشرة السوداء
جينه	22/05/2008	23/05/2008	<i>Rhizoctonia</i> spp	ودرنات أم مصابة
جينه	22/05/2008	23/05/2008		
زردنا	22/05/2008	23/05/2008	<i>Rhizoctonia</i> spp	درنات أم والنااتجة مصابة
زردنا	22/05/2008	23/05/2008		تربتها منخفضة وغنية بالسمااد العضوي، ومصابة بالمن
كفر				
حلب	21/05/2008	23/05/2008	<i>Rhizoctonia</i> spp & <i>Fusarium</i> spp	درنات أم مصابة ونسبة إصابة بـ 50% <i>Fusarium</i> spp
كفر				نسبة إصابة بـ 50% <i>Fusarium</i> spp،
حلب	12/06/2008	12/06/2008	<i>Fusarium</i> spp	وجود الفئران
بنش	30/10/2007	03/11/2007	<i>Fusarium</i> spp	
بنش	22/05/2008	23/05/2008	<i>Rhizoctonia</i> spp	درنات أم والنااتجة مصابة
				درنات أم والنااتجة مصابة،
لوف	22/05/2008	23/05/2008	<i>Rhizoctonia</i> spp	مصابة باللفحة المتأخرة
أثارب	21/05/2008	23/05/2008	<i>Rhizoctonia</i> spp	
تل تونة	22/05/2008	22/05/2008	<i>Rhizoctonia</i> spp & <i>Fusarium</i> spp	درنات أم والنااتجة مصابة، الري بالرزاز، منطقة جبلية بالإضافة إصابة الدرنات بالجرب
كفر				
تعنور	22/05/2008	22/05/2008	<i>Rhizoctonia</i> spp & <i>Fusarium</i> spp	مصدر البذار نواتج فرز البطاطا
كفر				
تعنور	22/05/2008	22/05/2008	<i>Rhizoctonia</i> spp	درنات أم والنااتجة مصابة
ترمانين	22/06/2008	22/06/2008	<i>Rhizoctonia</i> spp	وغنى تربتها بالسمااد البلدي
كتيان	30/10/2007	03/11/2007	<i>Fusarium</i> spp	
كتيان	23/05/2008	23/05/2008	<i>Rhizoctonia</i> spp	درنات أم والنااتجة مصابة

المحافظة	المنطقة	تاريخ الجمع	تاريخ العزل	الكائن الممرض المعزول	الملاحظات
حماء/ خ	الهيبط	02/11/2007	03/11/2007	<i>Fusarium</i> spp & bacteria	منطقة مرتفعة وتربتها حمراء
	كفر نبودة	02/11/2007	03/11/2007	<i>Rhizoctonia</i> spp & <i>Fusarium</i> spp & bacteria	استخدم مييد ريزولكس
	كفر نبودة	02/11/2007	03/11/2007	<i>Rhizoctonia</i> spp & <i>Fusarium</i> spp & bacteria	استخدم مييد ريزولكس
	كفر نبودة	02/11/2007	03/11/2007	<i>Rhizoctonia</i> spp & <i>Fusarium</i> spp & bacteria	استخدم مييد ريزولكس
	قلعة المضيق	02/11/2007	03/11/2007	<i>Fusarium</i> spp	منطقة مرتفعة وتربتها حمراء
	قلعة المضيق	02/11/2007	03/11/2007	<i>Fusarium</i> spp	منطقة مرتفعة وتربتها حمراء
	خان شيخون	02/11/2007	03/11/2007	<i>Rhizoctonia</i> spp & <i>Fusarium</i>	
	خان شيخون	02/11/2007	03/11/2007	<i>Rhizoctonia</i> spp & <i>Fusarium</i>	
حماء/ ر	السمره	22/08/2008	29/05/2008	<i>Alternaria solani</i>	تربتها فقيرة حجرية، أمكن عزل بكتيريا مضادة للممرض المدروس
	صوران	22/08/2008	29/05/2008	<i>Fusarium</i> spp	تربتها حمراء، أمكن عزل بكتيريا مضادة للممرض المدروس
	جباريه	22/08/2008	29/05/2008	<i>Fusarium</i> spp	تربتها حمراء، أمكن عزل بكتيريا مضادة للممرض المدروس
	كوكب	22/08/2008	29/05/2008	<i>Fusarium</i> spp	

<i>Fusarium</i> spp	29/05/2008	22/08/2008	كفربهم
<i>Fusarium</i> spp	29/05/2008	22/08/2008	الخالدية
<i>Rhizoctonia</i> spp	05/08/2008	29/07/2008	محددة
<i>Rhizoctonia</i> spp	05/08/2008	29/07/2008	أشير
<i>Rhizoctonia</i> spp	05/08/2008	29/07/2008	معد
<i>Rhizoctonia</i> spp	05/08/2008	29/07/2008	فتين
<i>Rhizoctonia</i> spp	05/08/2008	29/07/2008	ديمو
<i>Rhizoctonia</i> spp	05/08/2008	29/07/2008	ديمو
<i>Rhizoctonia</i> spp	05/08/2008	29/07/2008	السمرة
<i>Rhizoctonia</i> spp	05/08/2008	29/07/2008	شيزر
<i>Rhizoctonia</i> spp	05/08/2008	29/07/2008	تل سكندا
<i>Fusarium</i> spp	05/08/2008	29/07/2008	زلاقيات
<i>Rhizoctonia</i> spp	05/08/2008	29/07/2008	كفرنبوده
<i>Rhizoctonia</i> spp	05/08/2008	29/07/2008	صفصافية

المحافظة	تاريخ الجمع	تاريخ العزل	الكائن الممرض المعزول
درعا/ خ	03/10/2007	08/10/2007	<i>Rhizoctonia</i> spp
إزرع/ خ درعا /	03/10/2007	08/10/2007	<i>Rhizoctonia</i> spp
شقرا درعا /	15/07/2008	22/07/2008	<i>Rhizoctonia</i> spp
شقرا درعا	15/07/2008	15/07/2008	<i>Rhizoctonia</i> spp
/المحبة درعا /	15/07/2008	15/07/2008	<i>Rhizoctonia</i> spp
داعر	15/07/2008	15/07/2008	<i>Rhizoctonia</i> spp

المحافظة	المنطقة	تاريخ الجمع	تاريخ العزل	الكائن الممرض المعزول	الملاحظات
قامشلي /					
خريفي	خربة خليل	17/12/2007	19/ 12 /2007	<i>Fusarium</i> spp	غنى تربتها بالـ <i>Trichoderma</i> spp
الحسكة /	تل حميس				
خريفي	/تل طيب	17/12/2007	19/ 12 /2007	<i>Fusarium</i> spp	غنى تربتها بالـ <i>Trichoderma</i> spp
الحسكة /	تل حميس/				
خريفي	تل سطيح	17/12/2007	19/ 12 /2007	<i>Fusarium</i> spp	غنى تربتها بالـ <i>Trichoderma</i> spp
الحسكة					
/ربيعي		01/05/2008	01/05/2008	<i>Fusarium</i> spp	
الحسكة					
/ربيعي		01/05/2008	01/05/2008	<i>Fusarium</i> spp	

ملحق رقم 5. جدول المصطلحات

Anastomosis group	مجموعة تشابكية
Black Scurf	القشرة السوداء
Sclerotia	أجسام حجرية
Septum	حاجز عرضي
cellular nuclear number(CNN)	عدد النوى في الخلية
Clap connection	وصلات مقبضية
Rhizomorph	جذائل هيفية
Binucleate	ثنائي النوى
Multinucleate	متعدد النوى
Somatic incompatibility	عدم توافق جسدي
Loci	مواقع وراثية
mycorrhizal	الفطور الجذرية
sprouts	براعم
Appresorium/infection cushion	وسادة الاختراق/ الالتصاق
Extracellular enzymes	الأنزيمات الخارجية
Chemical desiccant	المجففات الكيميائية
Daughter tubers	الدرنات البنت
Damping- off	الذبول المفاجئ
Aerial tubers	الدرنات الهوائية
Stunting	التقزم
Rosetting	التورد
No top	انعدام القمة
Desprouted tubers	الدرنات غير النبوتة
Chisel plowing	المحراث الحفار
Mycoparasites	طفيليات الفطور
Biofumigation	التبخير الحيوي
Cover crop	محصول التغطية
Arbuscular Mycorrhizal Fungi AMF	الفطور الجذرية الشجيرية
DNA Pellet	كرية DNA
Thermocycler	جهاز التدوير الحراري
Bovine Serum albumin	مصل ألبومين بقري
Eosin methylene blue -Agar (EMB)	وسط إيوزين أزرق ميثيلين آجار (وسط انتخابي للبكتيريا السالبة الغرام)
Cystine Lactose-Electrolyte-Deficient CLED	وسط انتخابي لبكتيريا موجبة الغرام
Fluffy	رقيق/قطني
Sectoring	قطاعات

ملحق رقم 6. العزلات البكتيرية المعزولة من العينات الترايبية

العزلات المعزولة في 11/3/08

صوران(حلب):

1. مستعمرة بيضاء لامعة محدبة حلبيية قطرها 5 مم.
2. مستعمرة بيضاء لامعة محدبة حلبيية قطرها 2 مم.
3. مستعمرة بيضاء ذات نقطة مركزية شفافة المحيط قطرها 2 مم.

شلخ:

1. مستعمرة صفراء شاحبة مسطحة لامعة قطرها 3 مم.
2. مستعمرة صفراء شاحبة محدبة لامعة قطرها 2 مم.

سراقب (بينيل):

1. مستعمرة بيضاء لامعة محدبة حلبيية قطرها 5 مم.
2. مستعمرة صفراء شاحبة محدبة لامعة قطرها 2 مم.
3. مستعمرة صفراء شاحبة مسطحة لامعة قطرها 3 مم.

العزلات المعزولة في 20/4/08

وحشية:

1. مستعمرة بيضاء ذات نقطة مركزية لامعة قطرها 5 مم.
2. مستعمرة صفراء شاحبة محدبة لامعة قطرها 2 مم.
3. مستعمرة بيضاء كريمية مسطحة لامعة قطرها 5 مم.
4. مستعمرة بيضاء شفافة ذات مركز كبير بلون بني فاتح غير لامعة مسطحة قطرها 4 مم.

سراقب (مارفونا):

1. مستعمرة بيضاء ذات نقطة مركزية لامعة قطرها 5 مم.
2. مستعمرة صفراء لامعة محدبة قطرها 2 مم.
3. مستعمرة بيضاء كريمية ذات نقطة مركزية لامعة قطرها 5 مم.

فريريه:

الصنف: بينيلا، المزارع: خير عبدالله

1. مستعمرة صفراء شاحبة ذات نقطة مركزية لامعة محدبة بلون بني فاتح قطرها 3 مم.
2. مستعمرة بيضاء شاحبة مسطحة لامعة قطرها 5 مم.

فريريه:

الصنف: بينيلا، المزارع: حسن الحسيني

1. مستعمرة بيضاء كريمية مسطحة لامعة قطرها 5 مم.
2. مستعمرة كريمية مسطحة لامعة قطرها 6 مم.
3. مستعمرة بيضاء كريمية ذات نقطة مركزية لامعة محدبة بلون بني فاتح قطرها 4 مم.

العزلات المعزولة في 17/8/08

تل تونة:

1. مستعمرة شفافة محدبة قطرها 6 مم.
2. مستعمرة حليبية محدبة قطرها 8 مم.
3. مستعمرة حليبية محدبة قطرها 1 مم.

جينه:

1. مستعمرة حليبية محدبة قطرها 6 مم.
2. مستعمرة صفراء مسطحة قطرها 2 مم.
3. مستعمرة حليبية محدبة قطرها 2 مم.

لوف:

1. مستعمرة صفراء باهتة محدبة قطرها 6 مم.
2. مستعمرة حليبية محدبة قطرها 2 مم.
3. مستعمرة شفافة محدبة قطرها 6 مم.
4. مستعمرة بيضاء محدبة قطرها 1 مم.
5. مستعمرة بيضاء ذات حواف مشرشرة قطرها 11 مم.

كتيان:

1. مستعمرة حليبية محدبة قطرها 9 مم.
2. مستعمرة صفراء محدبة قطرها 2 مم.
3. مستعمرة شفافة منخمصة قطرها 3 مم.
4. مستعمرة صفراء محدبة قطرها 1 مم.

لدى تحضين العزلات البكتيرية لكل من المناطق المذكورة عند $27 \pm 2^\circ \text{C}$ و $22 \pm 2^\circ \text{C}$ لمدة أسبوع لم يظهر التضاد بين العزلات البكتيرية و الفطر *Rhizoctonia solani*.

العزلات المعزولة في 3/9/08

زردنا:

1. مستعمرة حليبية محدبة قطرها 6 مم.
2. مستعمرة صفراء باهتة محدبة قطرها 6 مم.
3. مستعمرة بيضاء محدبة لامعة قطرها 3 مم.
4. مستعمرة صفراء محدبة قطرها 1 مم.

أبين:

1. مستعمرة بيضاء محدبة ذات مركز أبيض قطرها 5 مم.
2. مستعمرة بيضاء محدبة لامعة قطرها 5 مم.
3. مستعمرة حليبية محدبة قطرها 1 مم.
4. مستعمرة حليبية ذات جواف مسننة مسطحة قطرها 4 مم.

طعوم:

1. مستعمرة صفراء باهتة محدبة قطرها 2 مم.
2. مستعمرة حلبيية محدبة قطرها 4 مم.

عفرين:

1. مستعمرة حلبيية محدبة قطرها 5 مم.
 2. مستعمرة صفراء باهتة محدبة قطرها 5 مم.
 3. مستعمرة حلبيية محدبة قطرها 2 مم.
- لدى تحضير العزلات البكتيرية لكل من المناطق المذكورة عند $27 \pm 2^\circ \text{C}$ و $22 \pm 2^\circ \text{C}$ لمدة أسبوع لم يظهر التضاد بين العزلات البكتيرية و الفطر *Rhizoctonia solani*.

العزلات المعزولة في 17/9/2008

مرعناز:

1. مستعمرة صفراء باهتة محدبة قطرها 1.5 مم.
2. مستعمرة حلبيية محدبة لامعة قطرها 5 مم.
3. مستعمرة بيضاء مسطحة شفافة غير لامعة في مركزها دائرة ذات حواف مسننة قطرها 8 مم.
4. مستعمرة مسطحة صفراء زغبية ذات حواف غير منتظمة قطرها 7 مم.
5. مستعمرة بيضاء زغبية في مركزها دائرة ذات حواف مسننة قطرها 5 مم.

كفرأنتون:

1. مستعمرة بيضاء ذات مركز دائري شعاعي شفاف قطرها 6 مم.
2. مستعمرة حلبيية ذات مركز دائري ومرتفع عن المستعمرة المركز لامع المستعمرة غير لامعة قطرها 4 مم.
3. مستعمرة صفراء شفافة محدبة لامعة قطرها 1.5 مم.

تل حسين:

1. مستعمرة صفراء محدبة لامعة قطرها 3 مم.
2. مستعمرة بيضاء ذات مركز حلبيي لامعة محدبة قطرها 5 مم.
3. مستعمرة بيضاء مصفرة ذات حواف مسننة بشكل بسيط قطرها 2.5 مم.
4. مستعمرة حلبيية محدبة لامعة قطرها 6 مم.

زربه:

1. مستعمرة حلبيية مسطحة غير لامعة ذات مركز شفاف مسننة الحواف قطرها 5.5 مم.
2. مستعمرة حلبيية محدبة ذات مركز حلبيي مرتفع عن سطح المستعمرة قطرها 4.5 مم.
3. مستعمرة شفافة محدبة لامعة قطرها 1.5 مم.

العزلات المعزولة في 18/9/08

مارع:

1. مستعمرة بيضاء مسطحة ذات مركز دائري قطرها 5 مم.
2. مستعمرة حليبية محدبة لامعة قطرها 5 مم.
3. مستعمرة بيضاء مصفرة مسطحة ذات حواف مسنة قطرها 2.5 مم.
4. مستعمرة حليبية محدبة لامعة قطرها 1 مم.

أثارب:

1. مستعمرة بيضاء مسطحة غير لامعة ذات مركز شعاعي قطرها 6 مم.
2. مستعمرة بيضاء مصفرة لامعة محدبة قطرها 1 مم.
3. مستعمرة حليبية محدبة لامعة قطرها 4 مم.
4. مستعمرة صفراء ذات حواف غير منتظمة ومركز لامع قطرها 3 مم.

الساعد:

1. مستعمرة حليبية مسطحة ذات حواف مسنة ومركز مسنن قطرها 5 مم.
2. مستعمرة بيضاء زغبية ذات مركز شعاعي قطرها 7 مم.
3. مستعمرة صفراء محدبة لامعة قطرها 2 مم.
4. مستعمرة حليبية مسطحة ذات قوام سميك قطرها 5 مم.
5. مستعمرة حليبية محدبة لامعة قطرها 1 مم.

العزلات المعزولة في 23/9/2008

كفر ناصح:

1. مستعمرة حليبية ذات منخفض مركز من قطرها 4 مم.
2. مستعمرة حليبية ذات مركز شعاعي مسطح قطرها 6 مم.
3. مستعمرة صفراء باهتة لامعة محدبة قطرها 2 مم.
4. مستعمرة شفافة ذات حواف مسنة قطرها 6 مم.

كوكب:

1. مستعمرة حليبية محدبة لامعة قطرها 4 مم.
2. مستعمرة شفافة مصفرة مسطحة ذات مركز شعاعي قطرها 6 مم.
3. مستعمرة حليبية مصفرة محدبة لامعة قطرها 4 مم.
4. مستعمرة صفراء زغبية ذات حواف مسنة قطرها 6 مم.

السمرة:

1. مستعمرة حليبية شفافة مسطحة ذات حواف مسنة و مركز شعاعي قطرها 4 مم.

2. مستعمرة صفراء باهتة لامعة محدبة قطرها 1 مم.
3. مستعمرة حلبيية لامعة محدبة قطرها 3 مم.

تلايين:

1. مستعمرة صفراء لامعة محدبة قطرها 2 مم.
2. مستعمرة حلبيية لامعة محدبة قطرها 5 مم.
3. مستعمرة شفافة ذات مركز مسطح قطرها 8 مم.
4. مستعمرة شفافة حلبيية محدبة لامعة قطرها 3 مم.

صوران(جباريه):

1. مستعمرة صفراء لامعة محدبة قطرها 2 مم.
2. مستعمرة حلبيية غير لامعة محدبة قطرها 4 مم.
3. مستعمرة شفافة حلبيية مسطحة غير لامعة قطرها 5 مم.
4. مستعمرة شفافة مصفرة مسطحة غير لامعة ذات حواف مسننة و مركز مسنن قطرها 9 مم.

**Faculty of Agriculture
Department of Plant Protection**



**Identification of Anastomosis Groups within Populations of *Rhizoctonia solani*
Kühn affecting potatoes in Syria and Potential Measures for Management of the
Disease it Causes**

**MSc Thesis in Agricultural Engineering
(Plant Protection)**

**By
Agr. Eng. Rania Haj Abdo**

Supervised by

Dr. Bassam Bayaa
Professor in Plant Pathology
Fac. Of Agriculture
Aleppo University

Dr Abbas Abbas
Head Seed Quality Dept.
GOSM
Aleppo

2010 -2011

